

HEMATO-MORPHOLOGY WORKSHOP

Dr. N.V.Shiran
Ph.D of Lab Hematology-SBMU

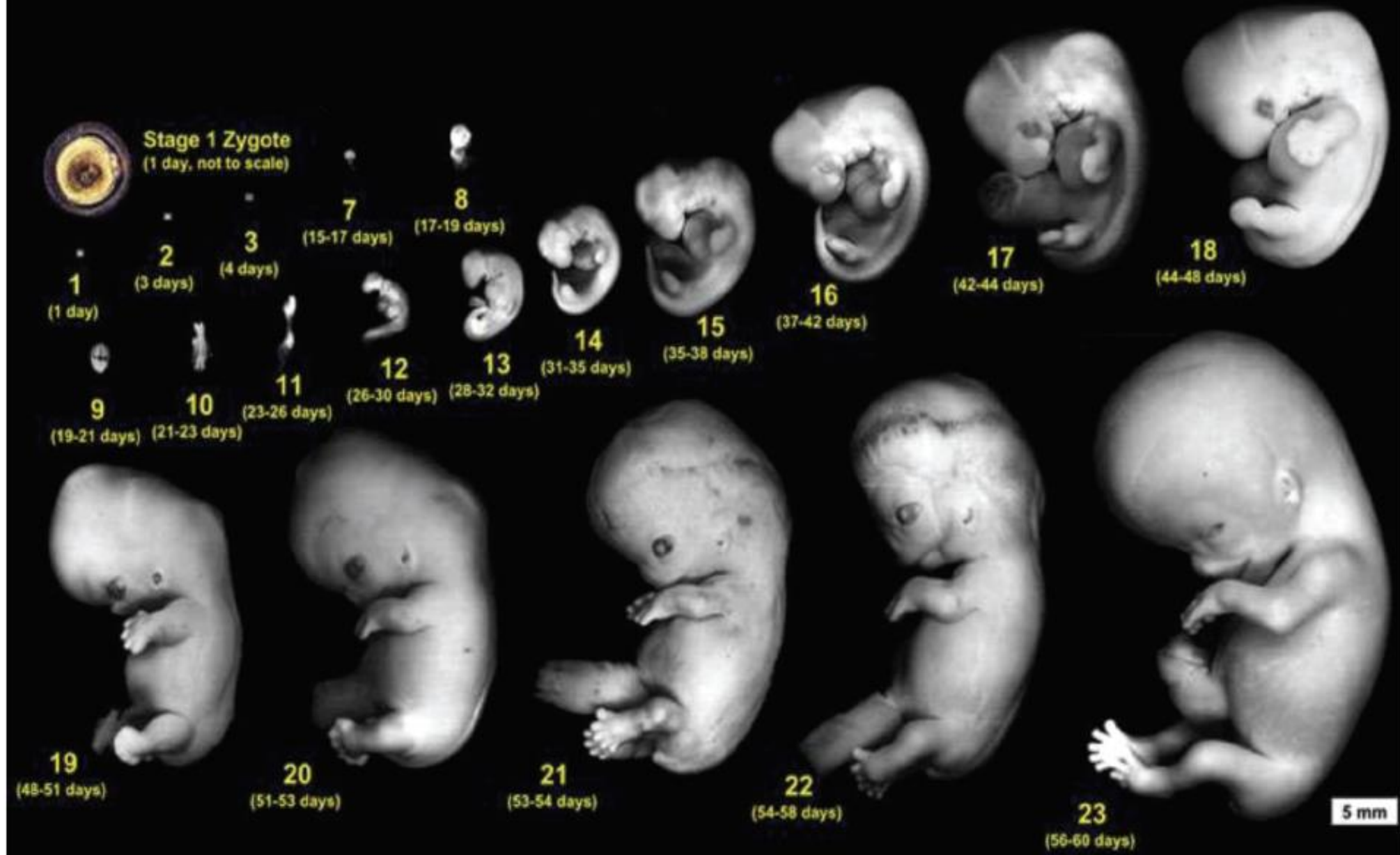
رئوس مطالب امروز:

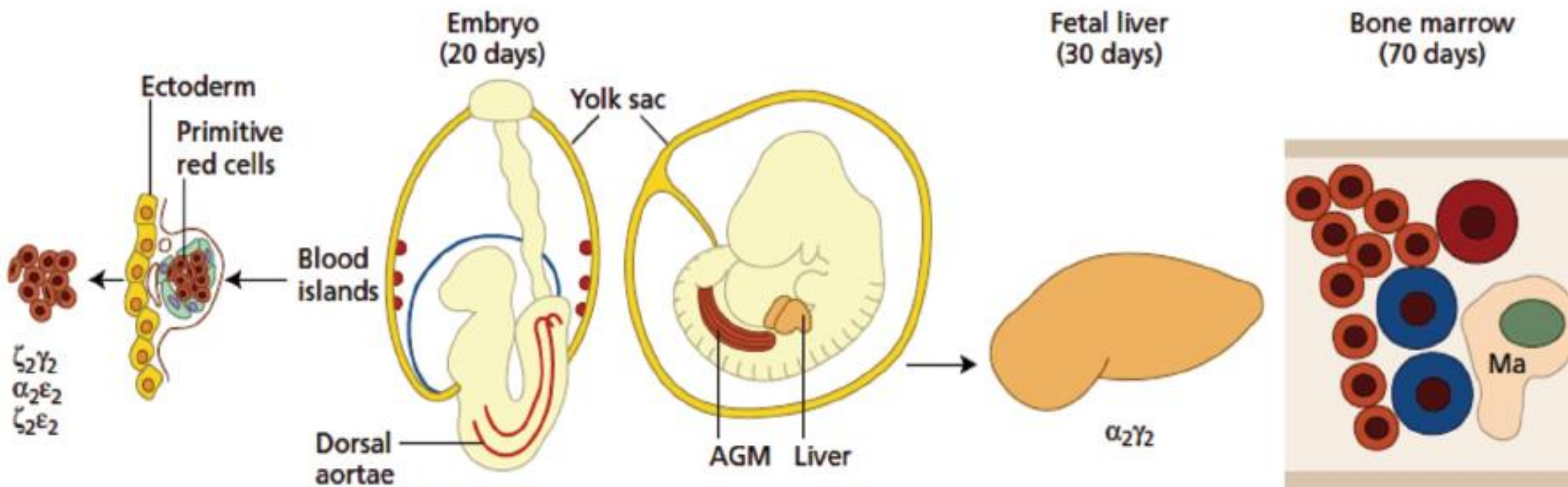
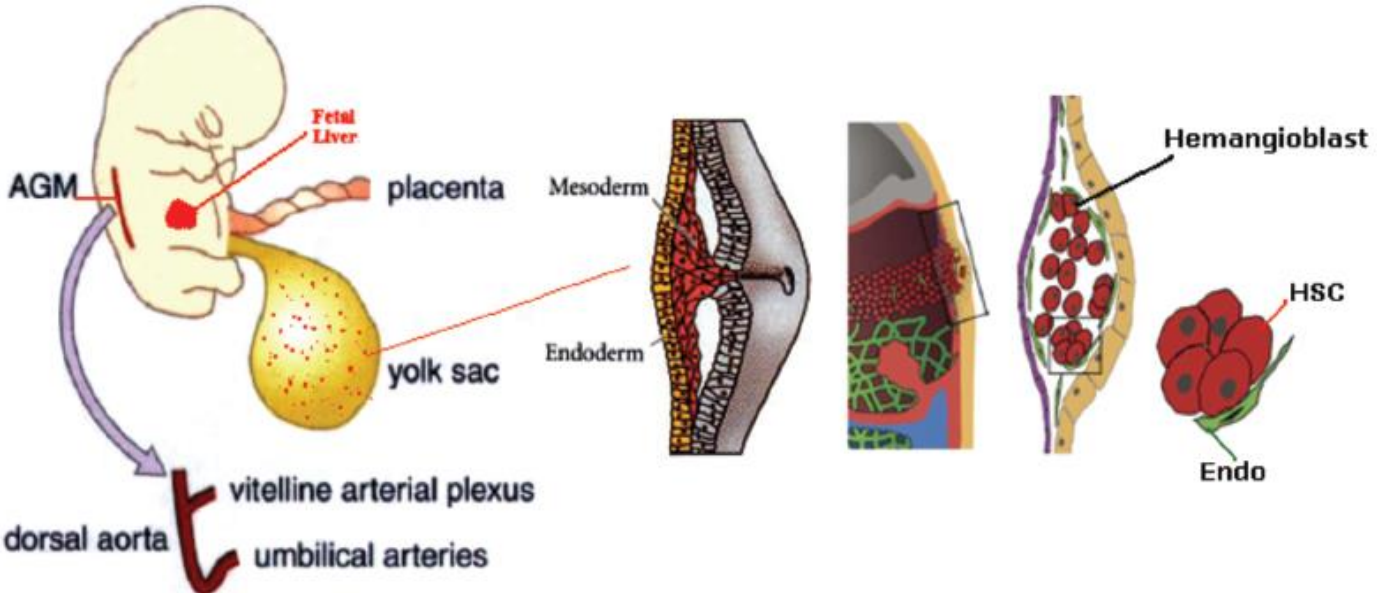


- مکانهای فونسازی
- مخزاستخوان و ارزیابی آن
- رنگ آمیزی
- اریدوپوئز و مگاکاریوپوئز
مورفولوژی پلاکتی
- مورفولوژی اریدوئیدی
- گزارش دهی با فرمت ICSH

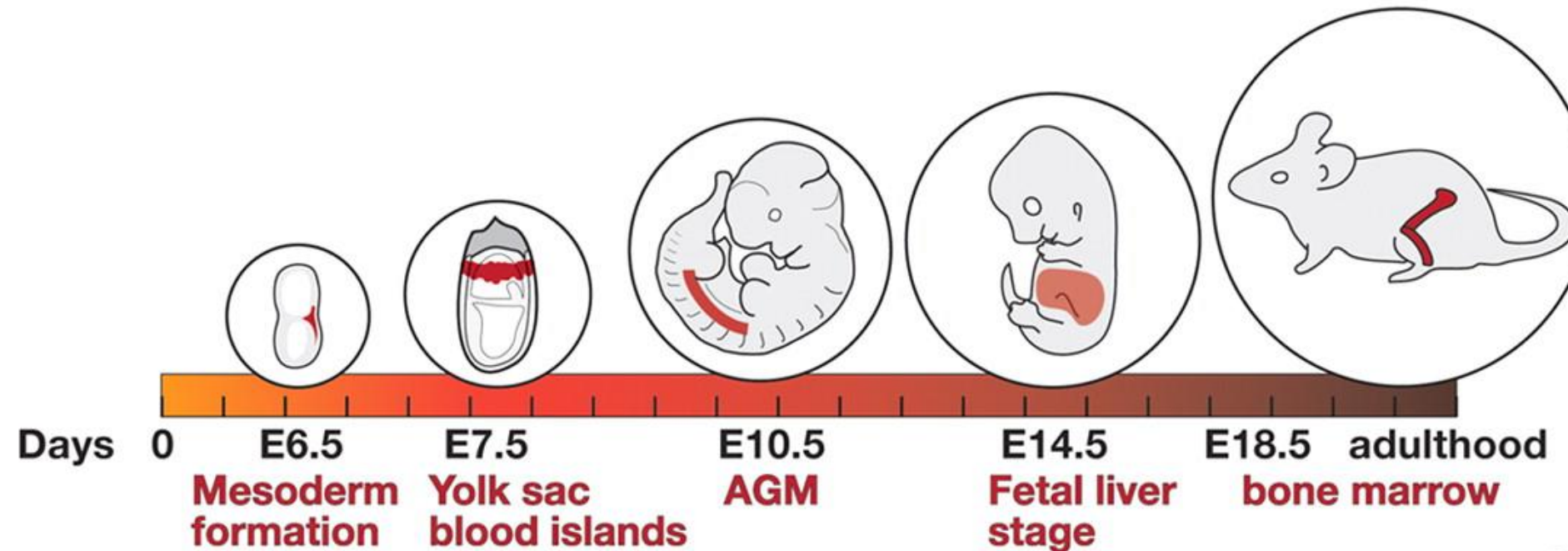
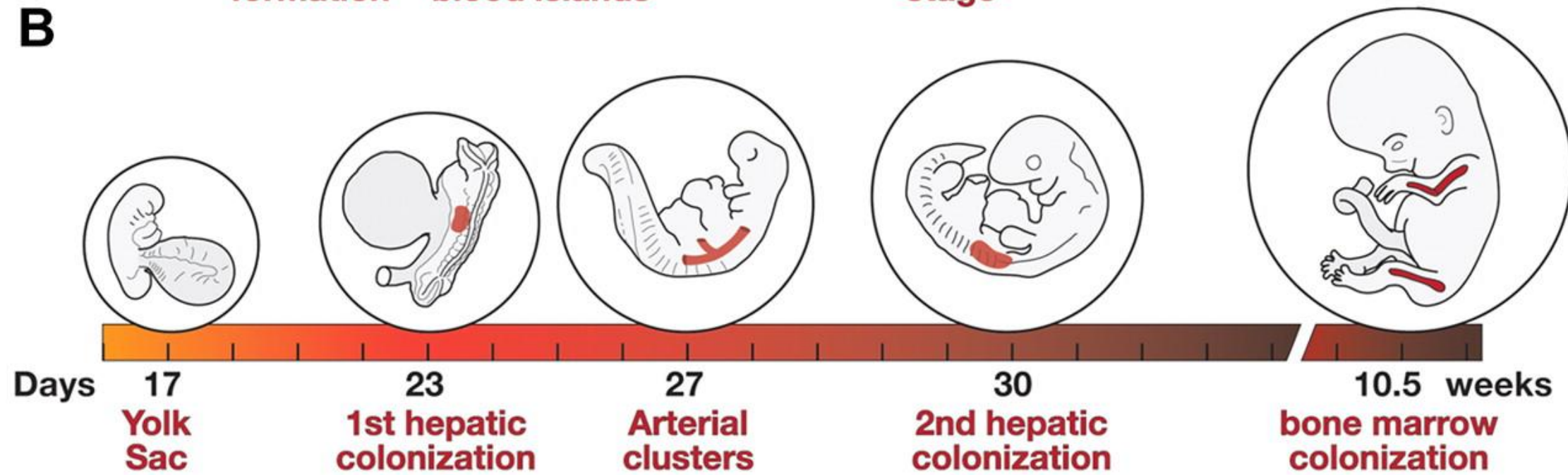
Hematopoiesis & Stem Cells

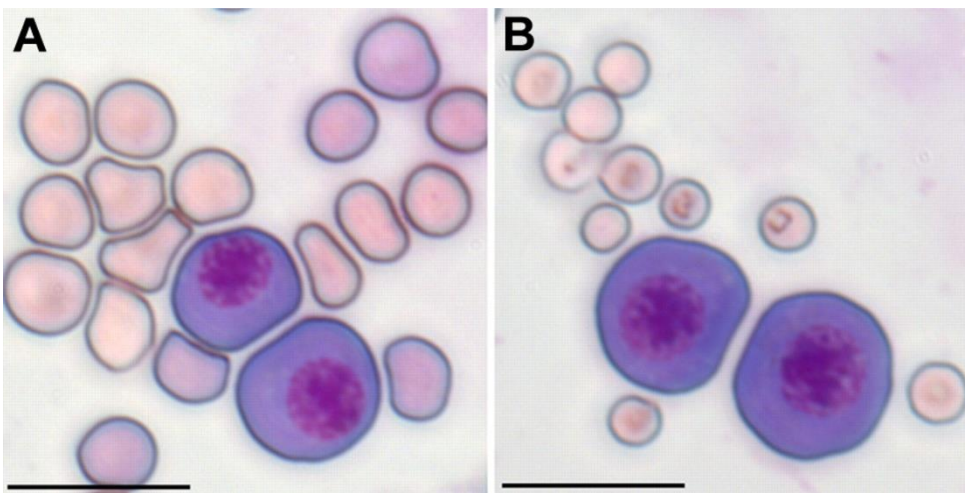
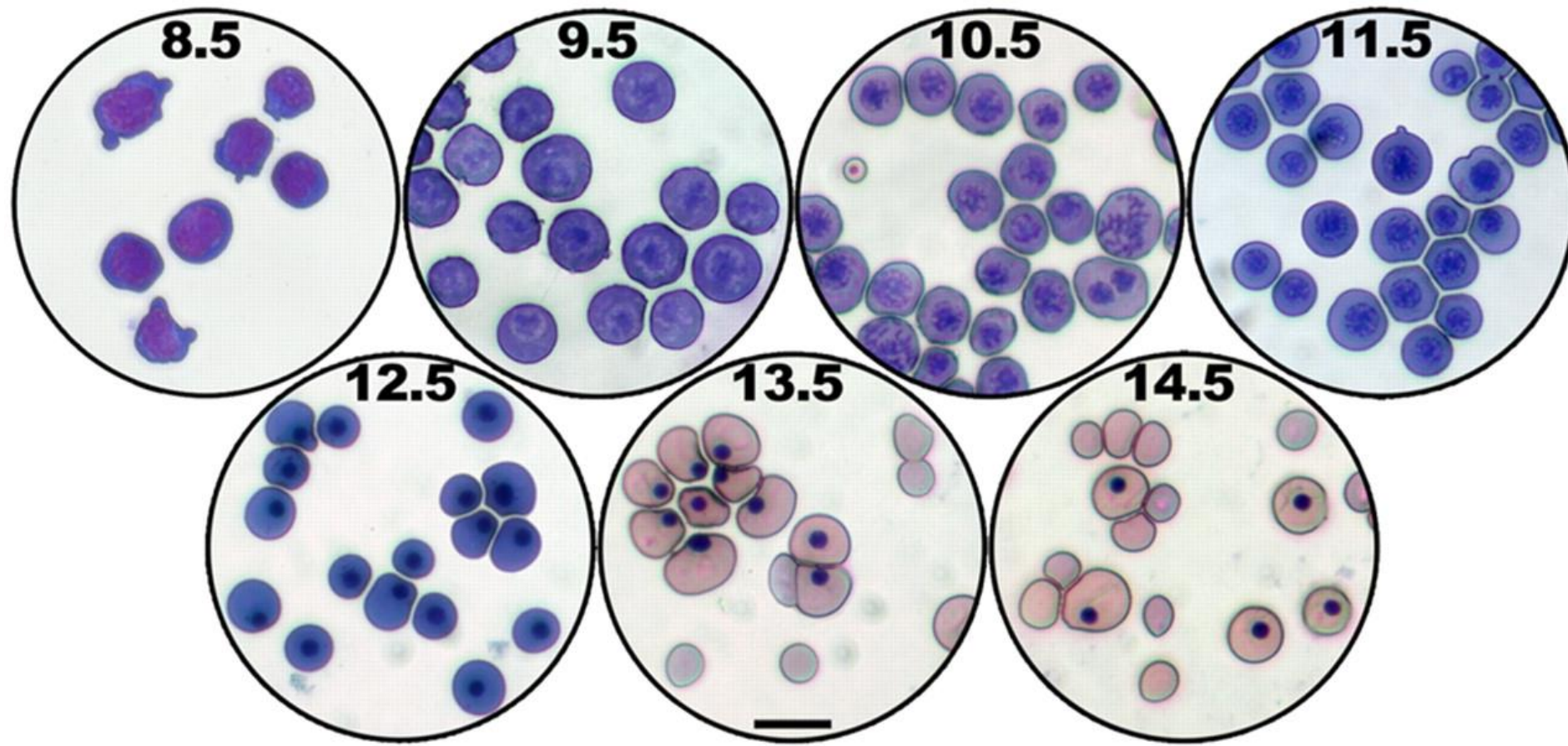
Carnegie Stages of Human Development





شکل ۵-۱: انتقال خون‌سازی رویانی (کیسه زرد، جفت، کوریون، آلانتوئیس، PASP/AGM) به خون‌سازی جنینی (کبد، طحال و BM)

A**B**

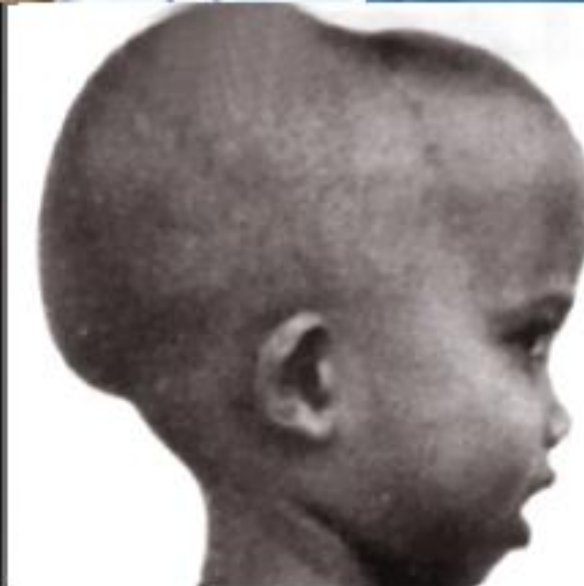


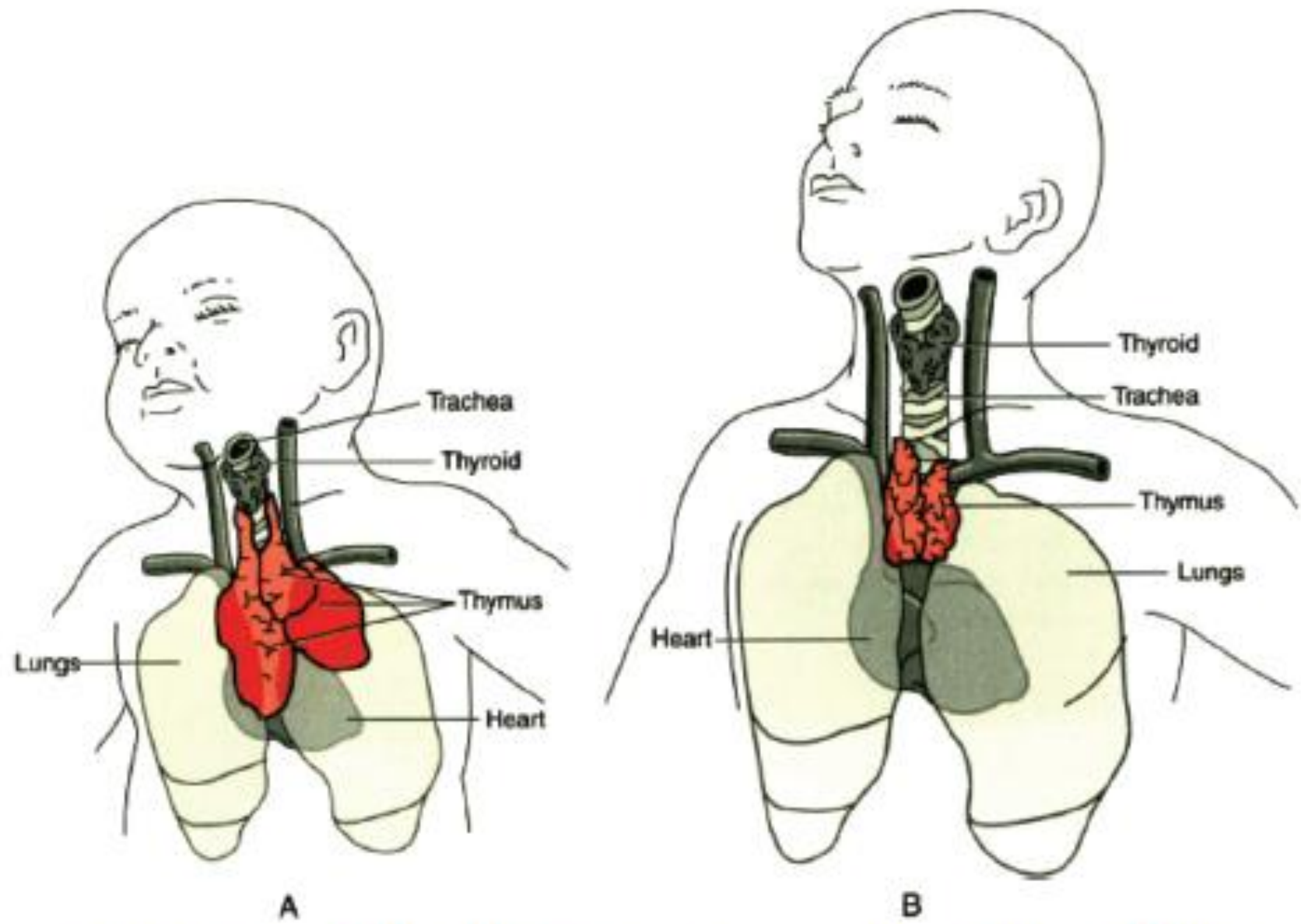
جدول ۲-۷: خصوصیات مختلف و تفاوت‌های بین خون‌سازی بدوى و نهایي

خون‌سازی نهایي (Definitive)				خون‌سازی بدوى (Primitive)	خصوصيات
۴				۱	تعداد مراحل
Adult-Definitive	Meta-Definitive	Meso-Definitive	Pro-Definitive	مزوبلاستيك	نام مراحل
مغزاستخوان و تا حدودي تيموس	کبد جنيني و تا حدودي طحال و تيموس	AGM و تا حدودي پلاستنا	PASP و تا حدودي پلاستنا*	کيسه زرد (Y.S)	مكان خون‌سازى
از ۴/۵ ماهگي جينيني تا آخر عمر	۱/۵ ماهگي جينيني تا ۲ ماه بعد زايمان	E45-E60 رويانى	E30-E50 رويانى	E14-E45 رويانى	زمان خون‌سازى
بعد زايمان	۴-۶ ماهگي	E45	E40	E25	حداكثر خون‌سازى
پانميلوز (همه ردهها) +	پانميلوز (همه ردهها)	اريتروئيدى و پلاكتى	اريتروئيدى و پلاكتى	فقط اريتروئيدى	أنواع رده‌های خونی
خارج عروقى اينترا مدولاري تماماً داخل جينيني	خارج عروقى اكسترا مدولاري تماماً داخل جينيني	داخل عروقى اكسترا مدولاري داخل رويانى (به جز پلاستنا)	داخل عروقى اكسترا مدولاري داخل رويانى (به جز پلاستنا)	داخل عروقى اكسترا مدولاري خارج رويانى	نوع خون‌سازى
EPO و Runx-1 و SCL,GATA1/2,LMO2 و ELKF و فاكتورهای رونویسی				FLKF ,SCL,Lmo-2, GATA1/2 ,SP-1 Epo بدون	فاكتورهای خون‌سازى
آلفا و بتا < دلتا و گاما	آلفا و گاما > بتا	زتا، اپسيلون، و مقدار بسيار اندکي آلفا و گاما	زتا و اپسيلون	زتا و اپسيلون	نوع گلوبين
A>A2>F	F>A	گاور ۱، گاور ۲، پورتلند ۱ و اندکي F	گاور-۱	گاور-۱	نوع همو گلوبين
۴ ماه	۴ ماه	۵-۶ ماه	۵-۶ ماه	۵-۶ ماه	RBC عمر
90fl/30pg	100fl/35pg	300fl/100pg	400fl/100pg	MCV/MCH	
.۹۵	.۷۰	.۱۰۰	.۱۰۰	RBC هسته	

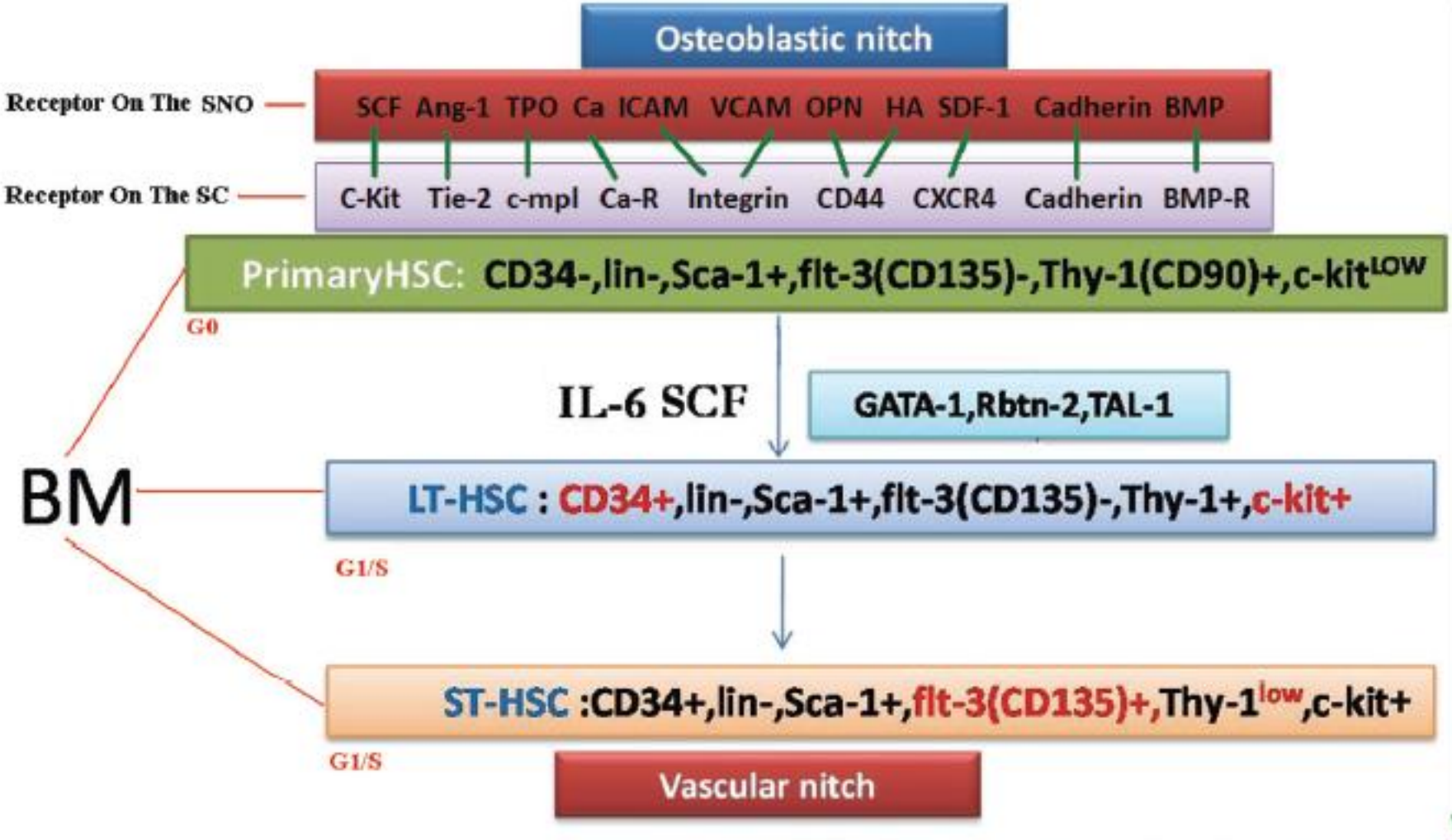
* علاوه بر جفت، کوریون و آلتنتوپیس نیز در خون‌سازى خارج رويانى کمک می‌کنند.

+ همه رده‌ها (لنفوپوئز، گرانولوپوئز، اريتروپوئز و مگاکاربويوپوئز)

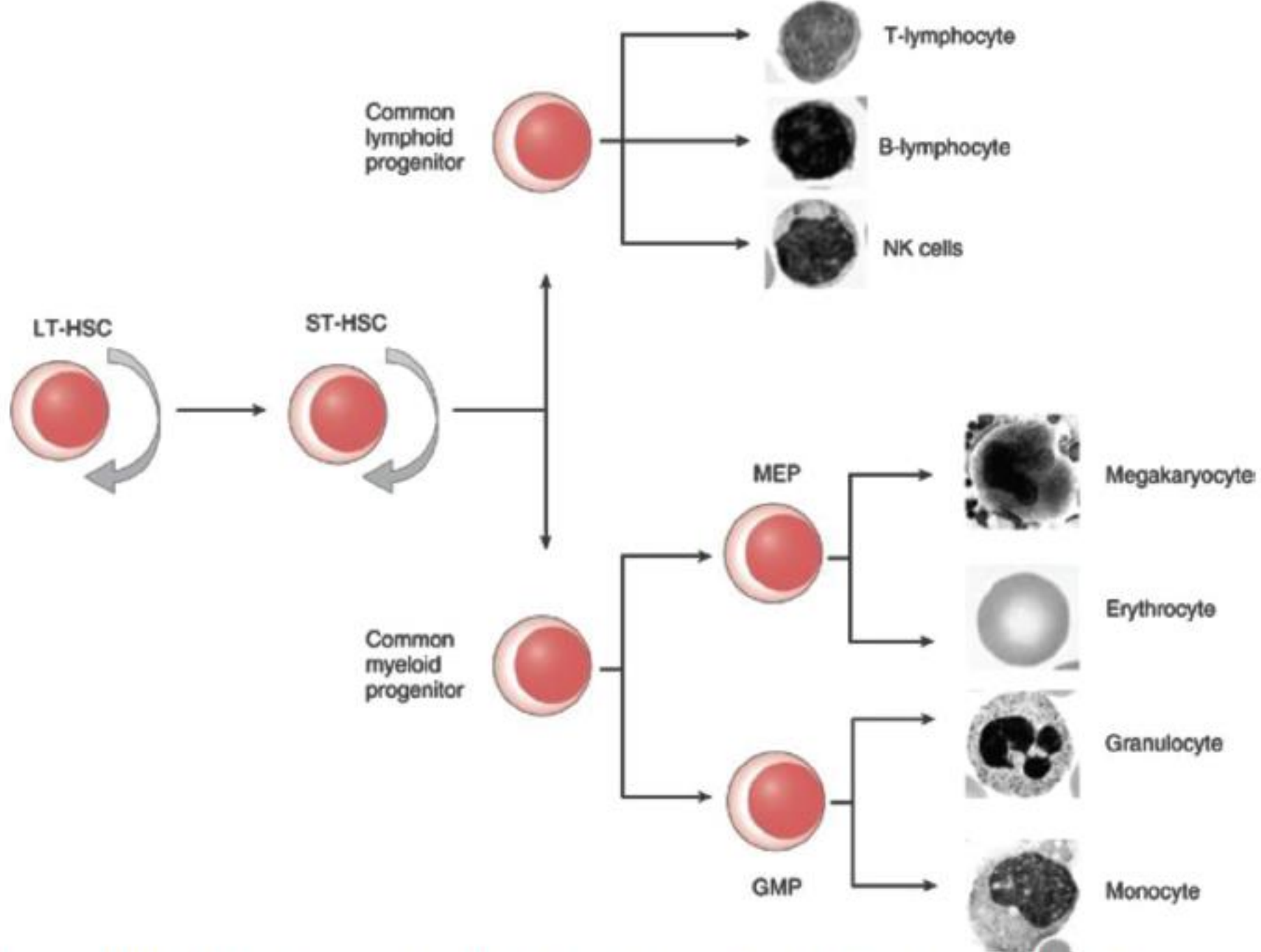




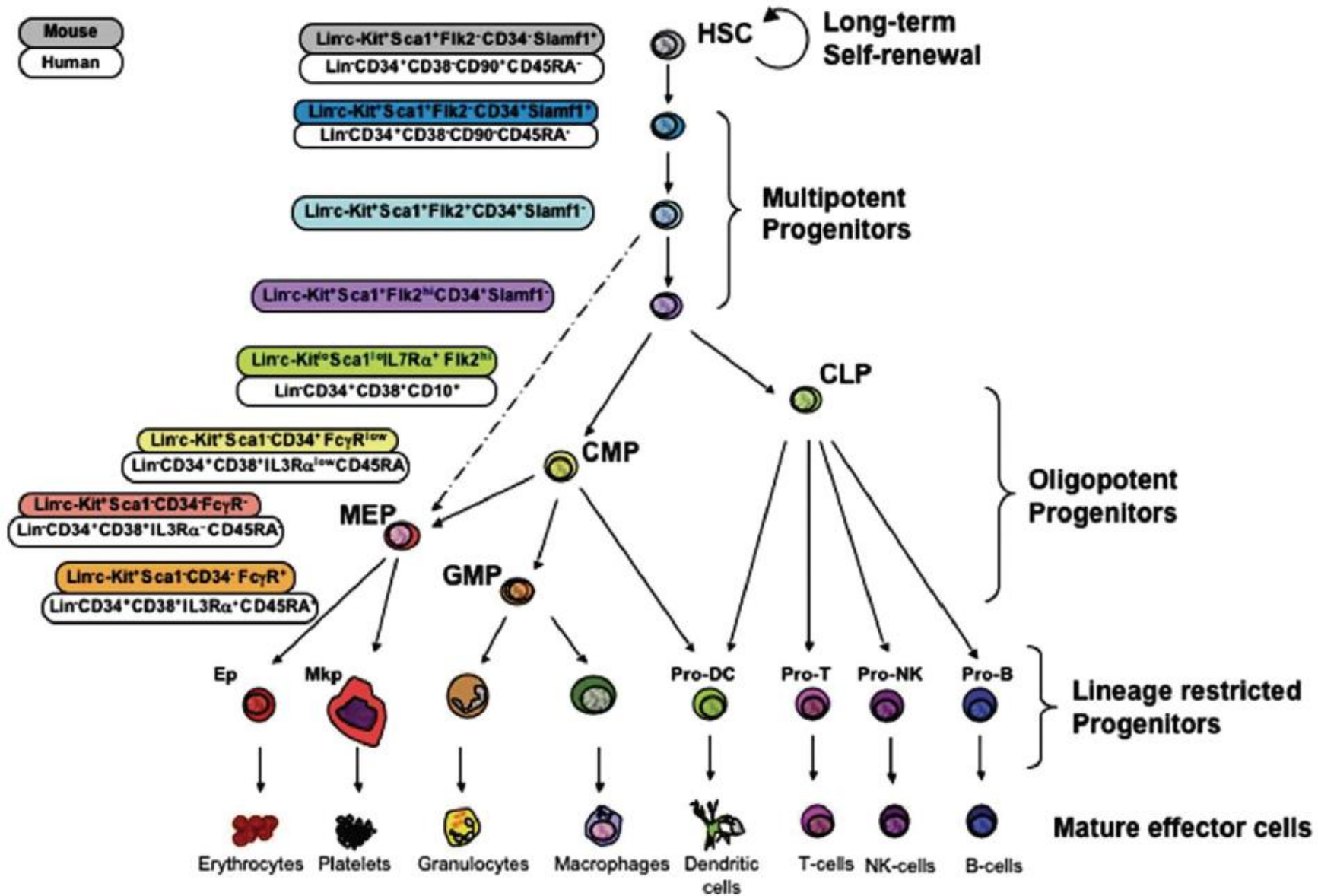
شکل ۱۶-۱۷: تفاوت اندازه تیموس در یک فرد خردسال (A) با یک فرد بالغ (B).

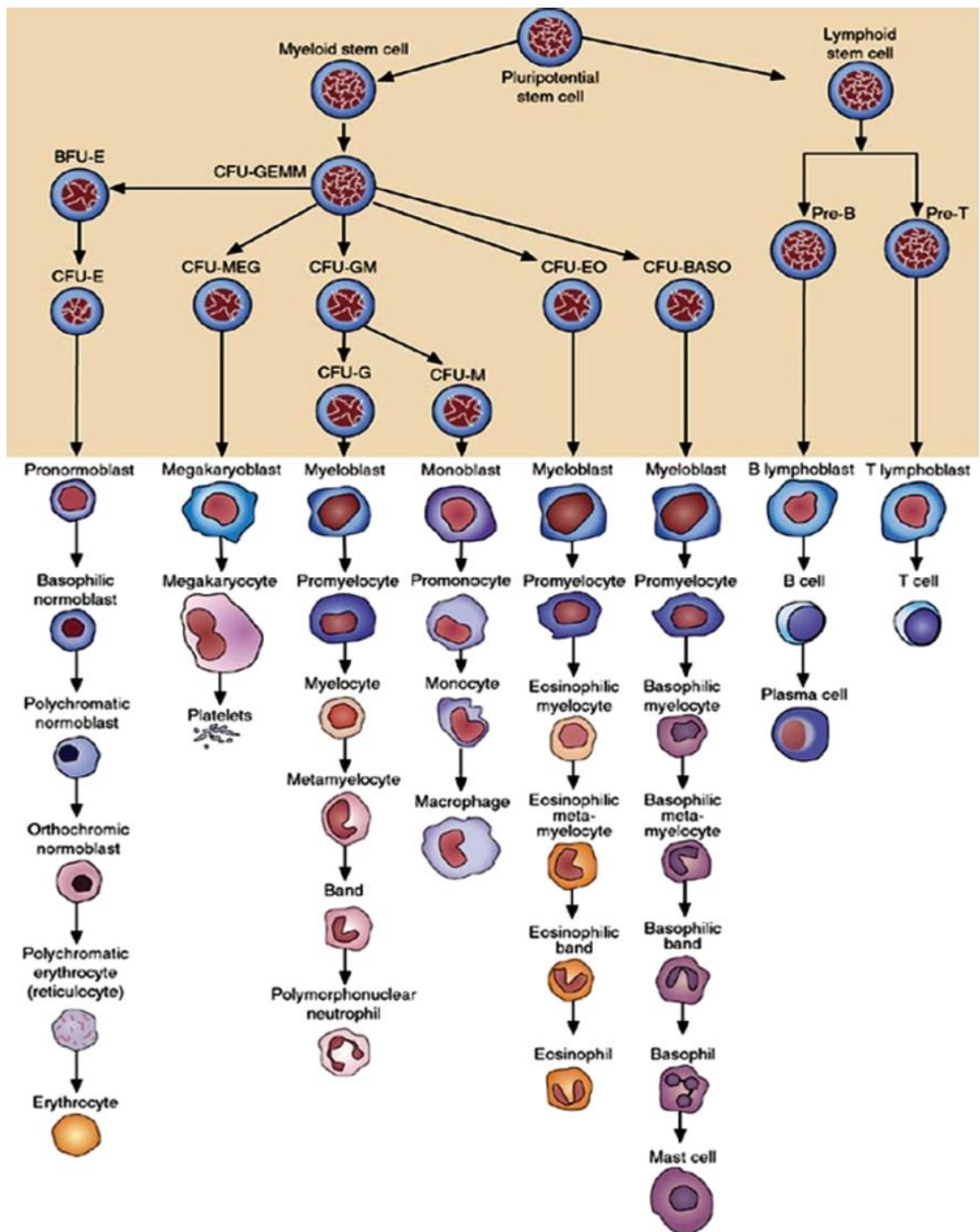


	CD34	CD133	CD135 (flt-3)	CD45	CD90 Thy-1	Lin CD38,33	Sca-1	c-Kit	CD150	CD48	CD244	Rh123 Hoechst	HLA-DR
Primary-HSC	-	+	-	+	+	-	+	low	+	-	-	-	-
LTC-HSC	+	+	-	+	+	-	+	+	+	-	-	-	-
STC-HSC	+	+	+	+	-	-	+	+	-	-	+	low	-
HPP	+	low	+	+	-	+	low	+	-	+	-	+	±11



شکل ۱۷-۱۷: مسیرهای مختلف تمایز هماتوپوئیتیک که با تبدیل STC-HSC به دو پروژنیتور CMP و CLP همراه می‌باشد.





استمسل مادر ← سلول بالغ نهایی ← پرده‌گورسوز (دهای) ← پروژنیتور مشترک اولیه ← STC-HSC ← LTC-HSC

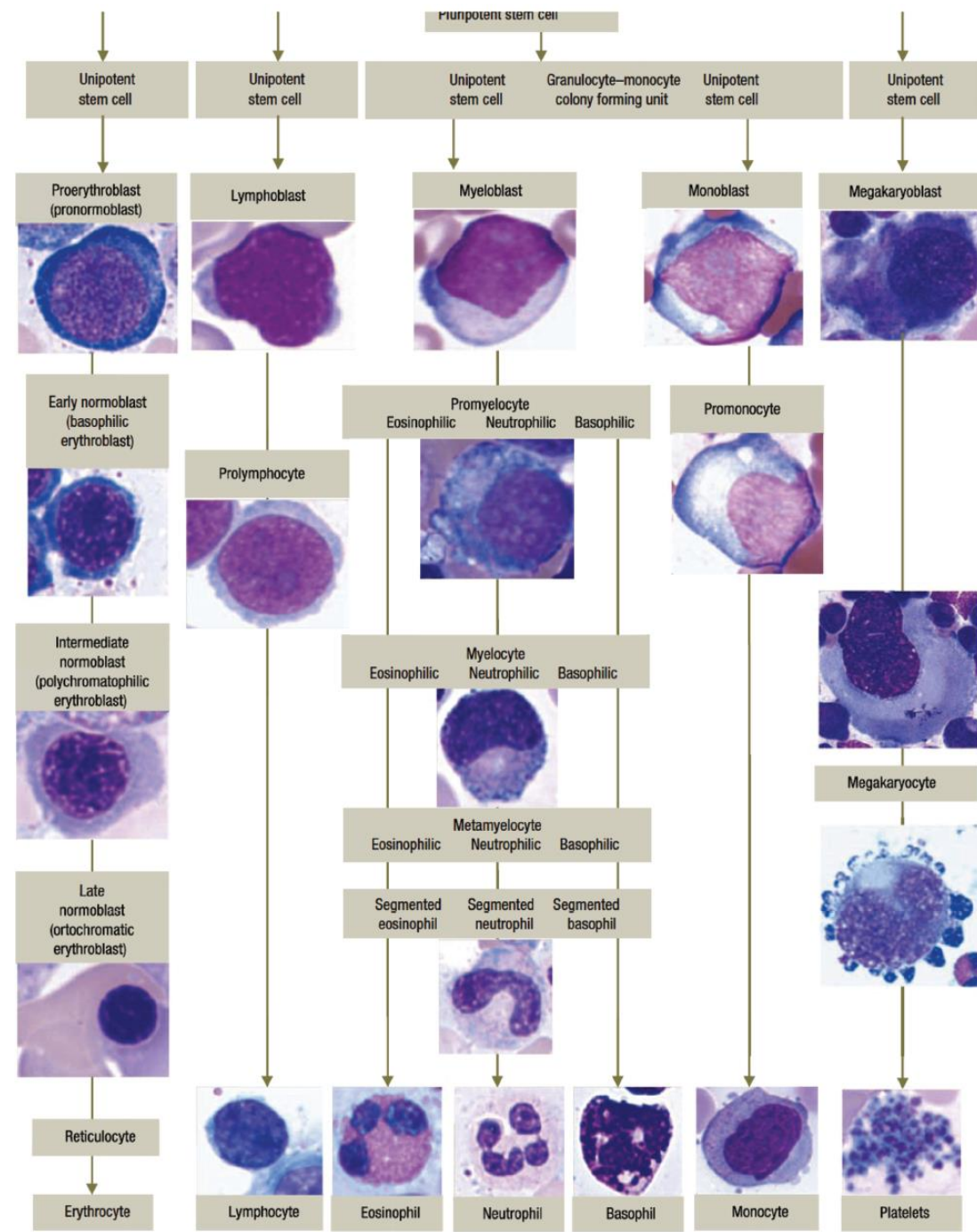
مثال این مسیر تمایزی برای رده اریتروئیدی یا گرانولوسیتی به صورت زیر است که در آن استمسل‌ها با رنگ بنفش، پروژنیتورها با رنگ قرمز، پرده‌گورسوزها با رنگ سیاه و سلول نهایی با رنگ آبی نشان داده شده است:

(ده اریتروئیدی):

پرونورموبلاست ← CFU-E ← BFU-E ← MEP(CFU-ME) ← CMP(CFU-GEMM) ← STC-HSC ← LTC-HSC ← Primary-HSC ← بازووفیلیک نورموبلاست ← پلی‌کروماتوفیلیک نورموبلاست ← اورتوکروماتوفیلیک نورموبلاست ← رتیکولوسیت ← RBC.

(ده نوتروفیلی):

پرمیلوسیت ← میلوبلاست ← CFU-G ← GMP(CFU-GM) ← CMP(CFU-GEMM) ← STC-HSC ← LTC-HSC ← Primary-HSC ← میلوسیت ← متامیلوسیت ← باندسل ← نوتروفیل.



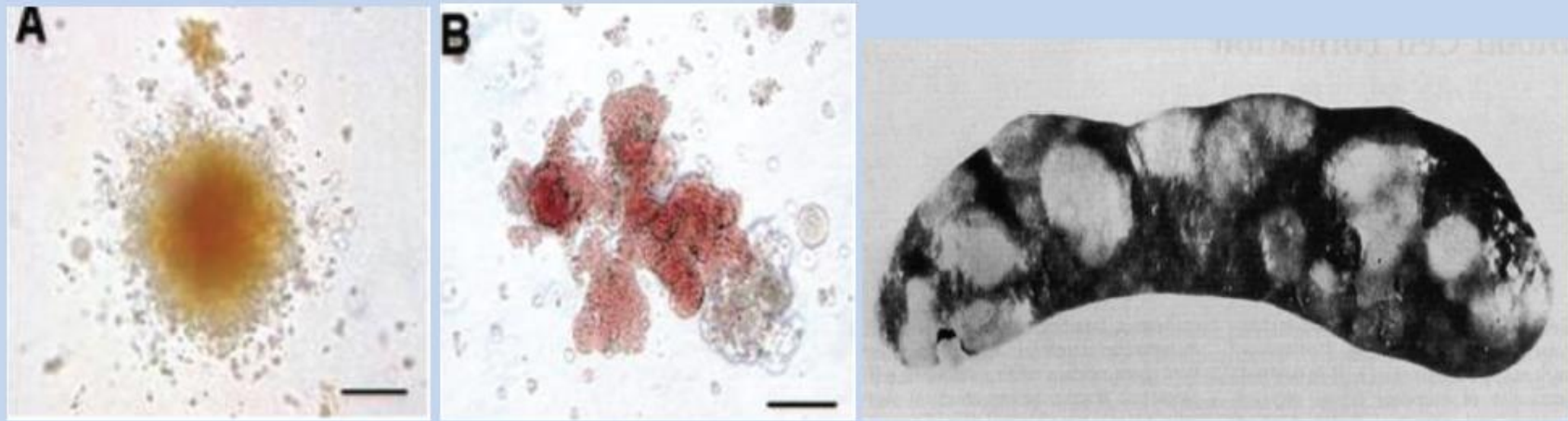
در مراجع مختلف:

به STC-IC، واحد تشکیل دهنده کلونی-طحال (CFU-S).^۱

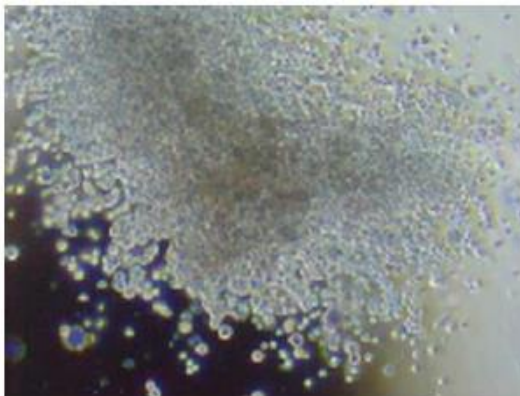
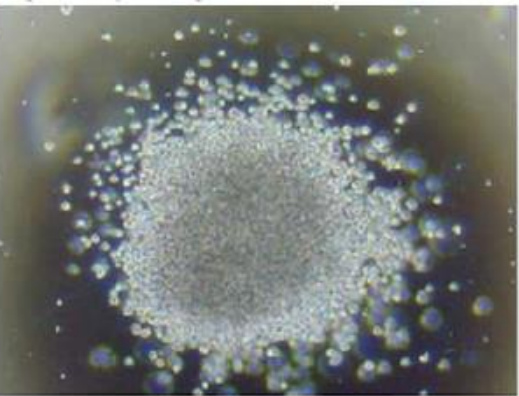
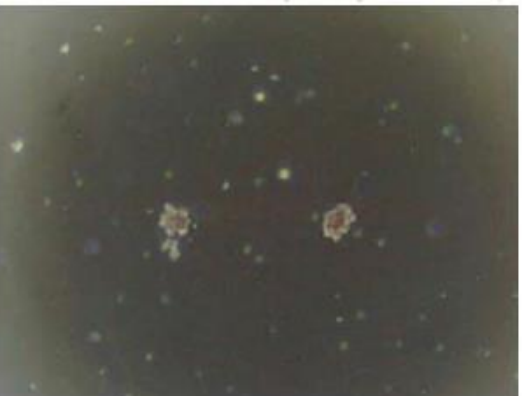
به CMP، واحد تشکیل دهنده کلونی-گرانولوسیت/اریتروسیت/مونوسیت/مگاکاریوسیت (CFU-GEMM or CFU-Mix)

به MEP، واحد تشکیل دهنده کلونی-مگاکاریوسیت/اریتروسیت (CFU-MegE)

و به GMP، واحد تشکیل دهنده کلونی-گرانولوسیت/مونوسیت-ماکروفاز (CFU-GM) گفته می‌شود که خیلی از این عبارات هنوز هم معتبر هستند.



شکل ۱۷-۱۸: (A) تصویر CFU-GEMM و (B) تصویر CFU-S و (C) تصویر BFU-E به ورید دم موش اشتعه دیده. به صورت کلونی در سطح طحال موش تشکیل می‌شود. هر کلونی معادل دهها سلول خونی است که از یک HSC مشتق می‌شوند. لذا تعداد کلونی‌ها با تعداد HSC‌های موجود در نمونه اولیه برابر می‌کند. علاوه بر سطح طحال، در قسمت‌های عمقی طحال نیز کلونی‌هایی وجود دارد که کلونی‌های سطحی بیانگر پروژنیتورهای اریتروئیدی و کلونی‌های عمقی بیانگر پروژنیتورهای مگاکاریوسیتی و میلوسیتی می‌باشند. HSC‌های تزریق شده علاوه بر طحال، در BM موش نیز مستقر می‌شوند ولی کلونی آنها قابل مشاهده نبوده و سلول‌های حاصل از آنها بلافاصله در BM پخش شده و وارد وریدهای خونی می‌شوند. موش‌های مورد استفاده در این تست از نوع NOD/SCID هستند که به طور ژنتیکی سیستم ایمنی آنها مختل بوده و لذا واکنش‌های رد پیوند نسبت به HSC‌های تزریقی را نشان نمی‌دهند.

**CFU-E (Colony forming unit-erythroid):**

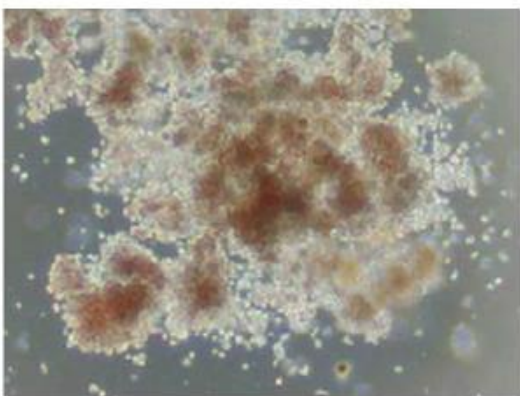
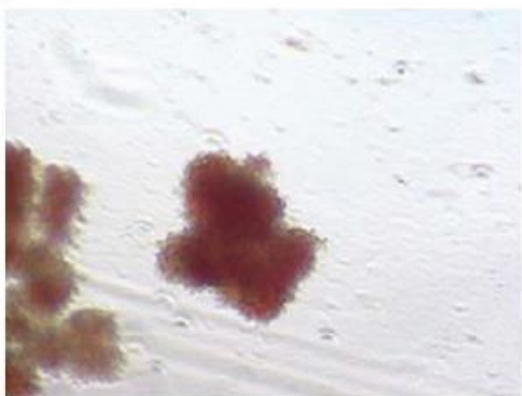
Clonogenic progenitors that produce only one or two clusters with each cluster containing from 8 to approximately 100 hemoglobinized erythroblasts. It represents the more mature erythroid progenitors that have less proliferative capacity.

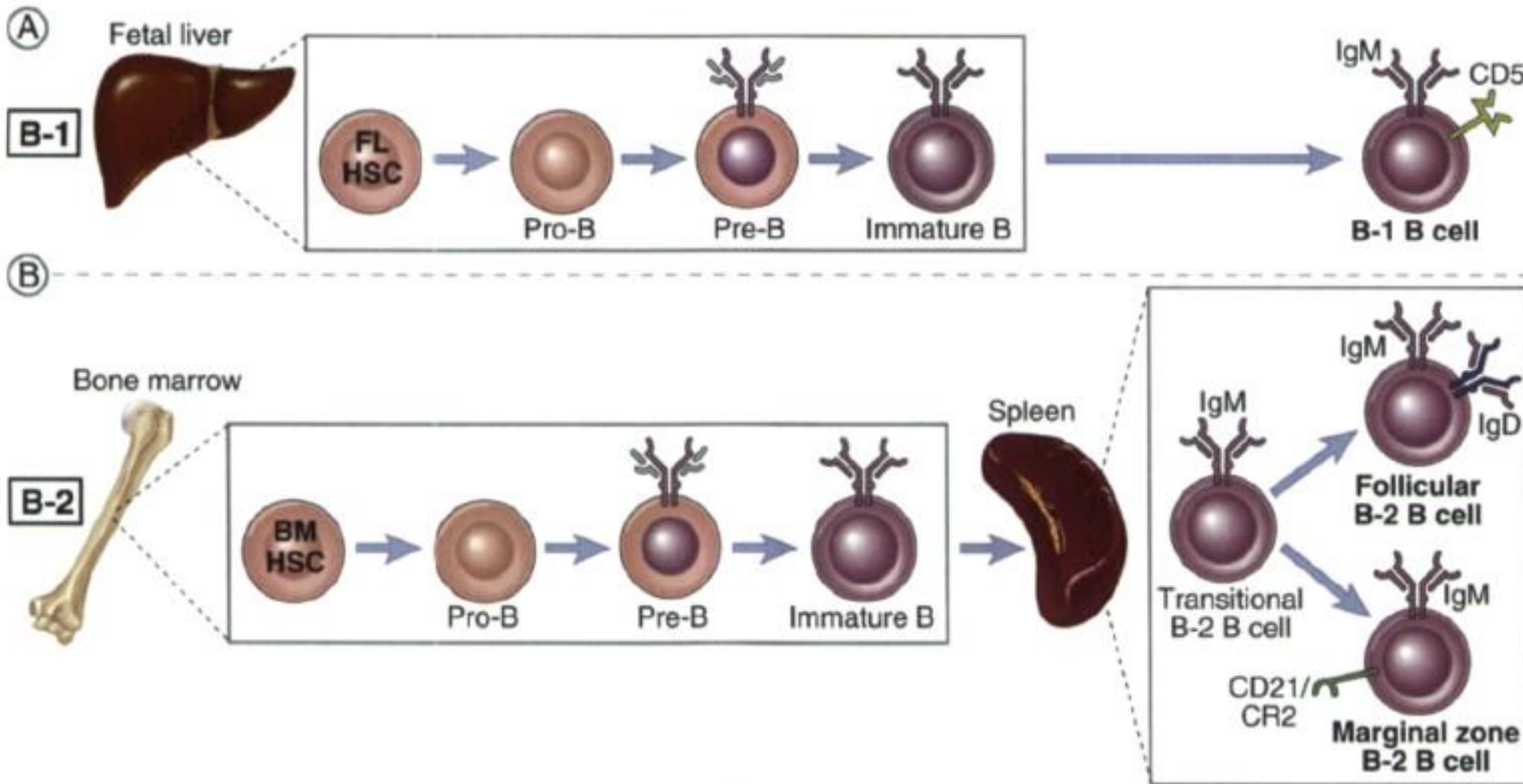
CFU-G (Colony forming unit-granulocyte):

Clonogenic progenitors of granulocytes that give rise to a homogeneous population of eosinophils, basophils or neutrophils.

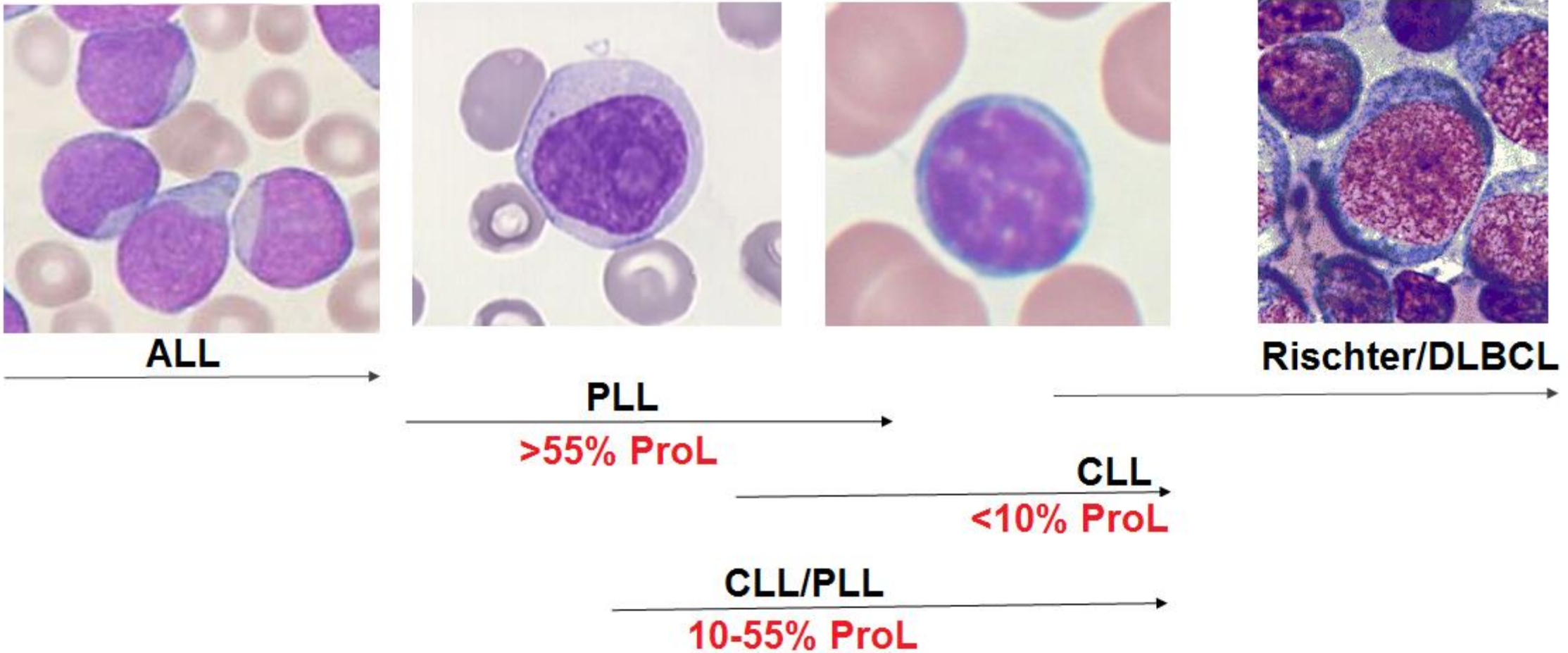
CFU-GM (Colony forming unit-granulocyte, macrophage):

Progenitors that give rise to colonies containing a heterogeneous population of macrophages and granulocytes. The morphology is similar to the CFU-M and CFU-G descriptions.

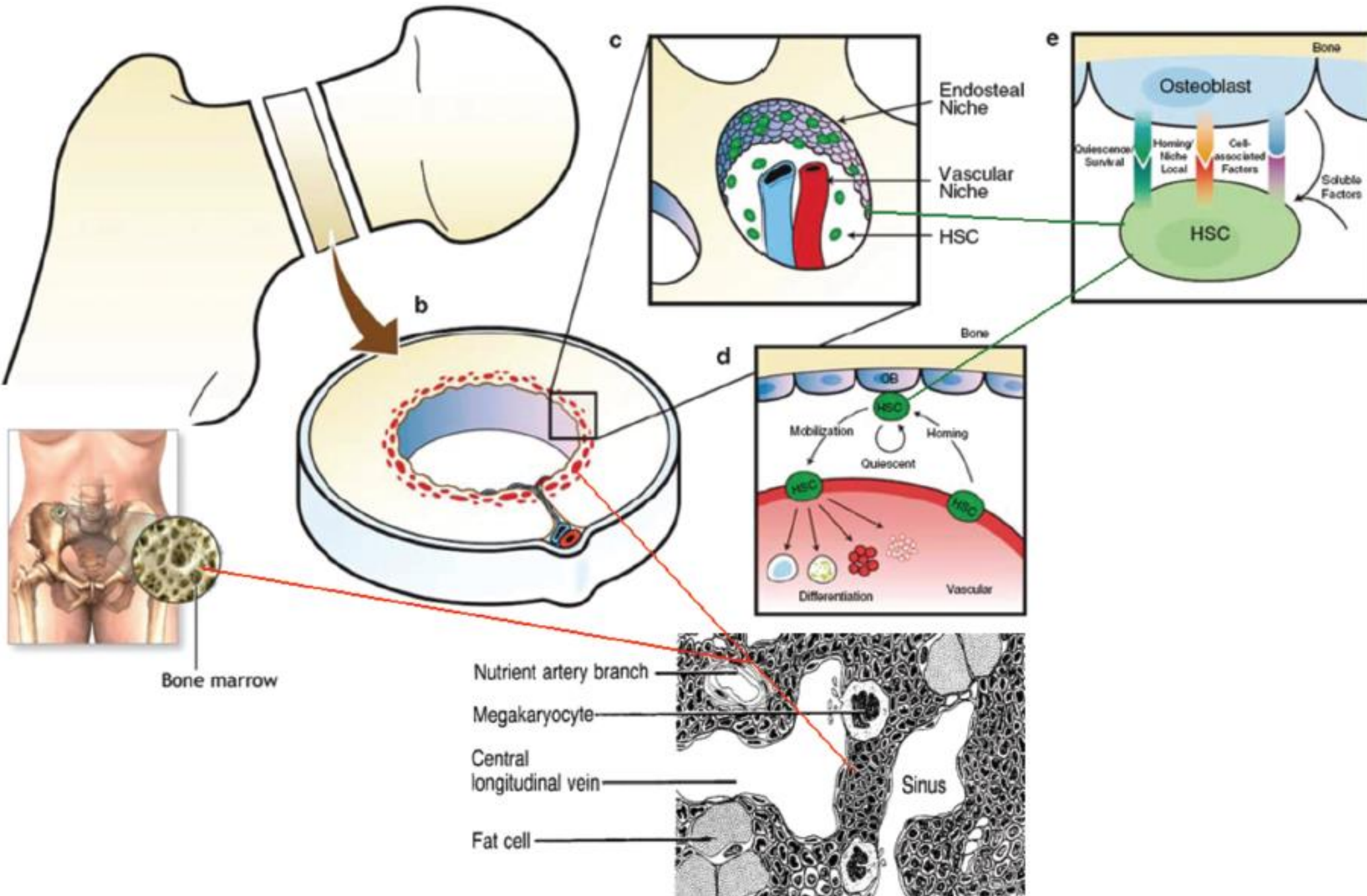
**BFU-E (Burst forming unit-erythroid):** The size of the colony can be described as small (3 to 8 clusters), intermediate (9 to 16 clusters), or large (more than 16 clusters) according to the number of clusters present. These are primitive erythroid progenitors that have high proliferative capacity.**CFU-M (Colony forming unit-macrophage):** Clonogenic progenitors of macrophages that give rise to a homogenous population of macrophages.**CFU-GEMM (Colony forming unit-granulocyte, erythrocyte, macrophage, megakaryocyte):** Multi-lineage progenitors that give rise to erythroid, granulocyte, macrophage and megakaryocyte lineages, as the name indicates.



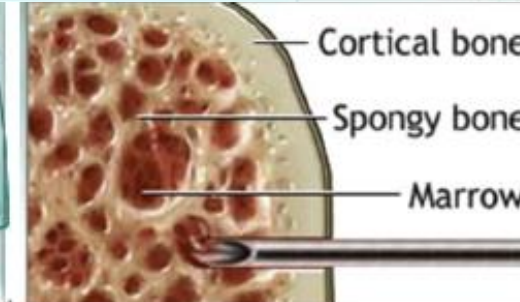
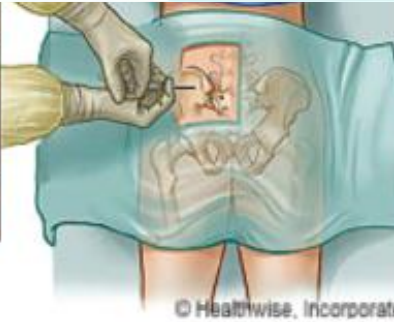
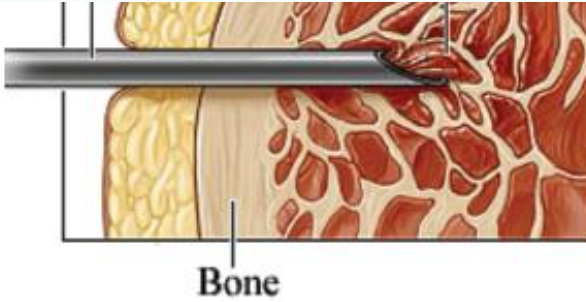
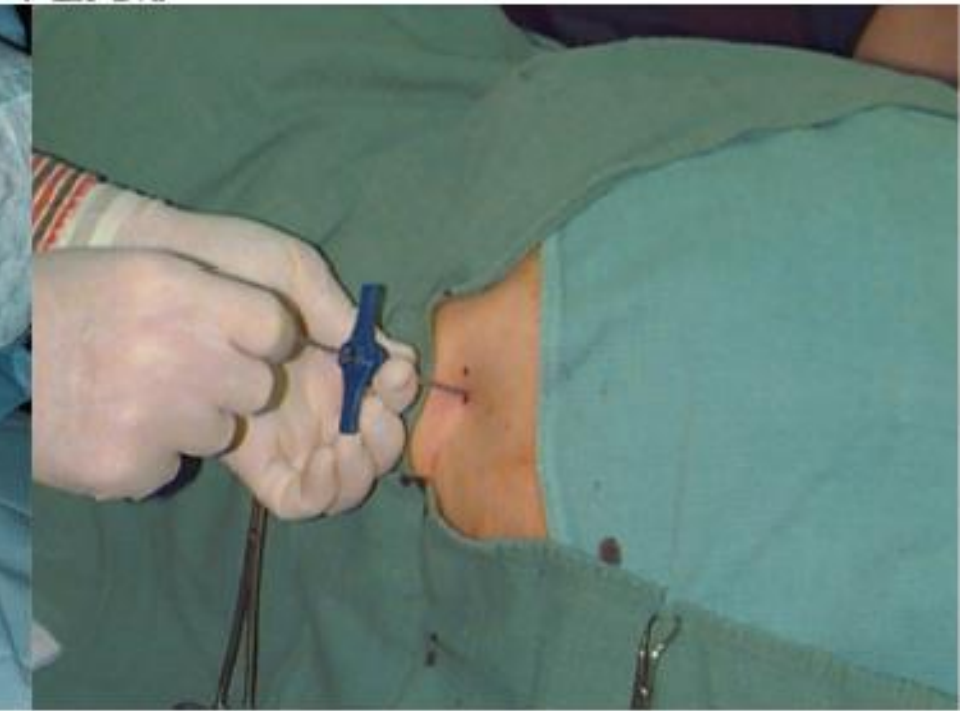
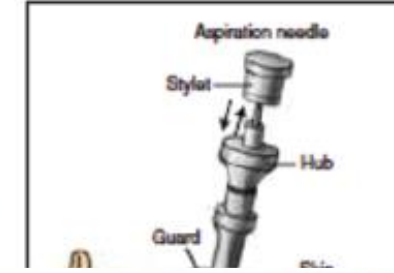
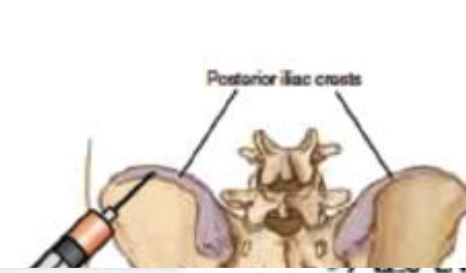
شکل ۱۵-۱۷: مراحل تولید لنفوسيت‌های B نوع ۱- B-1 و B-2 که به ترتیب در کبد و BM صورت می‌گیرد [۳۶].



Bone Marrow Examination



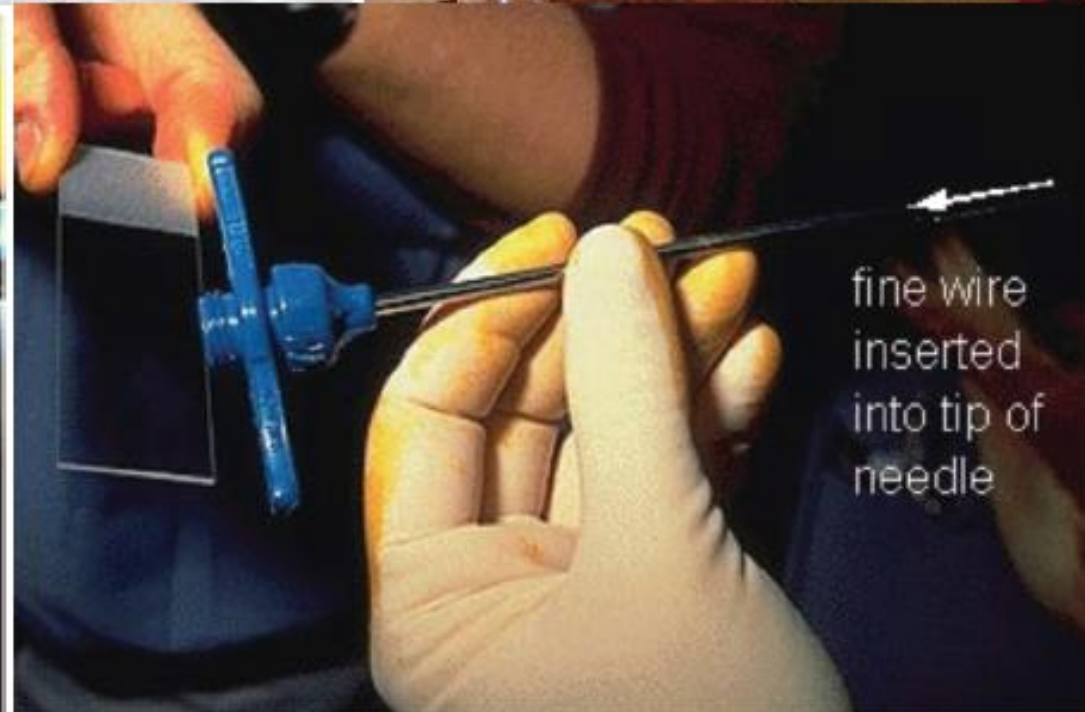
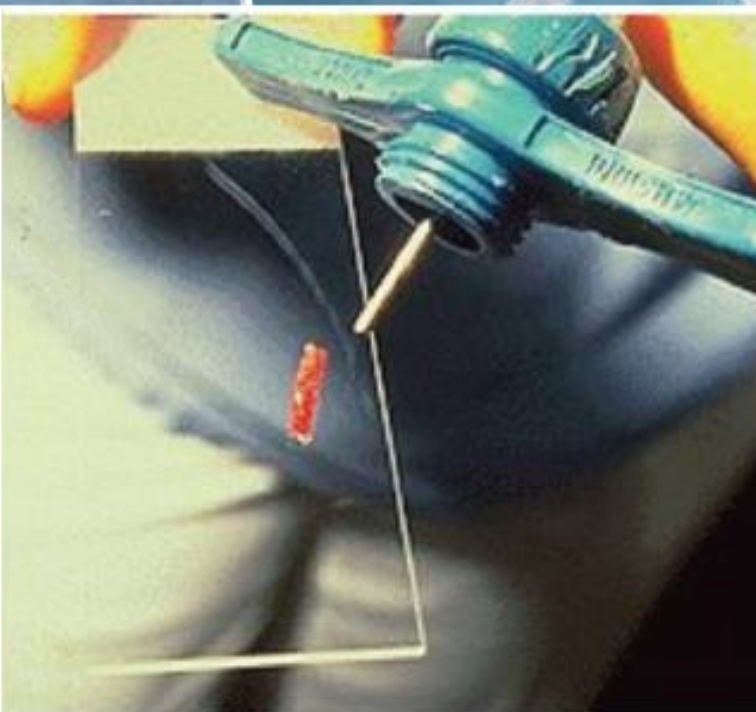
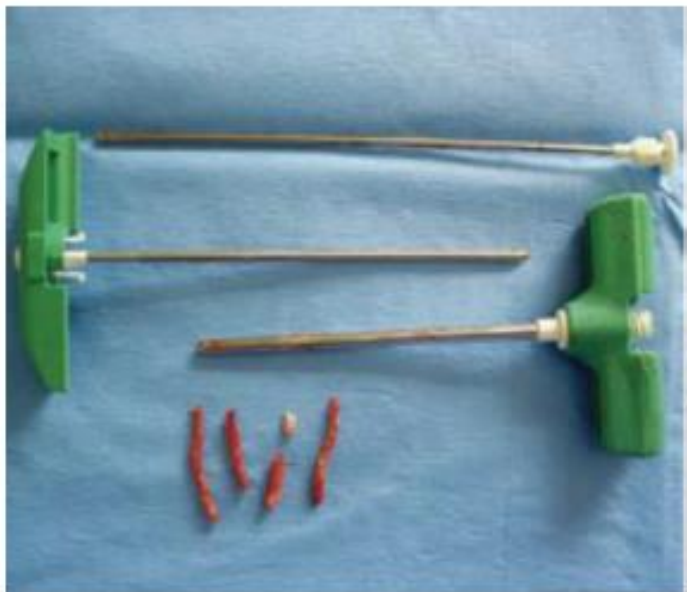
شکل ۱-۱۸: نمایی شماتیک از موقعیت و انواع سلول‌های تشکیل دهنده BM [۲۱].

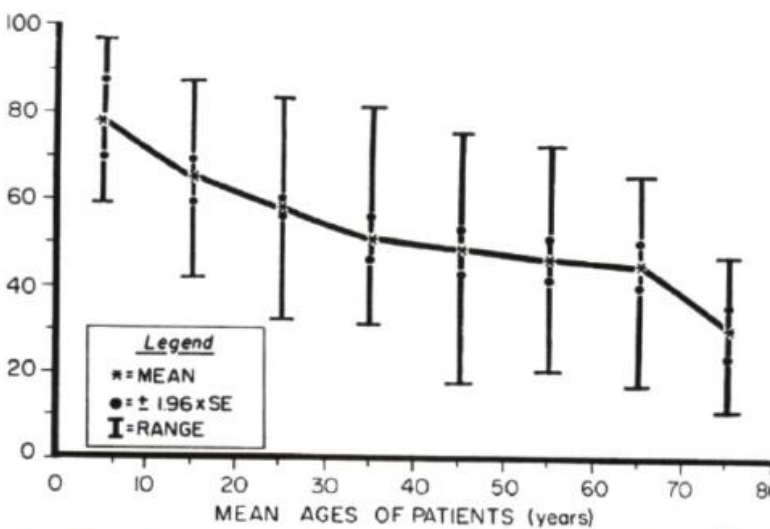




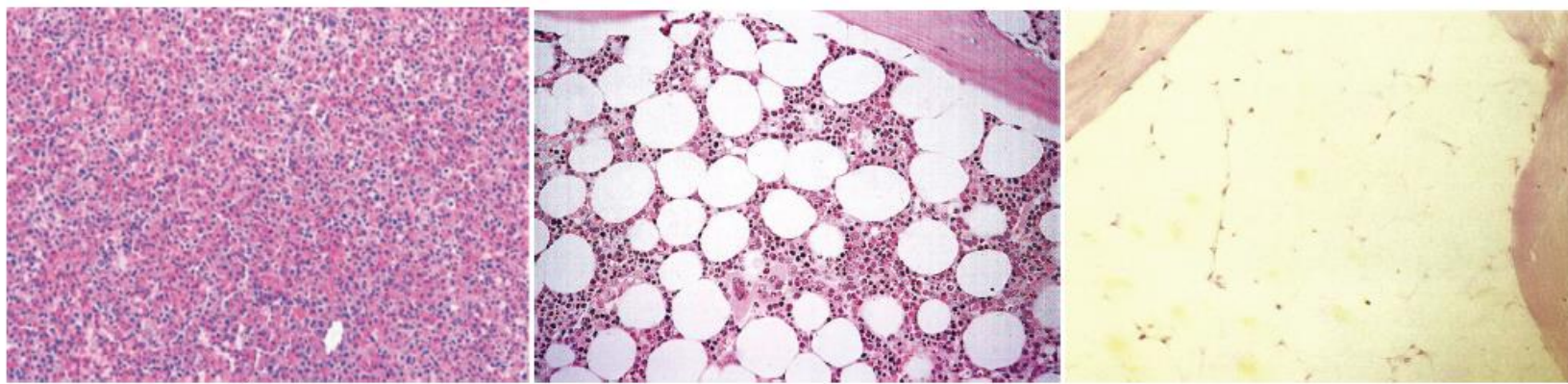
شکل ۱-۲۰: از راست به چپ: ۱) سوزن جدید ایلینویز. ۲) سوزن قدیم ایلینویز. ۳) سوزن ژور-وت. ۴) سوزن قدیم جمشیدی و ۵) سوزن جدید جمشیدی





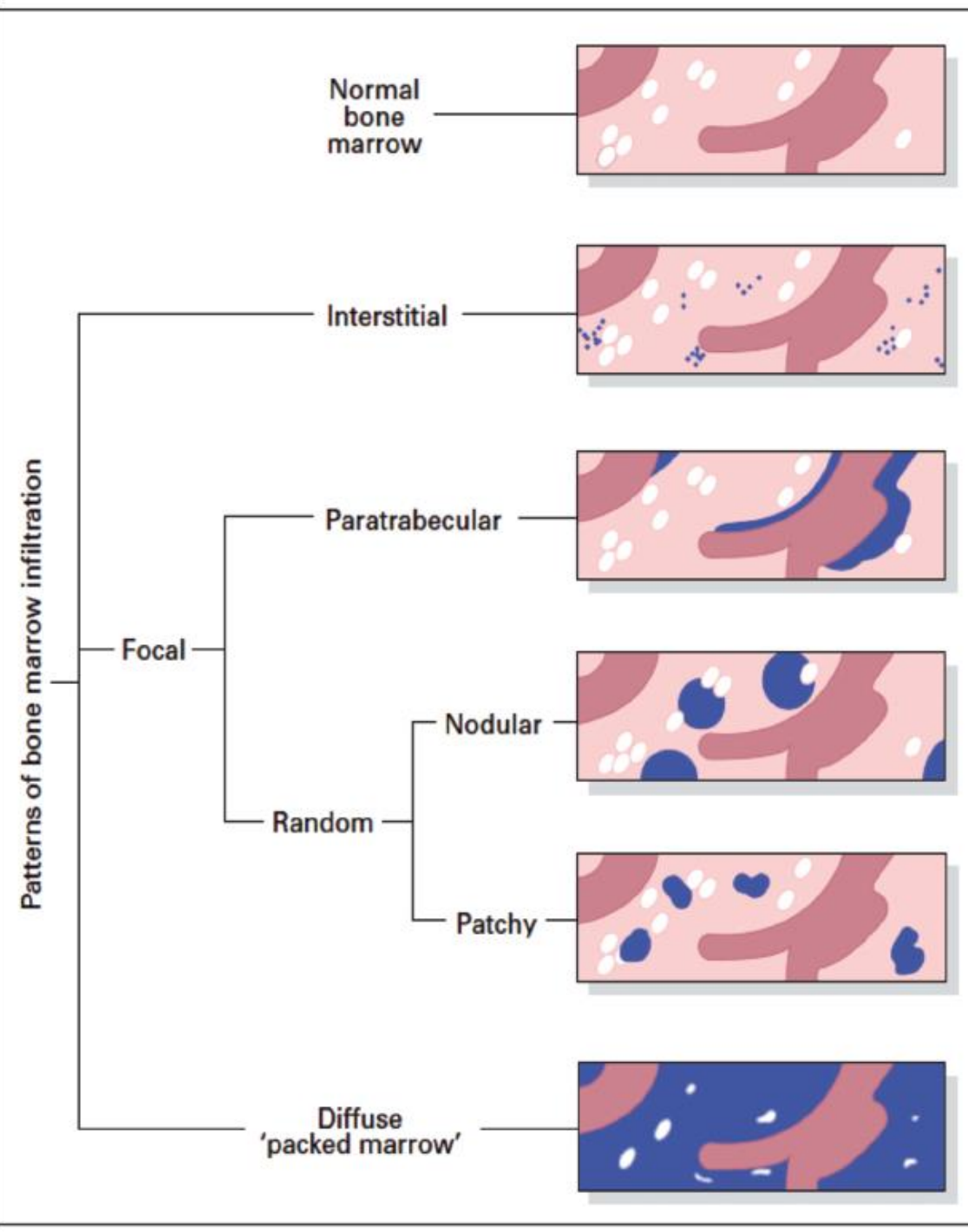
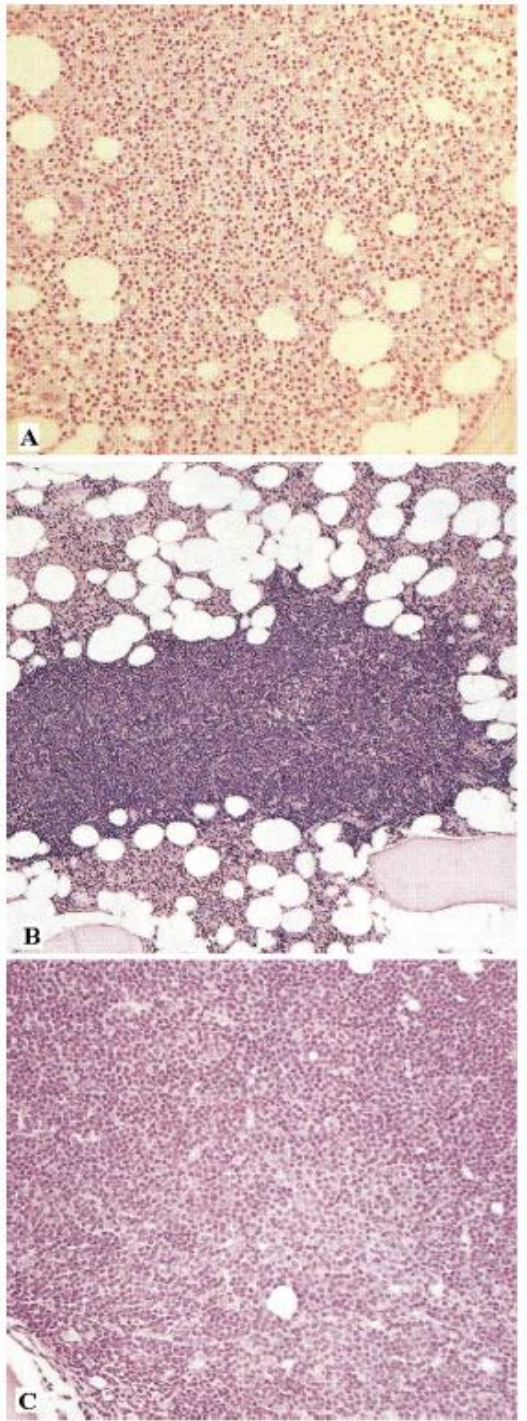


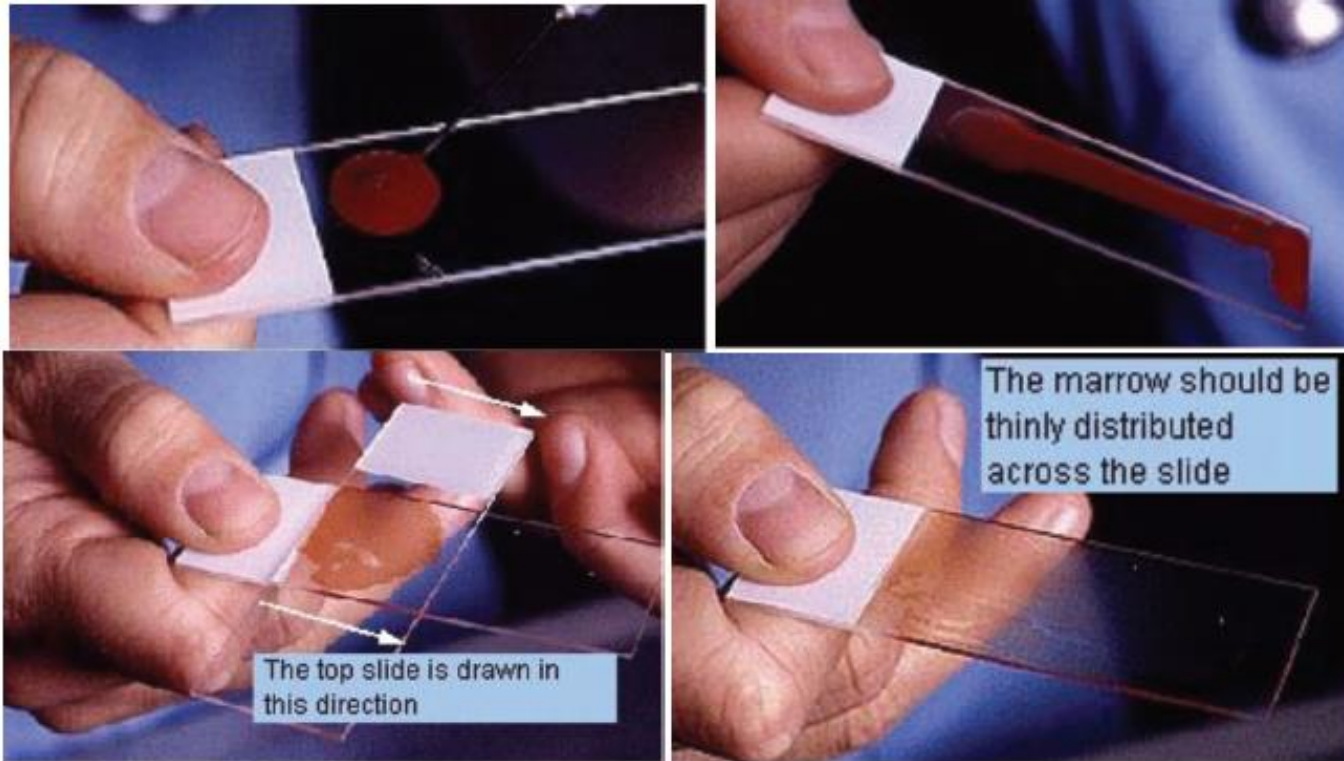
شکل ۱۸-۲۰: کاهش وابسته به سن سلوولاریته PIC طبیعی از ۱۰۰٪ در بدو تولد تا ۳۰٪ در بالای ۷۰ سالگی [۸].



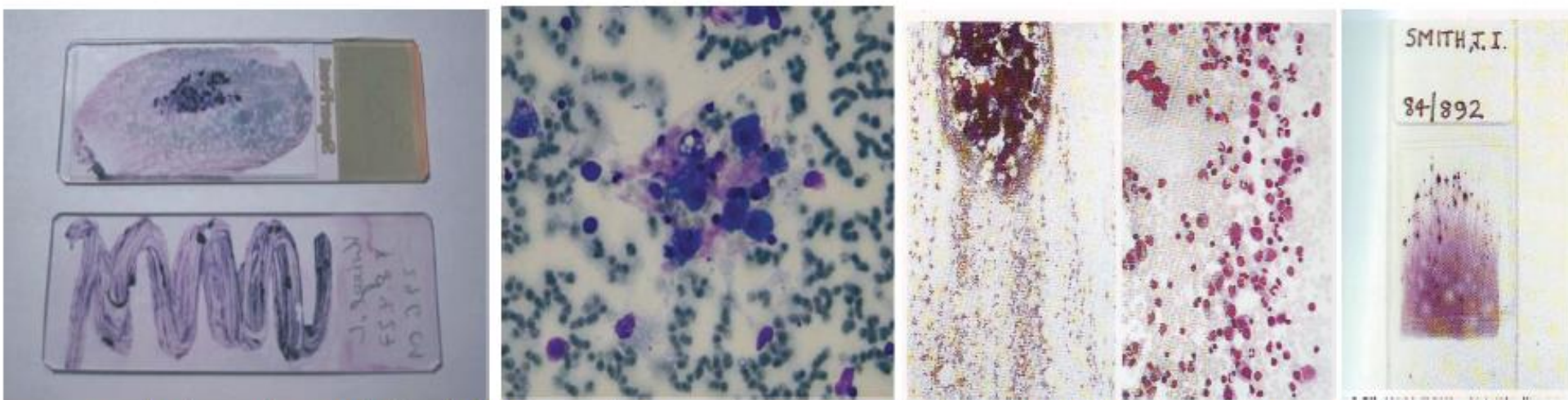
شکل ۱۹-۲۰: تصویر راست: شرایط هیپوسلووار شدید (۵٪ سلوول های خون ساز ۹۵٪ آدیپوسیت). تصویر وسط: شرایط نورموسلوار (۵۰٪ سلوول های خون ساز به ۵٪ آدیپوسیت). تصویر چپ: شرایط هیپرسلووار (۹۵٪ سلوول های خون ساز به ۵٪ آدیپوسیت) [۸].

یا خردسالی اشاره نمود. میزان سلوولاریته هر فردی با توجه به سن شخص و نوع استخوان مورد نمونه برداری فرق می‌کند. برای مثال، در سن ۵۰ سالگی متوسط سلوولاریته در استخوان مهره ۷۵٪، جناغ ۶۰٪، ستیغ ایلیاک ۵۰٪ و در دندنهای ۳۰٪ است. از طرفی دیگر، سلوولاریته طبیعی استخوان PIC ایلیاک نیز در سنین مختلف فرق داشته و از بدو تولد تا ۳ ماهگی، حدود ۱۰۰٪ از ۳ ماهگی تا ۱۸ ماهگی حدود ۸۵٪ از ماه ۱۸ تا ۱۰ سالگی حدود ۸۵٪، تا ۳۰ سالگی ۵۰٪، تا ۴۰ سالگی ۴۵٪، تا ۵۰ سالگی ۴۰٪، تا ۶۰ سالگی ۳۵٪ و در ۷۰ سالگی یا بالاتر به ۳۰٪ کاهش پیدا می‌کند. همان‌طوری که اشاره شد، بجز مقاطع بافتی بیوپسی، مقایسه ناحیه دنباله مانند گسترهای آسپیراسیون توسط یک فرد مجرب نیز قادر است یک برآورد نسبتاً دقیق و معقولانه از سلوولاریته BM را فراهم کند.





شکل ۱۰-۲۰: روش تهیه گستره له شده یا اسکواش از پارتیکل های آسپیره BM



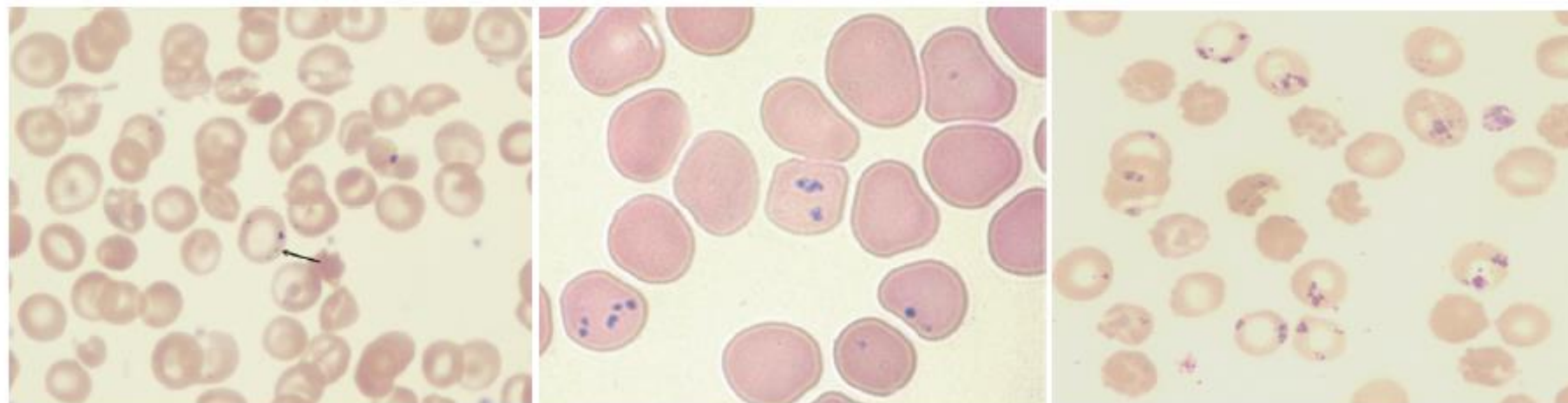
شکل ۱۱-۲۰: گستره مستقیم از آسپیراسیون BM و پارتیکل های خاکستری سطح آن که در بزرگنمایی بیشتر توده ای از سلول های پیش ساز خونی را نشان می دهد.

جدول ۳-۲۰: شمارش افتراقی سلول‌های BM توسط سه تن از محققین هماتولوژی در ۵ دوره از زندگی انسان [۸].

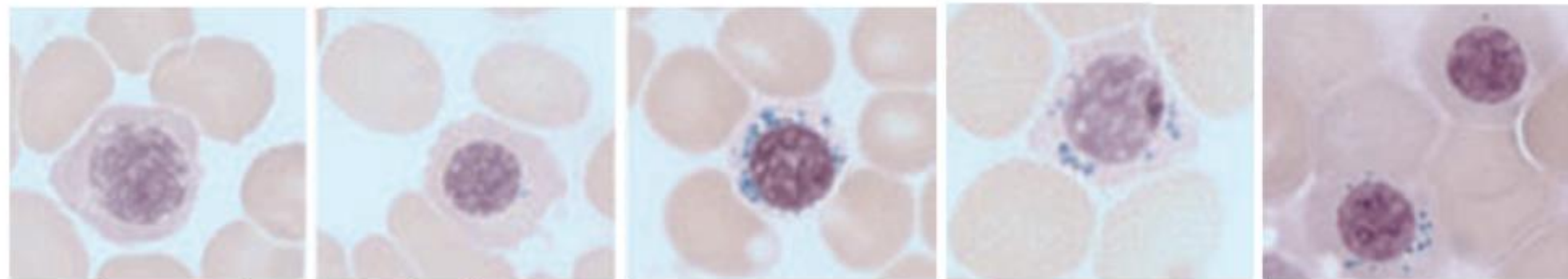
Cell types	ROSSE (1977) (mean, SD)			MAUER (1969)	JANDL (1987)
	Birth	1 month	18 months	Childhood	Adult
Normoblasts, total	14.48 ± 7.24	8.04 ± 5.00	8.21 ± 3.71	23.1	21.5 (14.2–30.4)
Pronormoblasts	0.02 ± 0.06	0.10 ± 0.14	0.08 ± 0.13	0.5 (0.0–1.5)	0.6 (0.2–1.4)
Basophilic n.	0.24 ± 0.25	0.34 ± 0.33	0.50 ± 0.34	1.7 (0.2–4.8)	2.0 (0.7–3.7)
polychromatophilic n.	13.06 ± 6.78	6.90 ± 4.45	6.97 ± 3.56	18.2 (4.8–34.0)	12.4 (12.2–24.2)
Orthochromatic n.	0.69 ± 0.73	0.54 ± 1.88	0.44 ± 0.49	2.7 (0.0–7.8)	6.5 (2.0–22.7)
Neutrophils, total	60.37 ± 8.66	32.35 ± 7.68	36.06 ± 7.40	57.1	56.0 (45.1–66.5)
Myeloblasts	0.31 ± 0.31	0.62 ± 0.50	0.06 ± 0.08	1.2 (0.0–3.2)	1.0 (0.5–1.8)
Promyelocytes	0.79 ± 0.91	0.76 ± 0.65	0.64 ± 0.59	1.4 (0.0–4.0)	3.4 (2.6–4.6)
Myelocytes	3.95 ± 2.93	2.50 ± 1.48	2.49 ± 1.39	18.3 (8.5–29.7)	11.9 (8.1–16.9)
Metamyelocytes	19.37 ± 4.84	11.30 ± 3.59	12.42 ± 4.15	23.3 (14.0–34.2)	18.0 (9.8–25.3)
Bands	28.89 ± 7.56	14.10 ± 4.63	14.20 ± 5.23		11.0 (8.5–20.8)
Segmented	7.37 ± 4.64	3.64 ± 2.97	6.31 ± 3.91	12.9 (4.5–29.0)	10.7 (8.0–16.0)
Eosinophils	2.70 ± 1.27	2.61 ± 1.40	2.70 ± 2.16	3.6 (1.0–9.0)	3.2 (1.2–6.2)
Basophils	0.12 ± 0.20	0.07 ± 0.16	0.10 ± 0.12	0.06 (0.0–0.8)	<0.1 (0.0–0.2)
Lymphocytes, total	15.6	49.0	45.5	16.0 (4.8–35.8)	15.8 (10.8–22.7)
Transitional	1.18 ± 1.13	1.95 ± 0.94	1.99 ± 1.00		
Small	14.42 ± 5.54	47.05 ± 9.24	43.55 ± 8.56		
Plasma cells	0.00 ± 0.02	0.02 ± 0.06	0.06 ± 0.08	0.4 (0.2–0.6)	1.8 (0.2–2.2)
Monocytes	0.88 ± 0.85	1.01 ± 0.89	2.12 ± 1.59		1.8 (0.2–2.8)
Megakaryocytes	0.06 ± 0.15	0.05 ± 0.09	0.07 ± 0.12		<1.0 (0.0–0.2)
Reticulum cells					0.3 (0.0–0.5)
M/E ratio	4.2	4.0	4.4	2.9 (1.2–5.2)	2.5 (1.2–5.0)

نتایج شمارش سلولی در مورد نمونه آسپیراسیون یک بیمار به صورت میلوبلاست ۶۵٪، متامیلوسیت ۴٪، باند ۱٪ نوتروفیل ۸٪، پرونورموبلاست ۲٪ بازووفیلیک نورموبلاست ۳٪، پلی کروماتوفیلیک نورموبلاست ۳٪، اورتوکروماتوفیلیک نورموبلاست ۳٪، لنفوسیت ۴٪ و مونوسیت ۳٪ است. نسبت M:E در این بیمار چگونه است؟

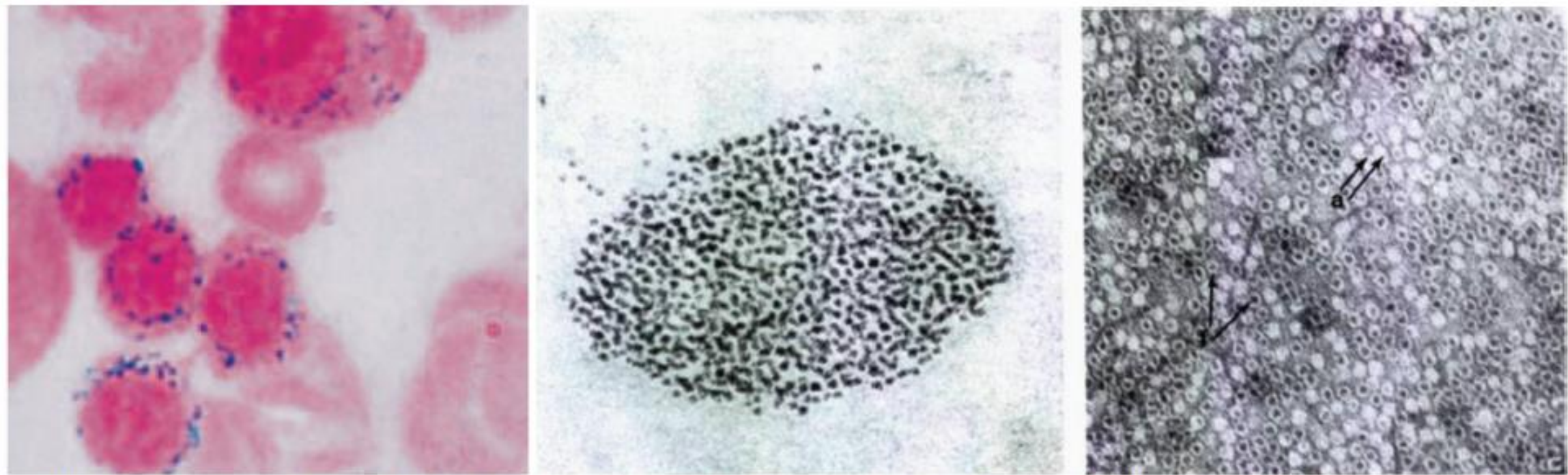
همان‌طوری که اشاره شد، در محاسبه M:E درصد لنفوسیت، پلاسماسل، مونوسیت و مگاکاربیوسیت شمارش نمی‌شوند، لذا سلول‌های میلوبلید برابر ۷۸٪ (۴+۳+۳+۲+۱+۱+۶۵٪) خواهند بود و بدین ترتیب M:E برابر ۷.4:1 می‌شود.



شکل ۲۰-۳۴: سیدروسیت‌های حاوی سیدروزوم چندتا بی



شکل ۲۰-۳۵: انواع مختلف سیدروblast‌های حلقوی

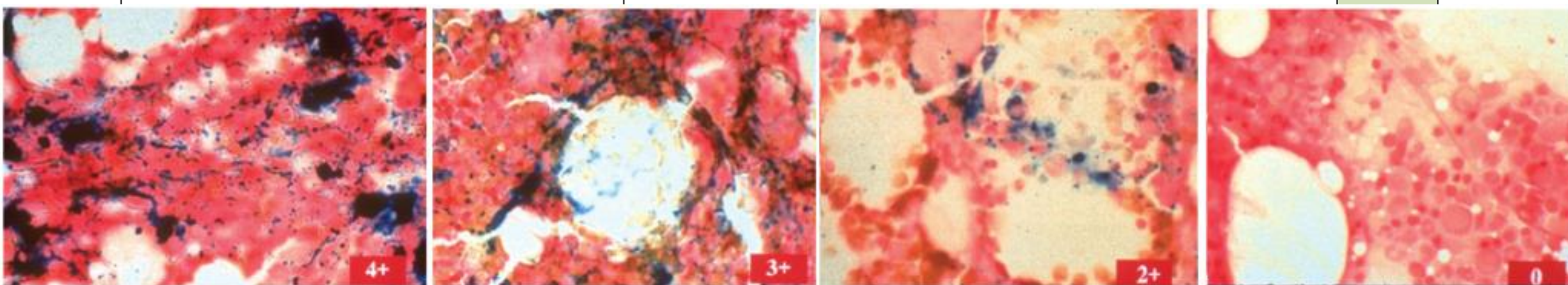


شکل ۲۰-۳۲: تصویر راست: میکروگراف الکترونی از فریتین و آپوفریتین‌هایی که به صورت نگاتیوی رنگ شده‌اند. پروتئین‌های آپوفریتین (a) پروتئین‌های خالی از آهن هستند که وسط آنها هنور از آهن (رنگ سیاه) پر نشده است ولی با قرار گیری آهن در آن و تشکیل فریتین (f). ساختارهای تیره رنگی در آنها ایجاد می‌شود. تصویر وسط: میکروگراف الکترونی از یک سیدروزوم متصل به غشاء اریتروblast که نشان می‌دهد سیدروزوم از تعداد زیادی فریتین فریادی منفرد تشکیل شده است. تصویر چپ: تصویر میکروسکوپ نوری از سیدروزوم‌های آهن دار در داخل نورموبلاست‌های اریتروblastی که با آبی پرس رنگ آمیزی شده است.

همان‌طوری که اشاره شد، بررسی ذخایر آهن BM از طریق ارزیابی میزان گرانول‌های آهن داخل ماکروفازها و نورموبلاست‌های BM صورت می‌گیرد و گزارش آن نیز به صورت $0 \rightarrow 1+ \rightarrow 2+ \rightarrow 3+ \rightarrow 4+$ Absent \rightarrow Greatly Reduced \rightarrow Present \rightarrow Increased است. ندرتاً تعداد محدودی گرانول آزاد نیز در فضای بین سلولی مشاهده می‌شود. البته بر اساس رتبه‌بندی گال، ۷ درجه برای فقر آهن در نظر گرفته شده است که در جدول ۲۰-۹ نشان داده شده است.

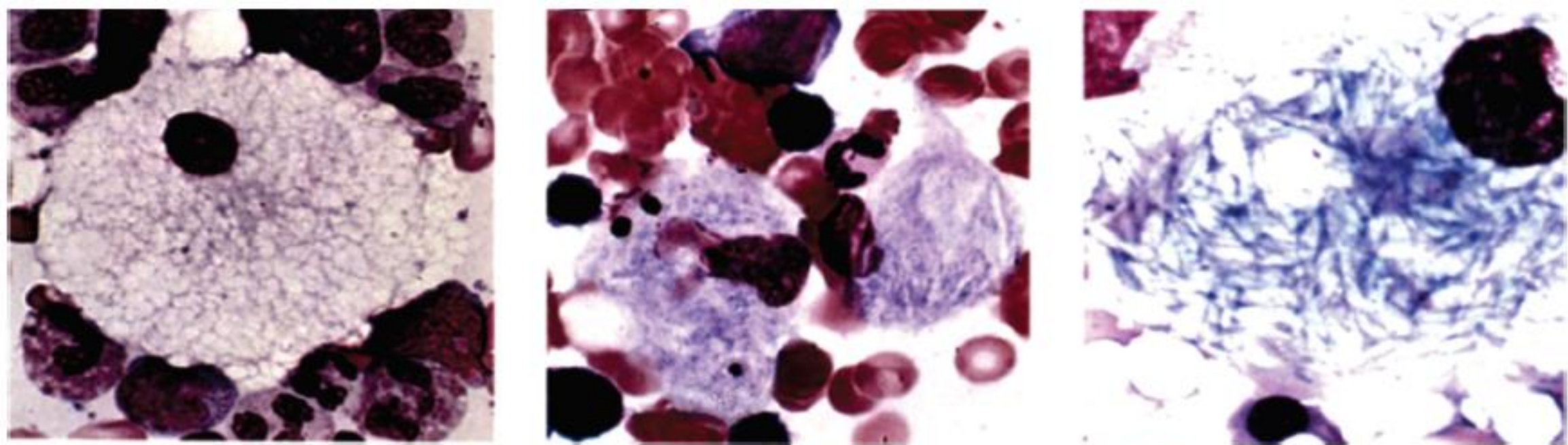
جدول ۲۰-۸: رتبه‌بندی ذخایر آهن BM بر اساس معیارهای پاتولوژی

ردیف	ردیف	ردیف	ردیف	ردیف
ردیف	ردیف	ردیف	ردیف	ردیف

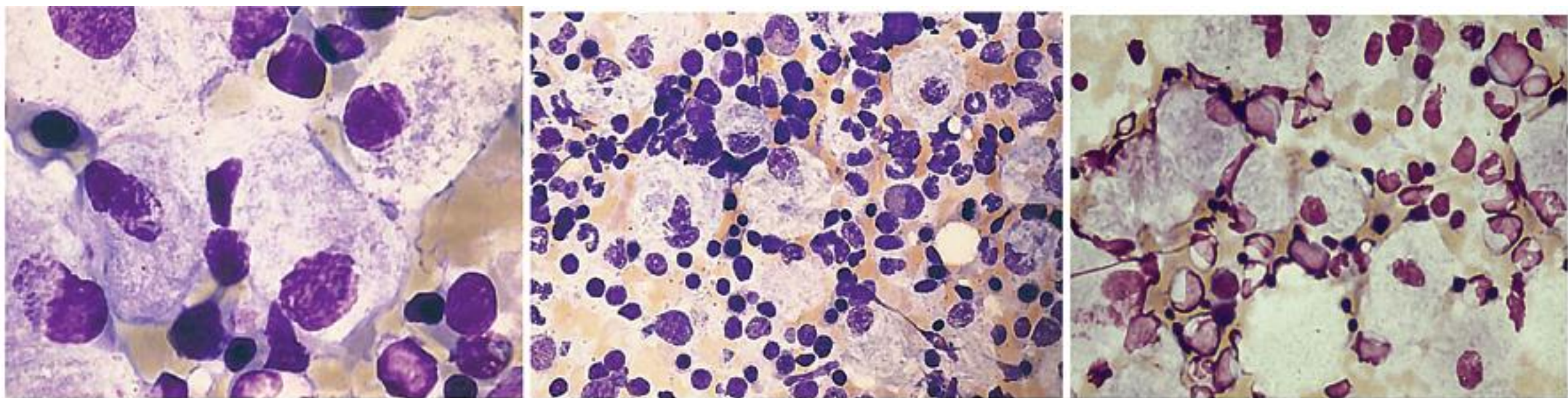


شکل ۲۰-۳۷: مراحل چهارگانه ذخایر آهن BM به روش رنگ‌آمیزی آبی پروس (پرل)

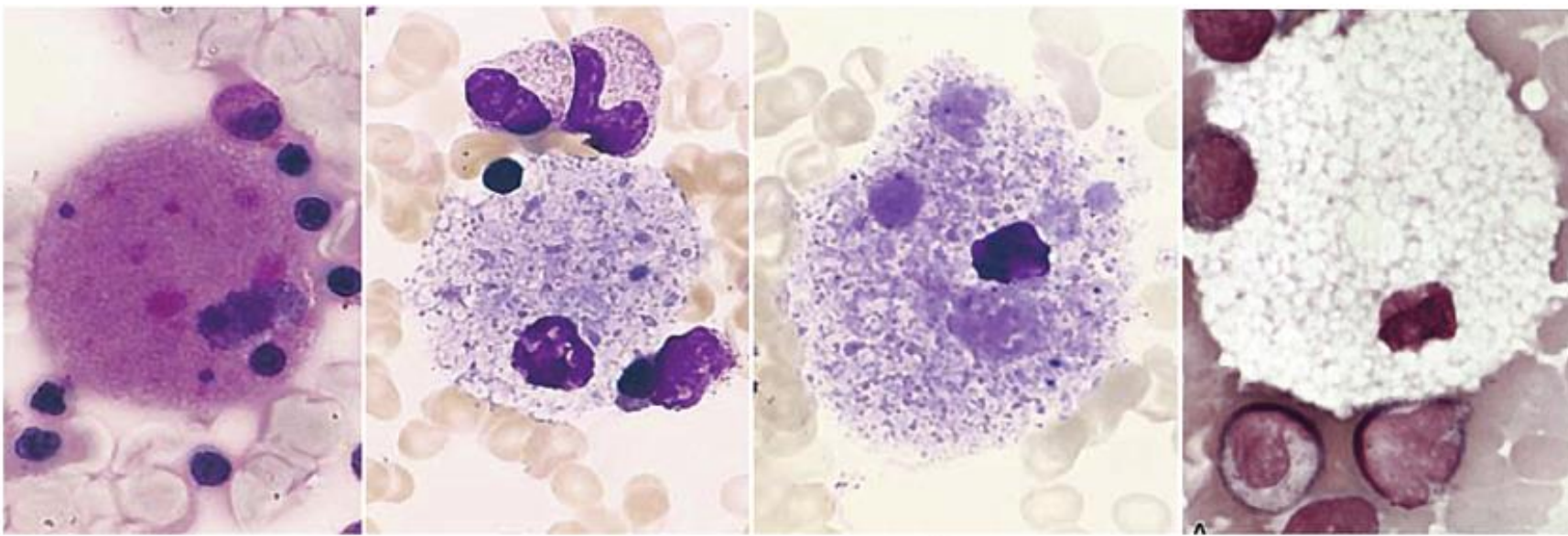
Grade 0	None	NO VISIBLE IRON under high power magnification ($\times 1000$)
Grade 1	Very slight	Small iron particles just visible in few reticulum cells under high power magnification ($\times 1000$)
Grade 2	Slight	Small, sparsely distributed iron particles just visible under low power magnification ($\times 100$)
Grade 3	Moderate	Numerous small iron particles present in reticulum cells throughout the marrow fragment ($\times 100$)
Grade 4	Moderate heavy	Larger iron particles throughout the fragment with tendency to aggregate into clumps ($\times 100$)
Grade 5	Heavy	Dense, large clumps of iron throughout the fragment ($\times 100$)
Grade 6	Very heavy	Very large deposits of iron, both intra- and extra-cellular, obscuring cellular detail in the fragment ($\times 100$)



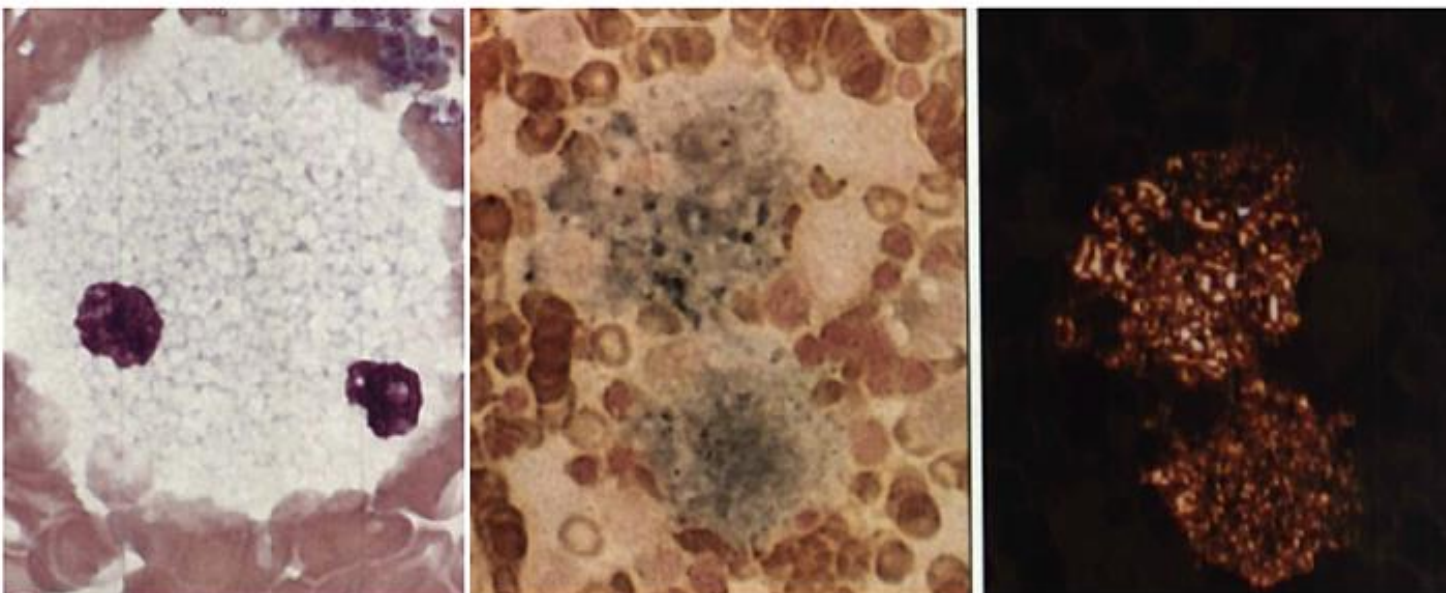
شکل ۲۰-۲۷: تصویر راست: سلول سودوگوش، تصویر وسط: سلول گوشه و تصویر چپ: سلول نیمن پیک



شکل ۱۵-۲۵: سلول‌های بزرگ و کف آسود گوشه با هسته کوچک، سیتوپلاسم فراوان و شبیه کاغذ مچاله



شکل ۲۵-۲۳: سلول‌های کف آلود، گرد با دیواره نسبتاً صاف نیمن-پیک که نسبت به رنگ PAS واکنش مثبت ضعیفی را نشان می‌دهند [۲۵].



شکل ۲۵-۲۴: سلول‌های کف آلود نیمن-پیک که نسبت به رنگ SBB (سودان سیاه B) واکنش مثبت ضعیفی را نشان می‌دهند (تصویر وسط). این سلول‌ها در زیر نور پلاریزه یک انکسار مضاعف قرمز رنگی را نشان می‌دهند (تصویر راست).

تیپ A: بیماران مبتلا به تیپ A، بیماری نورودژنراتیو با درگیری در سنین پایین را بروز می‌دهند که باعث مرگ بیمار در همان اوایل کودکی (۱-۲ سالگی) می‌شود. در این بیماران هپاتوسپلنومنگالی، لنفادنوباتی، سیر پیشرونده علایم نورولوژیکی، حملات صرع، اختلال بلع و لکه‌های قرمز توت فرنگی یا گیلاسی (در ۵۰٪ موارد) نیز مشاهده می‌شود. با گذرا زمان آتروفی بینایی نیز در این دسته از بیماران ایجاد می‌شود.

تیپ B: مبتلایان به نوع B، اختلالات ریوی و هپاتوسپلنومنگالی با درگیری در سنین بالاتر (۱۱-۳ سالگی) داشته ولی درگیری عصبی ندارند. در این تیپ از بیماری به جای لکه قرمز گیلاسی (CRS)، یک حلقه ماکولار بزرگ به اندازه نصف قطر شبکیه دیده می‌شود که هاله اطراف آن کمرنگ و ناحیه وسط و کریستالوئید آن تیره رنگ دیده می‌شود. به این حلقه، MHS^۲ گفته می‌شود که ظاهرآً ساختار حدواسط CRS می‌باشد.

تیپ C: زیرگروه C اختلالات عصبی و عقب‌ماندگی‌های حرکتی سایکوموتور به همراه سیر پیشرونده آرام را نشان می‌دهد، بیماران اغلب تا سن ۲-۱ سالگی نرمال بوده (به جز هپاتیت و یرقان نوزادی) ولی بیماری به آرامی گسترش یافته و ناهنجاری‌های نورودژنراتیو متغیری را تظاهر می‌کند. در این بیماران یرقان نوزادی بدو تولد تا مدت زمان بیشتری تداوم داشته و بعدها تا سن بلوغ، هپاتوسپلنومنگالی خفیفی نیز ایجاد می‌شود. در این بیماری به دلیل نقص در ترافیک داخل سلولی کلسترول، شاهد افزایش تجمعات کلسترول غیراستریفیه (نه اسفنگومیلین) می‌باشیم. در این فرم، هیستوسیت‌های آبی دریا نیز شایع می‌باشد. برای شناسایی بهتر بیماری رنگ آمیزی اختصاصی فیلیپین استفاده می‌شود که در آن به دلیل تجمعات LDL در اطراف هسته، سلول‌ها یک رنگ فلورسانس نشان می‌دهند. سرم بیماران نیز کلسترول بالایی داشته و در شبکیه بیماران CRS و MHS مشاهده نمی‌شود. در بیماران جوان و بالغ، خیره شدن به جهت عمودی، بهویژه به سمت پایین دارای اختلال می‌باشد.

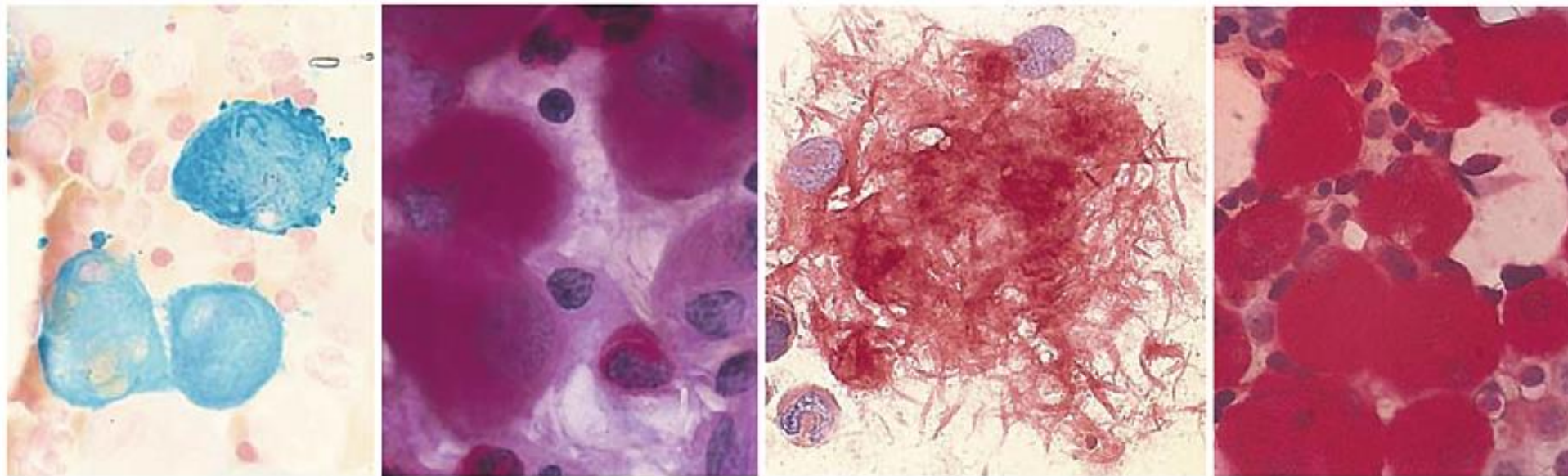
تیپ D یا تیپ Nova Scotia: در زیرگروه D، علایم در سنین کودکی شروع شده و پیشرفت دژنراسیون عصبی حتی از تیپ C نیز آهسته‌تر می‌باشد. این بیماری آلیک تیپ C بوده و در آن نیز اختلال در ترافیک کلسترول مشاهده می‌شود. این بیماران مشکل بینایی ندارند.

تیپ E: در زیرگروه E علایم در سنین بلوغ ایجاد شده و بیماری با درجات خفیفی از تجمعات اسفنگومیلین احتشایی، اسپلنومنگالی خفیف، حضور سلول‌های پف‌آلود احتشایی و بدون عوارض عصبی تظاهر می‌یابد. در این بیماران لکه قرمز CRS نیز مشاهده می‌شود.

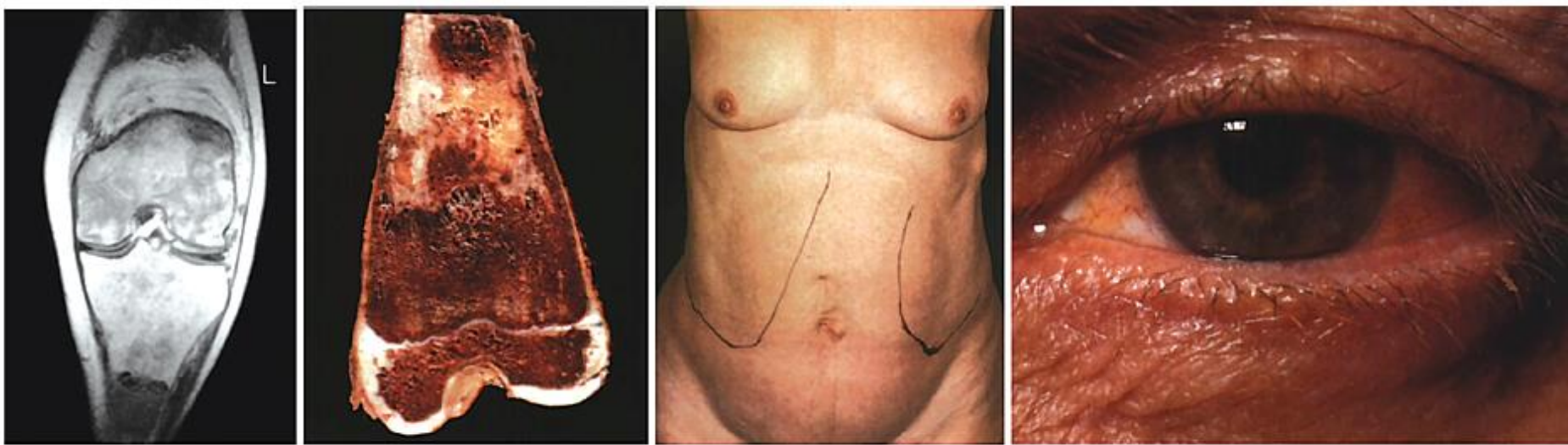
تیپ F: در سال ۱۹۷۸ فردی به نام اشنایدر یک تیپ حساس به حرارت از ASM را شناسایی نمود که آن را NPD-F نام‌گذاری نمود [۳ و ۶۹].

جدول ۷-۲۵: تظاهرات بالینی تیپ‌های سه گانه بیماری گوشه [۳۳]

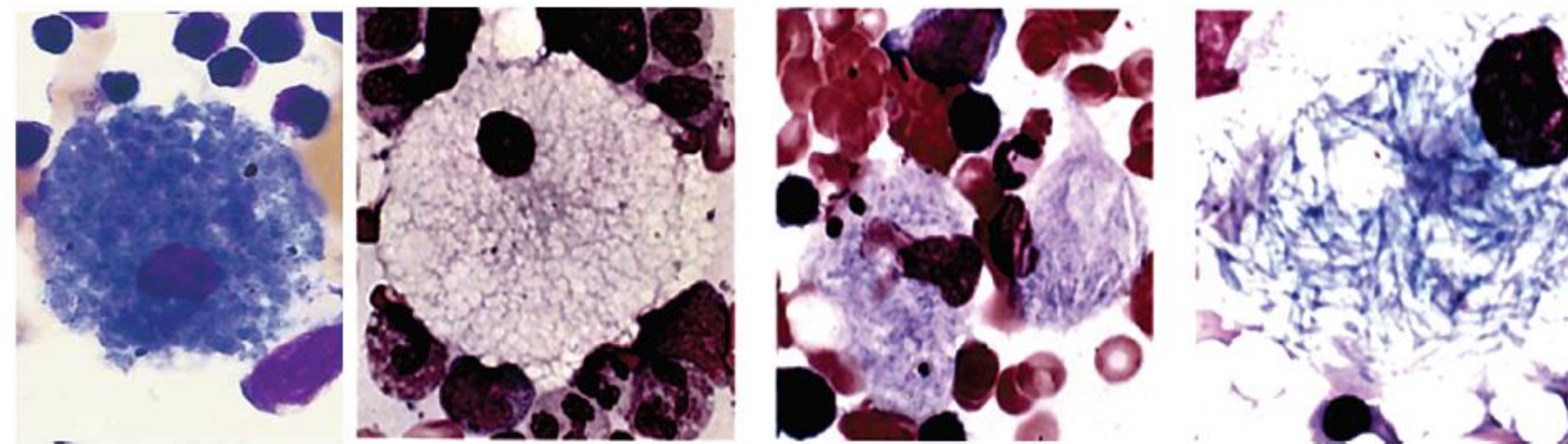
<i>Manifestation</i>	<i>Type I</i>	<i>Type II</i>	<i>Type III</i>
Onset	1 year	< 1 year	2–20 years
Hepatosplenomegaly	++	+/-	+
Bone disease	++	-	+/-
Cardiac valve disease	-	-	+
CNS disease	-	+++	+/-
Oculomotor apraxia	-	+	+/-
Corneal opacities	-	+/-	+/-
Age at death	60–90 years	< 5 years	< 30 years



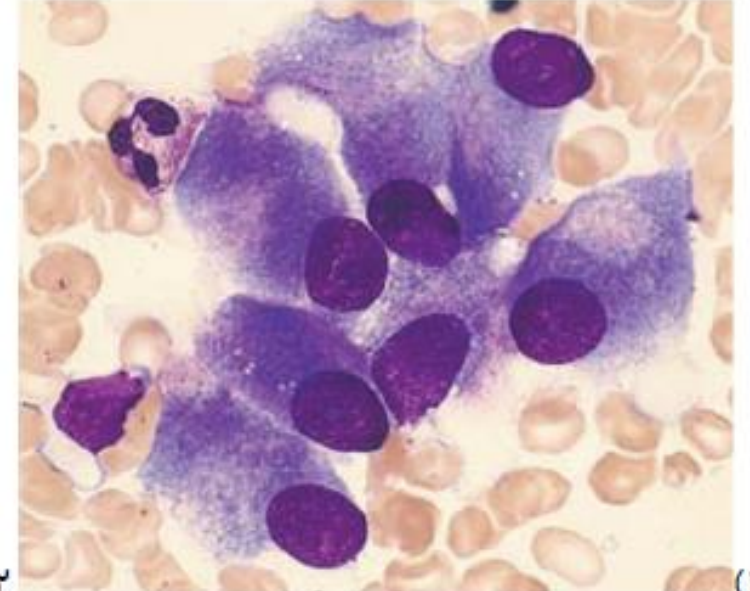
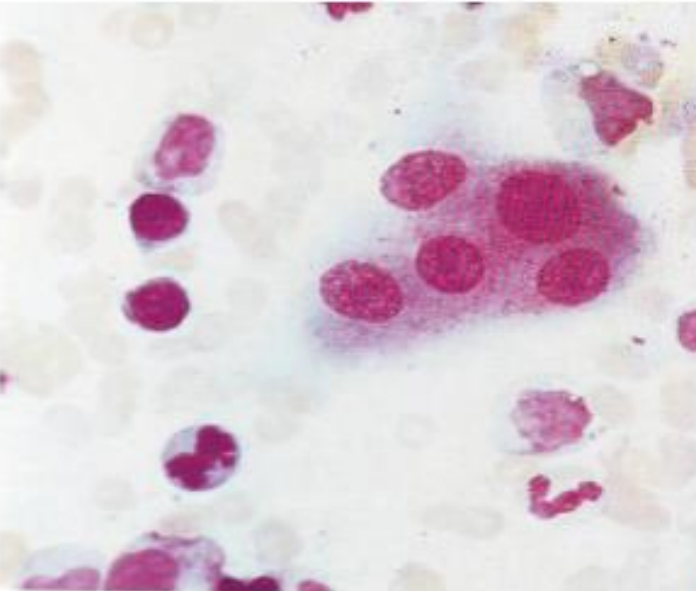
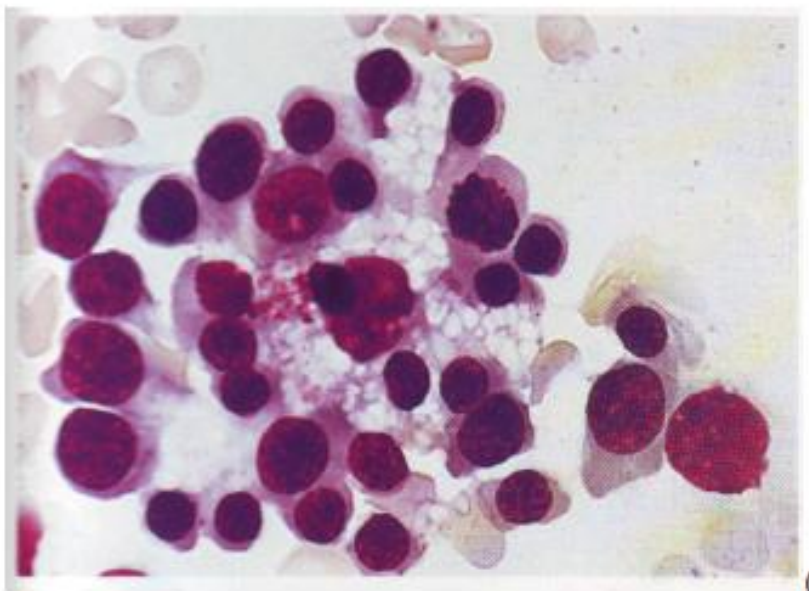
شکل ۱۶-۲۵: از راست، تصویر ۱ و ۲) سلول گوشه با واکنش مثبت نسبت به TRAP که تصویر دوم منظره رشتۀ مانند و فیبریل را در یک سلول گوشه نسبتاً له شده نشان می‌دهد. ۳) واکنش مثبت منتشره نسبت به PAS و ۴) واکنش مثبت منتشره نسبت به رنگ‌آمیزی آهن



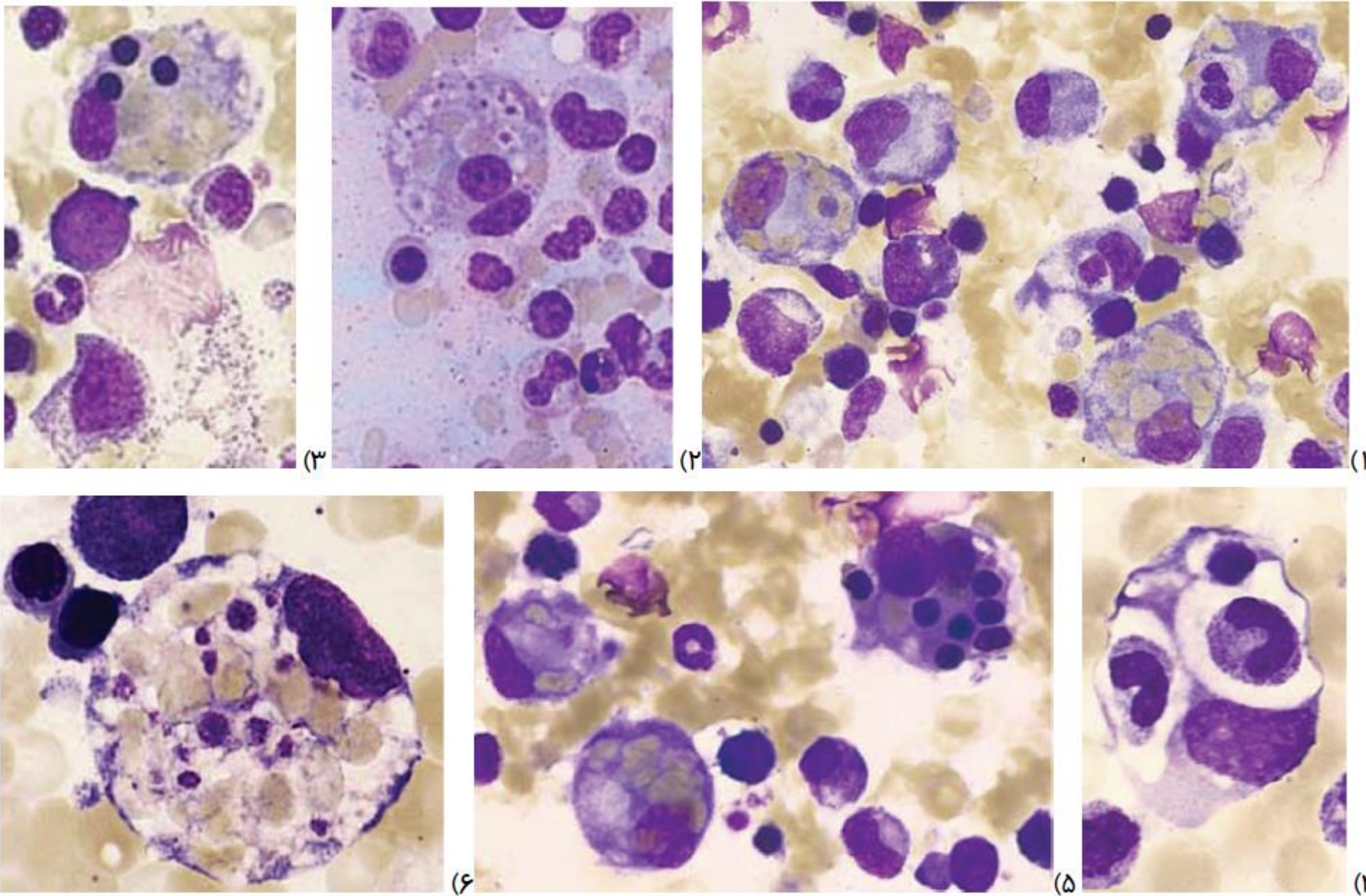
شکل ۱۳-۲۵: یگماتاسیون زرد-قهوه‌ای به همراه ناخنک ملتحمه چشم، ۲) هپاتوسیلنومگالی متوسط، ۳) ضایعات استخوانی شدید در فور تھانی که گسترش فضای استخوانی، نازک شدن پریع و چندین ناحیه انفارکتوس شده و اوستئونکروتیک به رنگ سفید را نشان می‌دهد. ۴) تغییرات اسکلتی در مفاصل بیمار مبتلا به گوشه تیپ I (تصویر MRI) [۵].



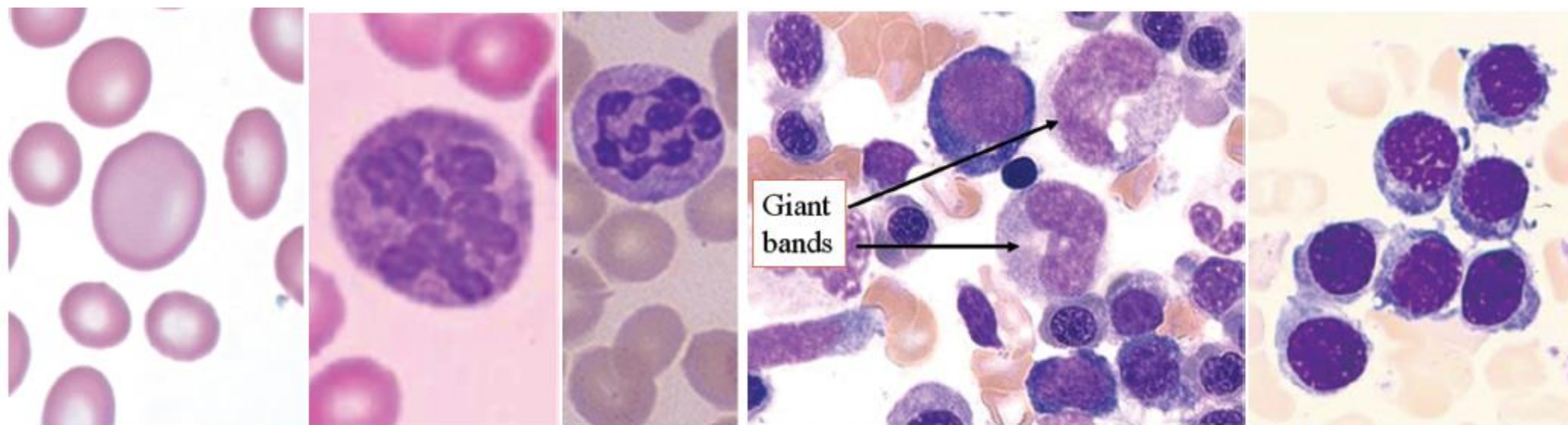
شکل ۱۴-۲۶: از راست به چپ: سلول گوشه، سلول نیمن پیک و هیستوسیت آبی دریا (واریانتی از نیمن پیک)



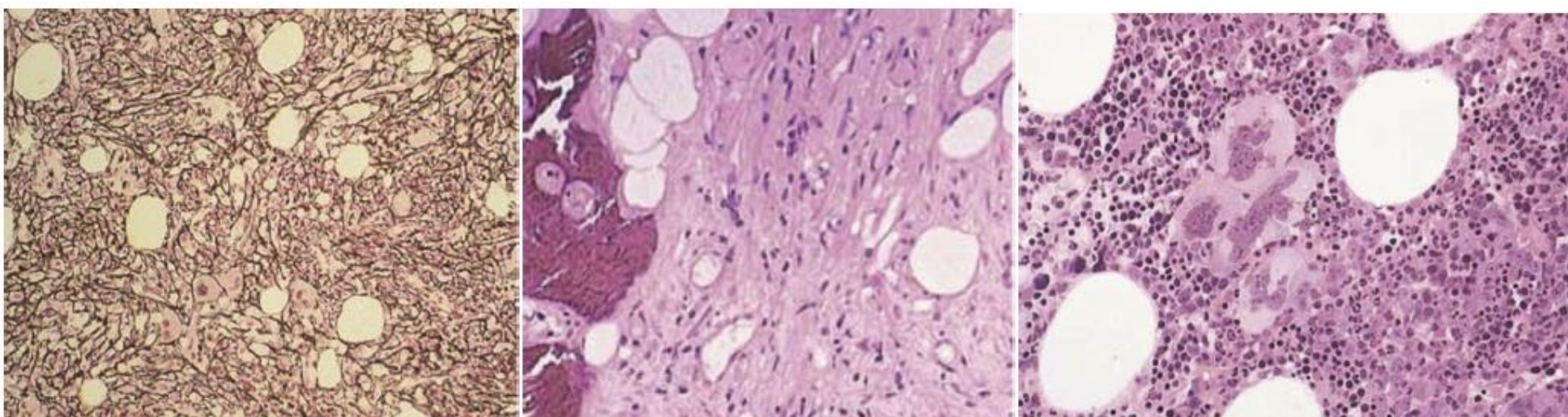
شکل ۲۰-۲۶: تصویر راست: سلول‌های اوستئوبلاست با مورفولوژی مشابه پلاسماسل که در کنار ترابکولار استخوانی دیده می‌شوند. تصویر وسط: سلول‌های چند هسته‌ای اوستئوکلاست که شباهت بالایی با مگاکاربوسیت‌های چند‌هسته‌ای BM دارند ولی هسته‌های این سلول‌ها جدا از هم هستند. تصویر چپ: سلول‌های ماکروفاز پرستار در جزایر اریتروblastیک مغز استخوان [۲۹].



شکل ۲۰-۲۵: تصاویر مختلفی از هموفاغوسیتوز توسط ماکروفازهای هیستوسیتی BM که در آن هیستوسیت‌ها نوتروفیل (۱ و ۴)، RBC (اکثر تصاویر)، پلاکت (۲ و ۶) و بقایای هسته‌های نورموبلاستی (۳ و ۵) را فاگوسیت کرده‌اند. گاهی فاگوسیتوز به قدری زیاد است که هسته خود ماکروفاز به یک گوشه از سلول کشیده می‌شود (۶). اغلب سلول‌ها بزرگ و کف آلود هستند ولی با سلول‌های ذخیره‌ای فرق دارند. بقایای اریتروسیت‌ها به صورت لکه‌های قرمز-قهقهه‌ای در داخل هیستوسیت‌ها دیده می‌شوند [۲۹].

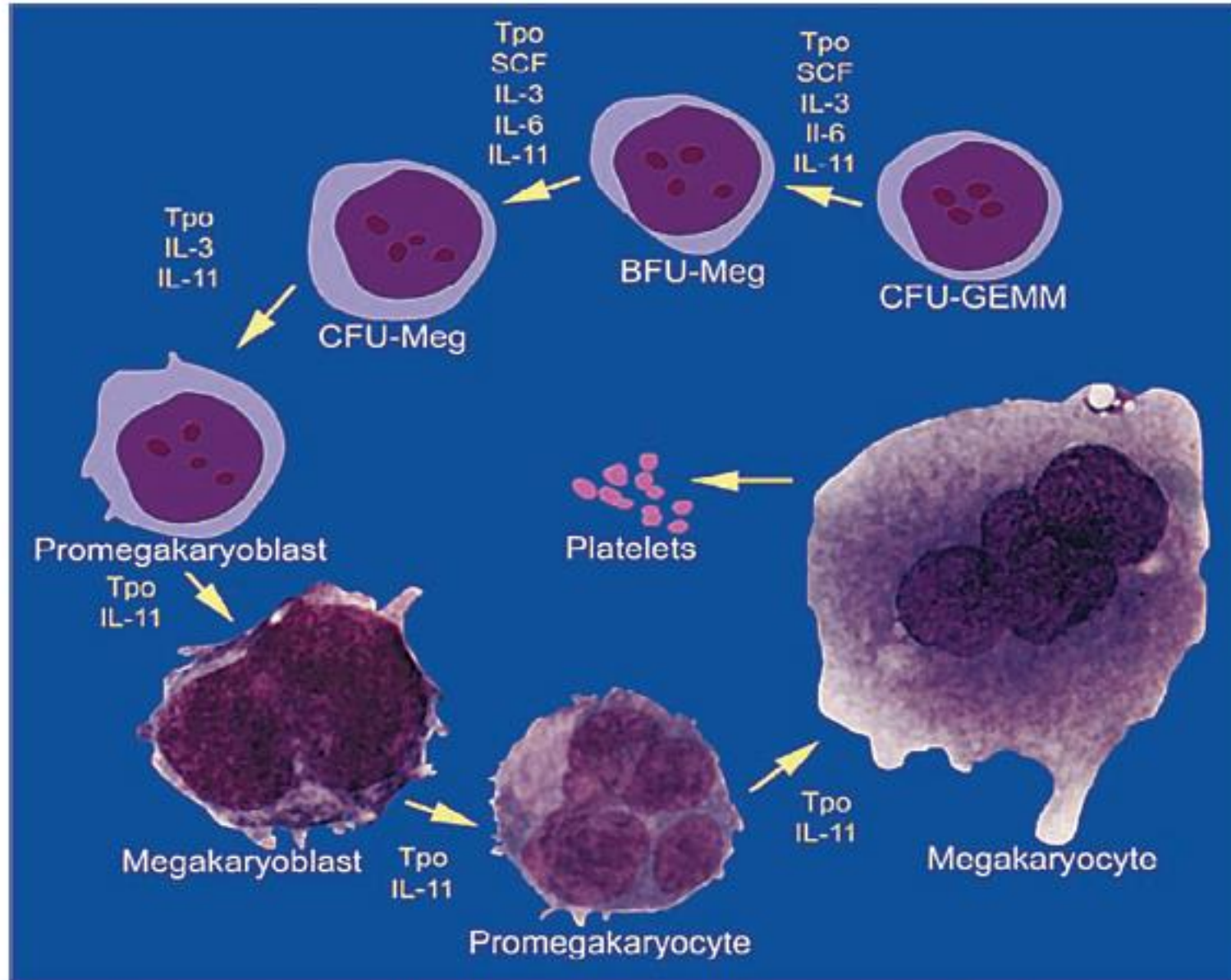


شکل ۲۰-۴۱: از راست به چپ: ۱) بازوفیلیک نورموبلاست‌های آبی، نسبتاً کوچک با دیواره ریش‌ریش و نامنظم در آنمی فقر آهن شدید. ۲) جایانت متامیلوسیت و بازوفیلیک نورموبلاست بزرگ در آنمی مگالوبلاستیک؛ در قسمت پایین شکل ۲. دو بازوفیلیک نورموبلاست نرمال نیز دیده می‌شوند. ۳ و ۴) دو نوتروفیل هیپر‌سگماته یا ماکروپلیسیت با بیش از ۸ لوبول هسته و ۵) ژیگانتوسیت یا ماکروسیت بسیار بزرگ در آنمی مگالوبلاستیک یا پرنیشیوز.

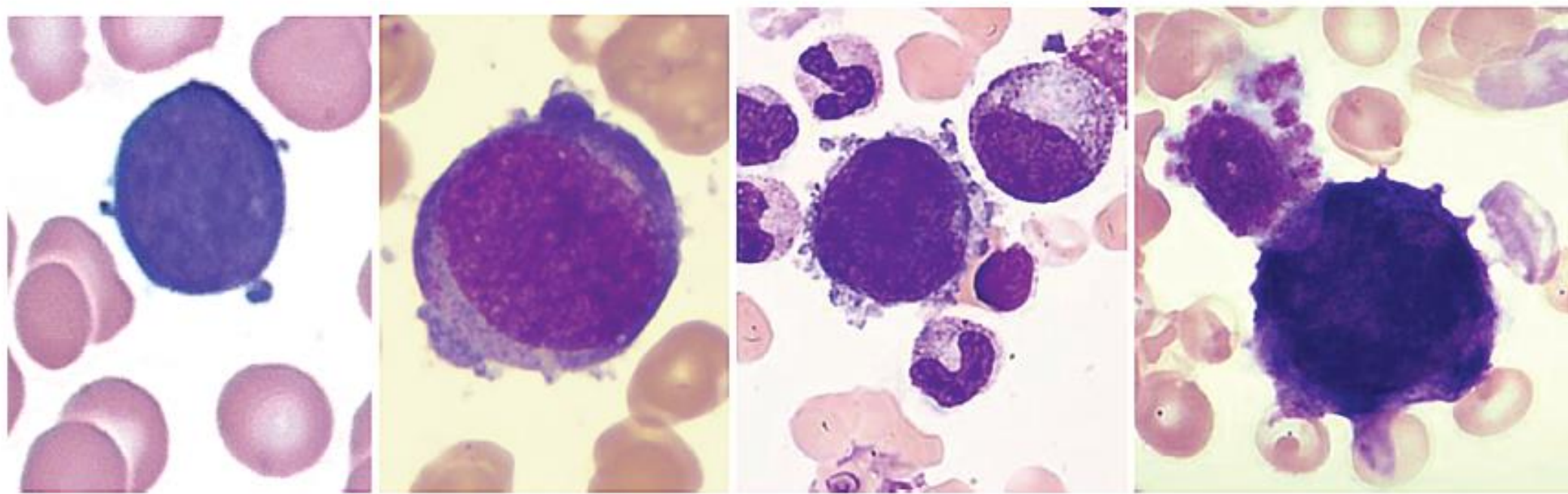


شکل ۲۰-۴۵: راست: بیوپسی BM در بیمار مبتلا به میلوفیبروز که افزایش سلولاریته، کاهش آدیپوسیت‌ها به ۱۵٪ و تجمعات مگاکاریوسیت‌ها در فاز اولیه بیماری نشان می‌دهد. با پیشرفت بیماری و فیبروز شدید BM خون‌سازی اکسترا مدولاری فعال و BM مملو از رشته‌های رتیکولینی می‌شود که با رنگ‌آمیزی نقره مشخص می‌شود. مگاکاریوسیت‌ها در لابه‌لای رشته‌های فیبروزی قرار دارند [۲۹].

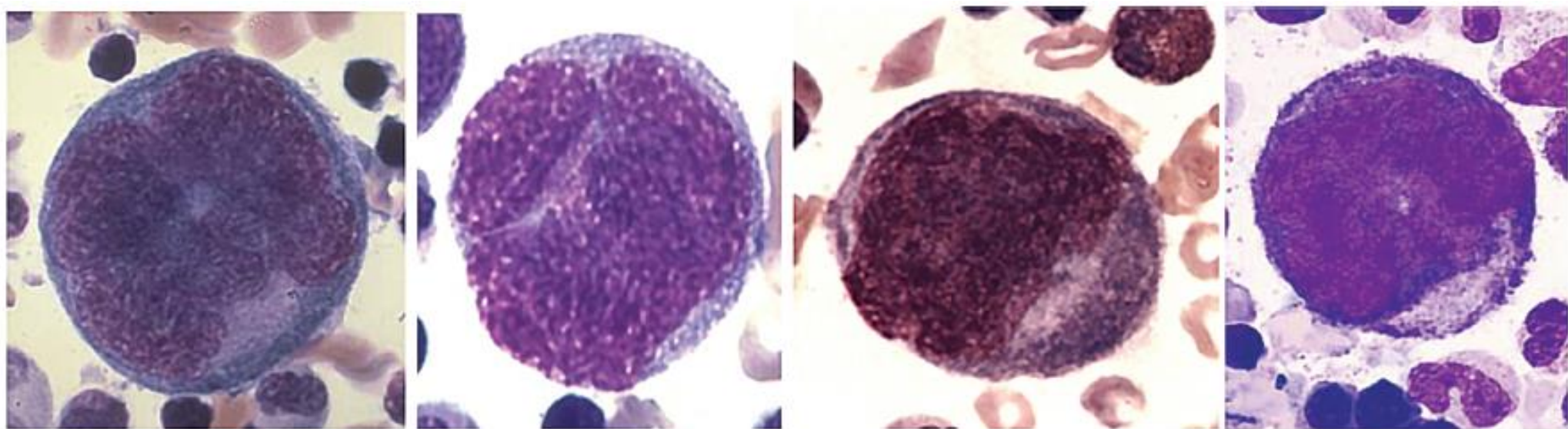
Megakaryopoiesis & Thrombopoiesis



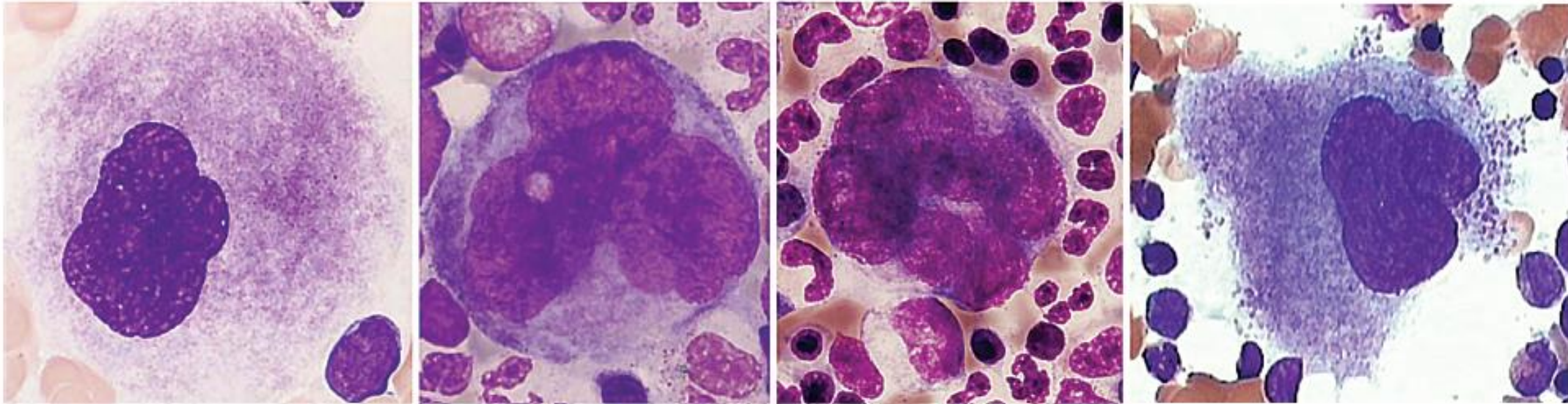
شکل ۱-۲۶: سیر تکاملی رده پلاکتی و فاکتورهای رونویسی (A) و فاکتورهای رشد مختلف (B) که در مسیر ترومبوپوئز حائز اهمیت هستند [۱۵]



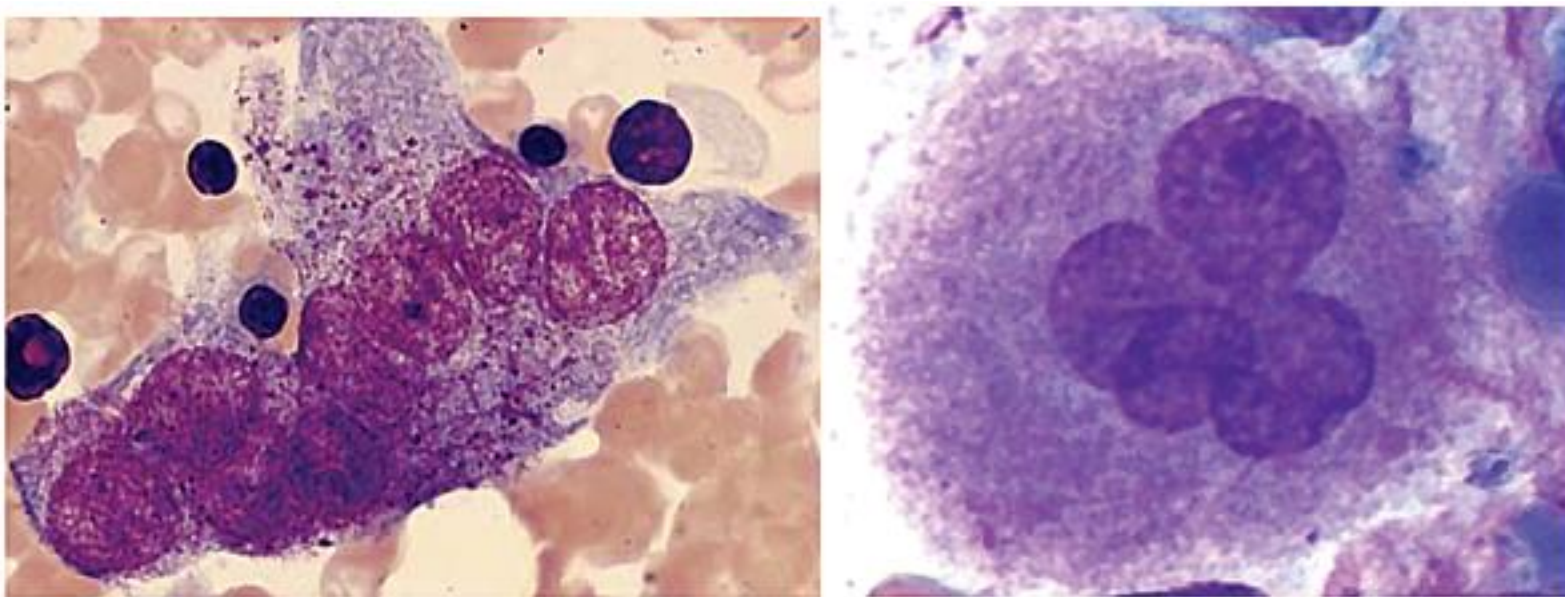
شکل ۲۶-۷: مگاکاریوبلاست ($2n$) غیر لوبله، با سیتوپلاسم بازوویلیک. N/C بالا و سیتوپلاسم نارس



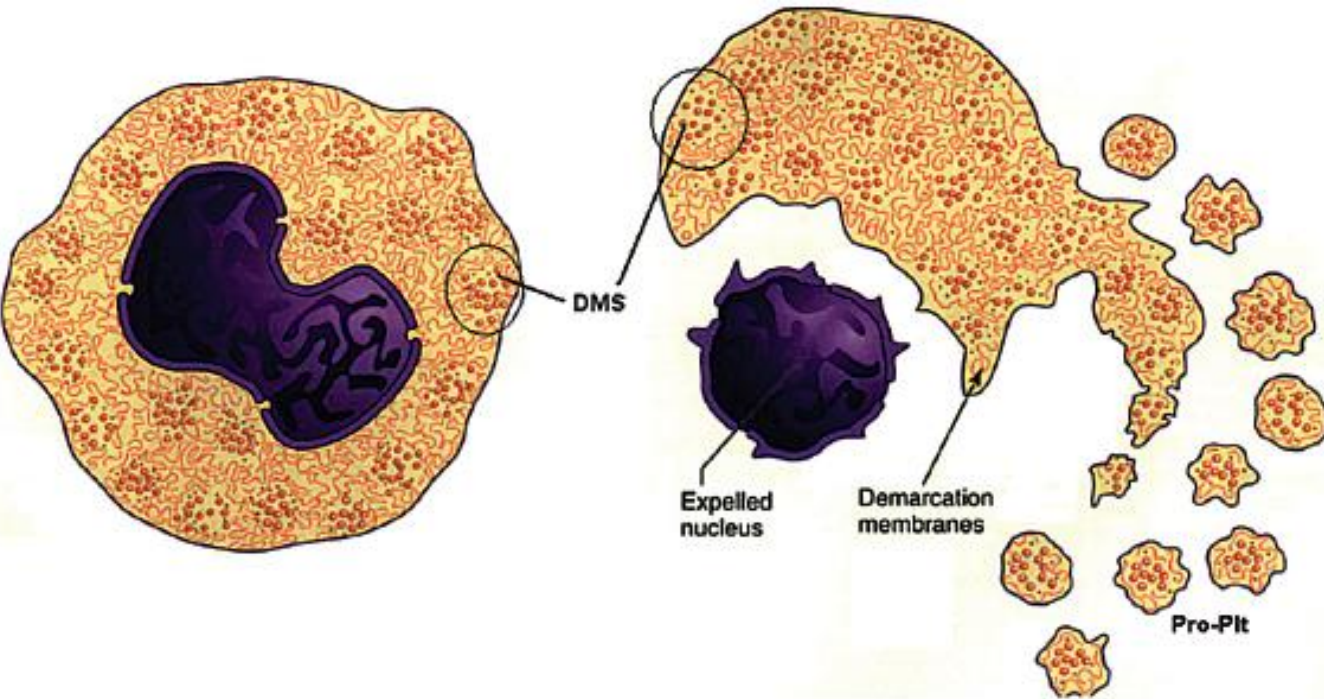
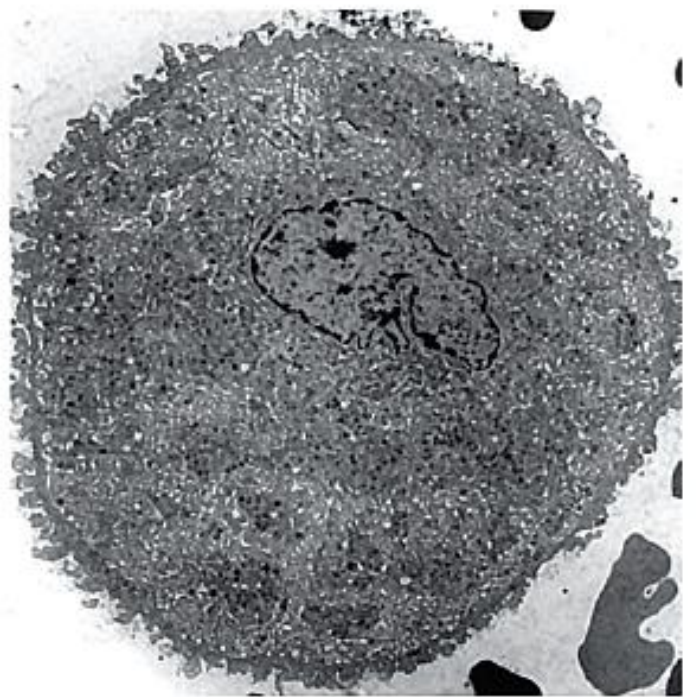
شکل ۲۶-۸: پرو مگاکاریوسیت یا سلول MK-II با N/C بالا، لوبلاسیون و DMS ناچیز، سیتوپلاسم آبی و کم



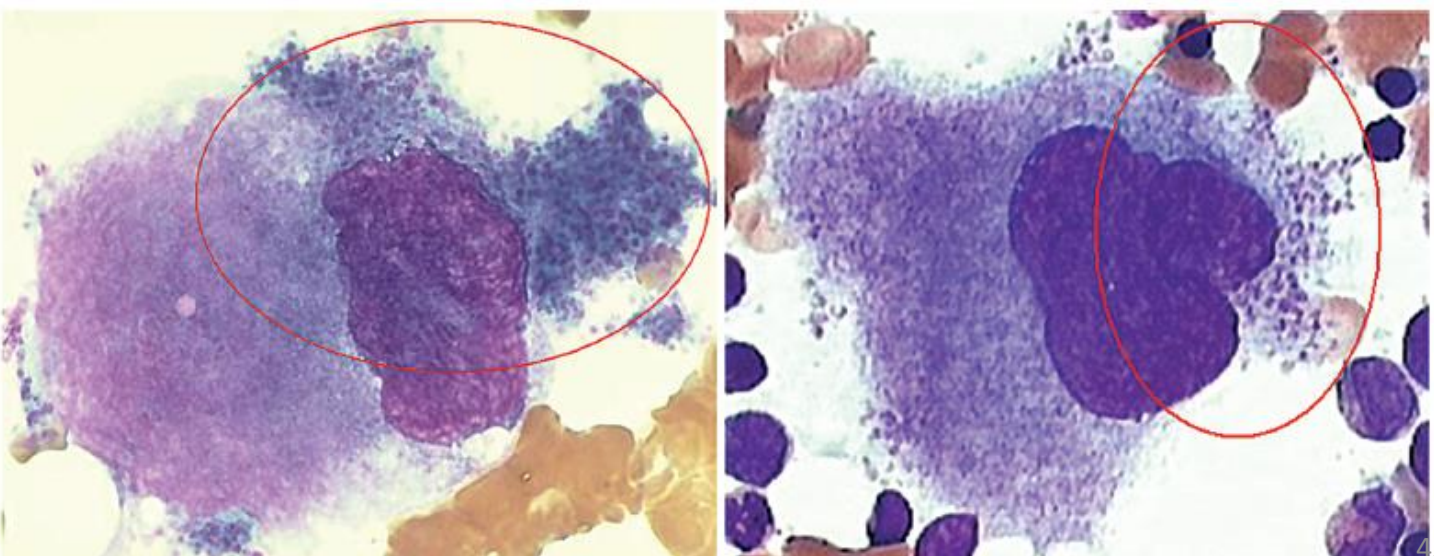
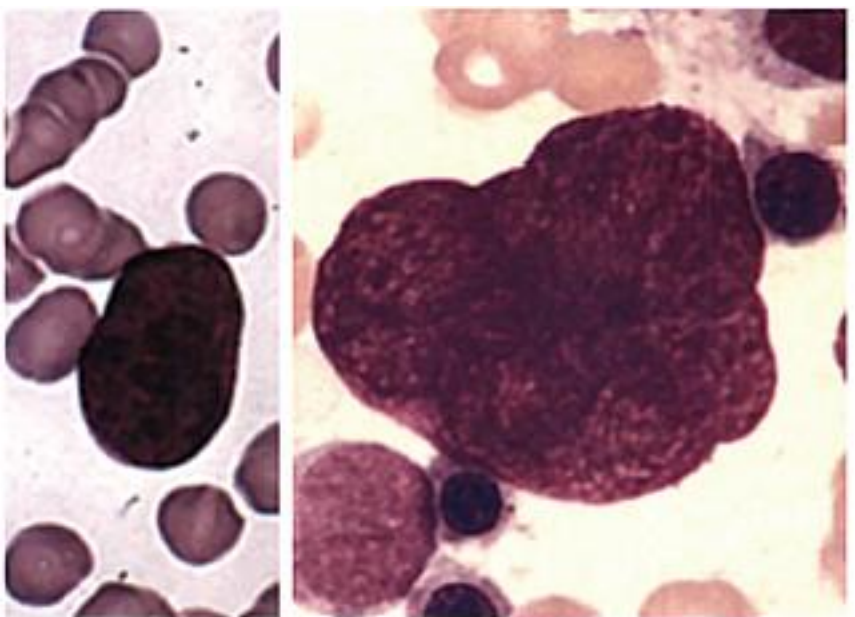
شکل ۲۶-۹: انواع مگاکاریوسیت بالغ نوع MK-III که بسیار بزرگ، چند لوبوله یا چند هسته‌ای، اسیدوفیلیک با حاشیه‌ای نامنظم و در حال تولید پلاکت و پروپلاکت می‌باشد.



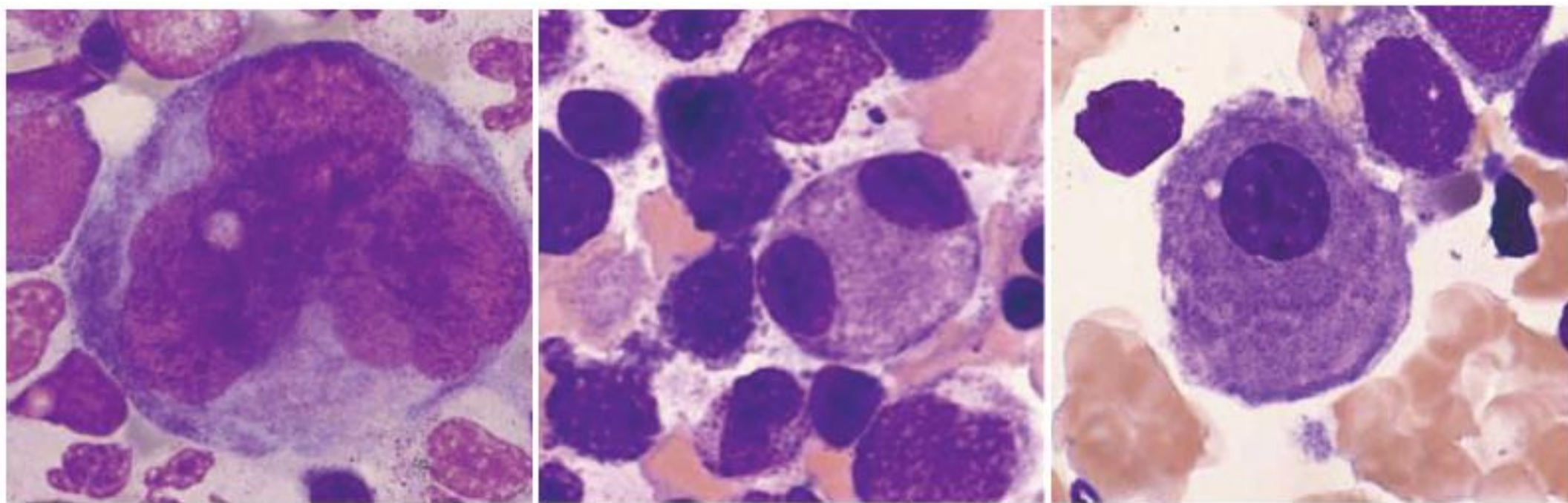
شکل ۲۶-۱۰: تفاوت‌ها و شباهت‌های یک مگاکاریوسیت بالغ با یک اوستئوکلاست



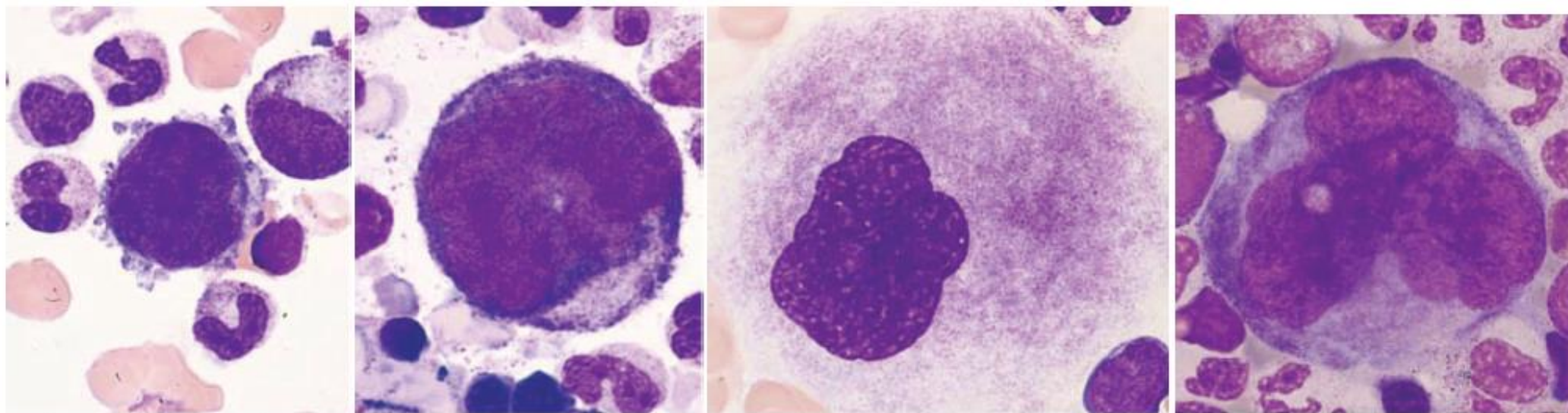
شکل ۶-۲۶: مگاکاریوسیتی با سیستم کامل DMS که منشاء پروپلاکت‌ها و پلاکت‌های خون محیطی محسوب می‌شوند [۲۰].



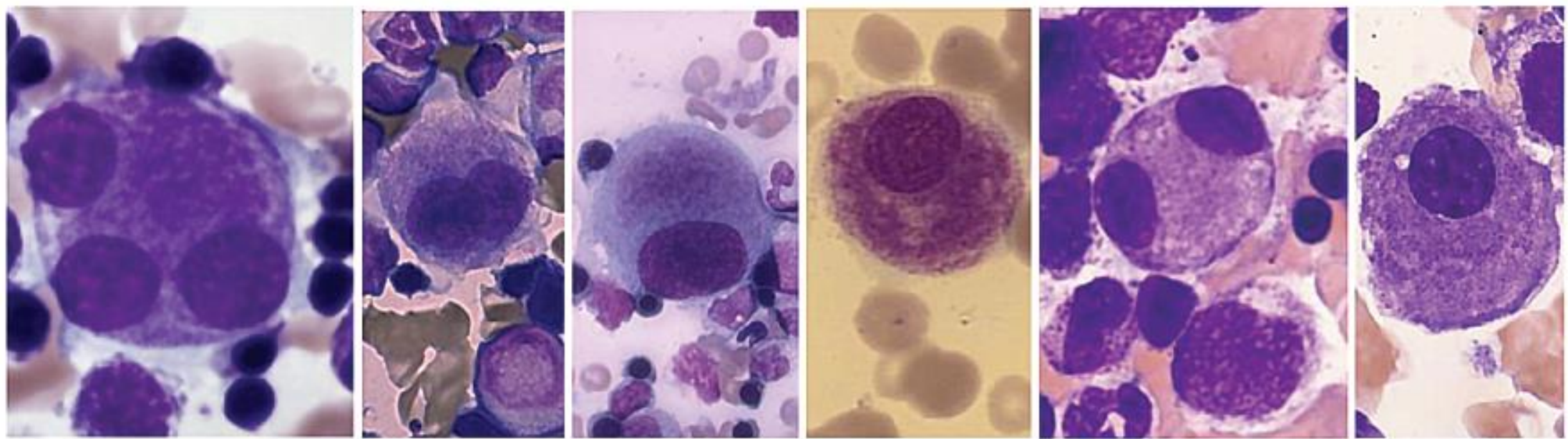
شکل ۶-۱۸: تشکیل DMS و جدا شدن پلاکت‌ها و پروپلاکت‌ها از مگاکاریوسیت‌های بالغ و غول پیکر BM [۲۵]



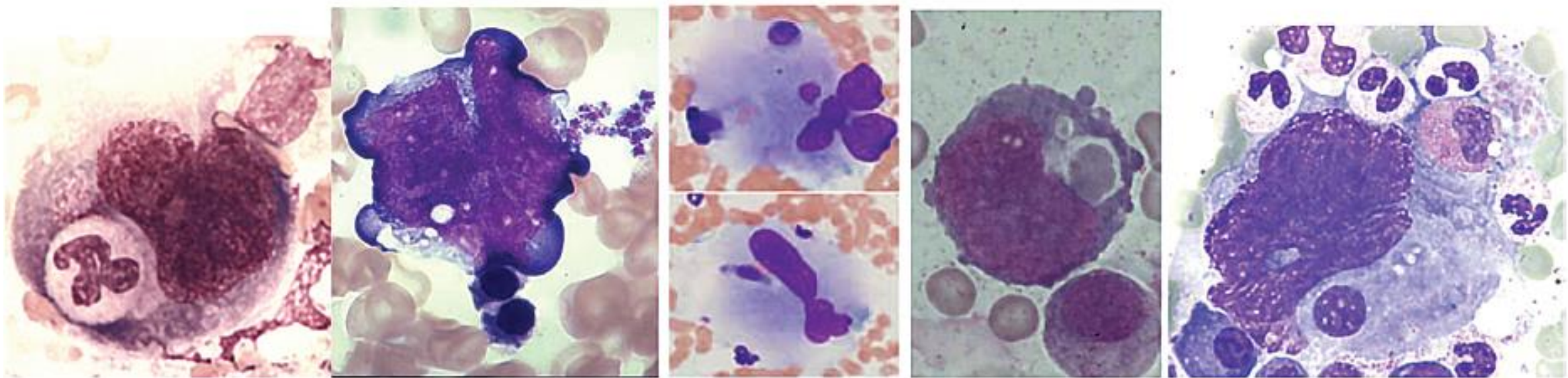
شکل ۲۰-۲۰: تصویر راست و وسط: میکرومگاکاریوسیت تک هسته‌ای و ندرتاً دو هسته‌ای با کروماتین یکنواخت و هموژن بنفش. تصویر چپ: مگاکاریوسیت طبیعی و چند هسته‌ای



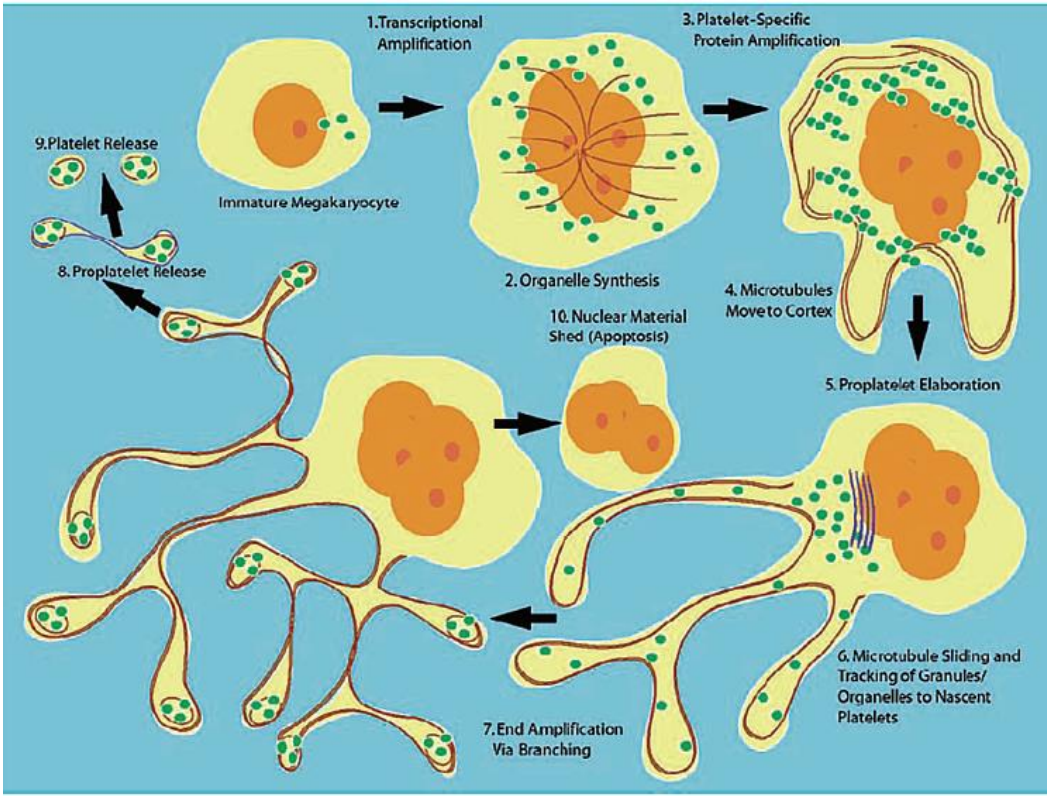
شکل ۲۰-۲۰: تصاویر مختلف از مگاکاریوبلاست و مگاکاریوسیت‌های تک هسته‌ای یا چند هسته‌ای با لوبول‌های متصل به یکدیگر و پلاکت‌هایی که همانند شماره‌های ساعت از دیواره سیتوپلاسم منشعب می‌شوند.



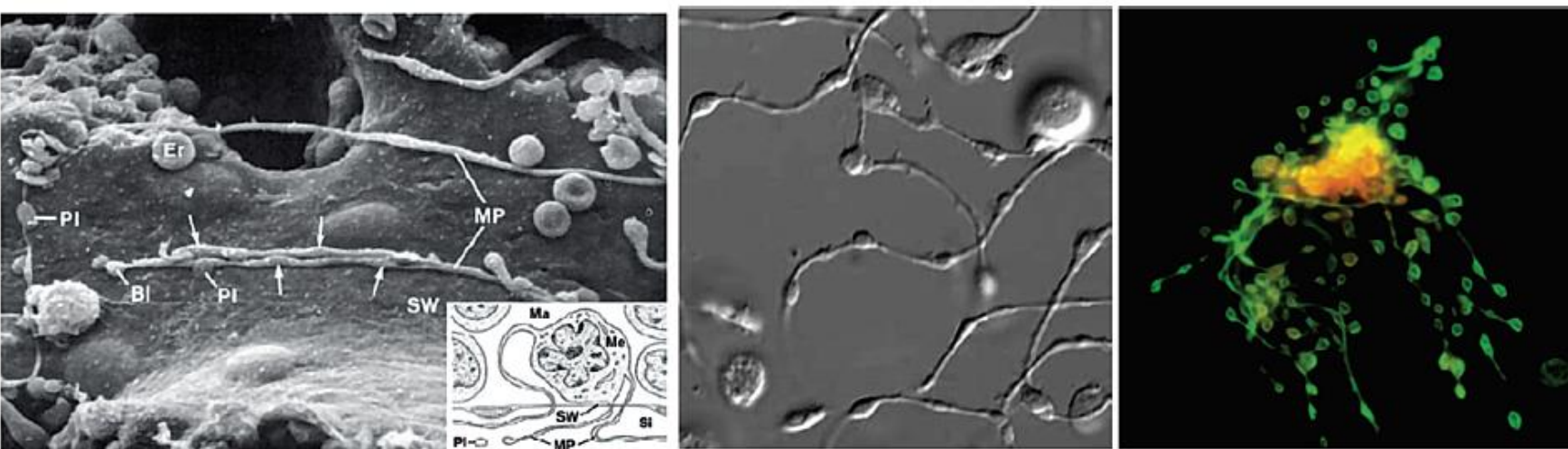
شکل ۱۹-۲۶: تصاویر مختلفی از انواع میکرومگاکاریوسیت (میکروکاریوسیت)



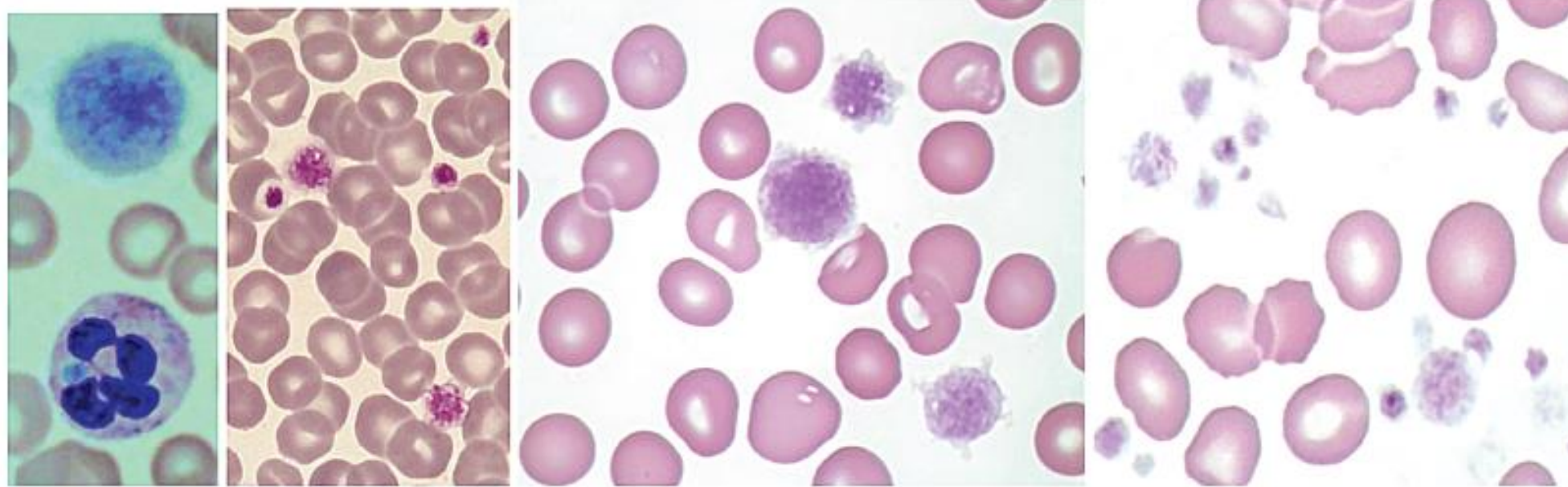
شکل ۲۰-۲۶: امپریوپولسیس لکوسیت‌ها و اریتروسیت توسط مگاکاریوسیت



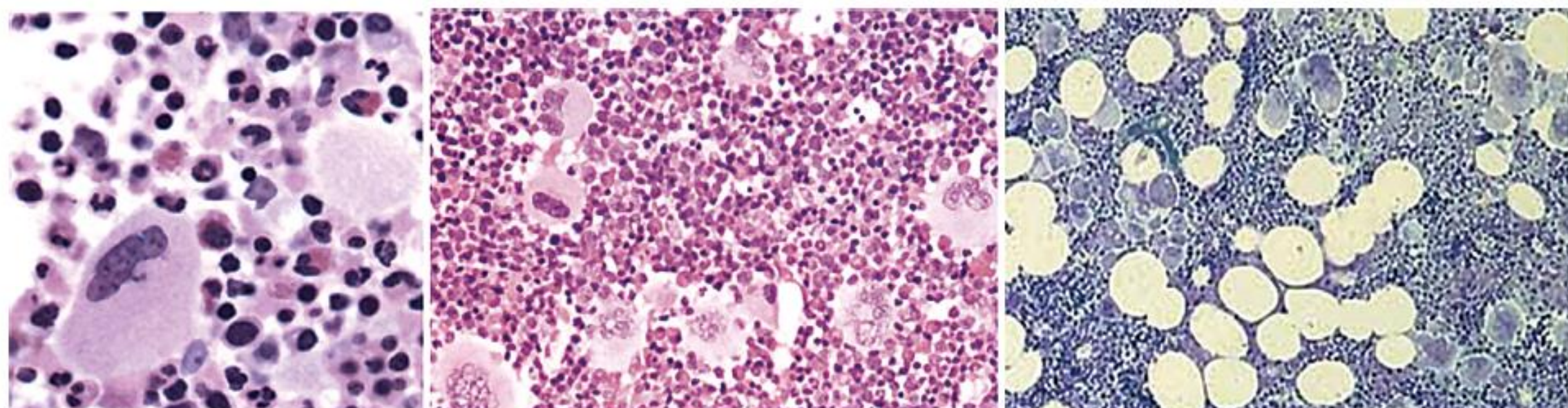
شکل ۱۱-۱۱: مراحل تشکیل پروپلاکت و پلاکت از مگاکاریوسیت [۱۵]



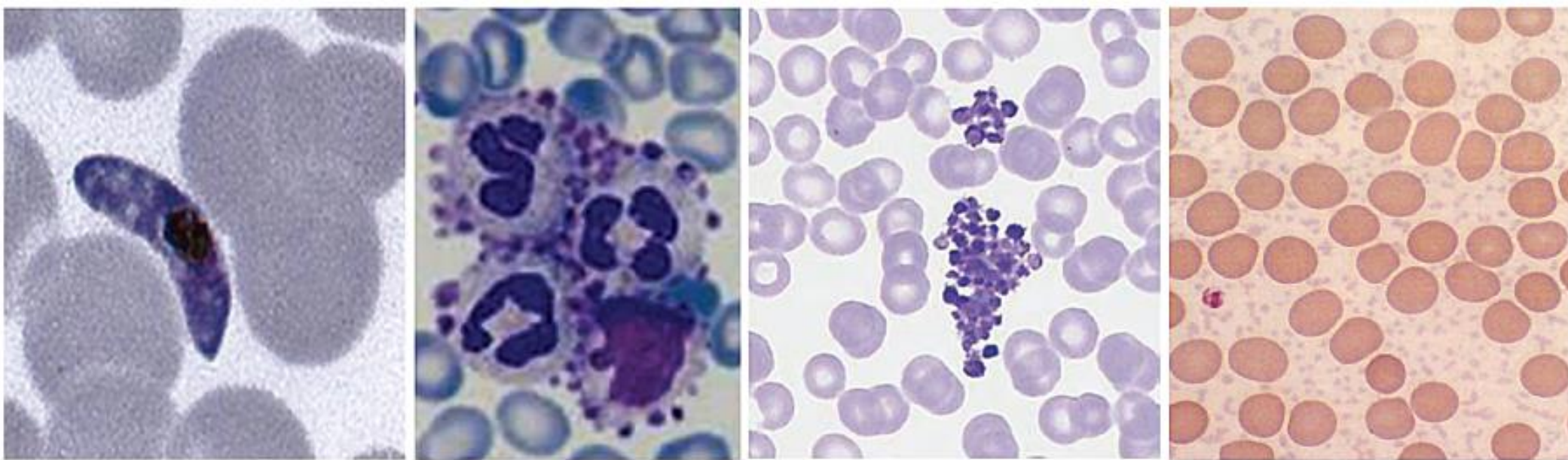
شکل ۱۲: تصویر SEM و میکروسکوب فلورسانست از پروپلاکت‌های اولیه که شکلی میسیلیوم یا جوانه مانندی را ایجاد می‌کند. در این روش از تیازول نارنجی استفاده می‌شود که با اتصال به پروپلاکت‌ها شدت فلورسانست $3000\times$ برابری را در مقایسه با پلاکت‌های بالغ ایجاد می‌کند [۱۵].



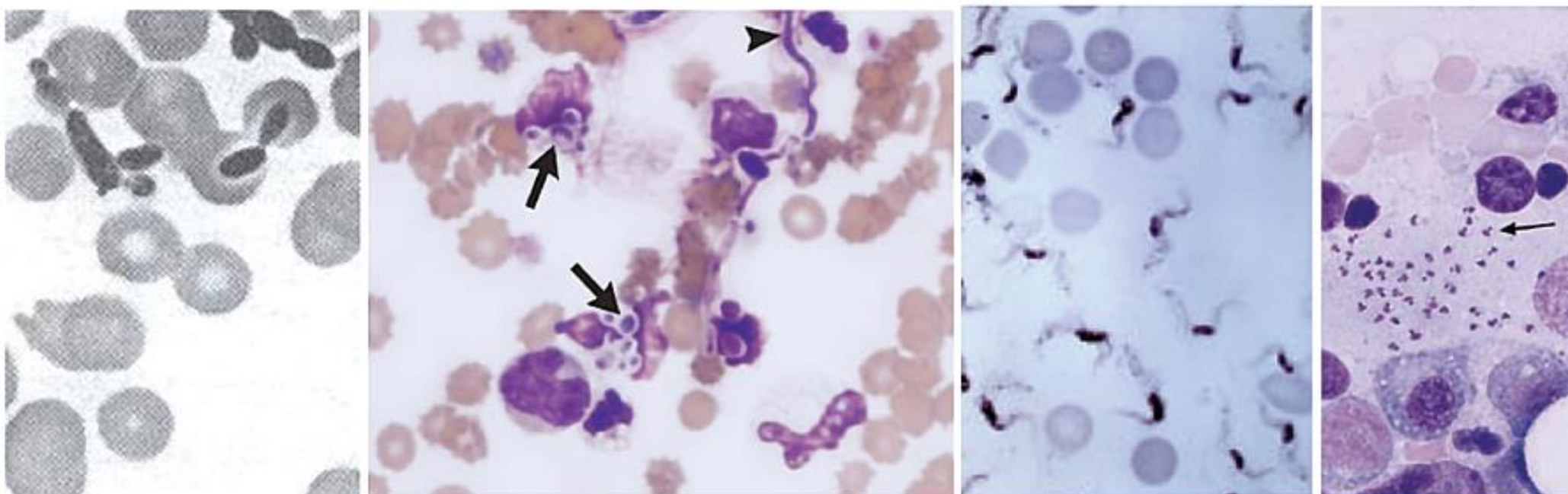
شکل ۱۳-۲۶: جایانست پلاکت‌های بزرگ در گستره خون محیطی بیمار مبتلا به ITP و آنومالی می‌هگلین



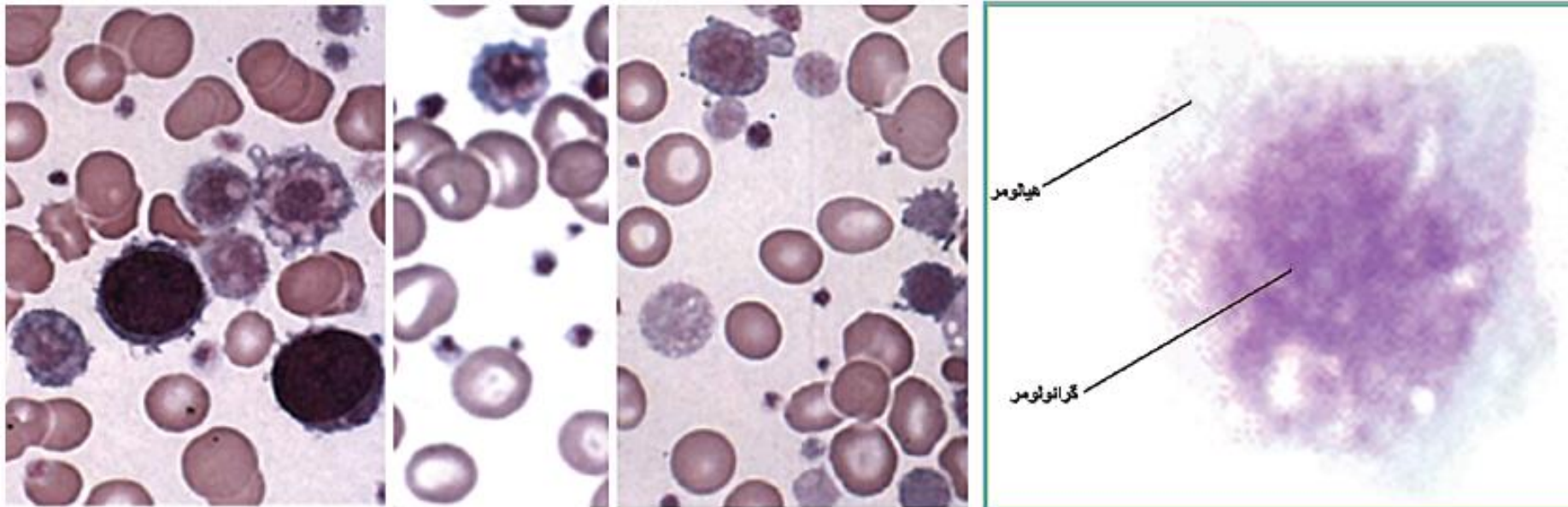
شکل ۱۶-۲۶: حضور مگاکاریوسیت‌های بزرگ و متمایز در بیوپسی از BM



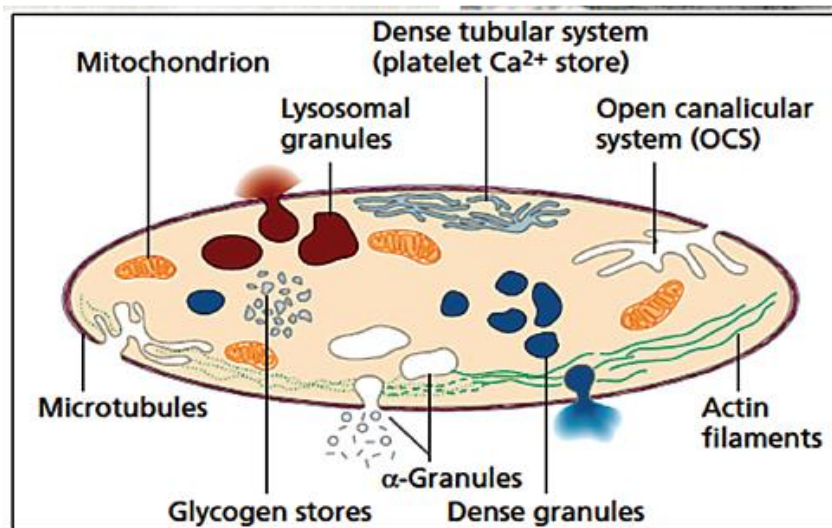
شکل ۲۶-۲۱: از راست به چپ: کرایو گلبولینی، میکرواگر گاسیون، ستلایتیسم (پلاکت اقماری) و گامت مالاریا در خون محیطی که ممکن است در شمارش پلاکت تداخل ایجاد کنند.

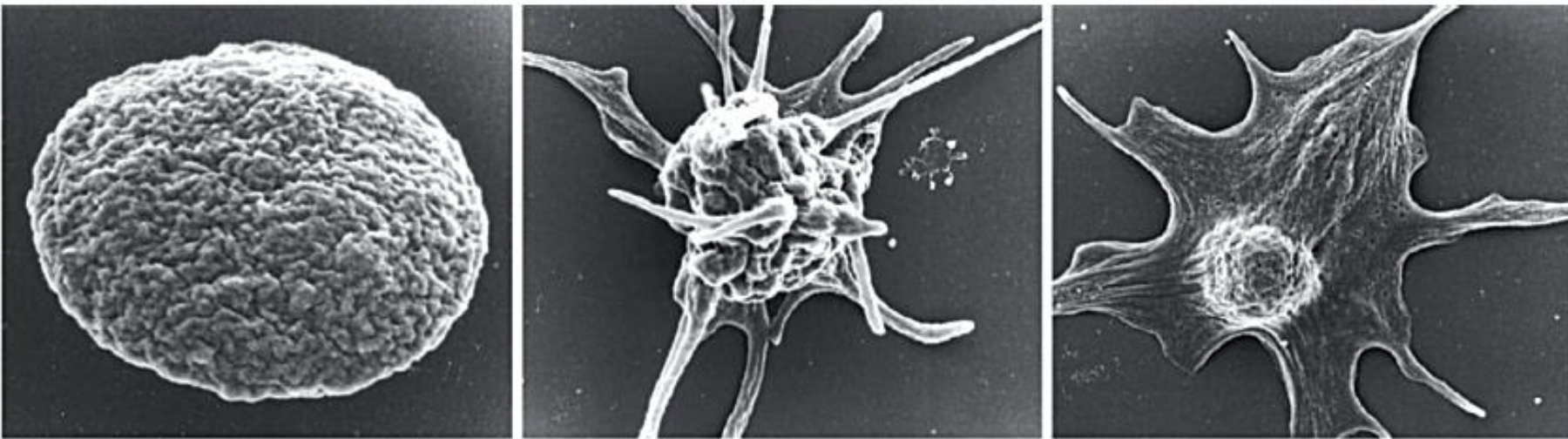


شکل ۲۶-۲۲: از راست به چپ: لیشماییا، تریپانوزوza، کاندیدیا آلبیکنس در خون محیطی که ممکن است در شمارش پلاکت تداخل ایجاد کنند.

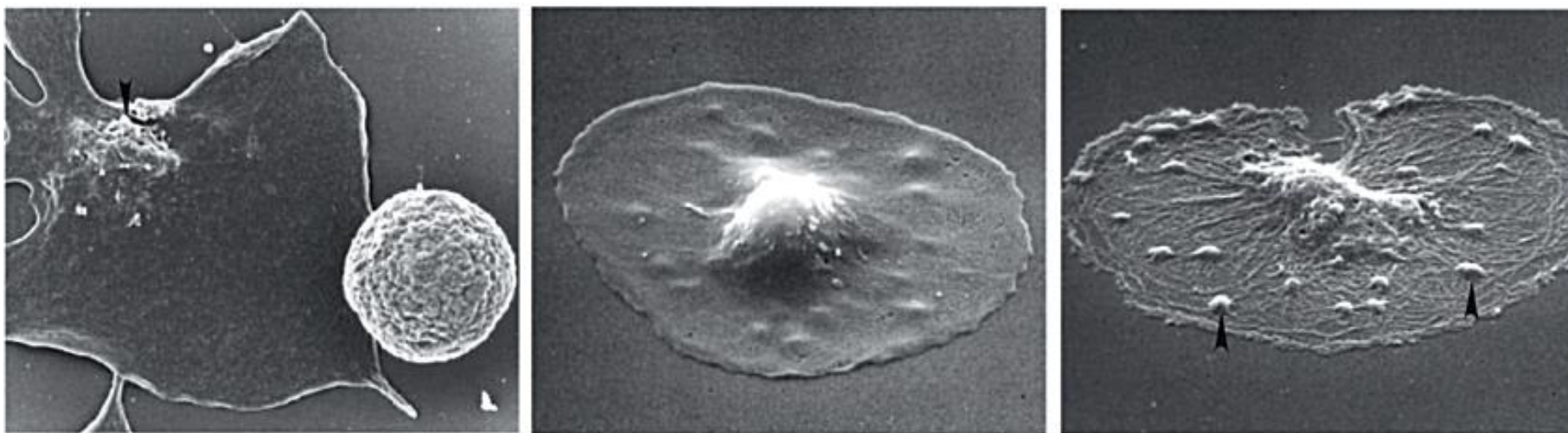


شکل ۲۶-۲۵: منظره دو قسمتی از پلاکت متصل به لام که در آن ناحیه هیالومر جدای از گرانولومر دیده می‌شود. این حالت نه تنها در مورد پلاکت‌های معمولی بلکه در مورد جایانه پلاکت‌های بزرگ نیز مشاهده می‌شود که ندرتاً در چنین مواردی ممکن است با لنفوسيت نیز اشتباه گرفته شوند. در تصویر سمت چپ دو مگاکاربوسیت کوتوله با پلاکت‌هایی که در حال انشعاب از آن هستند، نیز مشاهده می‌شود.





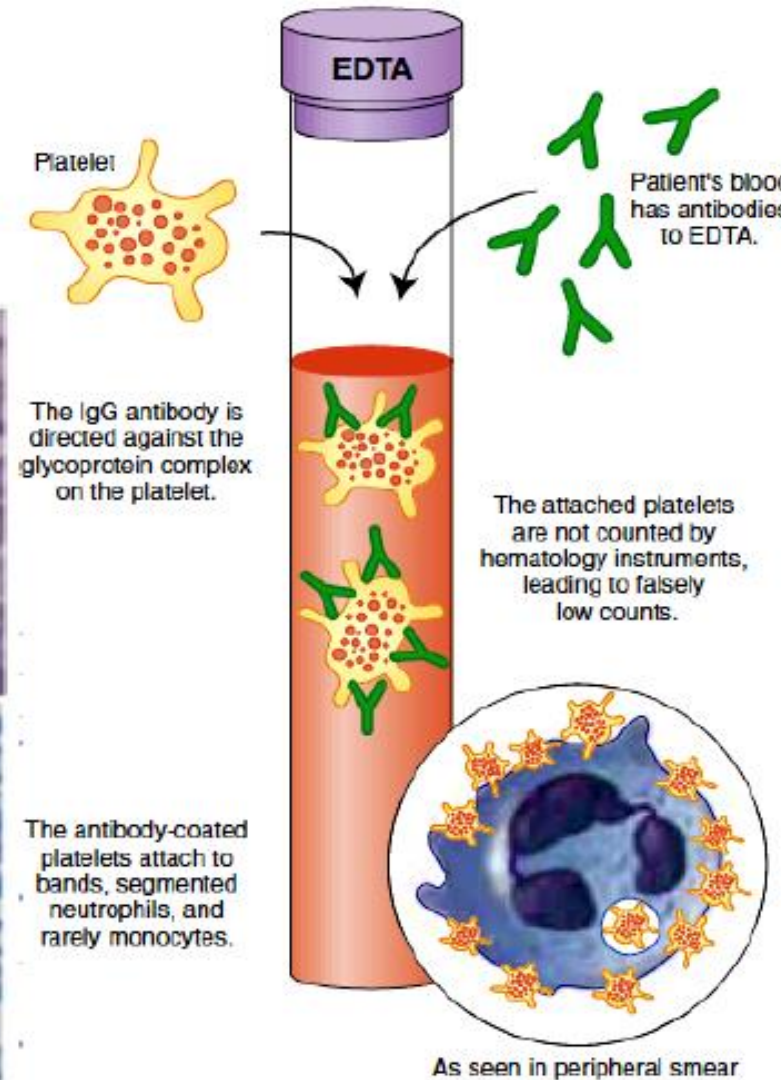
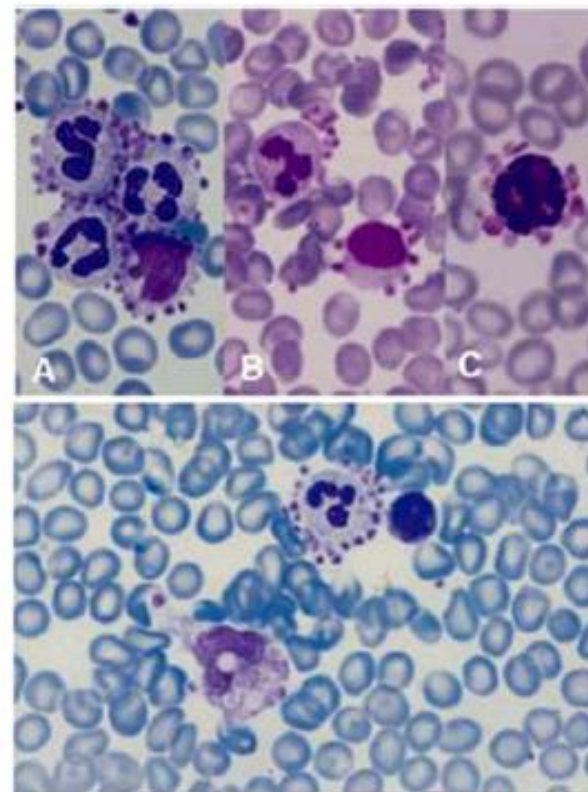
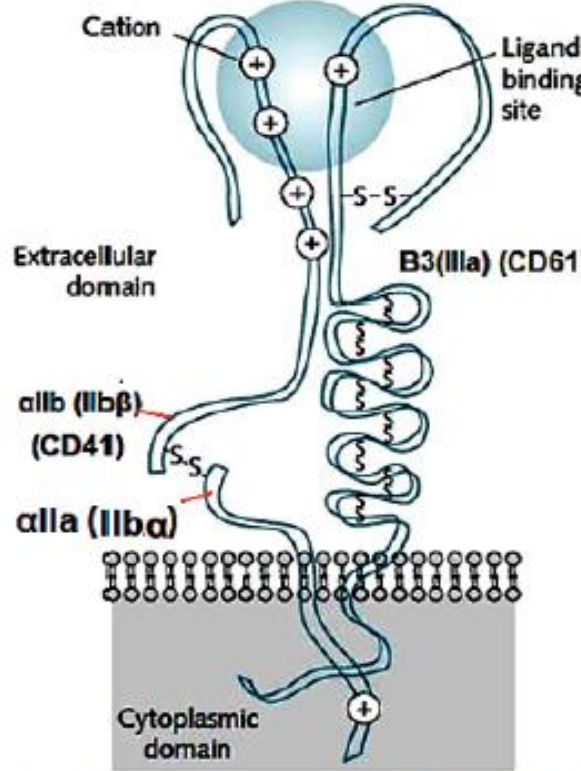
شکل ۲۶-۲۶: تصویر پلاکت در سه فرم دیسکوئید (غیرفعال)، دندانه‌ای (نیمه فعال) و فرم مسطح یا نیمر و مانند (فعال) که همان‌طوری که مشهود است گلیکوکالیکس در فرم دیسکوئید آن زبر، ضخیم و شبیه مغز دیده می‌شود [۱۵].



شکل ۲۶-۲۷: پلاکت فعال و نیمر و مانند (شبیه کلاه مکزیکی) متصل به سطح لام که به دو ناحیه گرانولومر (توده گرانول دار مرکزی) و هیالومر تبدیل می‌شود. در شکل سمت راست دگرانولاسیون ناقص گرانول‌های هیالومر در اثر مصرف داروی آسپرین و اختلال در مسیر سیکلواکسیژناز نشان داده شده است [۱۵].

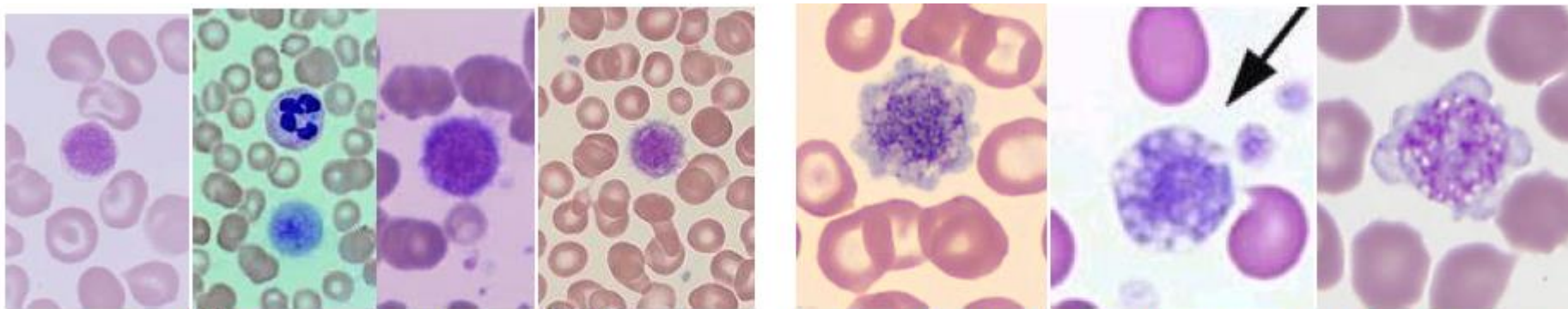


شکل ۳۶ و CD42

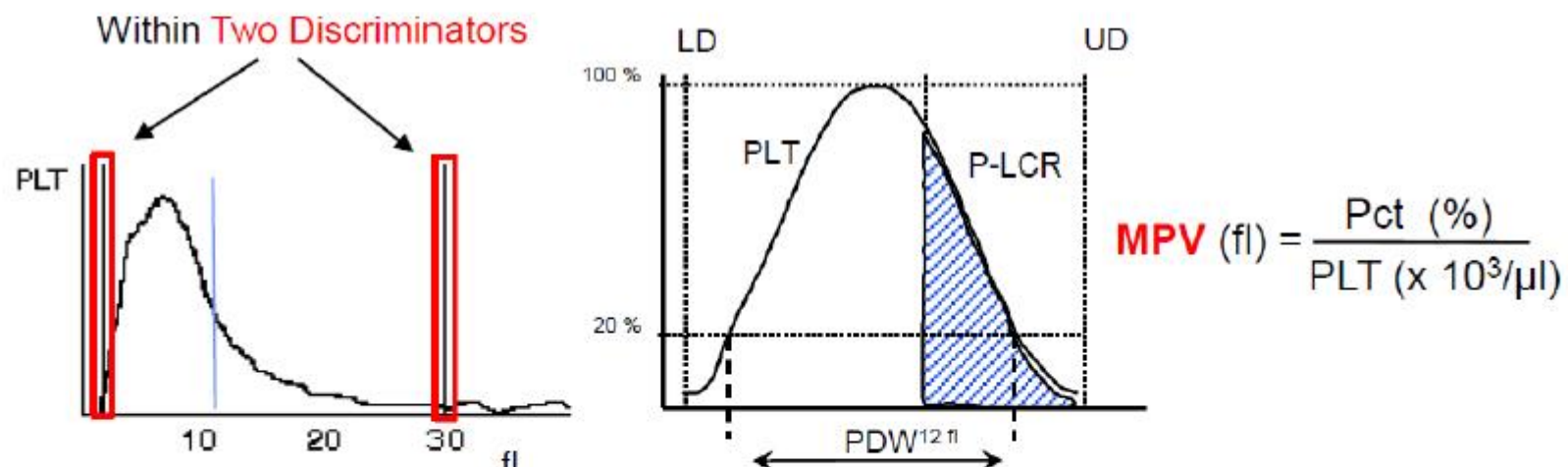


شکل ۳۷ و CD42

شکل ۳۷-۱: پدیده ستلاپتیسم ناشی از حضور آنتی بادی ضد EDTA-GP-IIb/IIIa و فاگوسیت پلاکت‌ها توسط مونوکیت یا نوتروفیل که گاهی به صورت واکونولاسیون مشاهده می‌شود. این آنتی بادی به صورت طبیعی در بدن برخی از افراد بر علیه برخی از پاتوزن‌ها یا فلورنرمال‌های روده‌ای تشکیل شده و زمانی که EDTA (اتیلن دی آمین ترا استیک اسید) با خاصیت آنیونی خود به دومن کاتیونی GP-IIb/IIIa متصل و باعث ظهور نشو آنتی زن در آن می‌شود، به GP-IIb/IIIa تغییر یافته در سطح پلاکت متصل شده و به طریق پلاکت را اوپسونیزه می‌کند. در مرحله بعد این آنتی بادی-های متصل به پلاکت از طریق دم FC γ R سطح لکوسیت‌ها (نوتروفیل، لنفوسیت، مونوکیت، بازویل و انوزیونوفیل) و حتی دیگر پلاکت‌های FC γ R+ متصل شده و باعث بروز ستلاپتیسم استقرار پلاکت‌ها پیرامون لکوسیت‌ها) و اگریگاسیون پلاکتی می‌شوند. البته استفاده از سیترات سدیم باعث بروز فرایند فوق نشده و لذا ستلاپتیسمی ایجاد نمی‌شود.



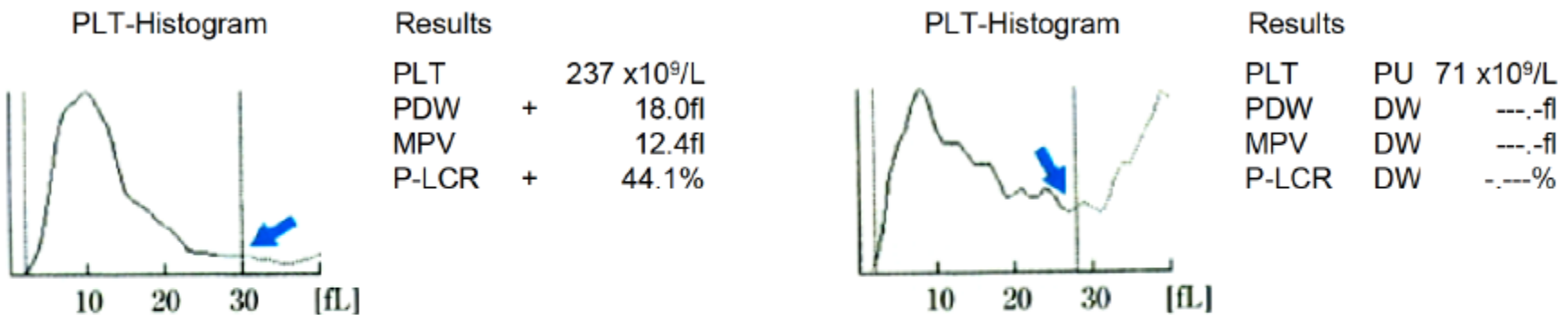
شکل ۳۸-۱: تفاوت جایانت پلاکت ریکولار (جوان) با یک جایانت پلاکت معمولی که هردو باعث افزایش انداکس P-LCR می‌شوند ولی فقط پلاکت ریکولار مقدار IPF را افزایش می‌دهد.



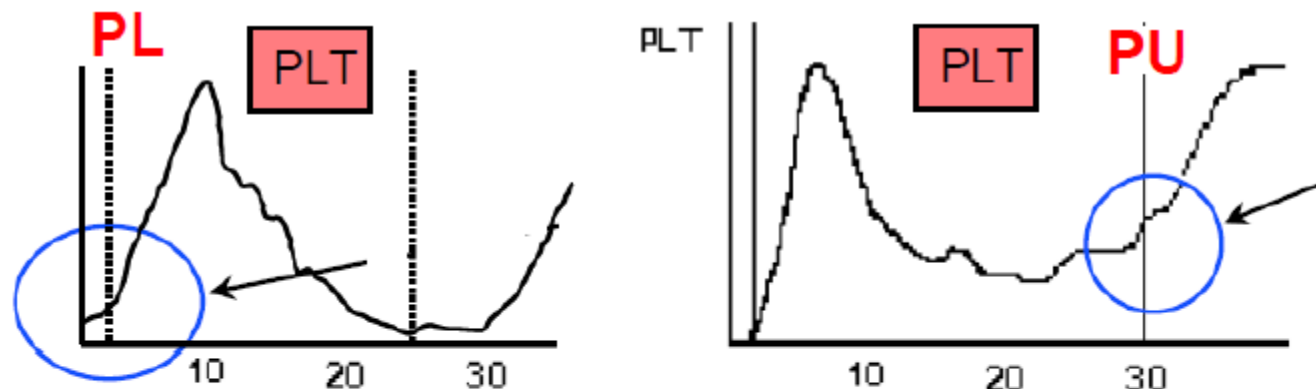
شکل ۳۹-۱: هیستوگرام PLT توسط دو معیز یا کاتآف LD و PU به نام‌های PL و P-LCR تفکیک می‌شود که PL در محدوده ۲-۶fl و PU در محدوده ۱۲-۳۰fl متفاوت بوده و به پلاکت‌های بالای ۱۲fl که فراوانی بالای ۲۰٪ داشته باشند. P-LCR یا نسبت پلاکت‌های پلاکت گفته می‌شود و محدوده نرمال آن ۱۵-۳۵٪ می‌باشد. از حاصل ضرب P-LCR در شمارش تام پلاکت نیز تعداد مطلق یا انداکس P-LCC حاصل می‌شود. انداکس P-LCR در سندروم ویسکات آلدريچ کاهش و در سندروم برنارد سولیر، بیماری‌های مرتبط با MYH-9 و ترمبوسیتوپنی‌های تخریبی و احتباسی کاهش دارد.

Morphology Grading Table			
Cell Name	Few/1+	Mod/2+	Many/3+
WBC			
Döhle bodies	N/A	2–4	>4
Vacuolation (neutrophil)	N/A	4–8	>8
Hypogranulation (neutrophil)	N/A	4–8	>8
Hypergranulation (neutrophil)	N/A	4–8	>8
Platelets			
Giant Platelets	N/A	11–20	>20

- If P-LCR, MPV and PDW increase together.

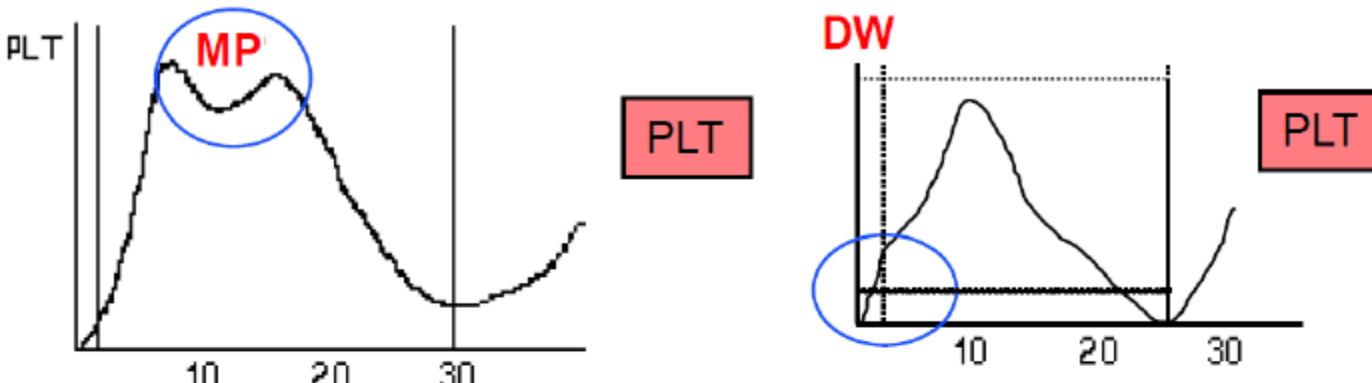


شکل ۱۰-۴۰: هرچند هردو گراف به دلیل میل منحنی به سمت راست با حضور جایانت پلاکت همراه هست، ولی در گراف سمت چپ، دم سمت راست هیستوگرام در ارتفاع پایین ممیز PU را قطع کرده و لذا شمارش آن صحیح می‌باشد ولی در گراف راست، محل قطع شدن ممیز PU در ارتفاع بالاتری بوده و احتمالاً تعدادی از پلاکت‌های خیلی بزرگ و رتیکولار وارد محدوده شمارش RBC شدند و حتی احتمال دارد قسمتی از RBC‌های خیلی کوچک یا شیستوسیت نیز وارد محدوده شمارش پلاکت شده باشند. لذا به دلیل فلاگ PU و DW نتایج آن به صورت نقطه چین بوده و قطعاً شمارش دستگاه می‌بایست با PBS تایید و چک شود. در گراف سمت راست، پلاکت‌ها بزرگ‌تر و رتیکولارتر از گراف سمت چپ هستند. لازم به ذکر است که پلاکت رتیکولار و رتیکولوسیت هر دو مانند جایانت پلاکت و ماکروسیت بزرگ هستند ولی برخلاف آنها به دلیل داشتن RNA با تیازول یا آکریدین نارنجی فلورسانس هم می‌شوند و لذا IPF و IRF بالایی هم دارند.



شکل ۱۰-۴۱: در شرایط نرمال، هیستوگرام پلاکت می‌بایست ماین ممیزهای PL و PU قرار داشته باشد و از خط پایه بعد PU به خط پایه صفر مماس شده و با ممیزهای PL و PU تقاطع نداشته باشند. گاهی محلول‌های ایزوتون یا بالانک دارای رسوبات نمکی و دبری‌های زیر ۲fl هستند که حضور آنها باعث می‌شود تا هیستوگرام پلاکت قبل از ممیز ۲فوتولیتری آغاز شود که فلاگ PL ثبت می‌شود (البته در سندروم ویسکات آلدربیج با پلاکت‌های بسیار ریز نقطه‌ای شکل نیز این فلاگ شایع است). گاهی نیز حضور جایانت پلاکت، کلامب پلاکتی (ناشی از لخته ریز، عدم تناسب ضدانعقاد، بهم نزدن کافی خون بعد از نمونه‌گیری) و اگریگاسیون ناشی از EDTA باعث می‌شود تا امتداد هیستوگرام پلاکت قبل از ممیز PU به خط پایه مماس نشده و خط PU را قطع کند که در چنین مواردی فلاگ PU ثبت می‌شود. مورد مشابه زمانی رخ می‌دهد که دامنه سمت چپ هیستوگرام RBC نیز در شرایطی مثل شیستوسیتوز (میکروآنژیوپاتیک‌های مختلف) و میکروسیتوز شدید اریتروسیتوز (مثل پیروپونیکلیوسیتوز، تالاسمی مازور و اینترمیا) خط PU را قطع کرده و فلاگ PU را ایجاد کند.

- Due to schistocytosis, PLT count Corrected from 253000/ μ l to 76000/ μ l.
- Schistocytosis can increase MPV, PDW and P-LCR Value Falsely.
- Due to n-RNC presence (135n-RBC/100WBC), WBC count corrected from 18500/ μ l to 8500/ μ l.



شکل ۴۲-۰۱: همانند پدیده دیبورفیسم در RBC تزریق اخیر پلاکت نیز باعث دو قله‌ای شدن هیستوگرام پلاکت و ثبت فلاغ MP[°] می‌شود. ارتفاع قله PLT یا RBC هرچقدر که باشد، معادل ۱۰۰٪ محسوب می‌شود. حال اگر نسبت به قله، ارتفاع ۲۰٪ را در نظر بگیریم، در محل تقاطع خط ۲۰٪ با دو میز PL و PU اگر هیستوگرام عریض‌تر از این دو میز باشد، فلاغ DW ثبت می‌شود.

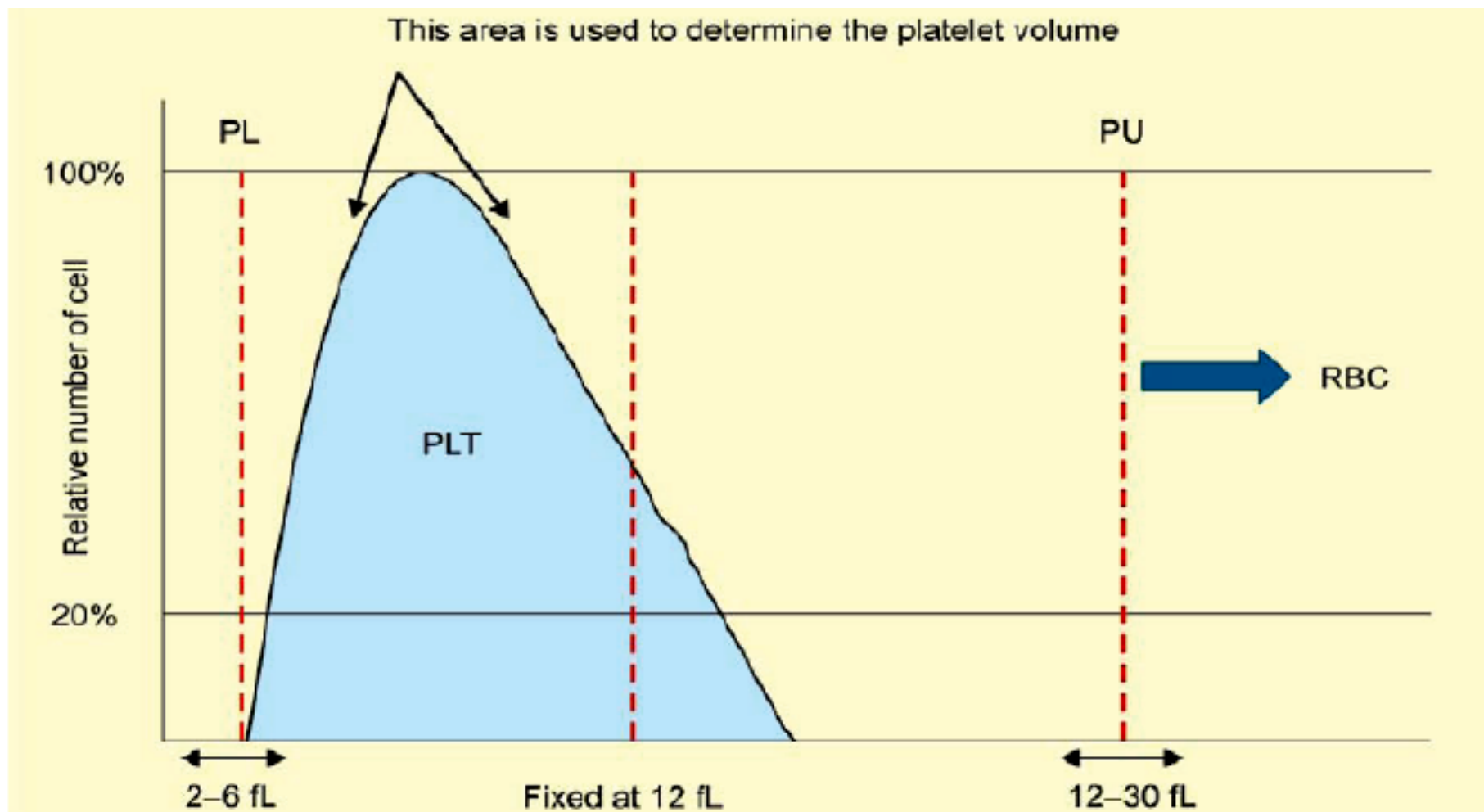
تخمین پلاکت از روی PBS:

(روش غیرمستقیم فونیو (Fonio's indirect method)

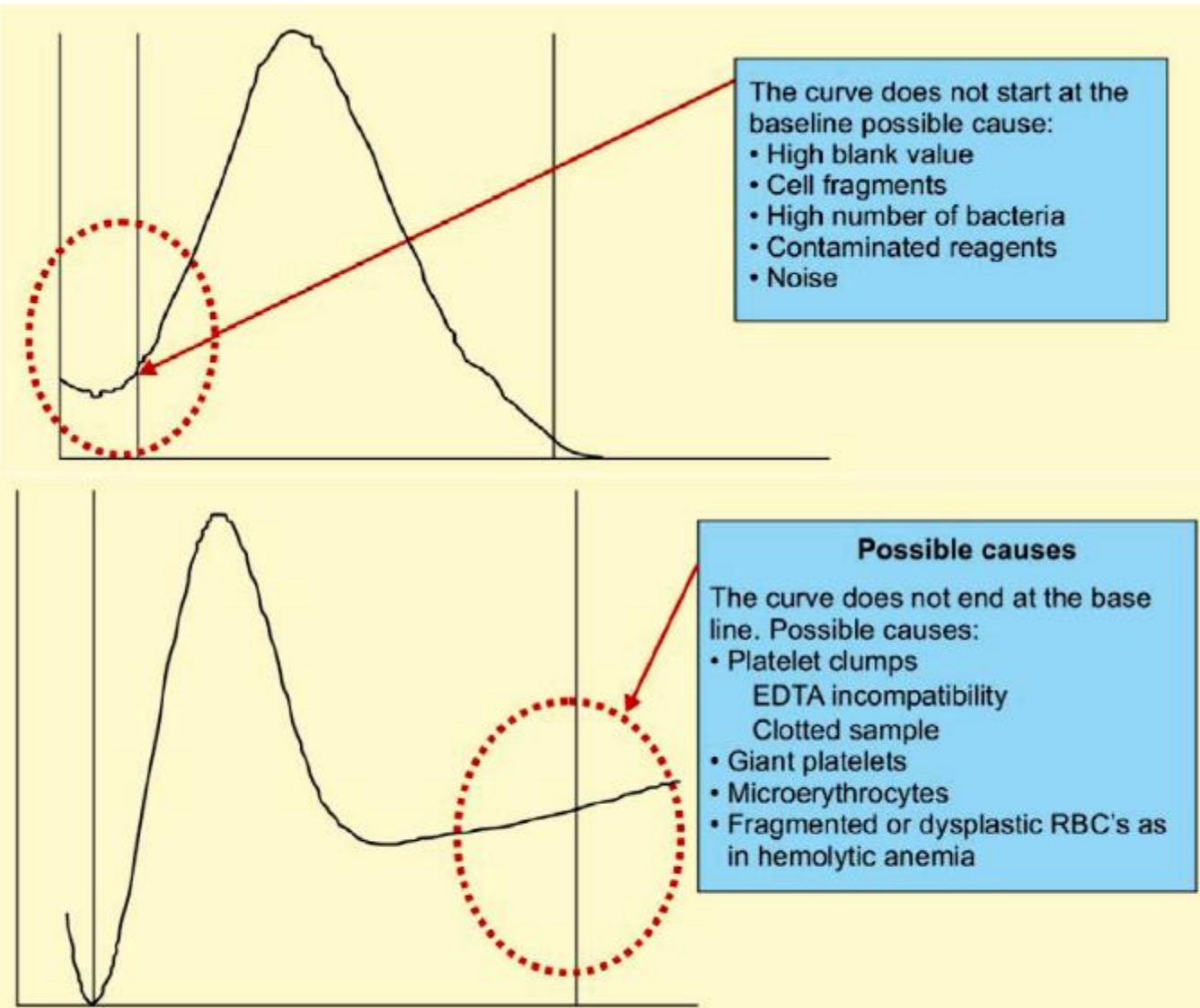
بر اساس مشاهدات میکروسکوپی، به ازاء هر ۱۰۰۰ اریتروسیت، حدود ۱۰۰۰۱ پلاکت و ۱/۵ لکوسیت در گستره خون محیطی رنگ آمیزی شده وجود دارد. در این روش ۱ حجم از خون بیمار را با ۵ حجم سولفات منیزیم (MgSO₄) ۱۴٪ مخلوط و سپس یک گستره معمولی از آن تهیه و آن را با یکی از رنگ‌های گروه رومانفسکی رنگ آمیزی می‌کنند. با بزرگنمایی ۱۰۰۰X ایمرسیون و همانند تست رتیک، به ازاء ۱۰۰۰ گلبول‌های قرمز، تعداد پلاکت‌ها را نیز شمارش نموده و سپس با توجه به نسبت فوق، تعداد پلاکت‌ها را بر اساس شمارش RBC محاسبه می‌نماییم. به عنوان مثال: شمارش گلبول قرمز بیماری $RBC = 4.8 \times 10^6 / mm^3$ و شمارش پلاکت وی به ازاء هزار گلبول قرمز، ۱۰۰۰۱ پلاکت می‌باشد. درنتیجه تعداد پلاکت وی $480000 + 1000 = 480000$ خواهد بود.

تخمین پلاکت از روی گستره خون محیطی (Direct method)

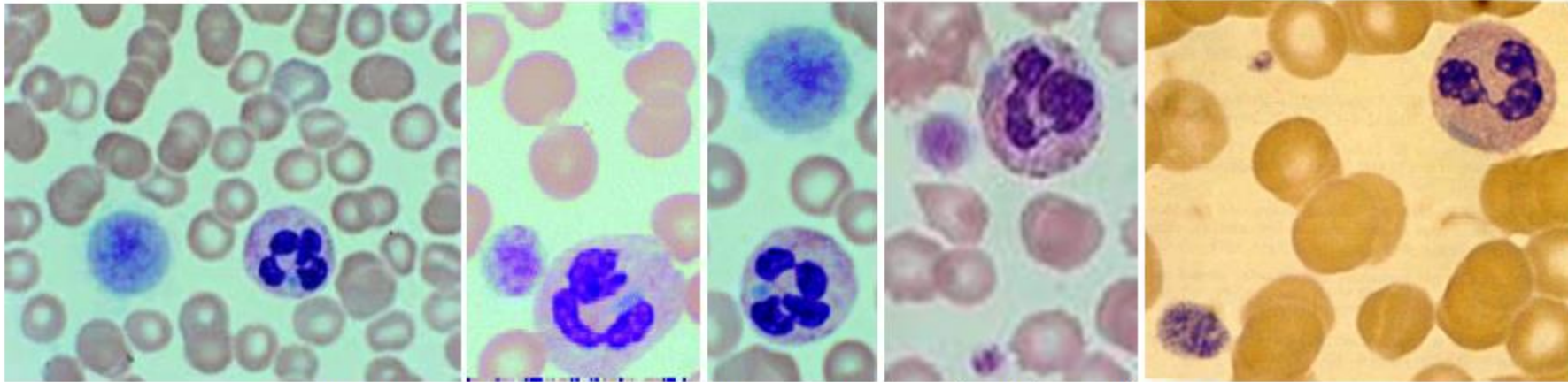
برای این منظور شمارش پلاکت‌های ده میدان میکروسکوپی با عدسی ۱۰۰را بدست آورده و میانگین آن را برای خون وریدی EDTA دار به ۱۵۰۰۰ و برای خون مویرگی سرانگشت به ۲۰۰۰۰ ضرب می‌کنیم. میدان‌های انتخاب شده می‌بایست مطابق میدان‌های دیف سلوی، غیرشلوغ بوده و بیش از ۵٪ اریتروسیت‌ها، حالت رولو نداشته باشند. در صورت مشاهده اگر گاسیبیون پلاکتی در گستره رنگ شده، نمونه گیری می‌بایست تکرار شود. به عنوان مثال اگر میانگین پلاکت-های ۱۰ میدان ۱۰۰۰X ۱۵ حدود عدد باشد، تخمین پلاکتی وی به شرط استفاده از خون حاوی EDTA حدود $15 \times 15 \times 225000 / ml = 450000$ خواهد بود.



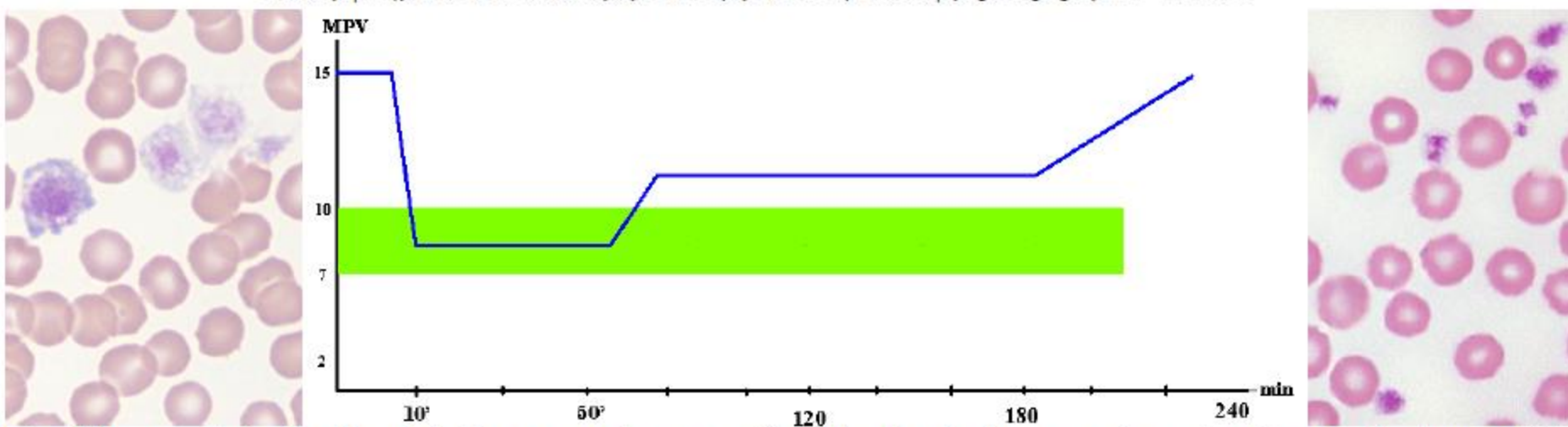
شکل ۱۰-۴۳: هرچند محدوده شمارش پلاکت بین ۲-۲۵ fL است ولی ممیز PL بین ۲-۶ و ممیز PU بین ۱۲-۳۰ متغیر می‌باشد. البته پلاکت‌ها تا سایز ۷۰ fL نیز دیده شده است که وارد محدوده RBC شده و به طور کاذب تحت عنوان RBC شمارش می‌شوند. لازم به ذکر است که مخمر، باکتری، جباب‌هوا (ناشی از هوای‌کشیدن پمپ یا شلنگ)، گامت مالاریا و شیستوسیت نیز به اشتباه پلاکت شمارش می‌شوند.



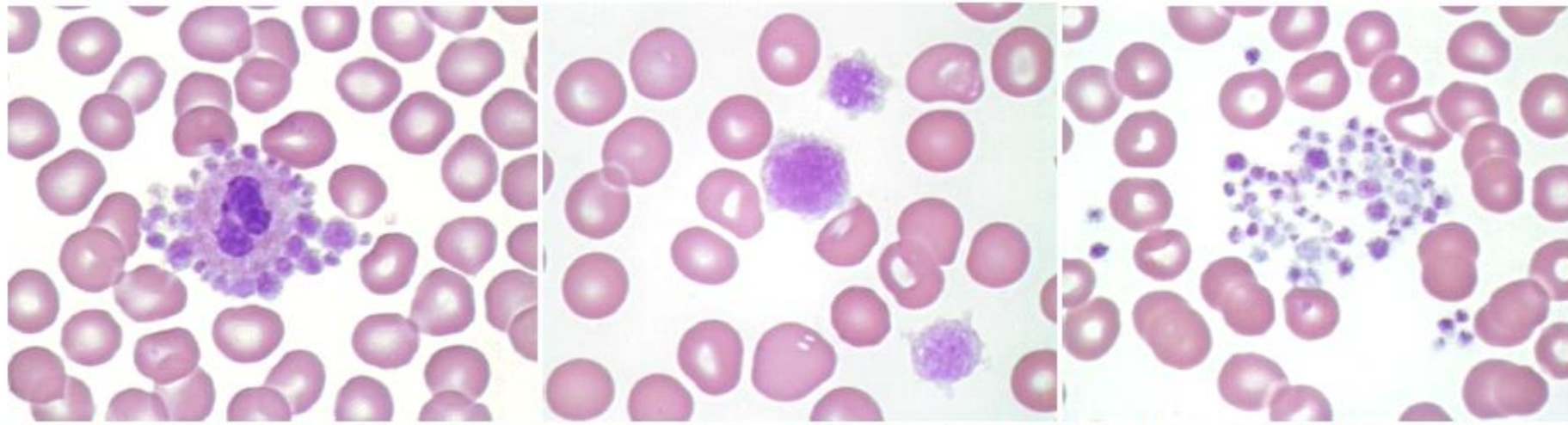
شکل ۱۰-۴۴: هرگاه سمت چپ یا راست هیستوگرام پلاکت به خط پایه نرسد و ممیز PL را در ارتفاع ۰.۱٪ و ممیز PU/RL را در ارتفاع ۰.۴٪ قطع کند، انداکس های پلاکتی اعتبار خود را از دست داده و مقابل آنها فlag درج می شود.



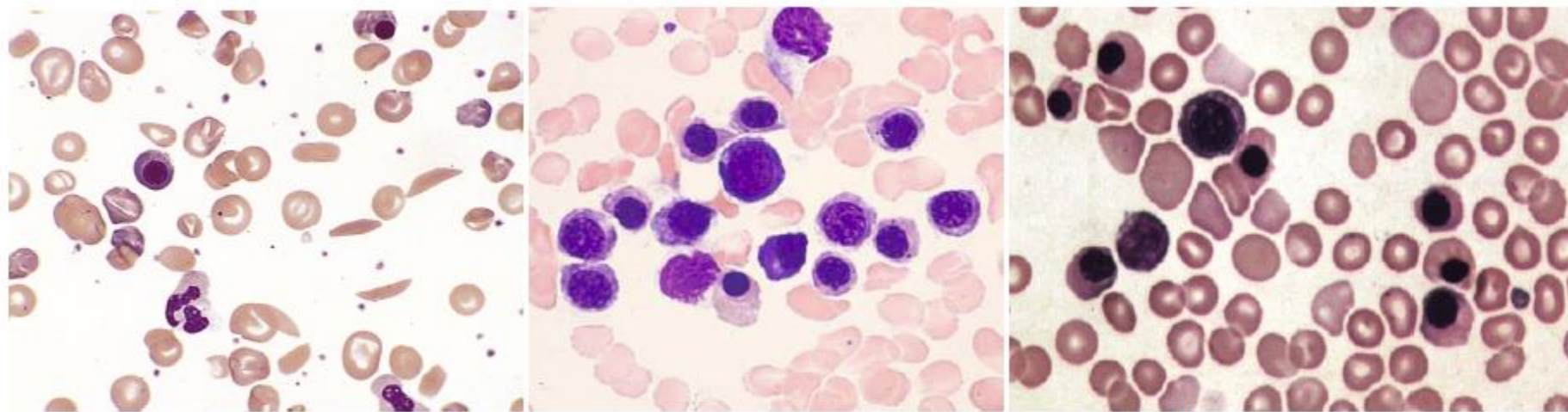
شکل ۱۰-۱۳۱: آنومالی می‌هگلین توأم با جایانت پلاکت‌های غولپیکر و انکلوزیون‌های شبه دوهل در سیتوپلاسم نوتروفیل‌ها



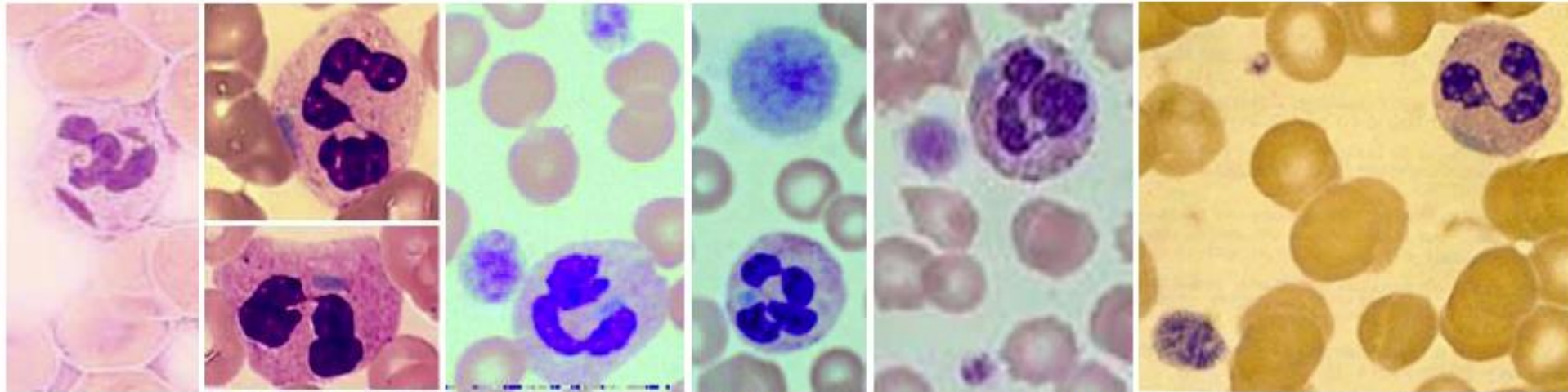
شکل ۱۰-۱۳۲: سایز پلاکت‌ها در ساعات مختلف تهیه گستره خون محیطی تفاوت دارد، هنگام تهیه گستره خون محیطی و در عرض ۱۰ دقیقه ابتدایی، جایانت پلاکت‌ها رقمی حدود ۸۰٪ پلاکت‌ها را تشکیل می‌دهند که کاذب بوده و به دلیل شرایط خون‌گیری، استرس فیزیکی، بهم زدن مکانیکی و میکس شدن پلاکت‌ها ایجاد می‌شوند. طی ۱۰-۶۰ دقیقه میانی، جایانت پلاکت‌ها به ۵٪ (حداقل مقدار) کاهش یافته و بعد از ۶۰ دقیقه مجدداً سایز عمدۀ پلاکت‌ها تا بیش از ۳ میکرون افزایش می‌یابد، لذا بهترین زمان برای بررسی اورژانسی و سریع مورفولوژی پلاکت‌ها، ۱۰-۶۰ دقیقه بعد از خون‌گیری می‌باشد. از طرفی دیگر، بعد افزایش MPV طی یک ساعت بعد از خون‌گیری، میزان آن مجدداً بین ۱-۳ ساعت پایدار باقی مانده و دوباره با گذشت زمان MPV پلاکت‌ها افزایش بیشتری می‌یابد. از این رو بهترین زمان برای بررسی غیراورژانسی مورفولوژی پلاکت‌ها، ۱-۳ ساعت بعد از خون‌گیری می‌باشد. تغییر شکل پلاکت‌ها از حالت دیسکوئید به شکل کروی، مسئول افزایش در حجم ظاهری پلاکت‌ها در خون EDTA دار می‌باشد (در مقایسه با خون سیتراته یا بدون ضد انعقاد). برای کسب نتایج قابل تکرار MPV و PDW، نتایج آزمایشگاهی آنها را می‌بایست با دستگاه‌های چند کاناله و طی ۱-۳ ساعت پس از خون‌گیری تهیه نمود.



شکل ۱۰-۱۹: تصویر PBS از میکروآگر گاسیون، جایانت پلاکت (هم اندازه لنفوسيت) و پلاکت اقماری (ستلايتیسم) کاذب می‌شوند ولی ستلايتیسم برخلاف دو مورد اول باعث لکوسیتوز کاذب نمی‌شود.



شکل ۱۰-۲۰: افزایش شدید N-RBC در خون که باعث لکوسیتوز شدید (به ویژه لنفوسيتوز کاذب)، کاهش کاذب MPXI و LI افزایش MCV و فلاغ WL می‌شود.



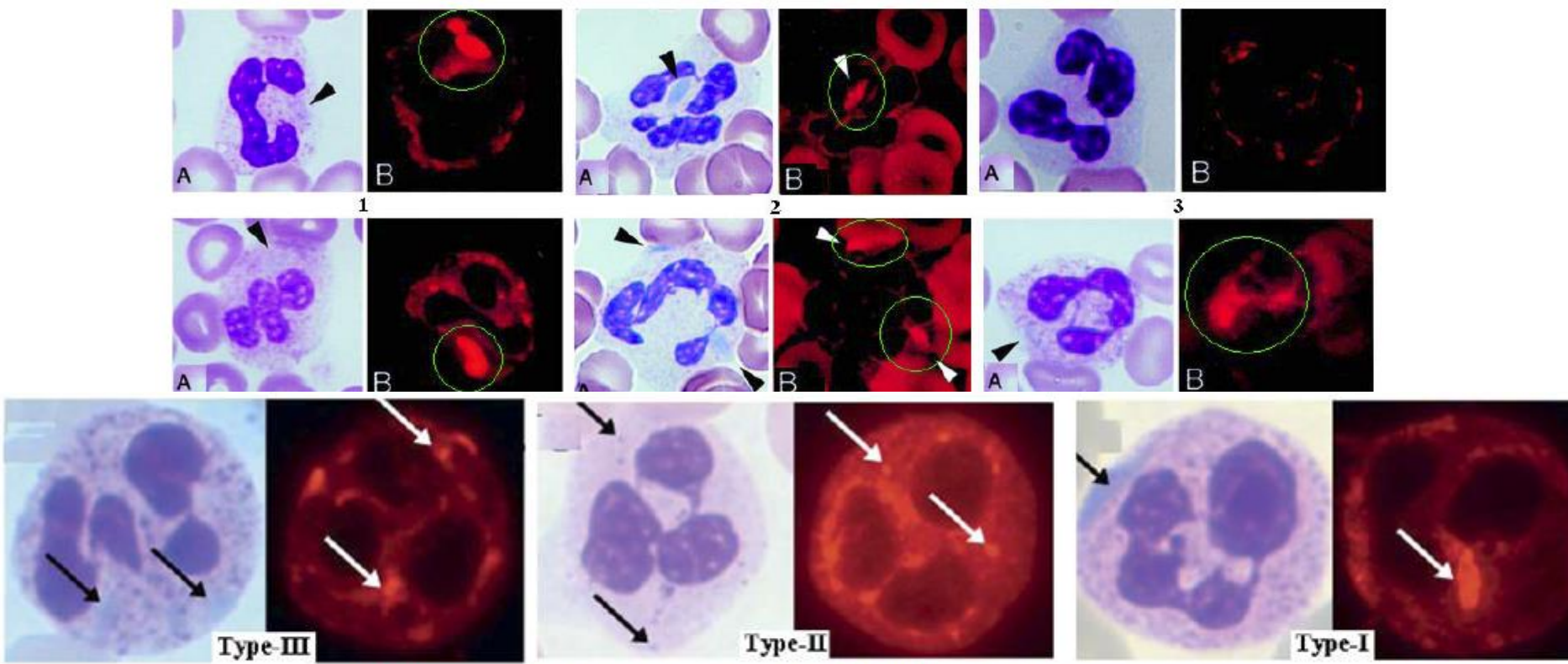
شکل ۲۴: آنومالی می-هگلین توأم با جایانت پلاکت و انکلوزیون‌های شبه دوهل در سیتوپلاسم نوتروفیل‌ها که تصویر سمت چپ، رنگ آمیزی اختصاصی آن با متیل-گرین پیروناین را نشان می‌دهد

جدول ۶: اختلافات بالینی در سندروم‌های ۴ گانه EAS و FTNS، SBS، MHA

SBS	MHA	FTNS	EAS	
+	+	+	+	ماکروتروموسیتوپنی (جایانت پلاکت)
+	+	+	-	انکلوزیون‌های شبه دوهل
-	-	+	+	اختلال شنوایی
-	-	+	+	نفریت
-	-	+	-	کاتاراکت

جدول ۷: اختلافات بالینی در سندروم‌های ۴ گانه DFNA17، MPSD، APSM، EPS

DFN17	MPSD	APSM	EPS	
+	+	+	+	ماکروتروموسیتوپنی (جایانت پلاکت)
+	+	+	+	ریزش مو (عصبی)
-	-	-	-	انکلوزیون‌های شبه دوهل
-	-	+	+	اختلال شنوایی
-	-	+	+	نفریت
-	-	+	-	زخم‌های چشمی

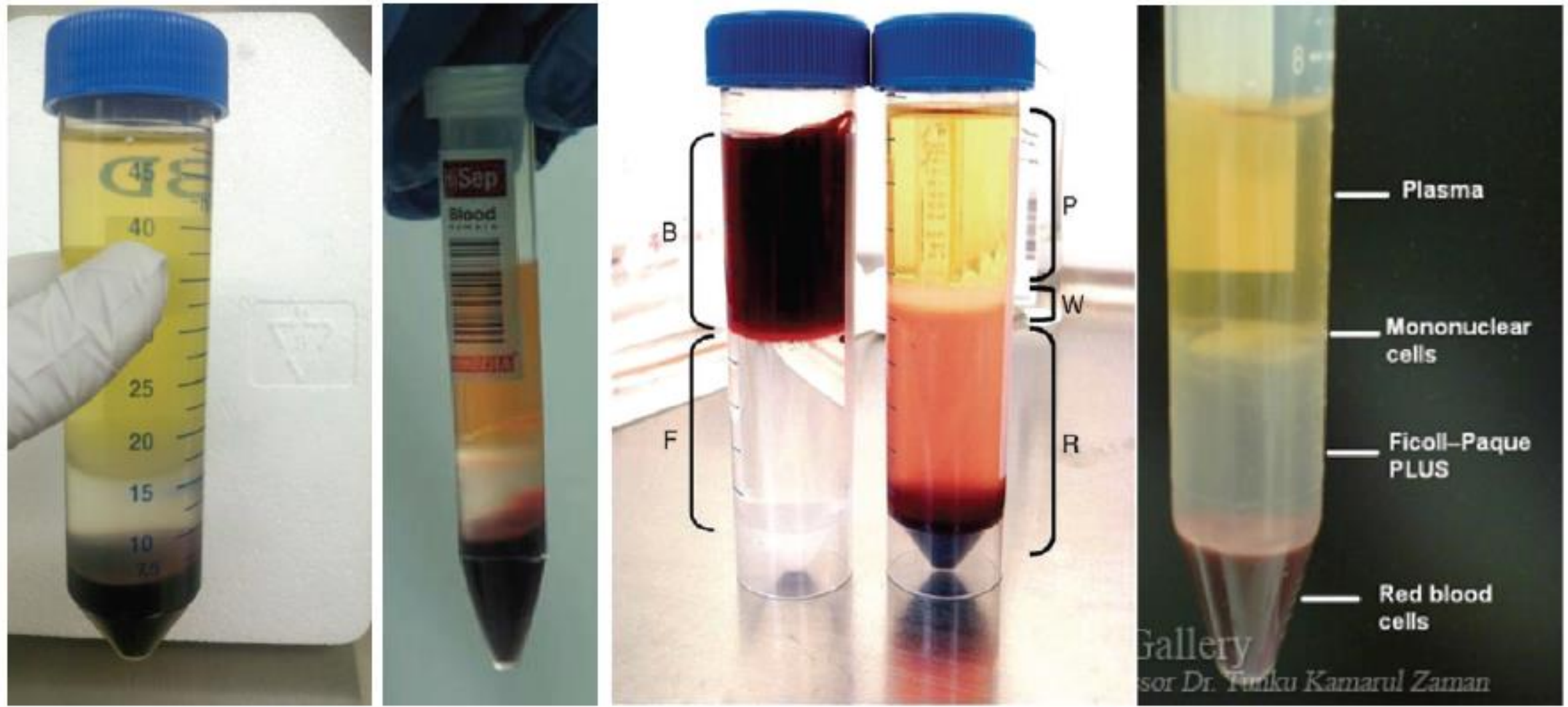


شکل ۳۰: تفاوت سه نوع انکلوزیون I, II, III ناشی از جهش در اگزون ۱۰۳۰ و ۱۳۸ (به ترتیب) زن MYH9

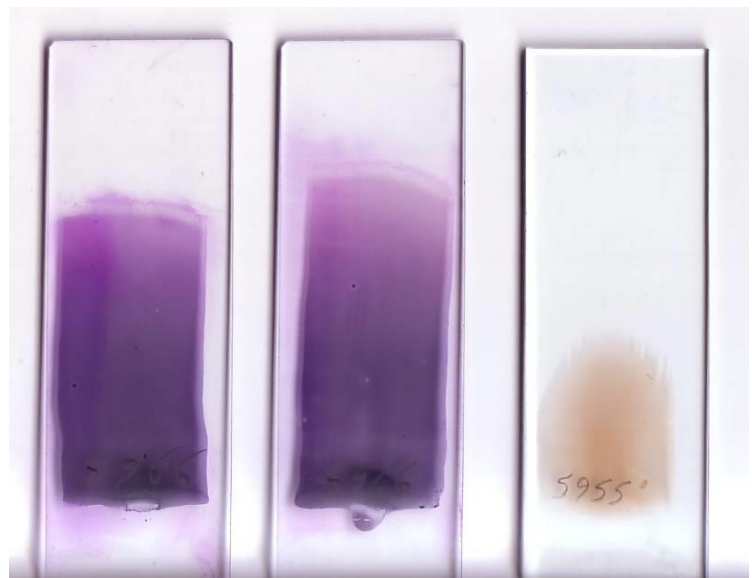
جدول ۸: دسته بندی انواع مختلف انکلوزین های شب دوغل در سندروم های مرتبط با MYH9

	NMMHCA-positive granules		
	Number	Shape	Size (μm)
Type I	1 or 2	Oval-spindle	0.5–2.0
Type II	3–20	Circle-oval	<1
Type III	>20	Circle	<0.5

PBS Preparation



شکل ۷-۱: لایه‌های مختلف سلولی تشکیل شده در مراحل جداسازی سلول‌های تک‌هسته‌ای خون با استفاده از روش فایکول



Prepare blood films within **4(3) h** of the blood collection in K EDTA.
Stain the film **within one hour of preparation** with a Romanowsky stain,
containing fixatives; or fix within one hour with "water-free" (i.e., **<3% water**) methanol for later staining.

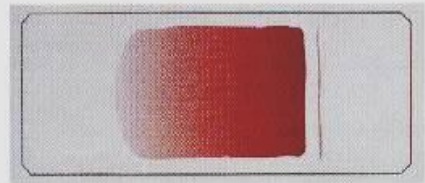
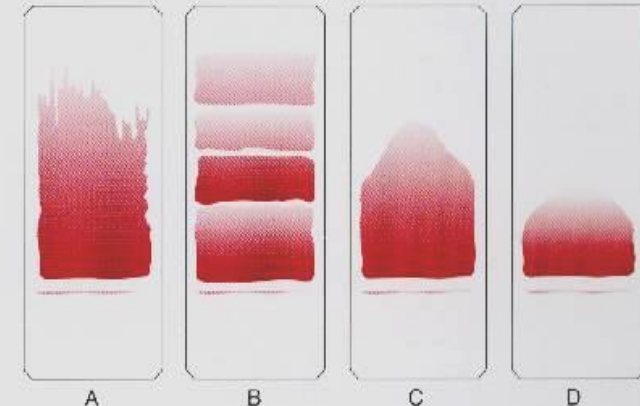
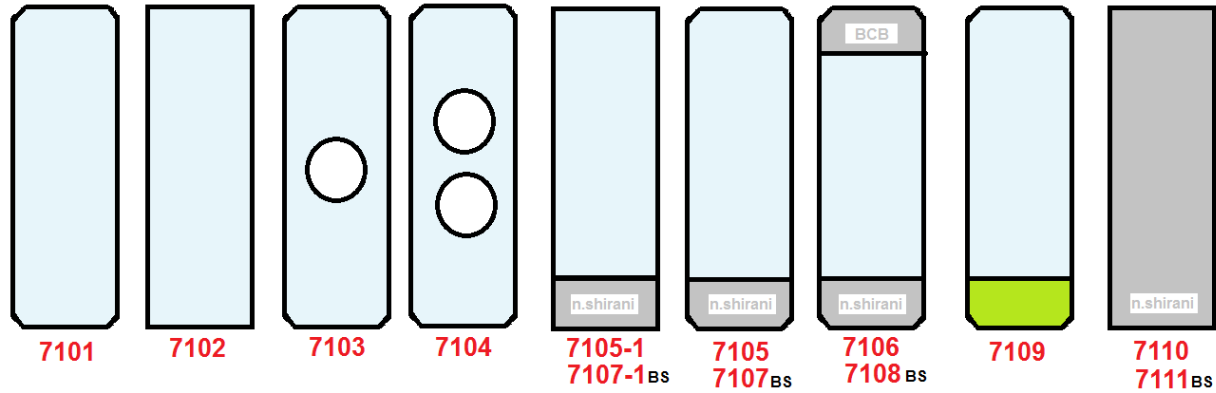


Figure 1–2 Well-made peripheral blood smear.
(From Rodak BF: Diagnostic Hematology.
Philadelphia, WB Saunders, 1995.)



Spreader of PBS preparation





عبارت انگلیسی	Plain Vs Fasted (Sand blast) One side vs Both side	Colorless Vs coloured	90° edge Corner vs 45° clipped/cutted corner	Un-ground vs Ground/beveled/ angled (Rode)	Smooth Vs Concaved
عبارت فارسی	صفاف یا مات (یک یا دوسر) ماتی روی یک یا هردو سطح لام	بی رنگ یا رنگی	گوشه گوینی ۹۰ درجه یا اورب (Pointy) یا ۴۵ درجه	پهلوی تیز یا پرداخت شده و سنگ خورده	بدون چاهک یا چاهک دار
7101	صفاف و صیقل در هر دو سطح لام	بی رنگ	۴۵ درجه	روده و سنگ ساب	بدون چاهک
7102	صفاف و صیقل در هر دو سطح لام	بی رنگ	۹۰ درجه	غیر روده و شارب	بدون چاهک
7103	صفاف و صیقل در هر دو سطح لام	بی رنگ	۴۵ درجه	روده و سنگ ساب	یک چاهک
7104	صفاف و صیقل در هر دو سطح لام	بی رنگ	۴۵ درجه	روده و سنگ ساب	دو چاهک
7105	یک سر مات و روی یک سطح	بی رنگ	۴۵ درجه	روده و سنگ ساب	بدون چاهک
7105-1	یک سر مات و روی یک سطح	بی رنگ	۹۰ درجه	غیر روده و شارب	بدون چاهک
7106	دوسرا مات و روی یک سطح	بی رنگ	۴۵ درجه	روده و سنگ ساب	بدون چاهک
7107	یک سرمات و روی هر دو سطح	بی رنگ	۴۵ درجه	روده و سنگ ساب	بدون چاهک
7107-1	یک سرمات و روی هر دو سطح	بی رنگ	۹۰ درجه	غیر روده و شارب	بدون چاهک
7108	HQ دوسرمات و روی هر دو سطح	بی رنگ	۴۵ درجه	روده و سنگ ساب	بدون چاهک
7109	HQ یک سرمات و روی یک سطح	رنگی	۴۵ درجه	روده	بدون چاهک
7110	تمام مات روی یک سطح	بی رنگ	۹۰ درجه	غیر روده و شارب	بدون چاهک
7111	تمام مات روی هر دو سطح	بی رنگ	۹۰ درجه	غیر روده و شارب	بدون چاهک
7115	یک سرمات چسبینده و حاوی پلی ال-لایزن شارژ + در یک سطح	رنگی و بی رنگ	۴۵ درجه	روده و سنگ ساب	بدون چاهک

Peripheral Blood Smear

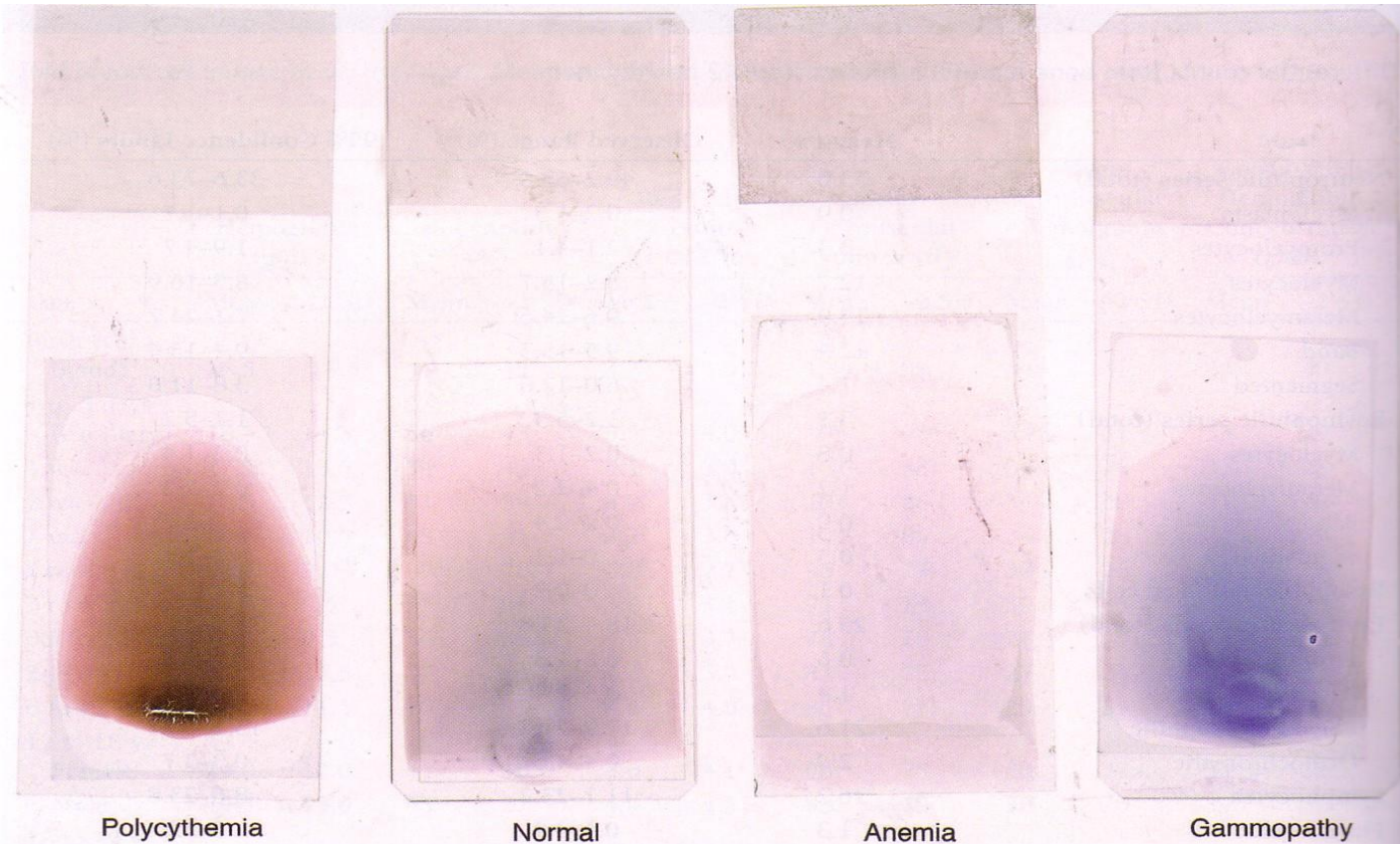
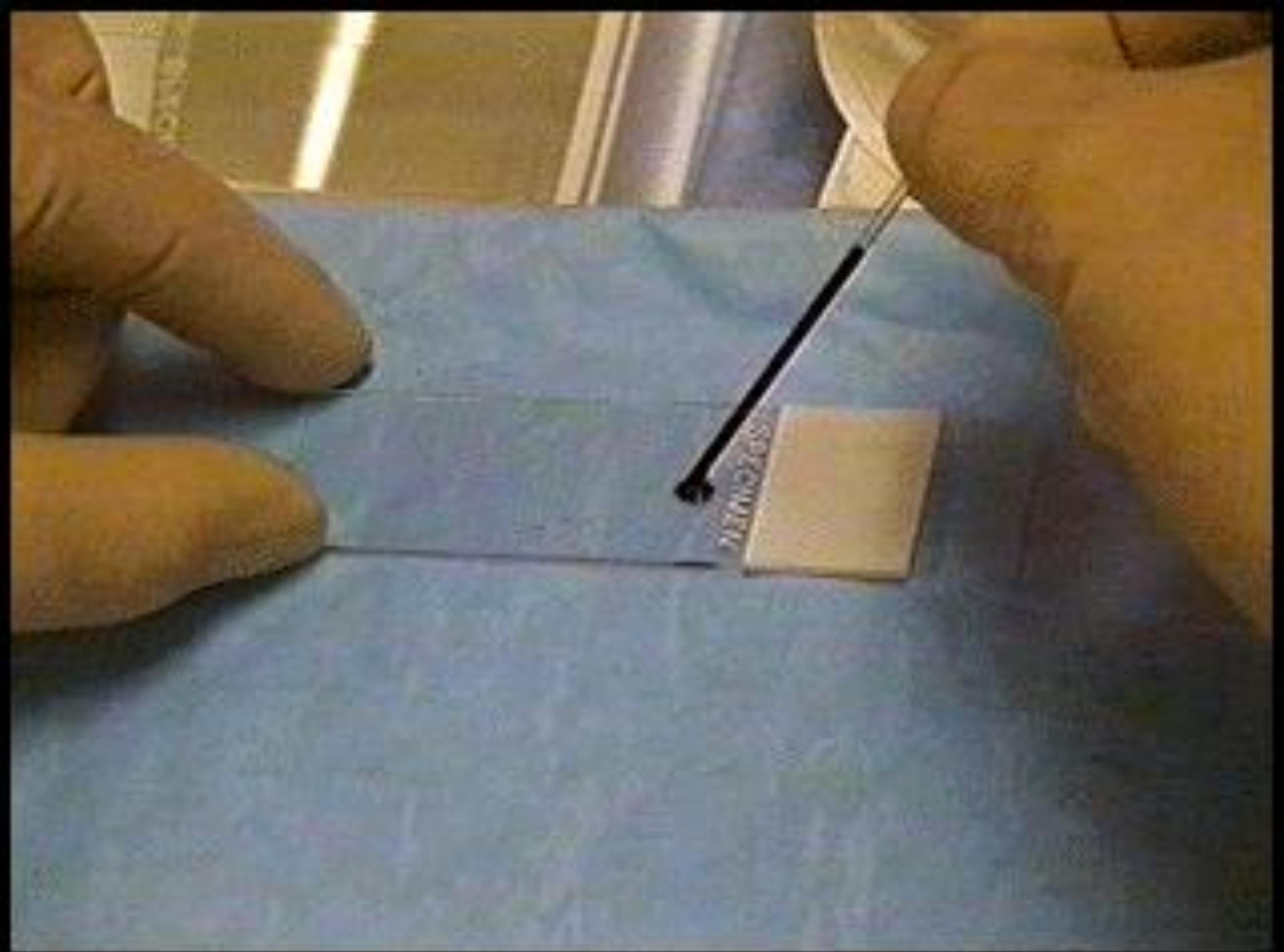
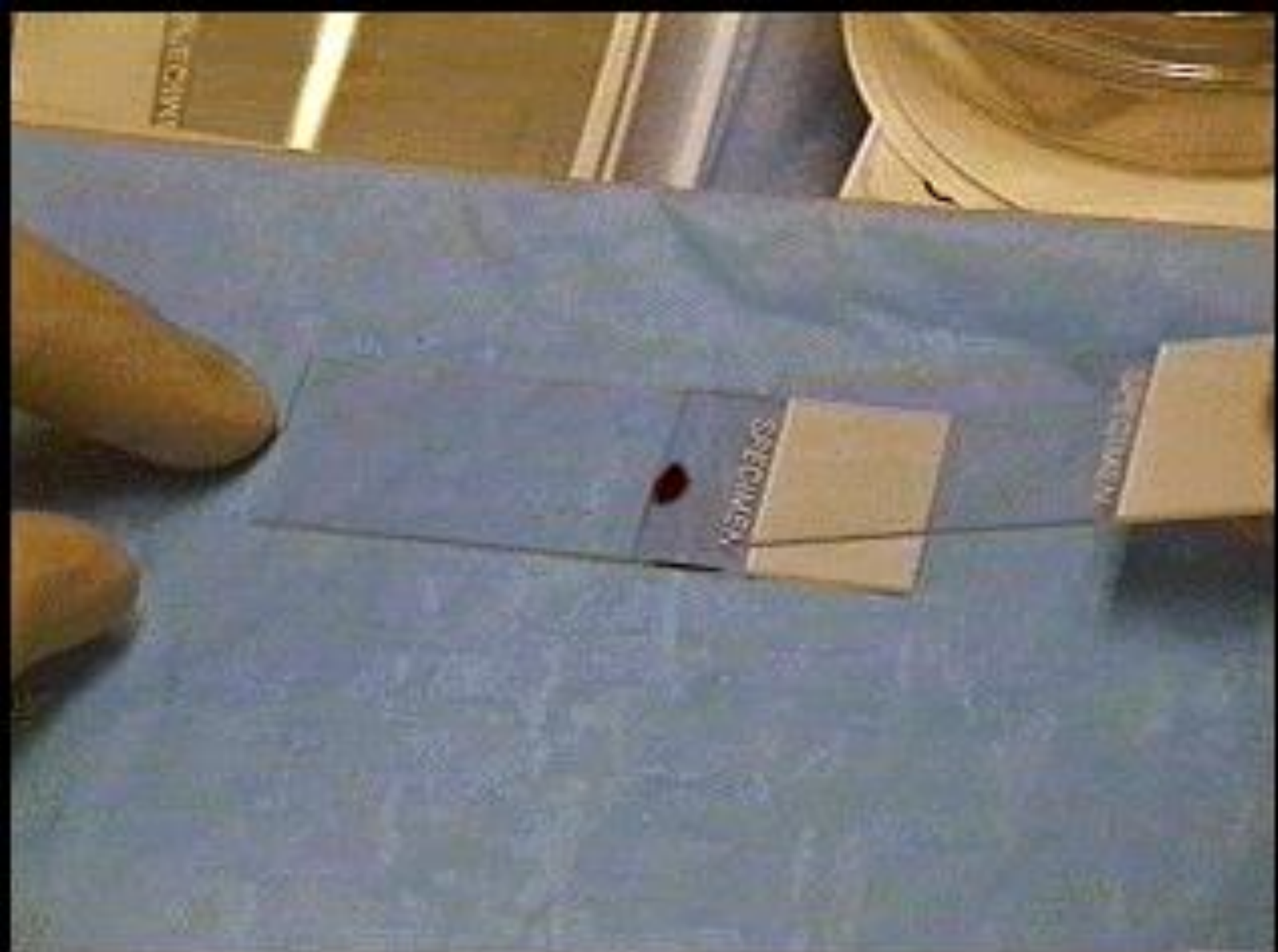
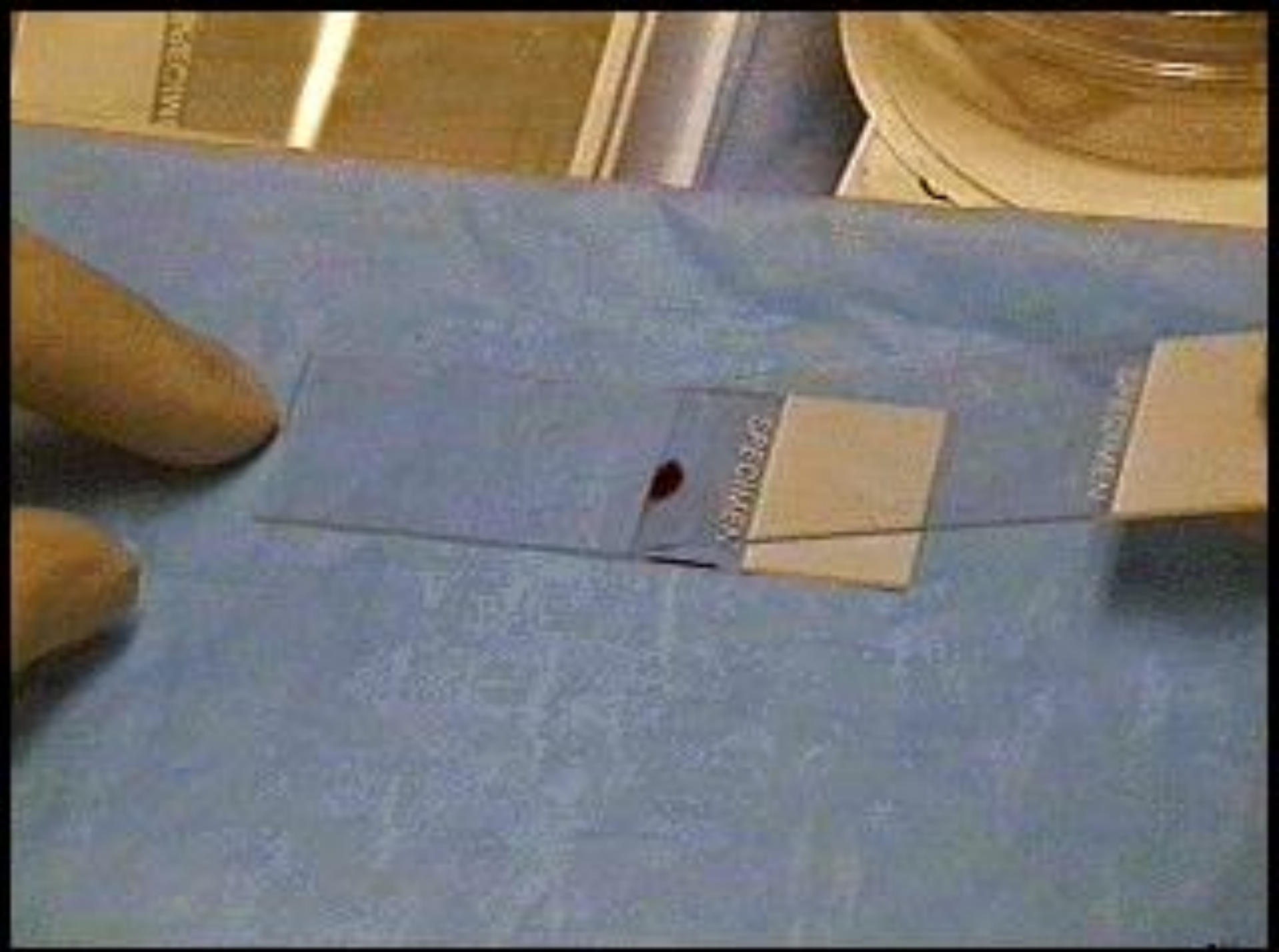
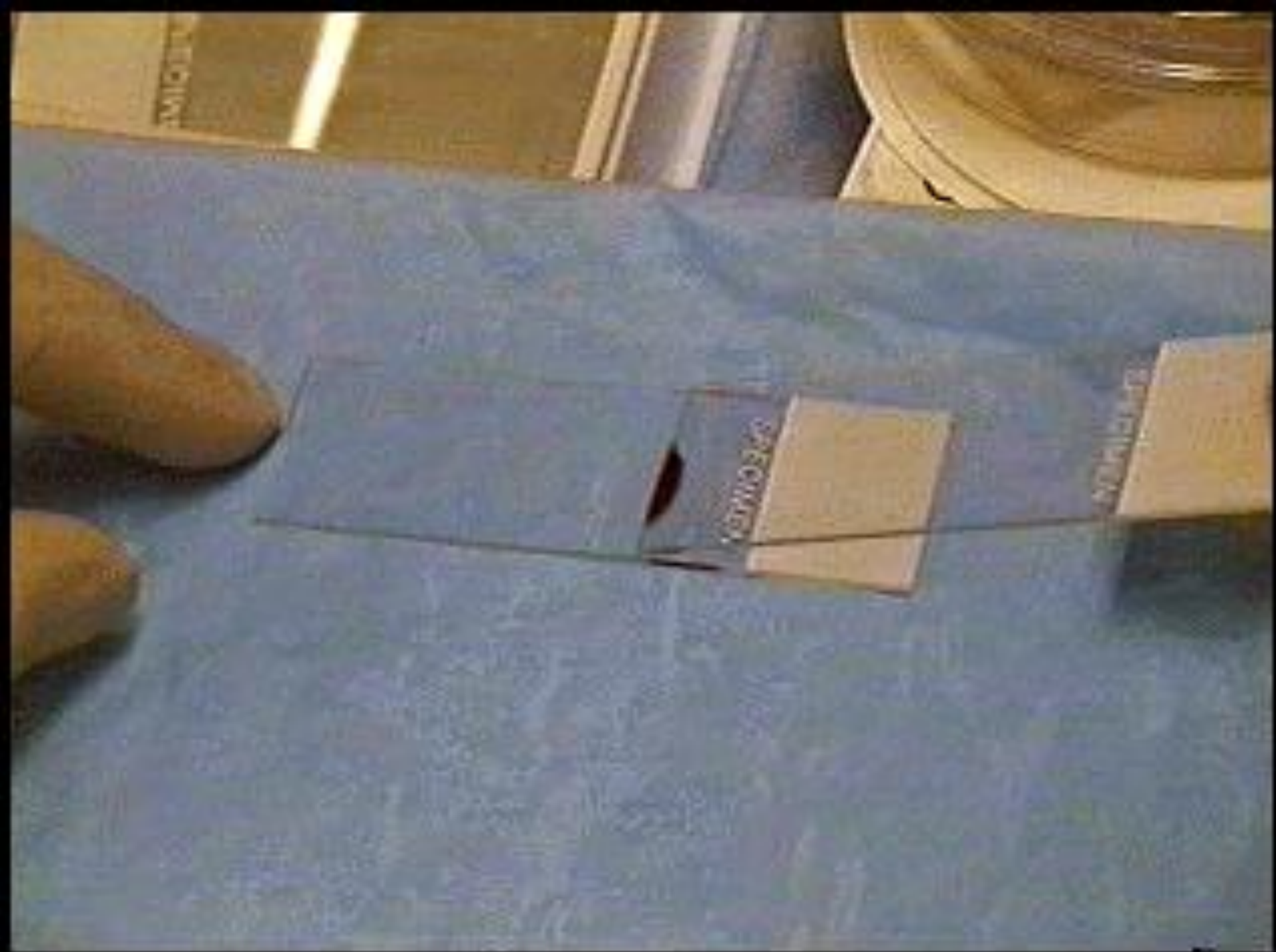


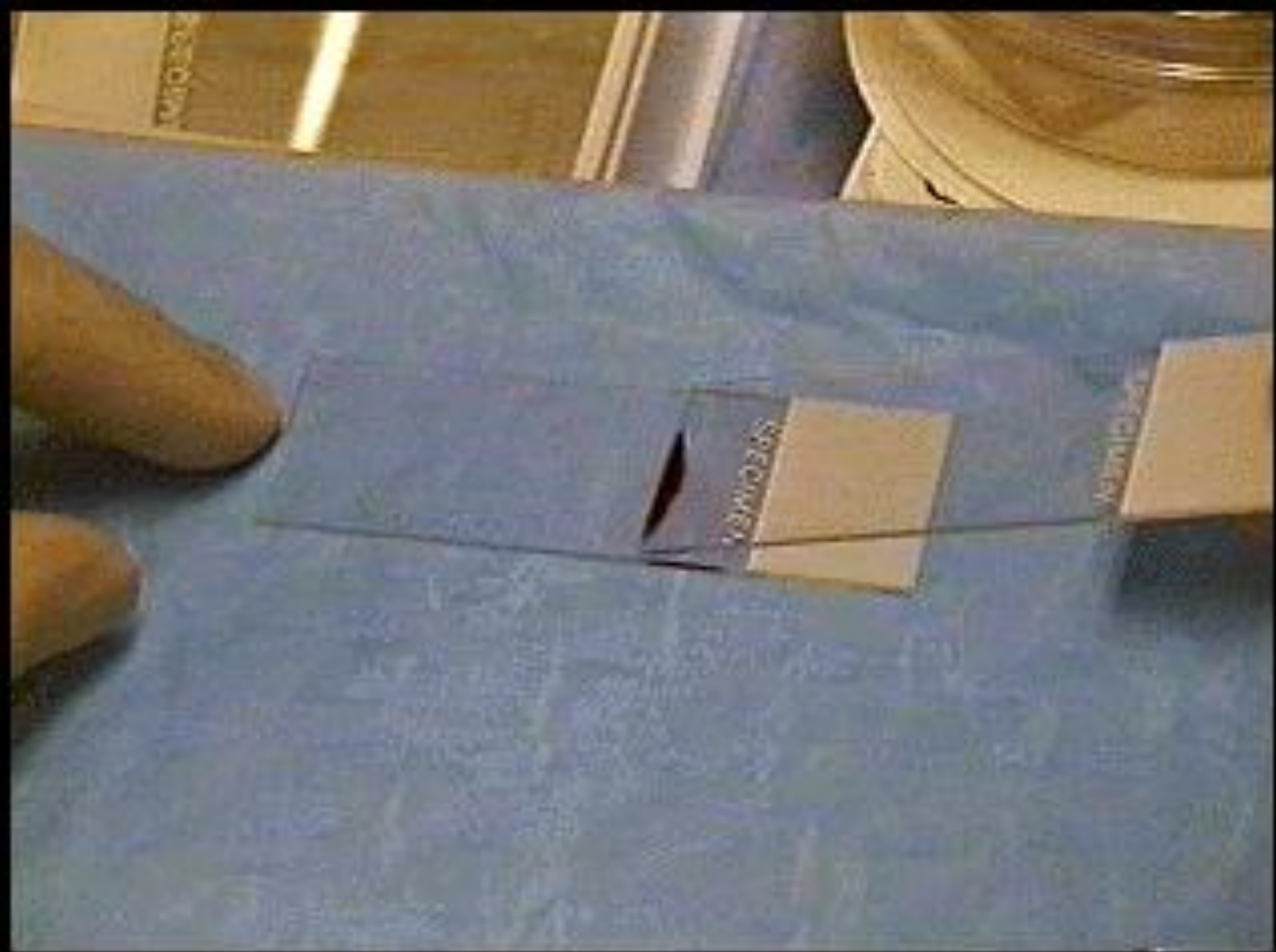
Figure 8.1. Macroscopic appearance of blood films. The color of blood smears can reflect severe underlying abnormalities in hematocrit and the presence of abnormal circulating immunoglobins. The smear on the left, from a patient with polycythemia vera and a hemoglobin of 20 g/dL, appears noticeably darker than the normal (hemoglobin = 14 g/dL) and pale anemic sample (hemoglobin = 7). The blood film on the right, from a case of myeloma, is blue because circulating monoclonal immunoglobins take up the basophilic stains used in blood smears.

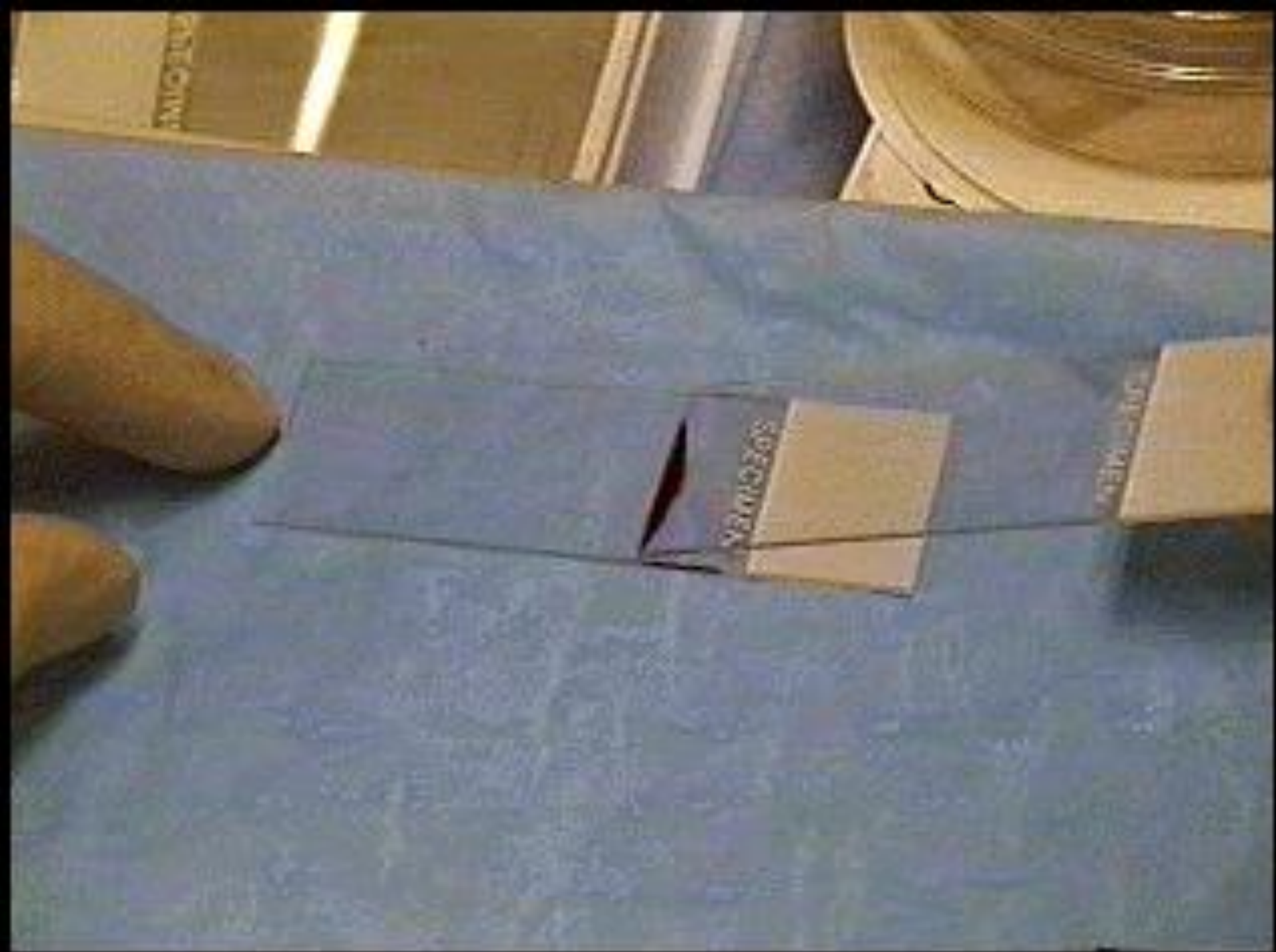


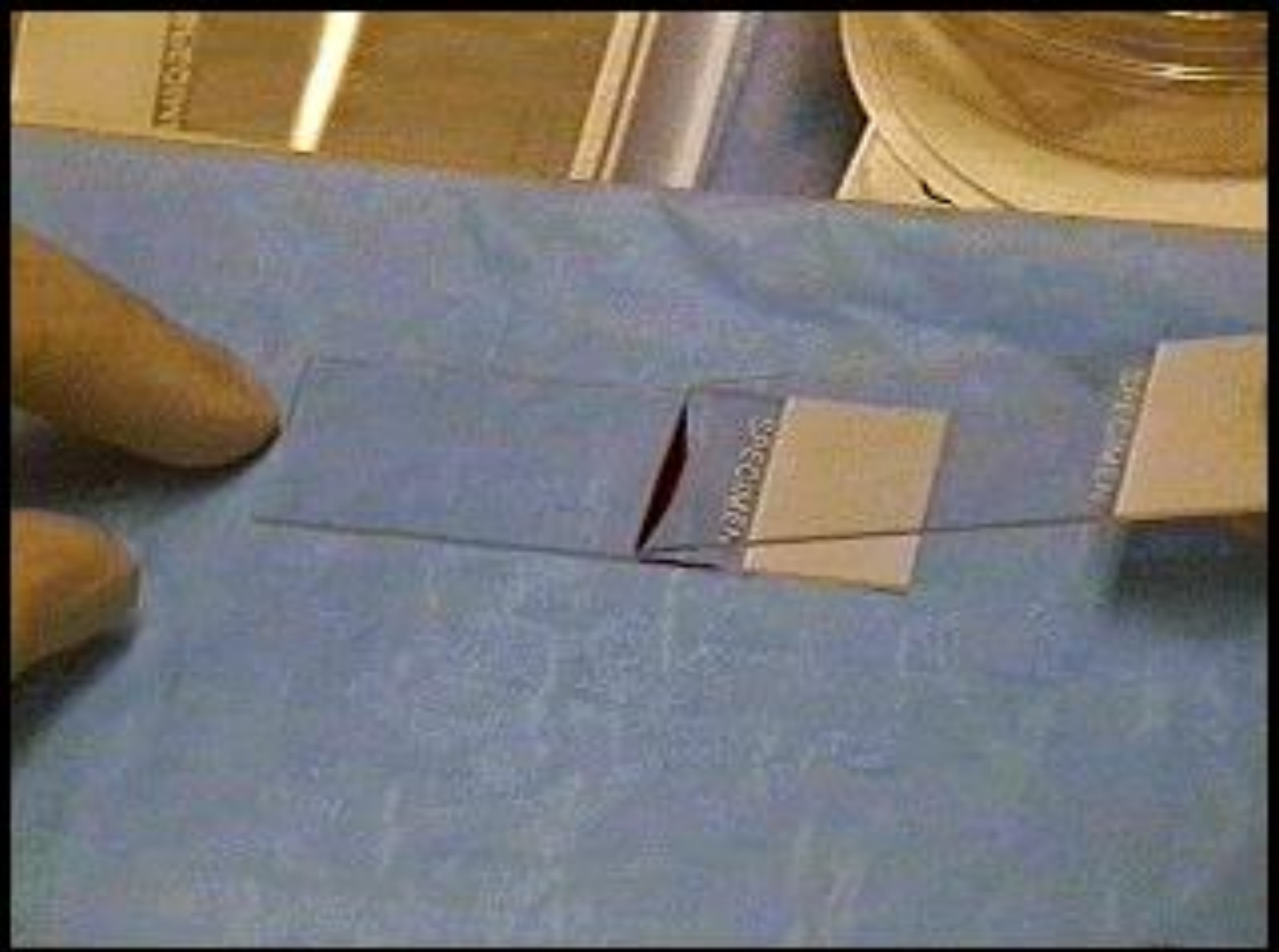


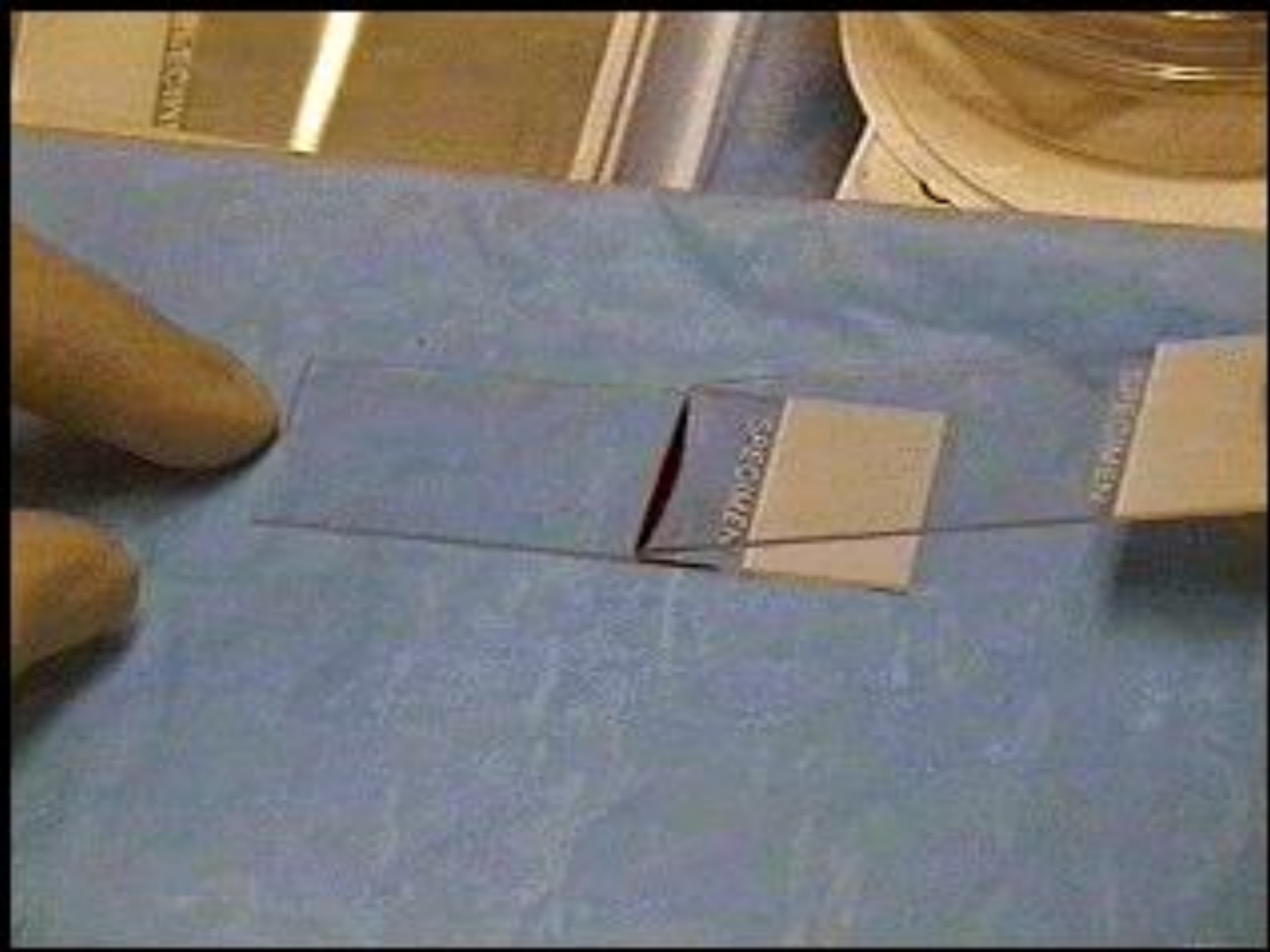


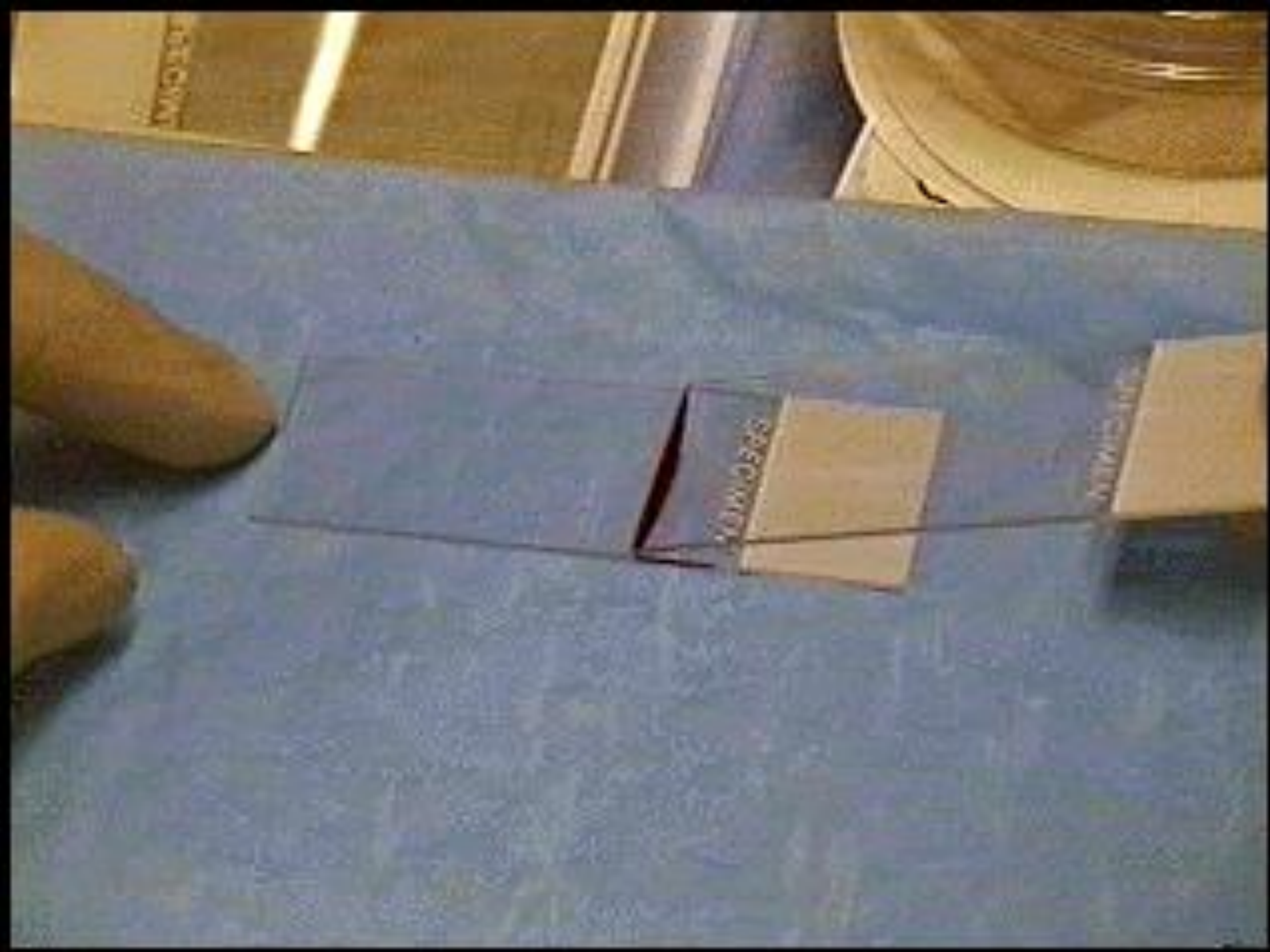


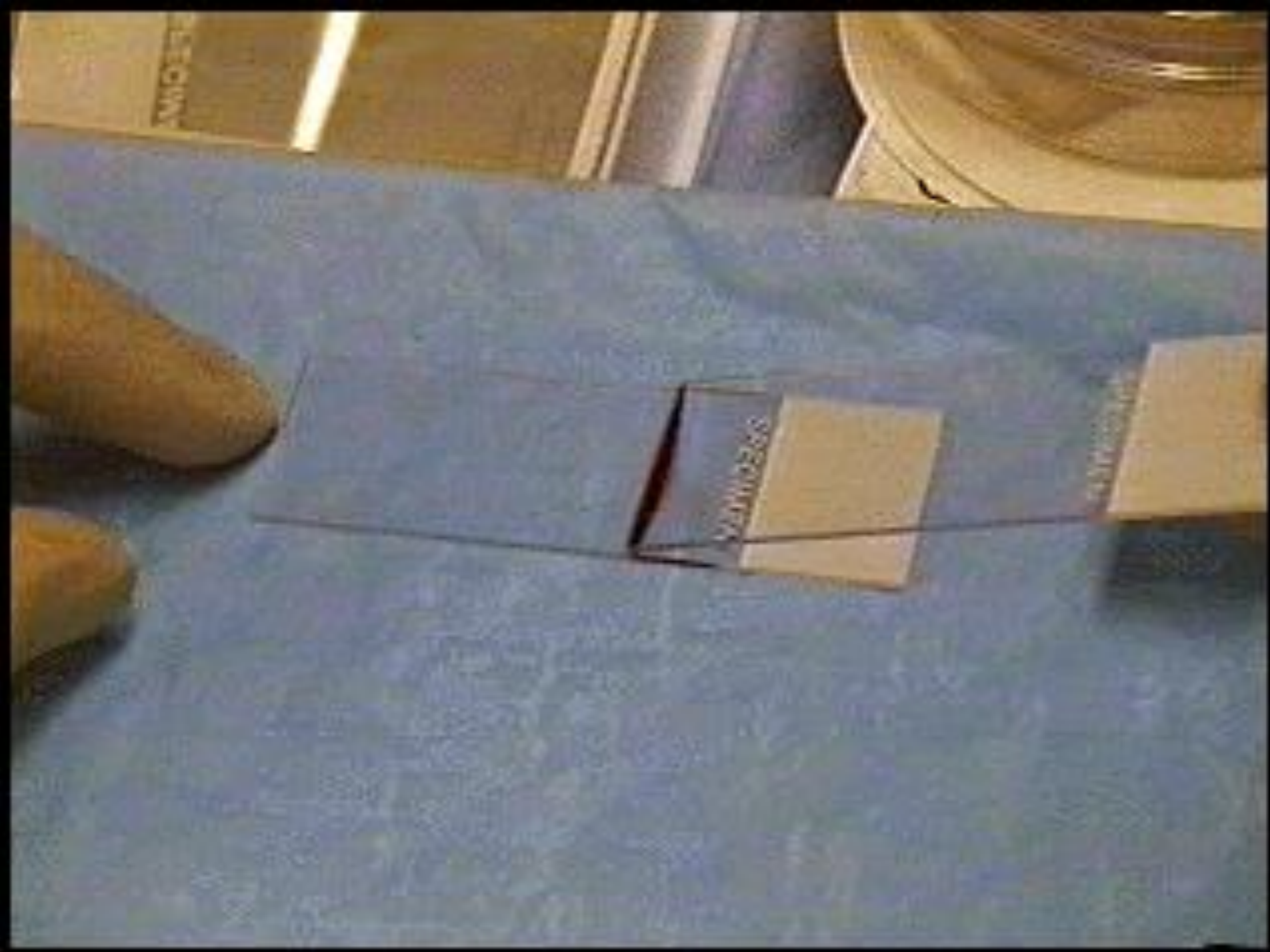


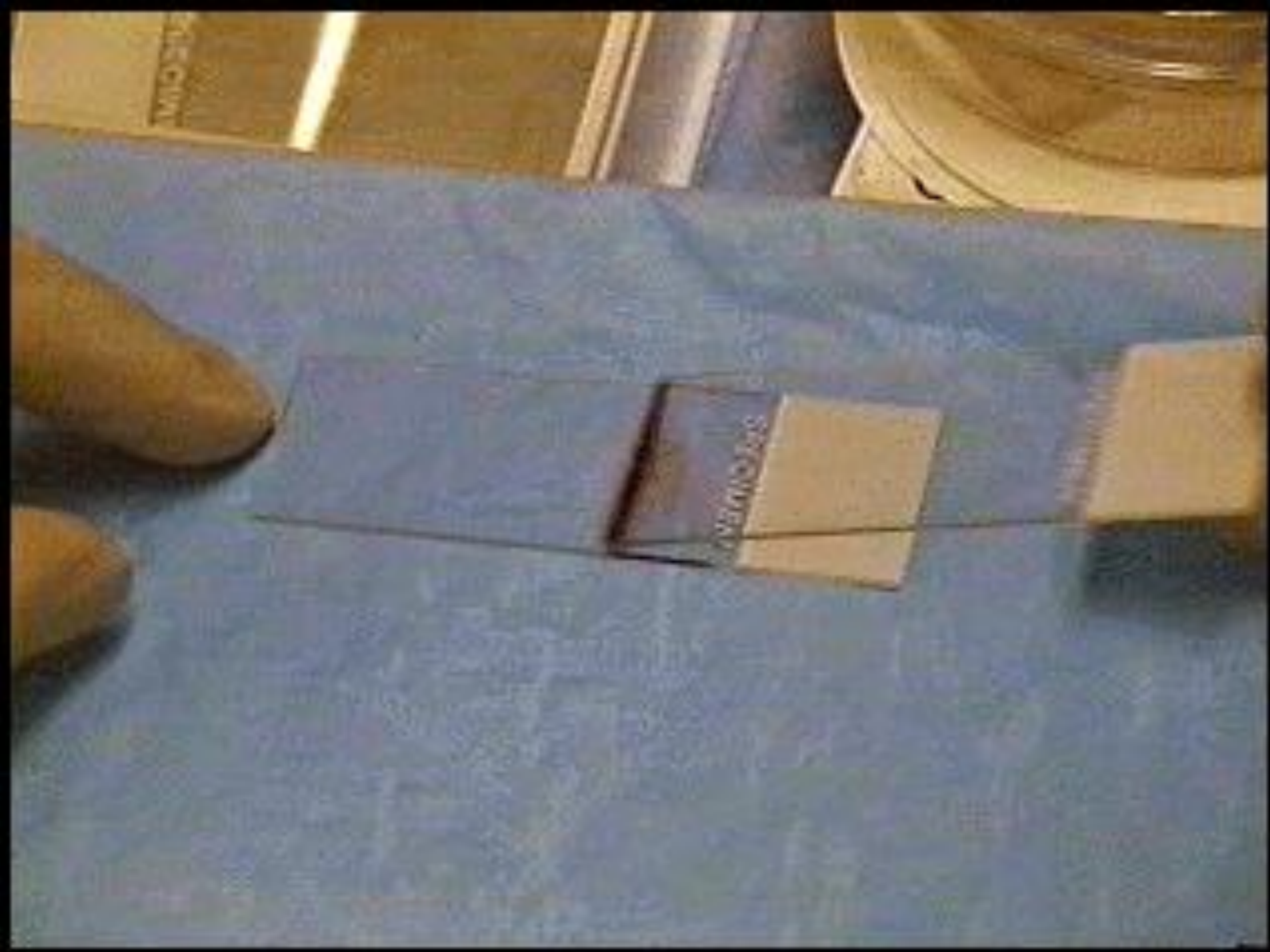


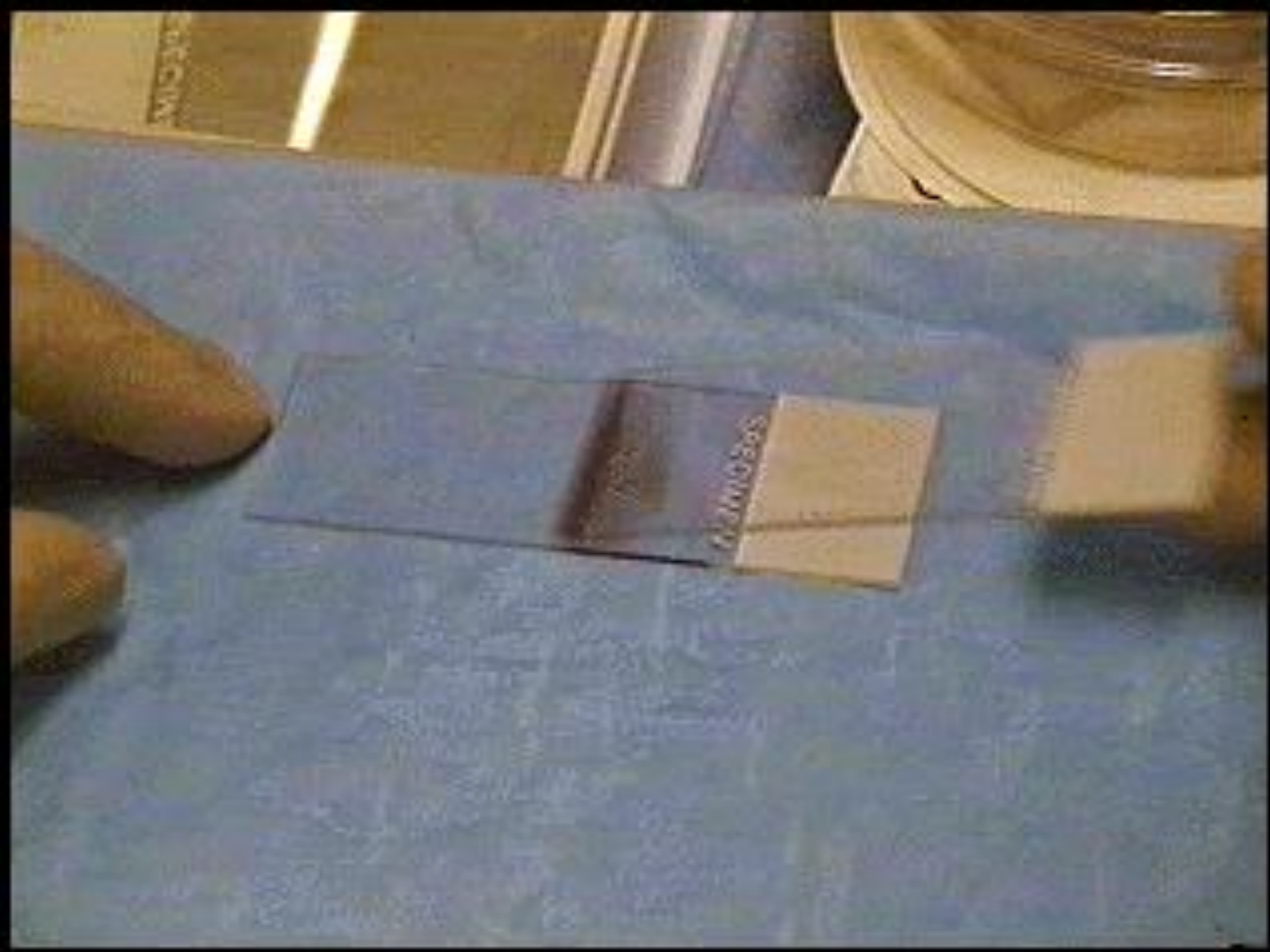


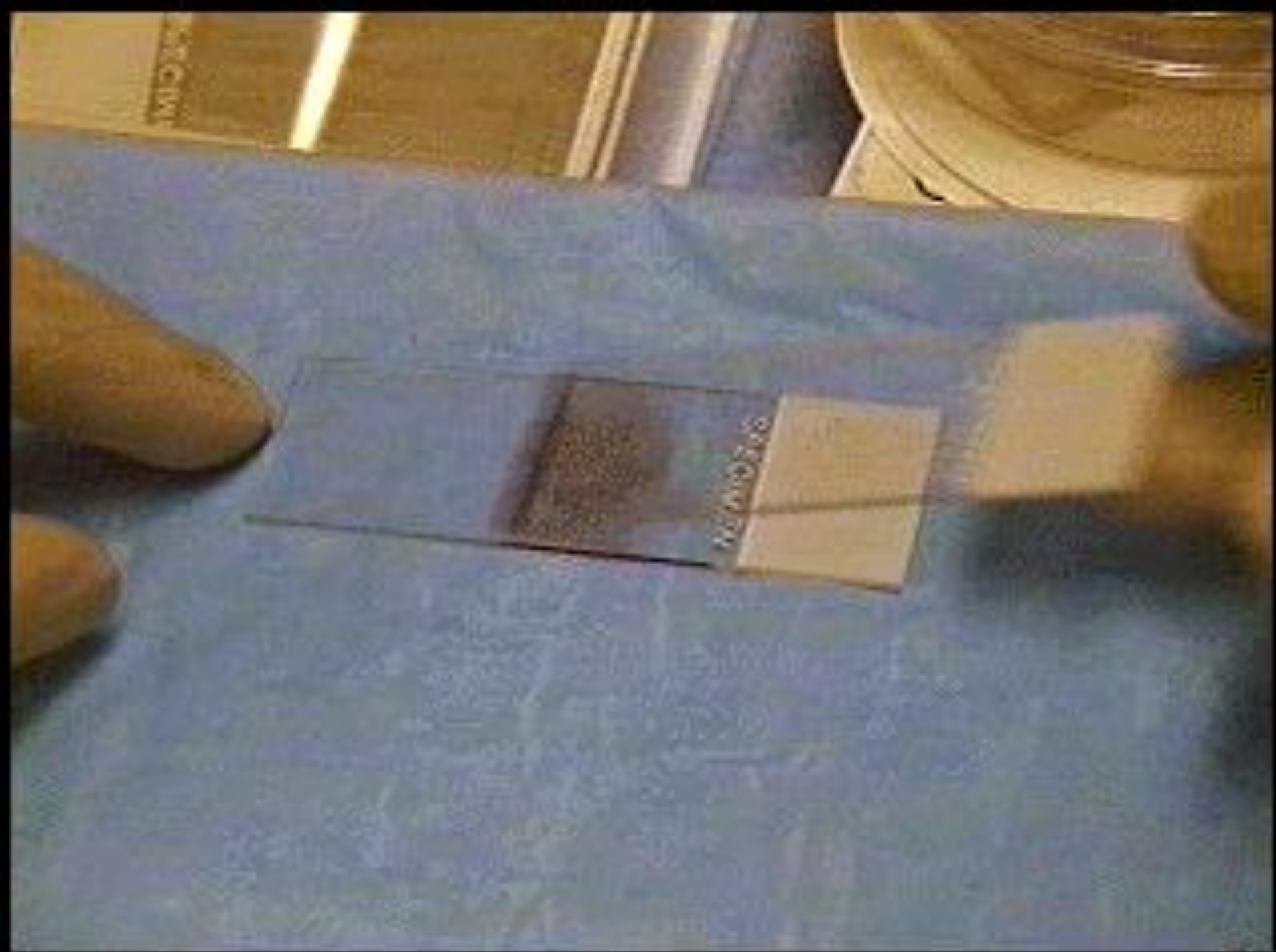


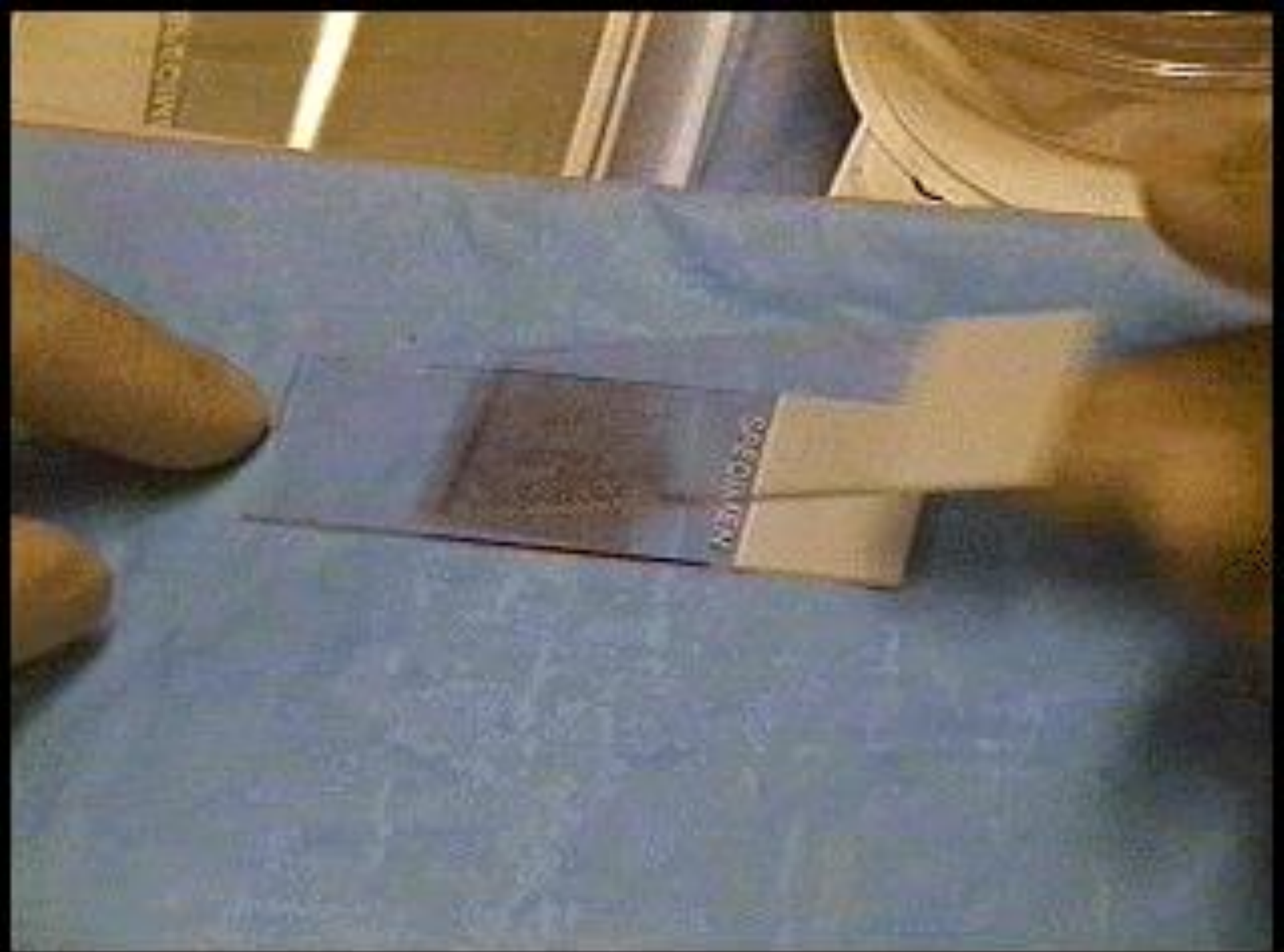


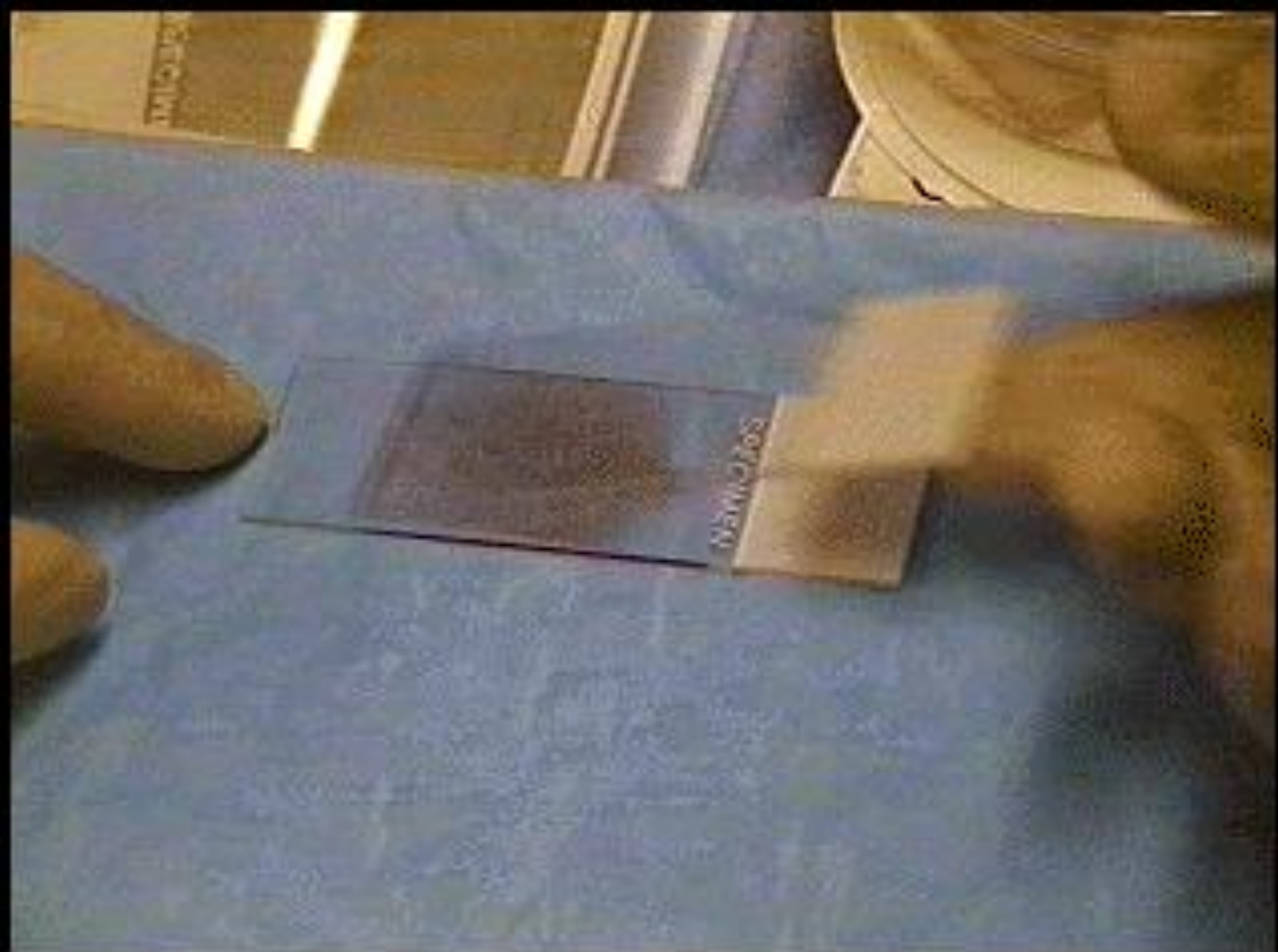




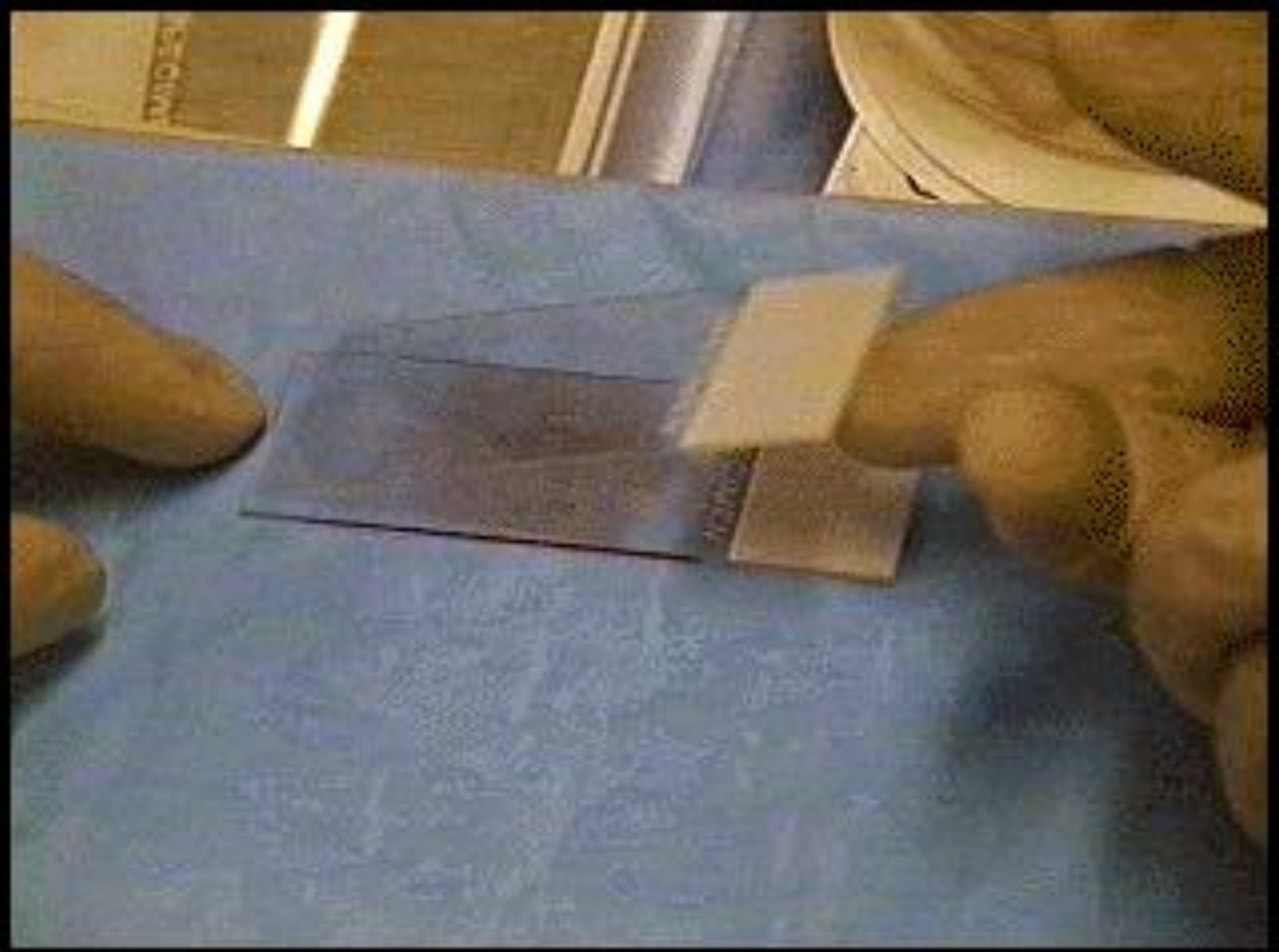


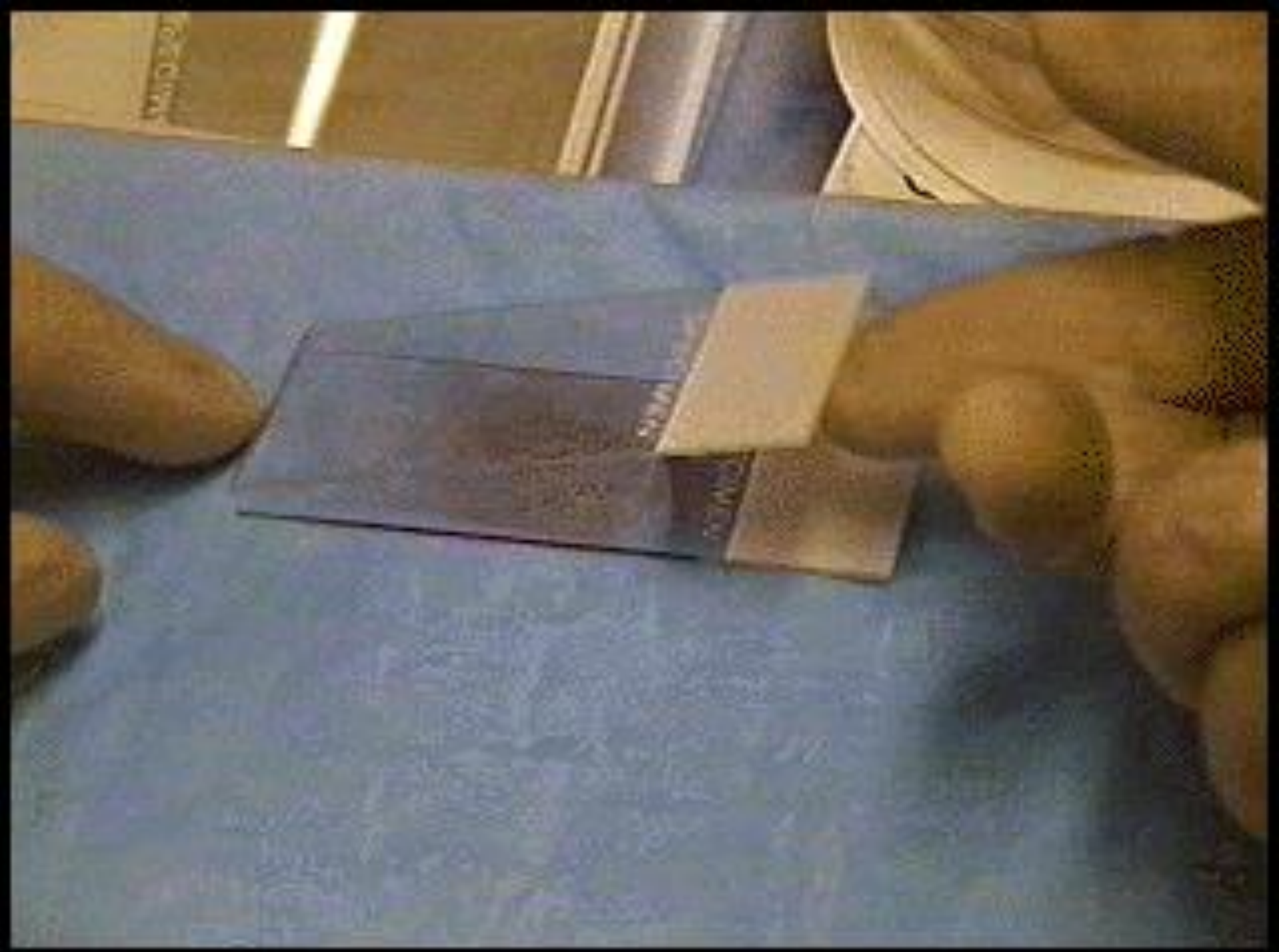


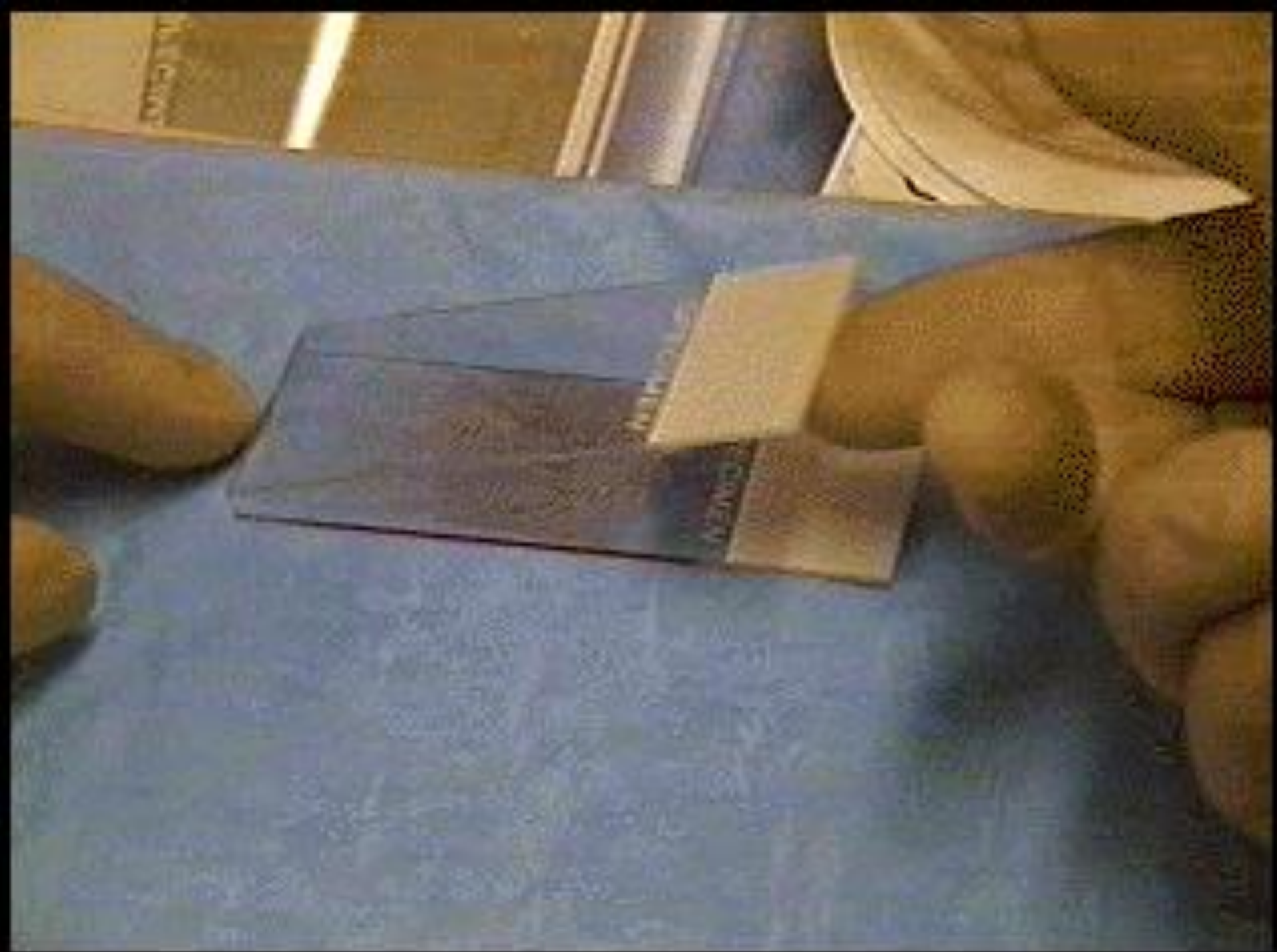


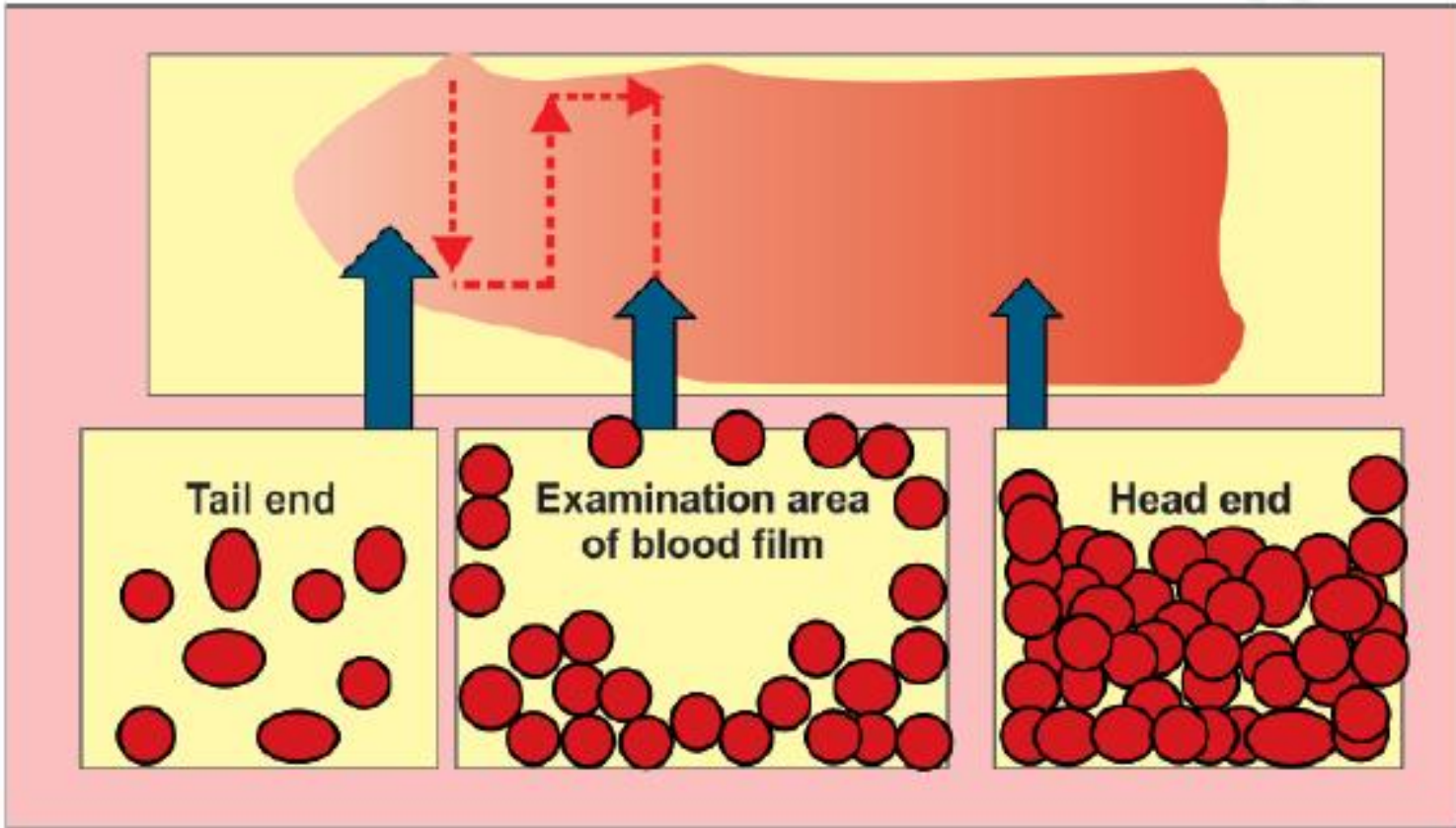
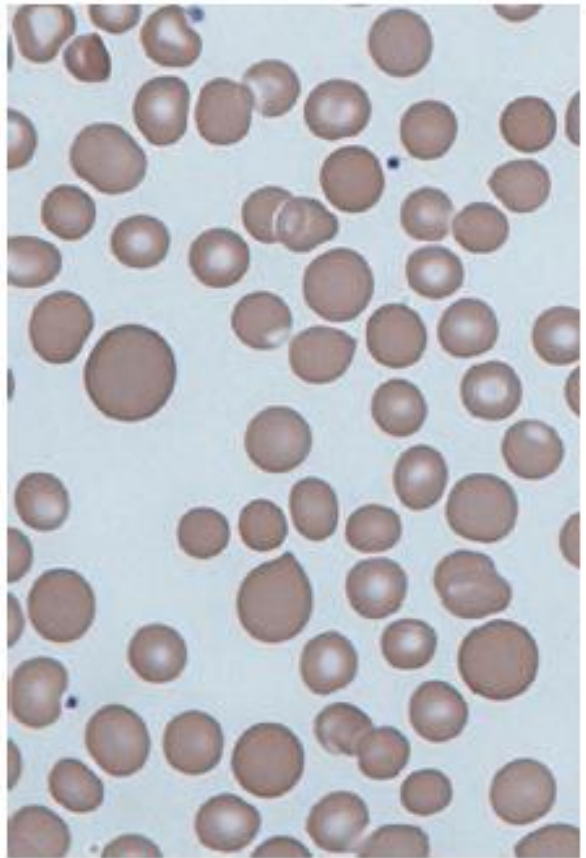






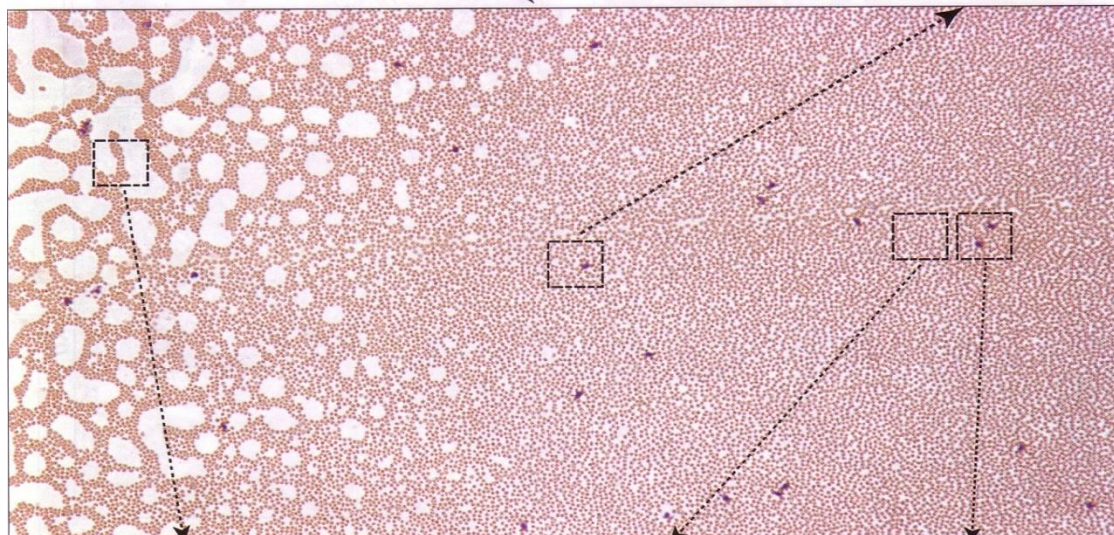
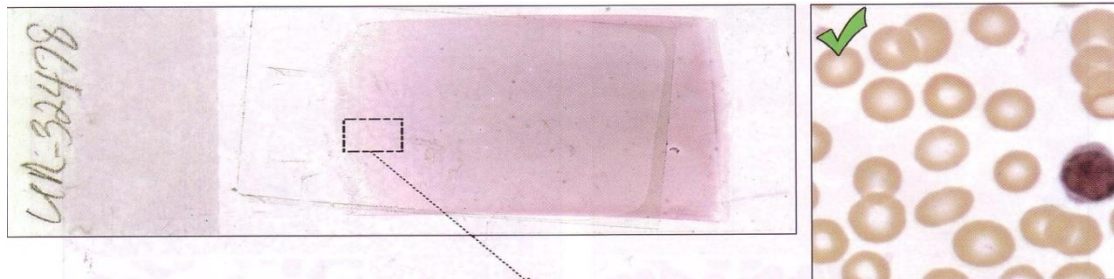






شکل ۶-۱: لازم به ذکر است که آنیزوسیتوز در سر گستره (گستره به روش گودای یا وینتروب) به دلیل تراکم بالای RBC‌ها دچار کاهش کاذب و در انتهای گستره به دلیل یهند شدن RBC‌ها با افزایش کاذب همراه بوده و لذا مطلوب است در بررسی آنیزوسیتوز از جایگاه مخصوص دیف که RBC‌ها مثل سکه کنار هم بوده و بیش از ۷.۵٪ اریتروسیت‌ها روی هم سوار نیستند، استفاده شود.

Subfeathery area



feathery end

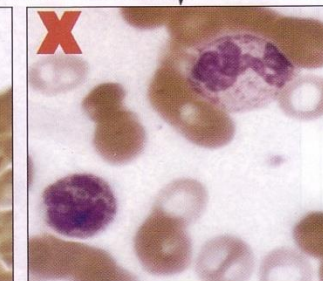
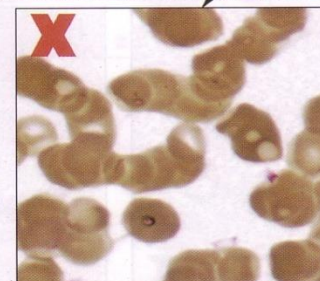
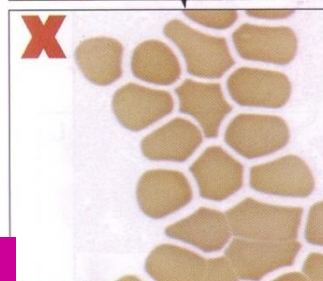
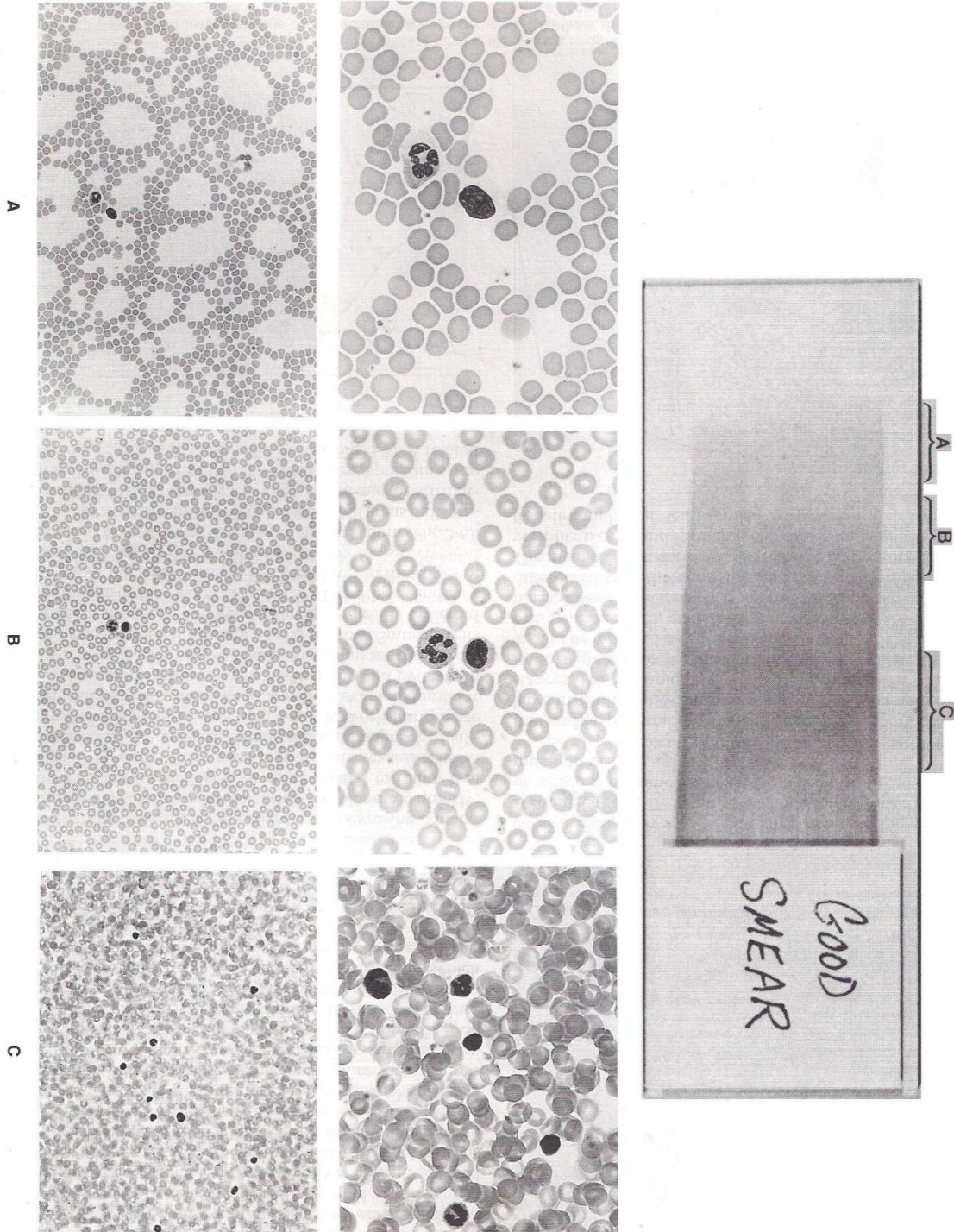
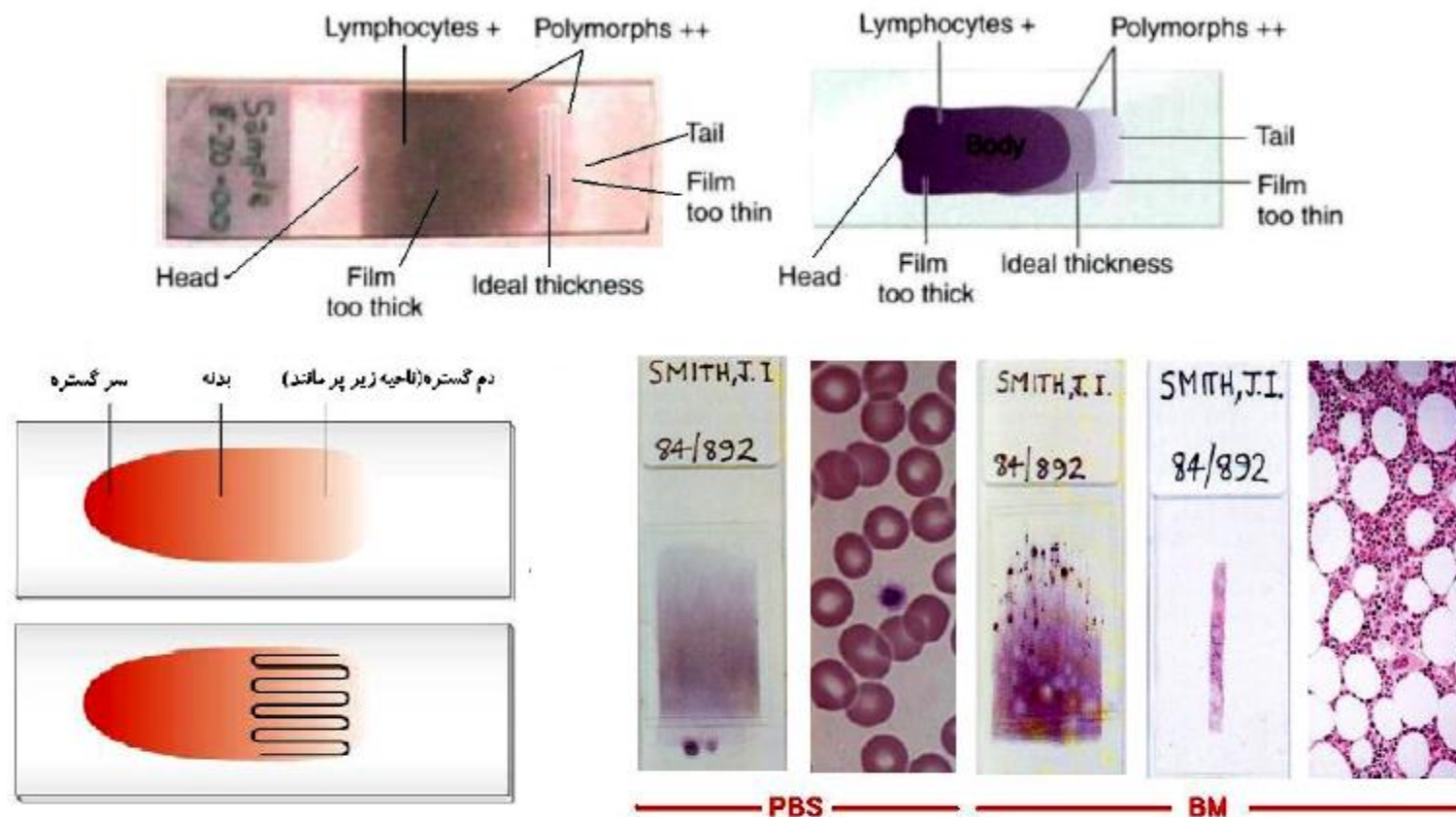


Figure 8.2. Microscopic approach to blood films. Selecting the correct area to examine is essential in properly assessing blood films. Regions where red blood cells are well-spaced and almost touch each other are optimal for examining erythrocytes (right upper panel). Erythrocytes, when examined too closely to the edge of the slide, appear misshapen and falsely hyperchromic (left lower panel), whereas those too distant often appear shrunken and aggregated (right lower panels).

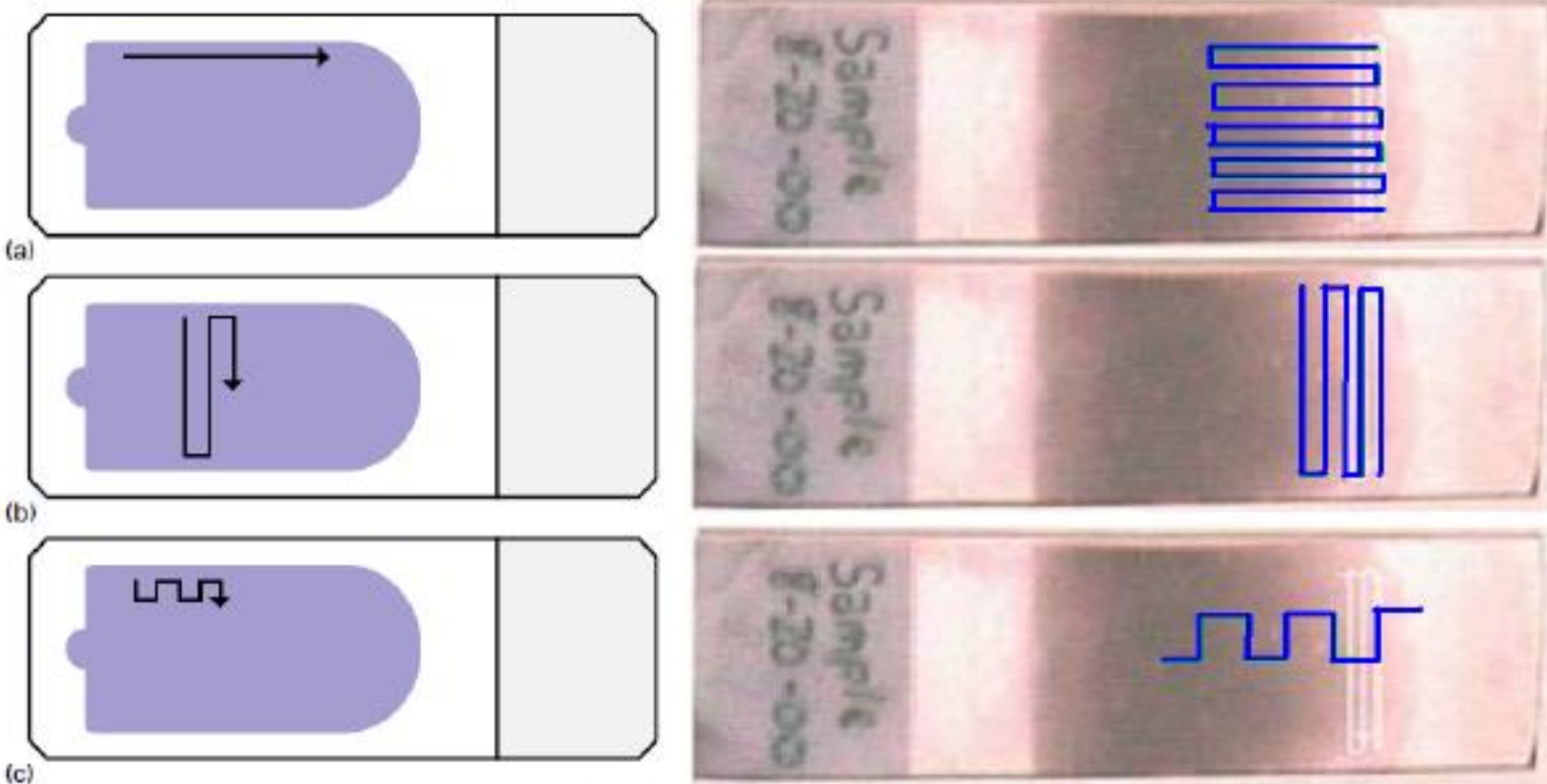
Thick area



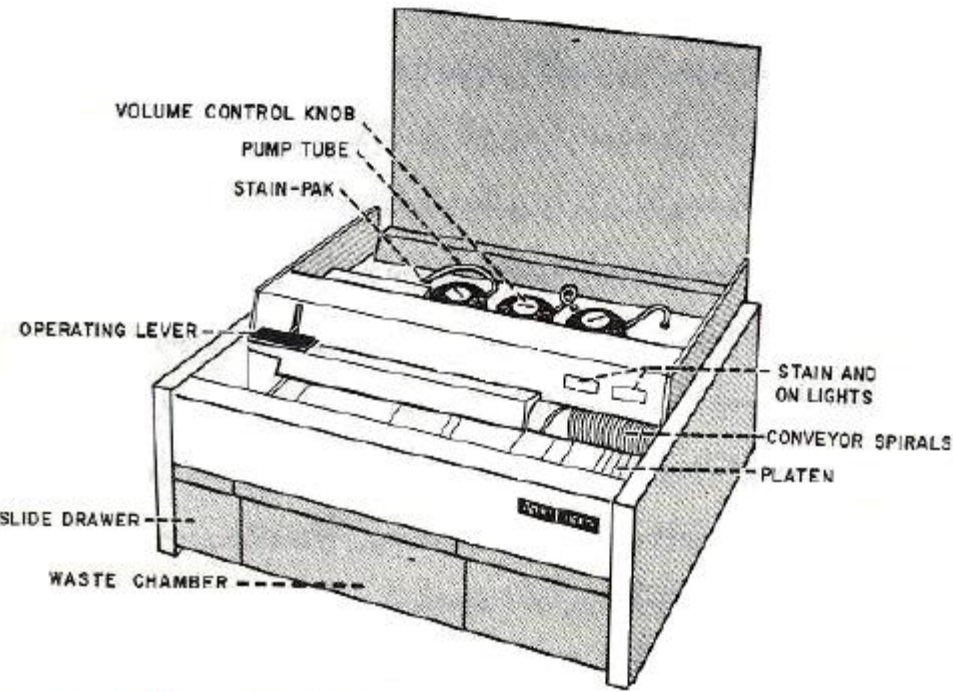
منظره سلول‌ها در سه جایگاه مختلف گستره خون محیطی که در نواحی ضخیم یا سر گستره (C) به دلیل تراکم بالای سلولی و تجمع کاذب لنفوцит‌ها، در نوک ناحیه شعله شمعی یا دم گستره (A) به دلیل خالی بودن برخی از میدان‌ها و تجمع کاذب مونوцит‌ها و در لبه‌های کناری گستره به دلیل تجمع کاذب نوتروفیل‌ها می‌باشد از انجام دیف اجتناب نمود و حدالمندور بررسی شمارش افتراقی را فقط در ناحیه زیر پرمانند (B) انجام داد.



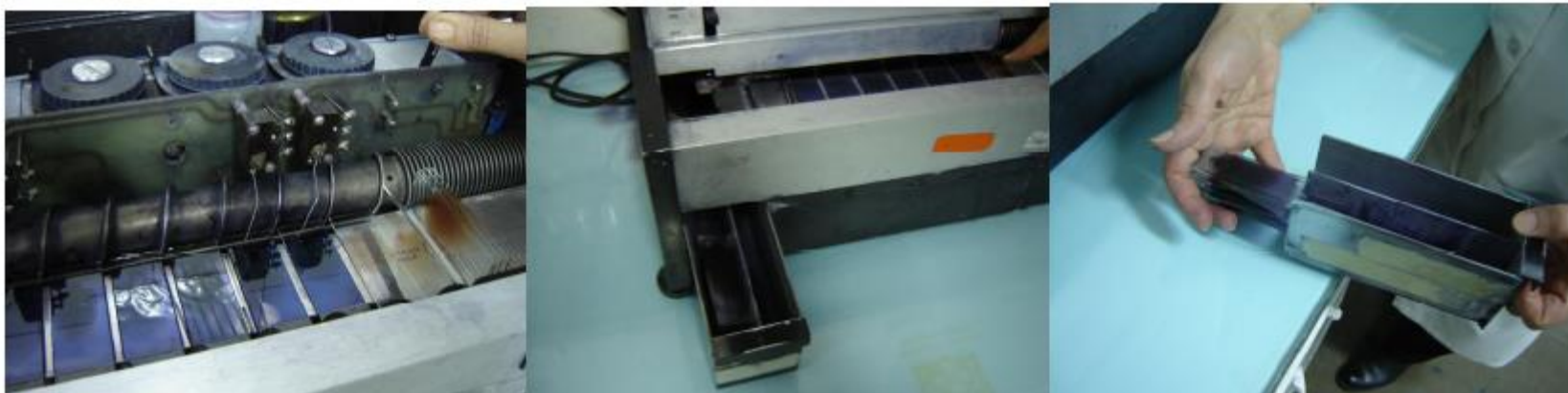
شکل ۳-۷: در شکل سمت چپ یک گسترش شعله شمعی مشاهده می‌شود که ناحیه زیر پرماند آن برای انجام شارش افتراقی و بررسی مورفولوژی سلول‌ها مورد استفاده قرار می‌گیرد. خطوط ریگزراگ نیز مسیر حرکت لام در زیر میکروسکوب را نشان می‌دهد. در شکل میانی یک لام PBS استاندارد غیر شعله شمعی را می‌بینید که باز ناحیه زیر پرماند آن برای بررسی گستره خون محیطی بکار می‌رود ولی در لام میانی، گستره تهیه شده از نمونه آسپیراسیون مغز استخوان را می‌بینید که در آن تکه‌های ریز استخوان و اسپریکول‌های استخوانی به صورت ذرات درشت شیر میکروسکوپی در سطح فروتنی به چشم می‌خورند. در لام سمت راست نیز بیوبسی BM مشاهده می‌شود که از آن برای بررسی سلولاریته BM و سنجش نسبت سلول‌های خون‌ساز به چربی استفاده می‌شود.



شکل ۷-۲۰: سه روش بررسی طولی، عرضی (باتلمنت) و زیگزاگی (باتلمنت اصلاح شده).



شکل ۱۴-۷: دستگاه رنگ آمیزی اتوماتیک Ames



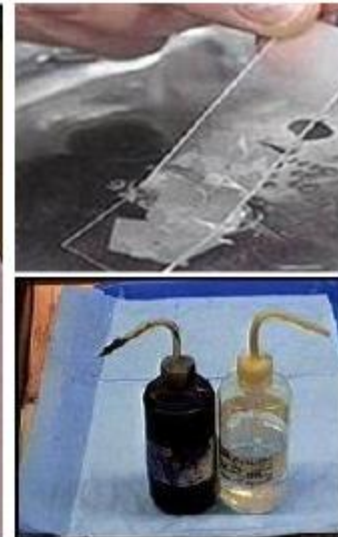
شکل ۱۴-۸: دستگاه رنگ آمیزی اتوماتیک مارک Ames برای رنگ رایت (با تشكر از بخش هماهنگی بیمارستان شریعتی).



بافر و رنگ استوک



رنگ غلیظ ۵ دقیقه رنگ رقیق ۱۰-۱۵ دقیقه آب برای شستشو ۳۰ ثانیه



بافر و رنگ



فریکسیسیون



رنگ غلیظ



بافر



جلای سبز



شستشو

شکل ۱۲-۷: مراحل رنگ آمیزی رایت.

Phosphate Buffer, Iso-osmotic

(A) $\text{NaH}_2\text{PO}_4 \cdot 2\text{H}_2\text{O}$ (150 mmol/l)	23.4 g/l
(B) NaH_2PO_4 (150 mmol/l)	21.3 g/l

<i>pH</i>	<i>Solution A</i>	<i>Solution B</i>
5.8	87 ml	13 ml
6.0	83 ml	17 ml
6.2	75 ml	25 ml
6.4	66 ml	34 ml
6.6	56 ml	44 ml
6.8	46 ml	54 ml
7.0	32 ml	68 ml
7.2	24 ml	76 ml
7.4	18 ml	82 ml
7.6	13 ml	87 ml
7.7	9.5 ml	90.5 ml

Normal human serum has an osmolality of 289 ± 4 mmol. Hendry² recommended slightly different concentrations of the stock solution, namely, 25.05 g/l $\text{NaH}_2\text{PO}_4 \cdot 2\text{H}_2\text{O}$ and 17.92 g/l Na_2HPO_4 for an iso-osmotic buffer.

Phosphate Buffered Saline

Equal volumes of iso-osmotic phosphate buffer and 9 g/l NaCl.

Phosphate Buffer, Sörensen's

Stock solutions:

	66 mmol/l	100 mmol/l	150 mmol/l
(A) KH_2PO_4	9.1 g/l	13.8 g/l	20.7 g/l
(B) Na_2HPO_4	9.5 g/l	14.4 g/l	21.6 g/l
or $\text{Na}_2\text{HPO}_4 \cdot 2\text{H}_2\text{O}$	11.9 g/l	18.0 g/l	27.1 g/l

To obtain a solution of the required pH, add A and B in the indicated proportions:

<i>pH</i>	<i>A</i>	<i>B</i>
5.4	97.0	3.0
5.6	95.0	5.0
5.8	92.2	7.8
6.0	88.0	12.0
6.2	81.0	19.0
6.4	73.0	27.0
6.6	63.0	37.0
6.8	50.8	49.2
7.0	38.9	61.1
7.2	28.0	72.0
7.4	19.2	80.8
7.6	13.0	87.0
7.8	8.5	91.5
8.0	5.5	94.5

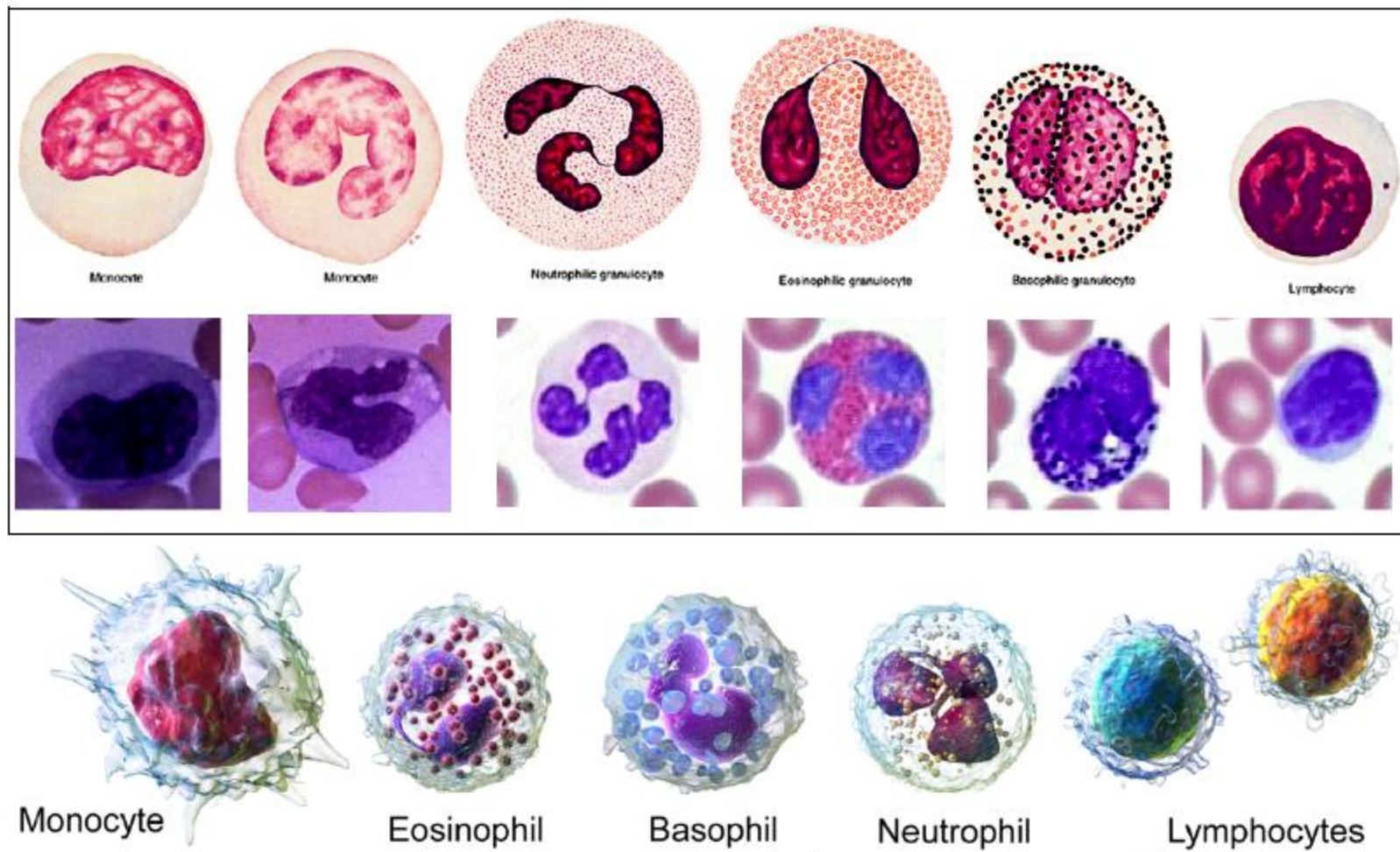
This buffer is not iso-osmotic with normal plasma



شکل ۱۱-۱۱: دیمیتری لونبد ووچ رومانفسکی (۱۸۵۴-۱۹۲۱) و آقای هل ارلیخ (۱۸۶۱-۱۹۱۵) که ابتدا سال ۱۸۷۹ آقای ارلیخ رنگ متیلن بلو را با رنگ اسیدی فوشین مخلوط می‌کرد ولی در سال ۱۸۹۱ اولین بار آقای رومانفسکی رنگ متیلن بلو را با رنگ اسیدی اتوزین ۲ مخلوط کرد و به یک رنگ بسیار زیبای آبی-قرمز بینفش دست یافت که وجه افتراق بالایی داشت.



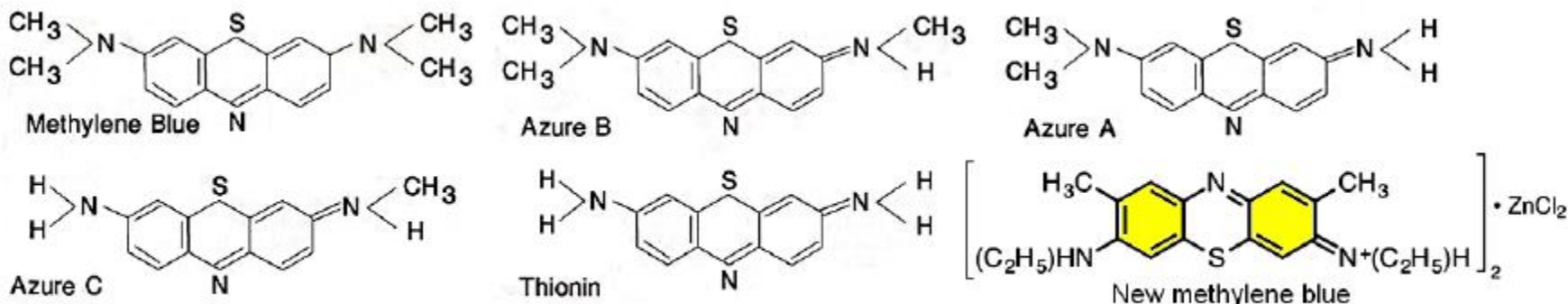
شکل ۱۱-۱۱: آقای هانس کریستین گرم (۱۸۵۳-۱۹۳۸)، باکتریولوژیست دانمارکی، زان گوچیوم آگوست لوگول (۱۷۸۶-۱۸۵۱) باکتریولوژیست فرانسوی، دکتر جیمز هومر رایت^۷ (۱۸۶۹-۱۹۲۸) پاتولوژیست امریکایی و آقای سر ویلیام بوگ لیبمن (۱۸۶۵-۱۹۲۶) پاتولوژیست ارتش انگلیس. آقای لیشمن و رایت اولین بار از متابولول به عنوان حلال رنگ رومانفسکی استفاده کردند. آقای لیشمن روی رنگ آمیزی مalaria و کالا آزار احتشایی در هند کار می‌کردند که بعدها به افتخار وی، به بیماری لیشمانیای احتشایی تغییر نام یافت و به تربپانوزومای مربوطه نیز لیشمانیا گفته شد. ایشان تحقیقات ارزنده‌ای نیز در مورد اسپیروکت و کلبسیلا داشتند.



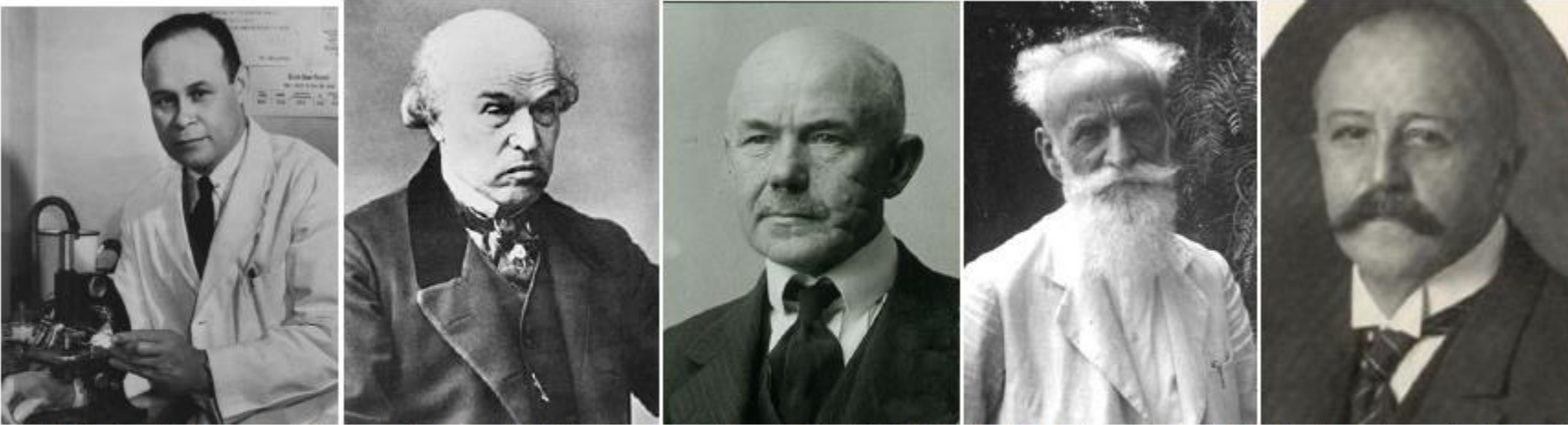
شکل ۱-۷: رنگ آمیزی لکوسيت های خونی در استفاده از رنگ های خانواده رومانفسکی، انوزینوفیل ها می توانند ۲-۳ لوب در هسته خود داشته باشند.



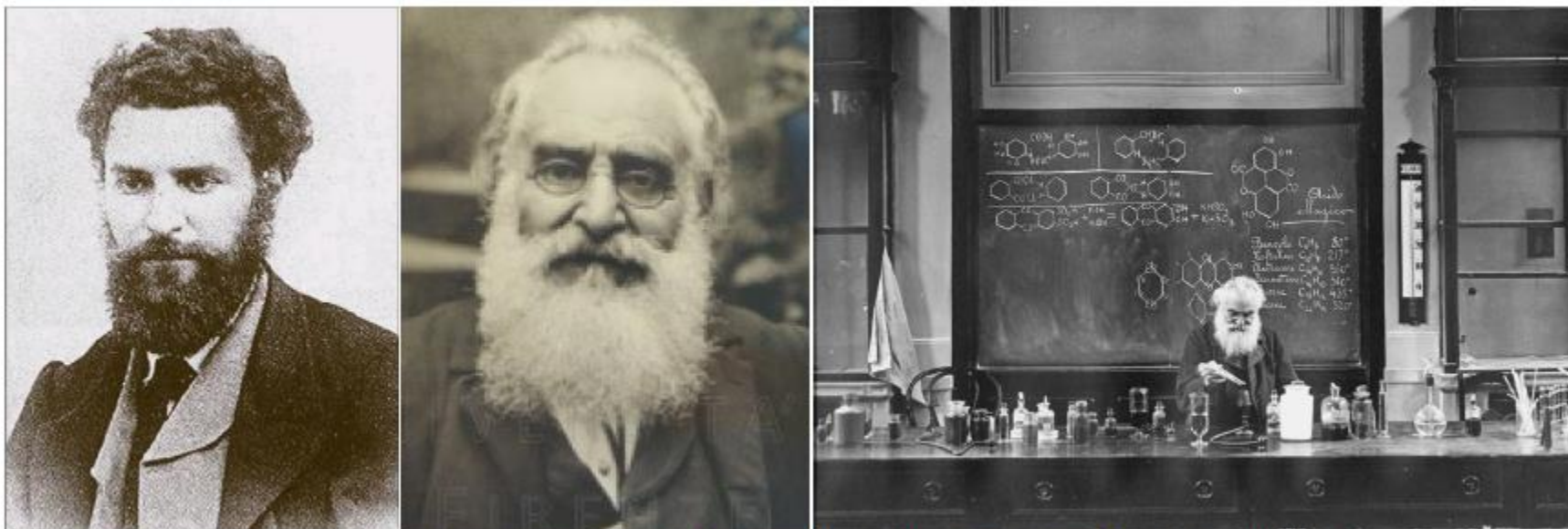
شکل ۱۱-۱۱: آرتوور پاپن‌هایمر با ماهیت آهن را در رنگ آمیزی رومانفسکی توصیف نمود، آقای رابرت فولگن (۱۸۸۴-۱۹۵۵) که اولین بار در سال ۱۹۱۶ موفق به رنگ آمیزی DNA و هسته نمود، آقای کلود پیر میسون (۱۸۸۰-۱۹۵۹) پاتولوژیست فرانسوی-کانادایی که موفق به ابداع روش سه‌رنگی میسون شد، در این رنگ آمیزی کلارن به رنگ آبی-سبز، سلول‌های عضله، عصب و کراتین به رنگ قرمز و هسته سلول‌ها به رنگ قهوه‌ای پر رنگ دیده می‌شود.



شکل ۷-۹: فرمول ساختاری انواع رنگ‌های تیازینی که البته NMB یک رنگ حیاتی (Supra Vital) محسوب می‌شود. دمتیلاسیون متیلن بلو در حضور حرارت و مواد فلایابی صورت می‌گیرد.

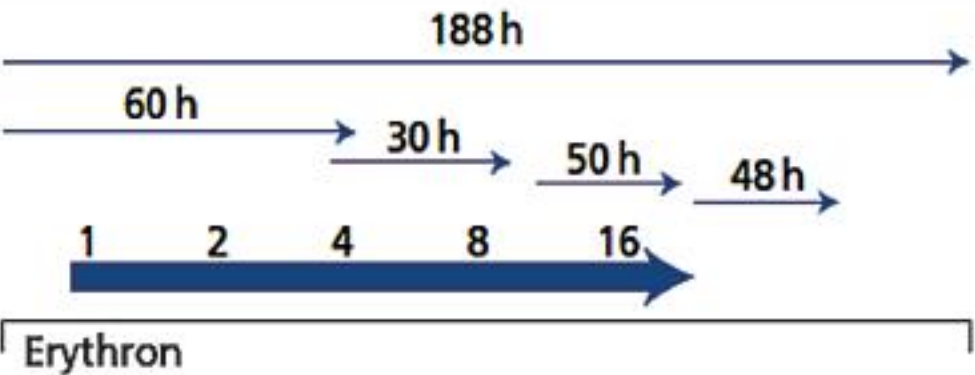


شکل ۱۱-۱۱: دکتر ریچارد بایت (۱۸۶۳-۱۹۳۶)، دکتر لوڈویگ تریکه (۱۸۶۲-۱۹۴۳) و دکتر گوستاو گیمسا^۱ (۱۸۶۷-۱۹۴۸) که هر سه دانشمند اهل آلمان بوده و در ابداع رنگ MGG نقش داشتند. آقای گیمسا با افزودن گلیسروول پایداری، تکرارپذیری و نفوذپذیری رنگ را افزایش داد تا انکل مالاریای داخل RBC نیز به خوبی رنگ بگیرد. رنگ آمیزی MGG پروسه ۶۰ دقیقه‌ای داشته و به دلیل داشتن متابول در رنگ، الزامی به فیکس کردن ندارد. نفرات بعدی، سر ویلیام جنر (۱۸۹۱-۱۸۹۸) و جان ویلیام فیلد (۱۸۶۱-۱۹۴۴) هستند که ابداع تران رنگ‌های جنر و فیلد از مجموعه رنگ‌های رومانشکی هستند. رنگ آمیزی فیلد دو مرحله A (رنگ با متیلن بلو و آزور) و B (آئوزین) دارد که هر دو رنگ در بافر فسفات حل می‌شوند.

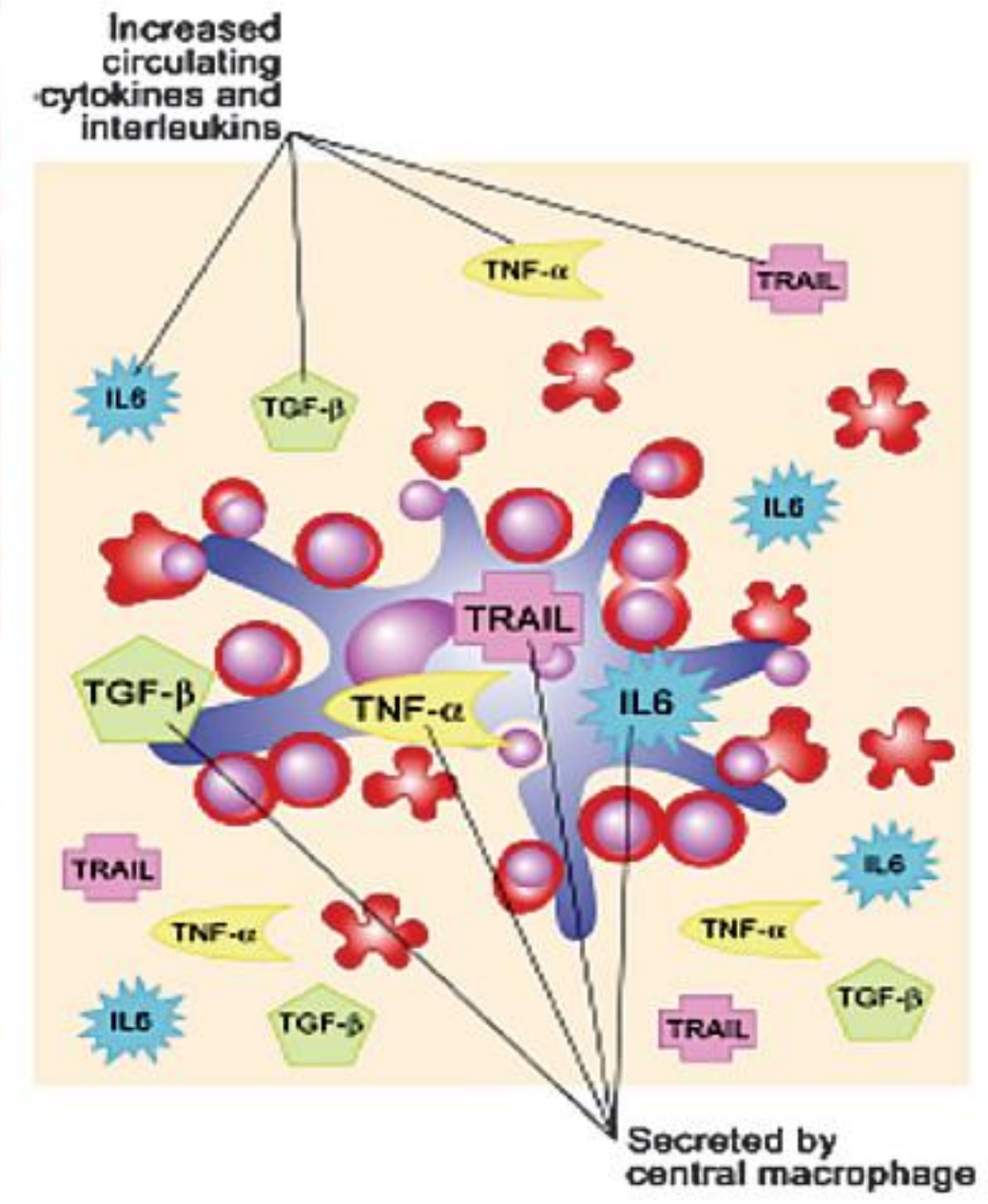
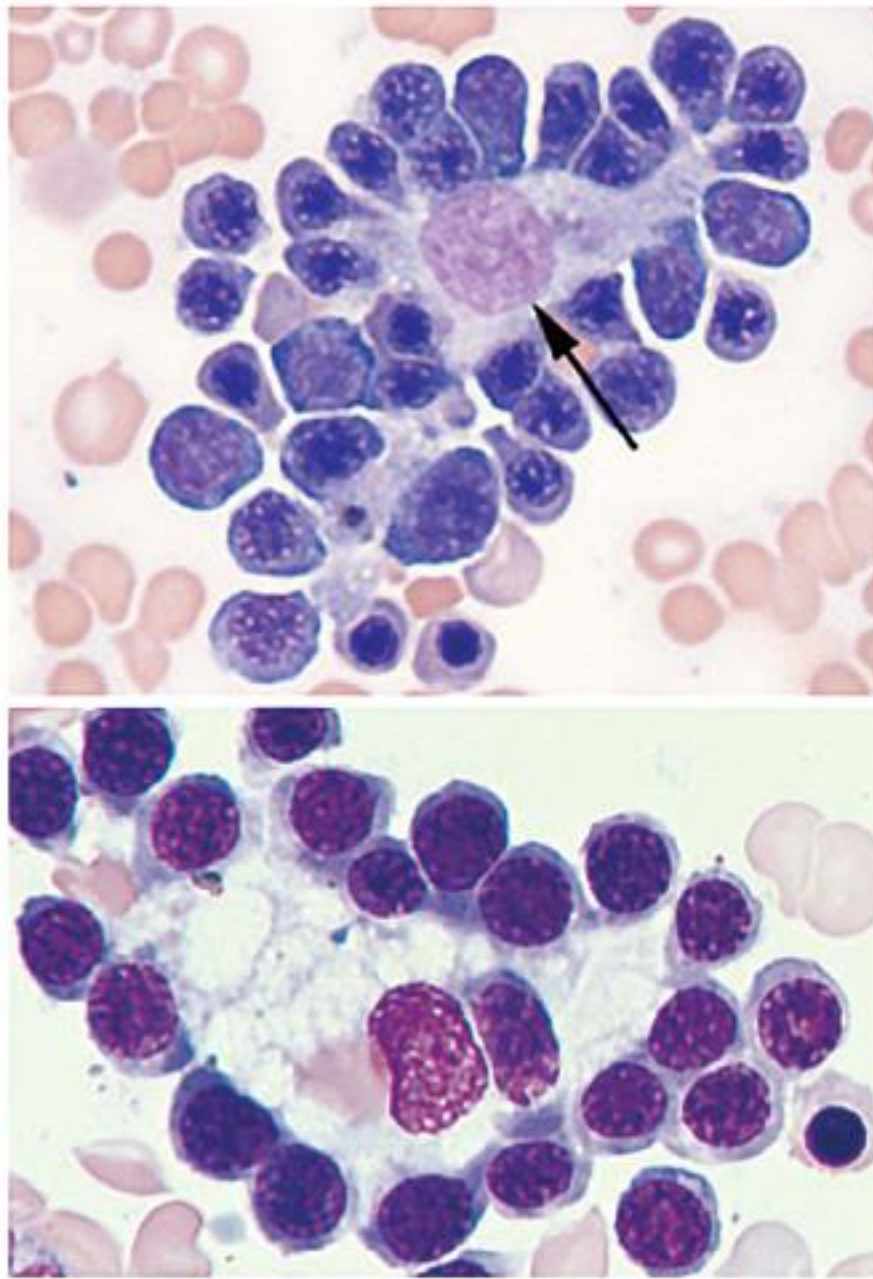
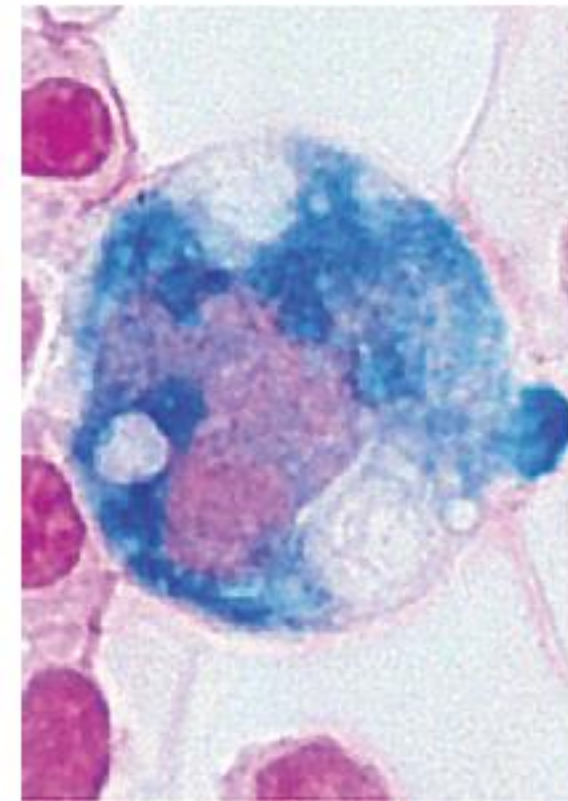


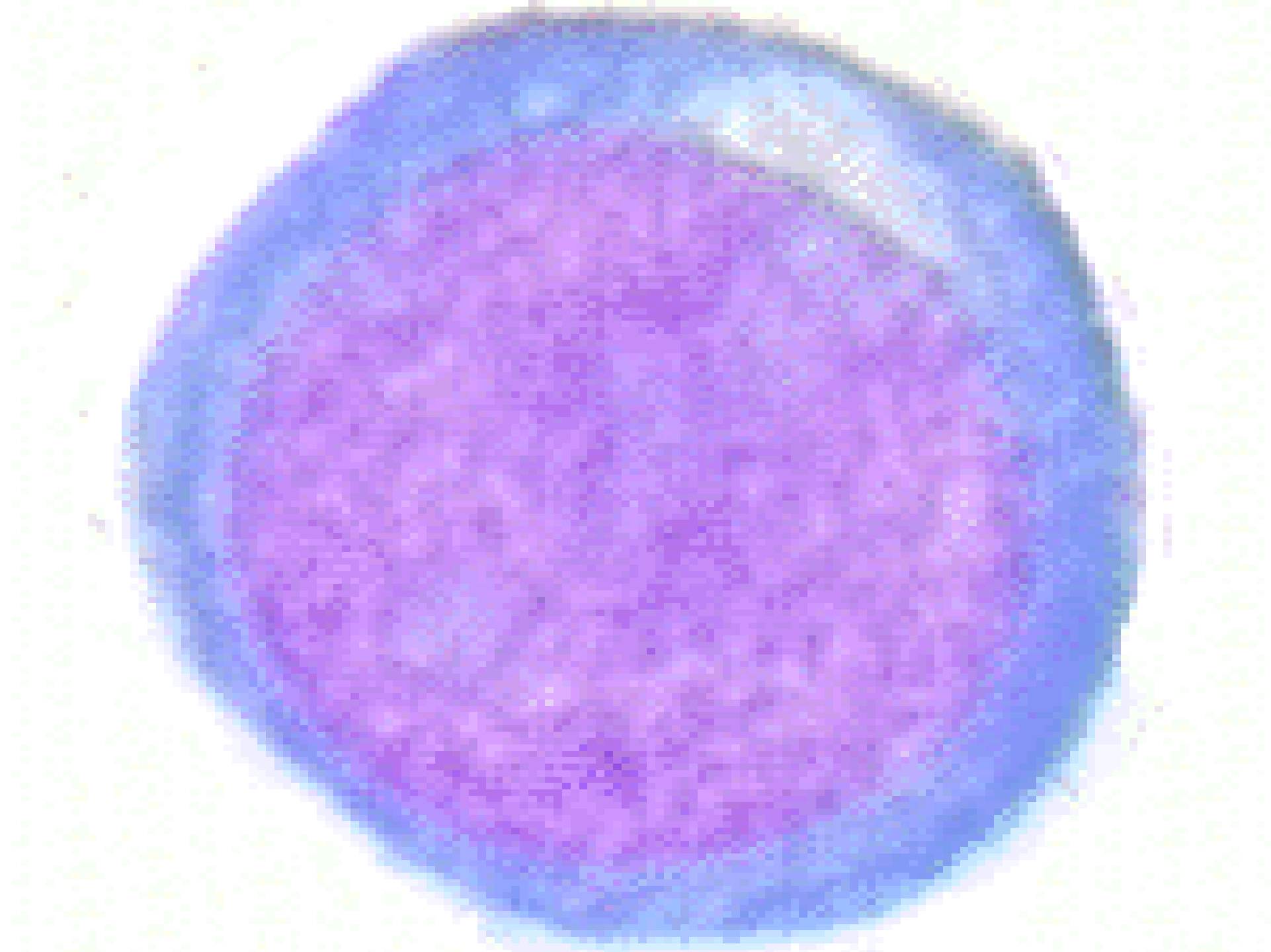
شکل ۱۱-۱۲: هوگو شیف^۲ (۱۸۳۴-۱۹۱۵)، دانشمند آلمانی و ابداع‌کننده رنگ PAS که قسمت زیادی از عمر خود را در ایتالیا سپری نمود.

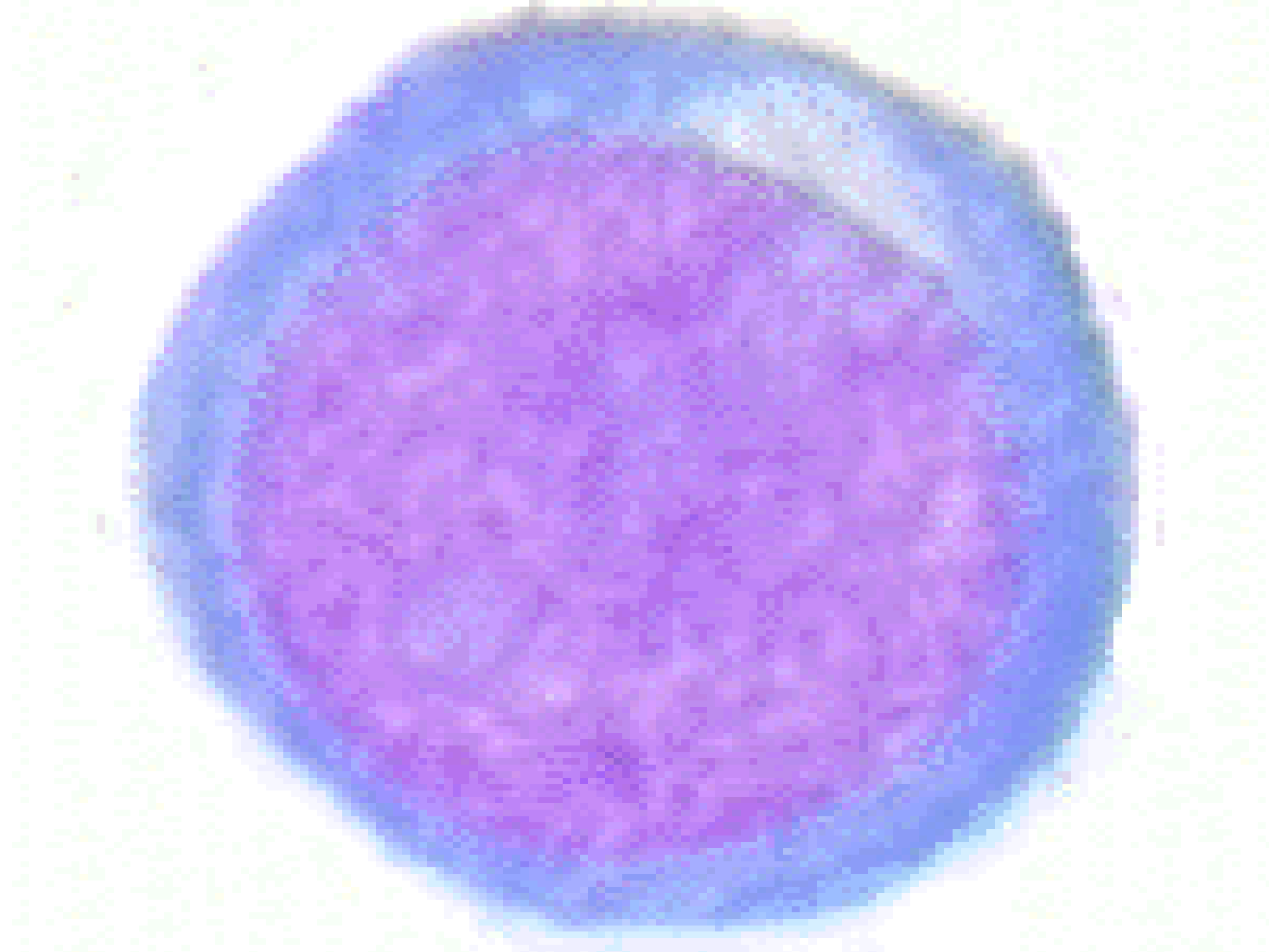
ERYTHROPOIESIS



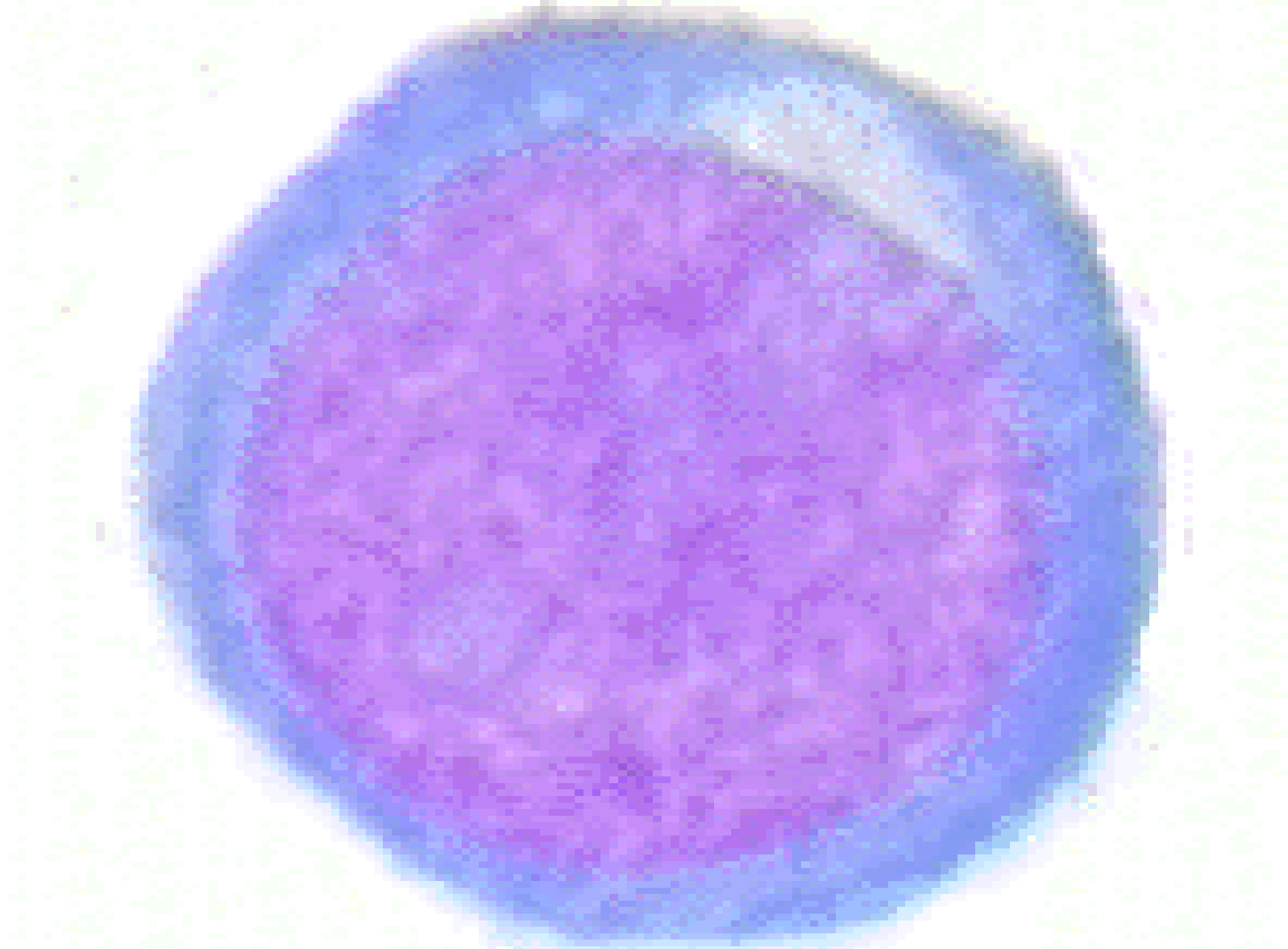
	Progenitors				Precursors					RBC
	HSC	CFU-GEMM	BFU-E Early	BFU-E Late	CFU-E	Pro	Bas	Early Pol	Late Ort	Retic
Frequency per 10 ⁴ nucleated bm cells	~1	~1	4–10	20–60	50–60	400	500	1000	0	
% cells in cycle	Low	15–20	30–40	60–70	60–70	80	0			
CD34	++	+++	++	±	-	-	-	-		
CD71 (TfR)	±	±	±	++	+++	+++	+++++	++	+	
EpoR	-	-	-	±	++	++	++	±	±	-
GPA	-	-	±	+	++++	++++	++++	++++	++++	++++
Globin mRNA	-	-	-	-	+	+	+++	+++++	++	
Hb	-	-	-	-	-	±	+	+++	+++++	+++++

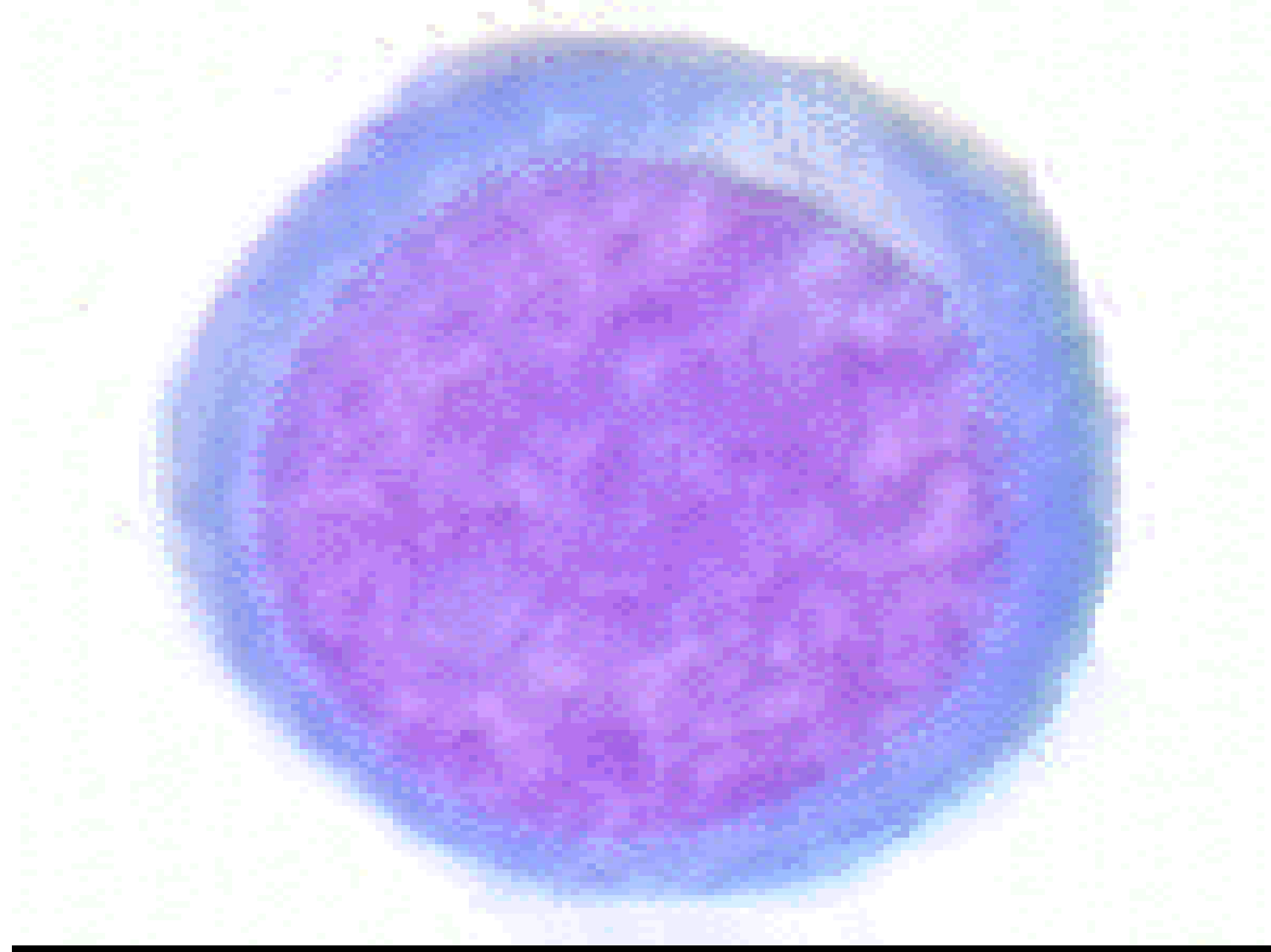


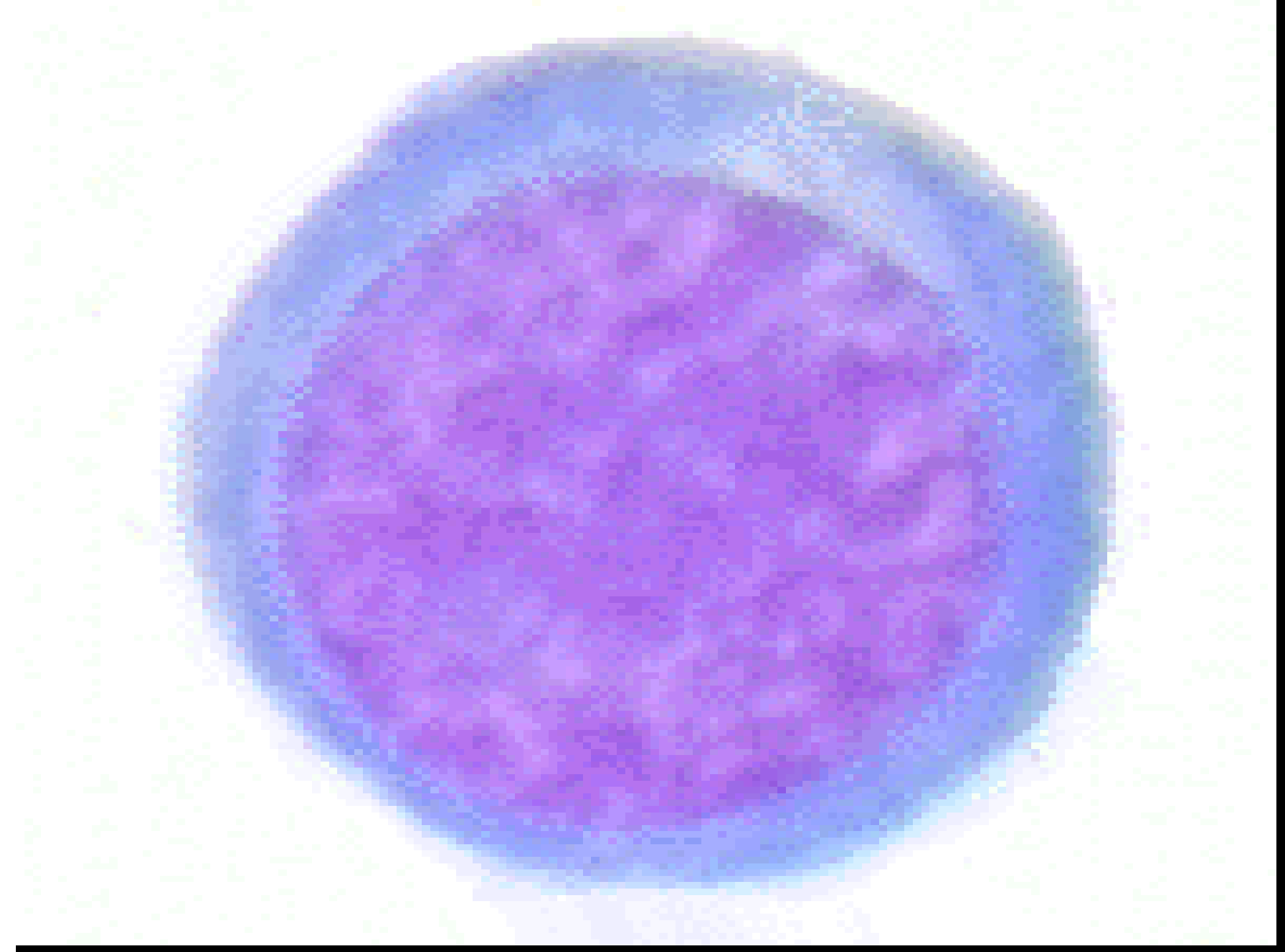


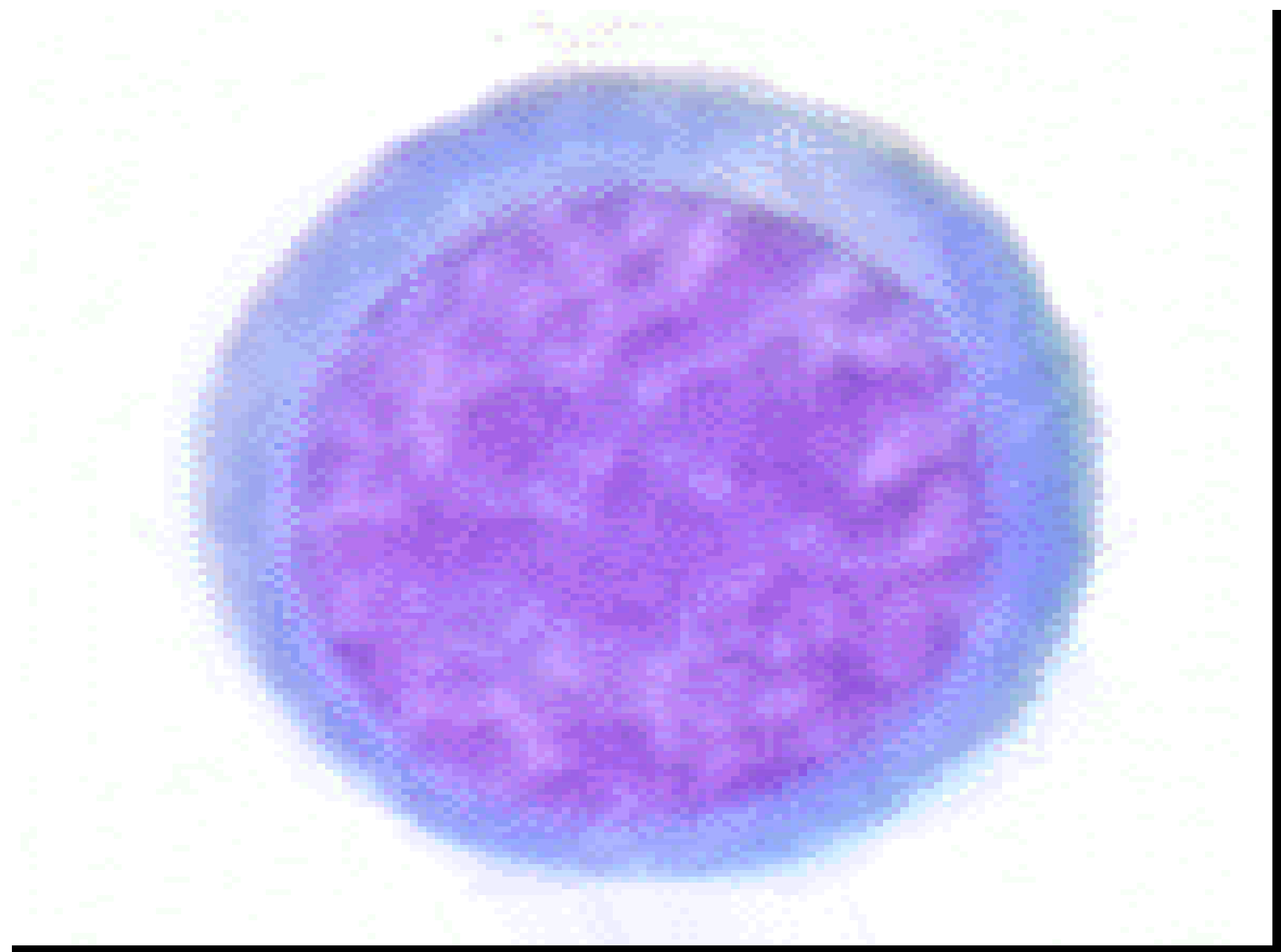


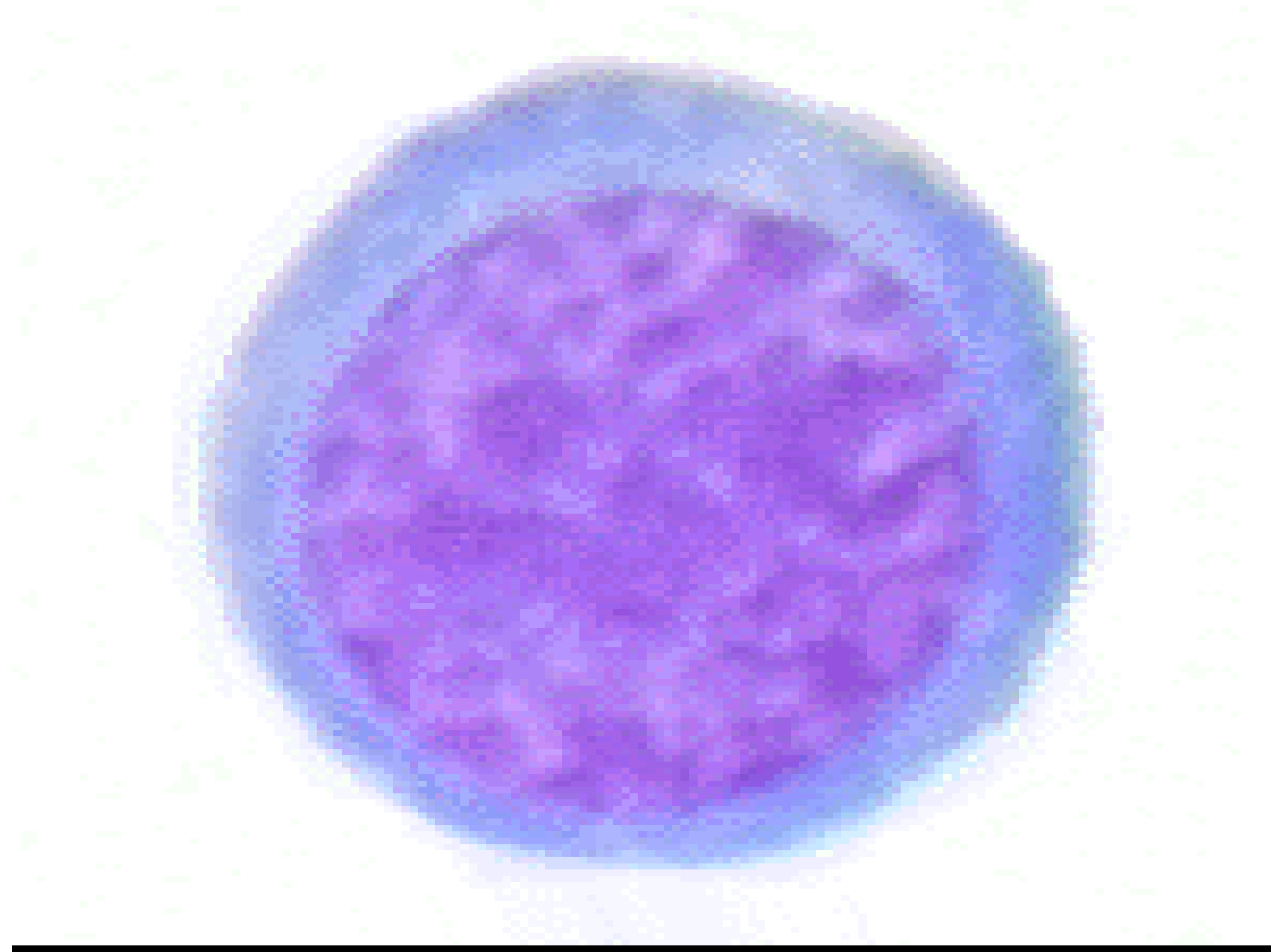
106

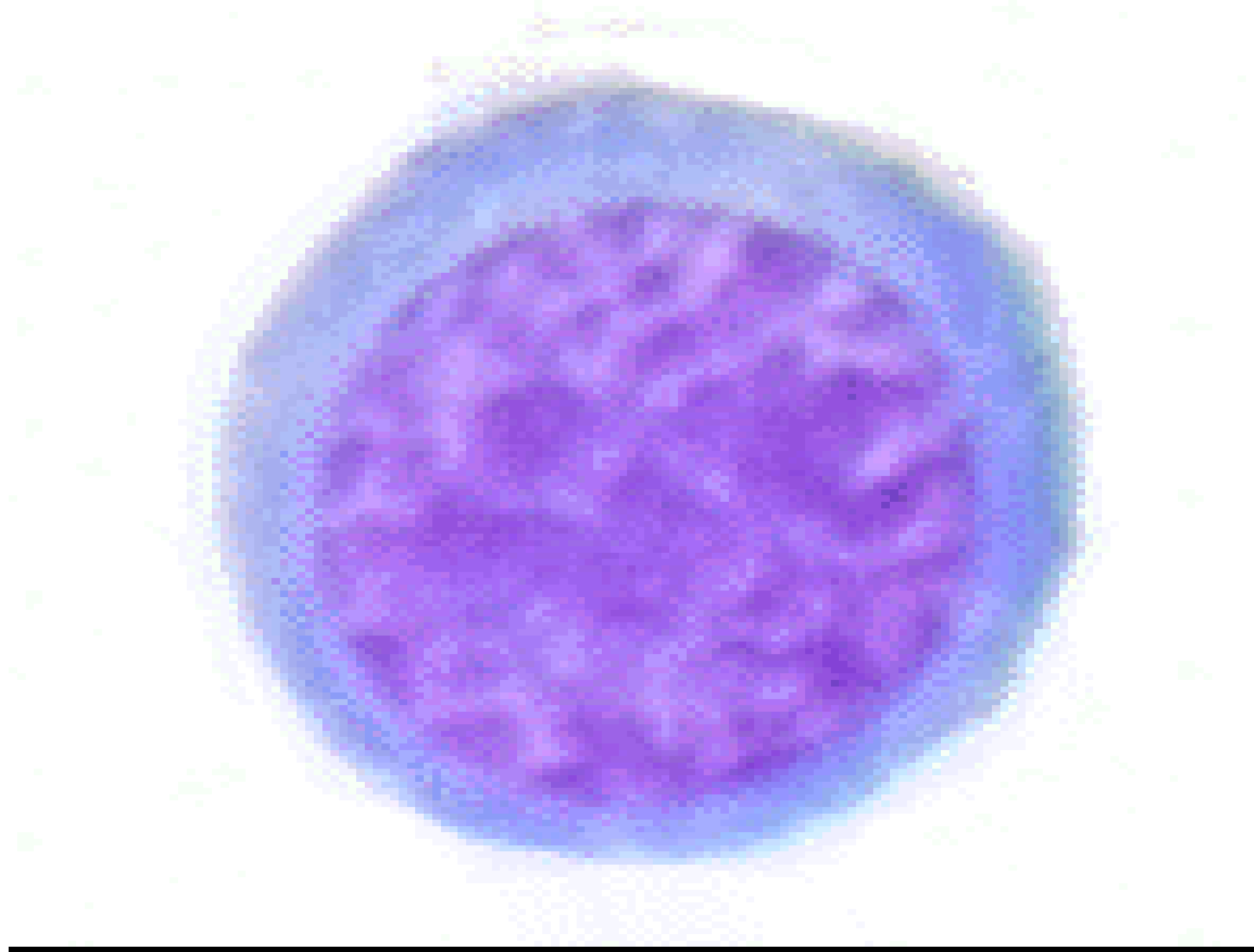


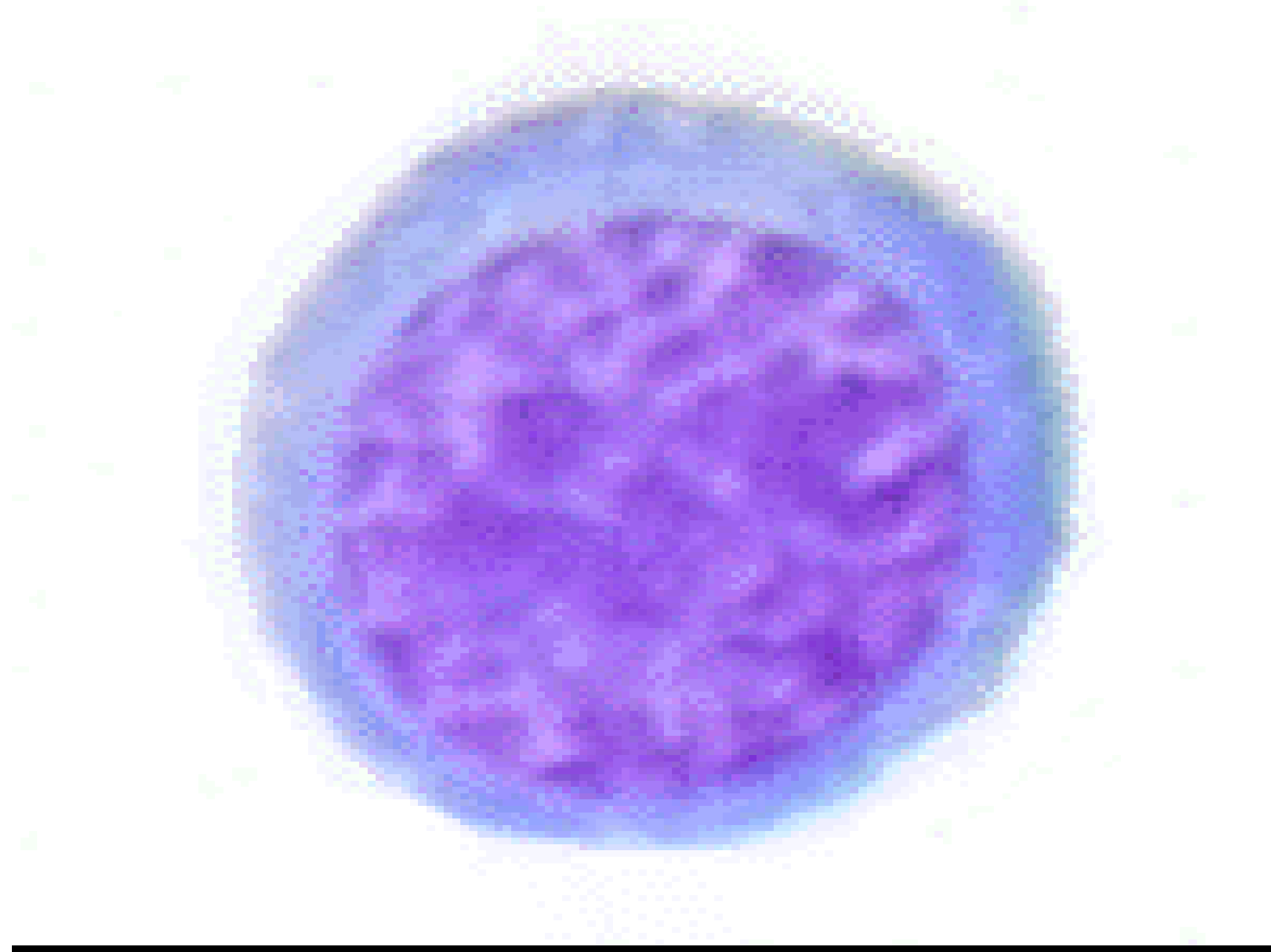


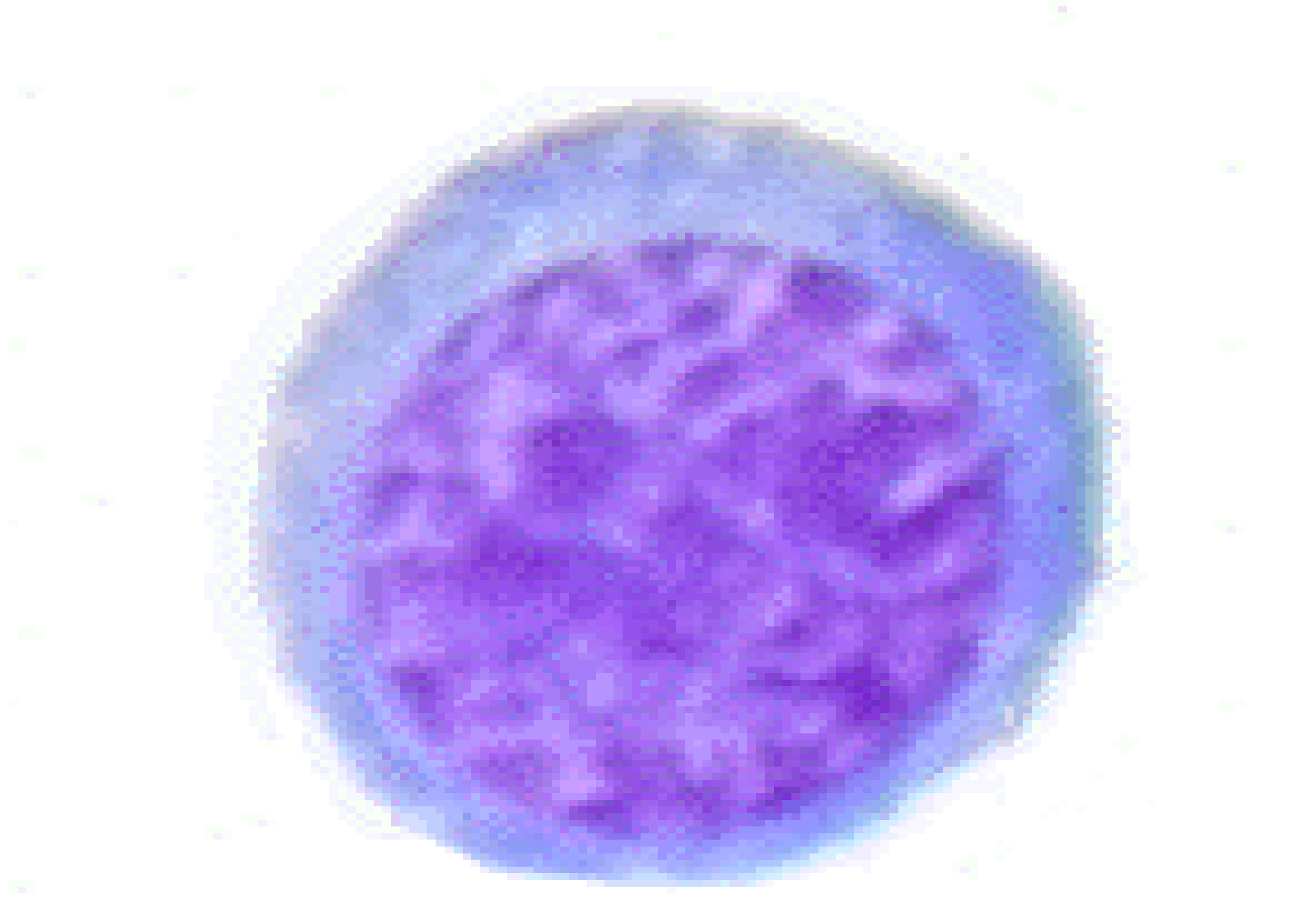


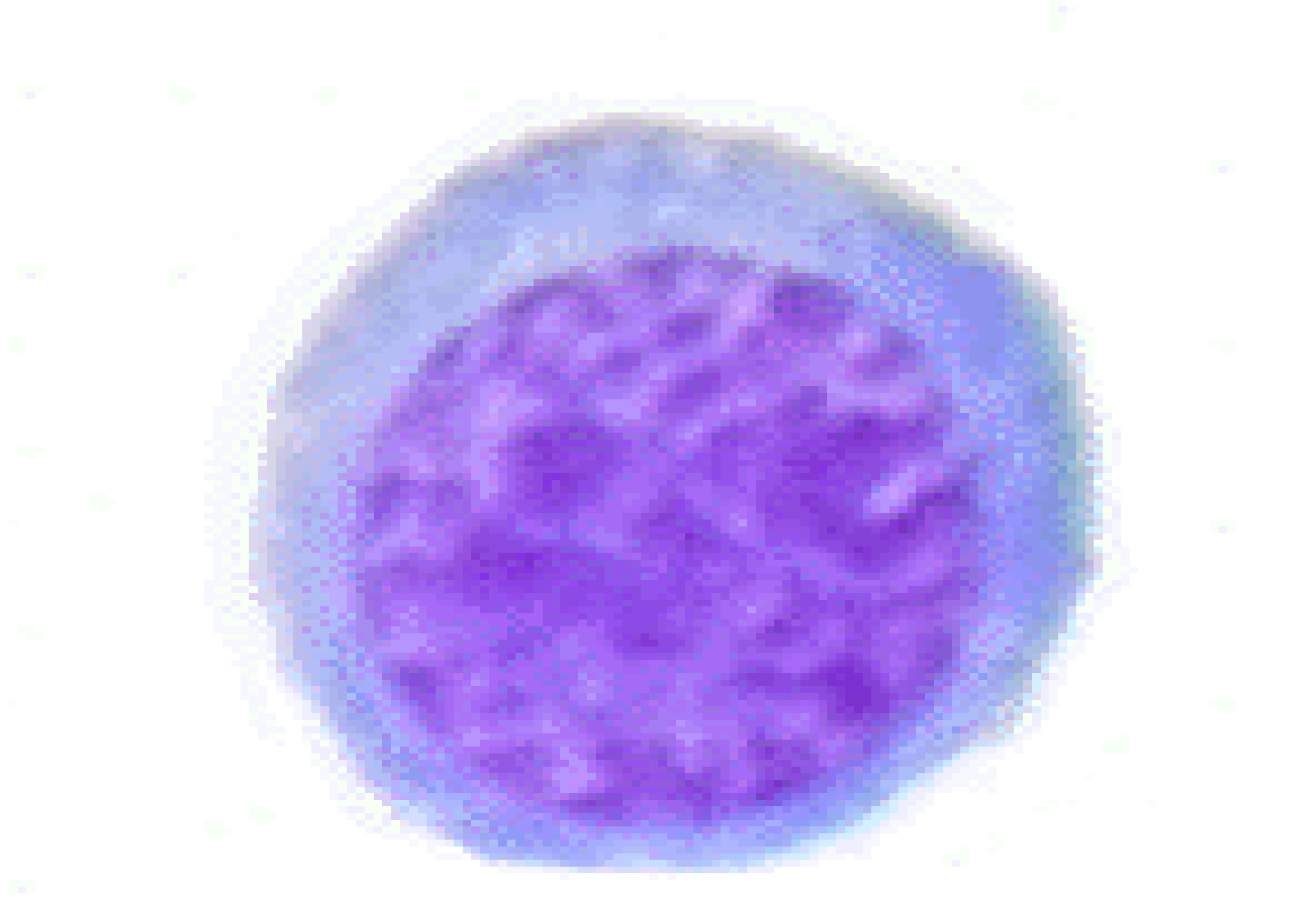


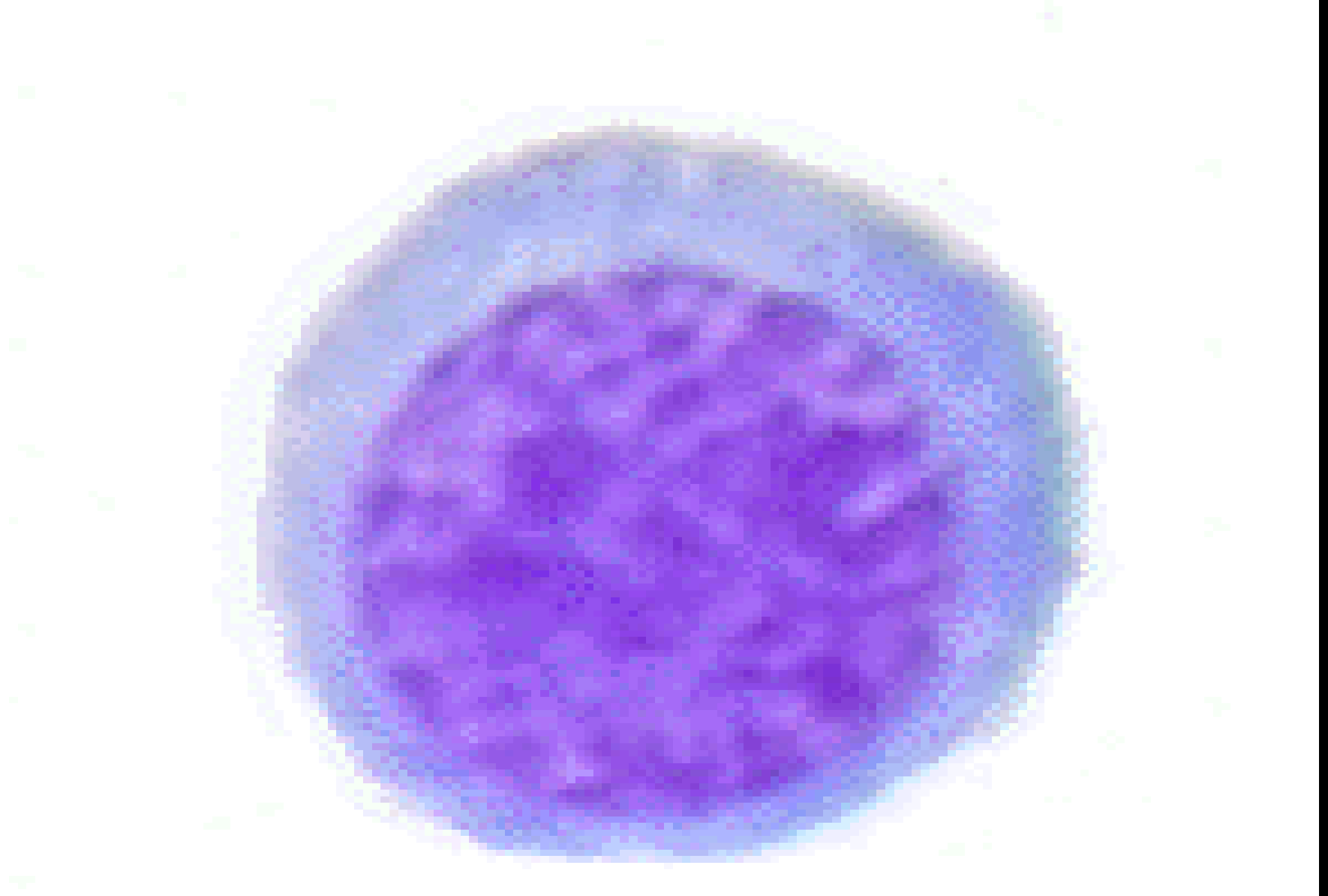


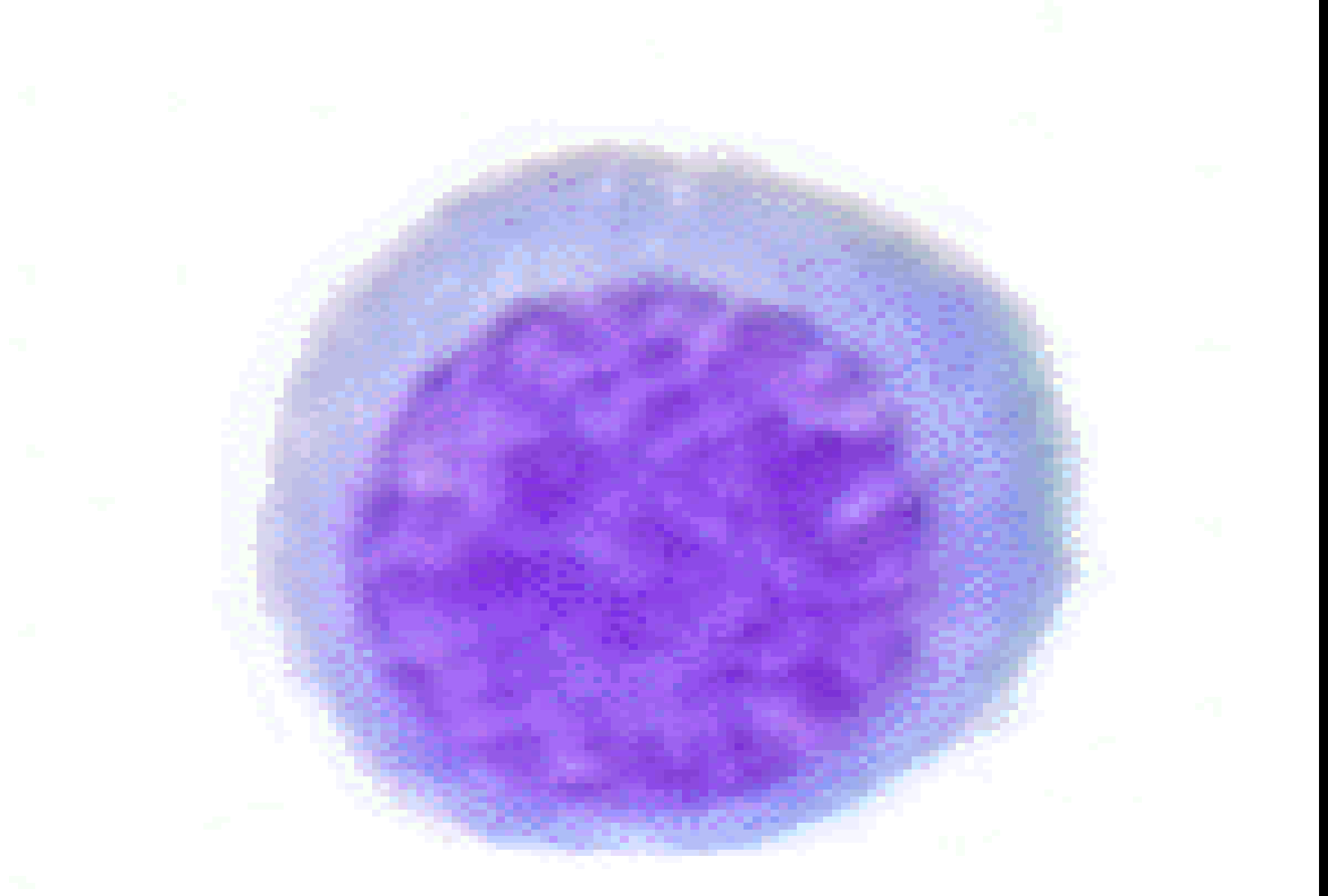


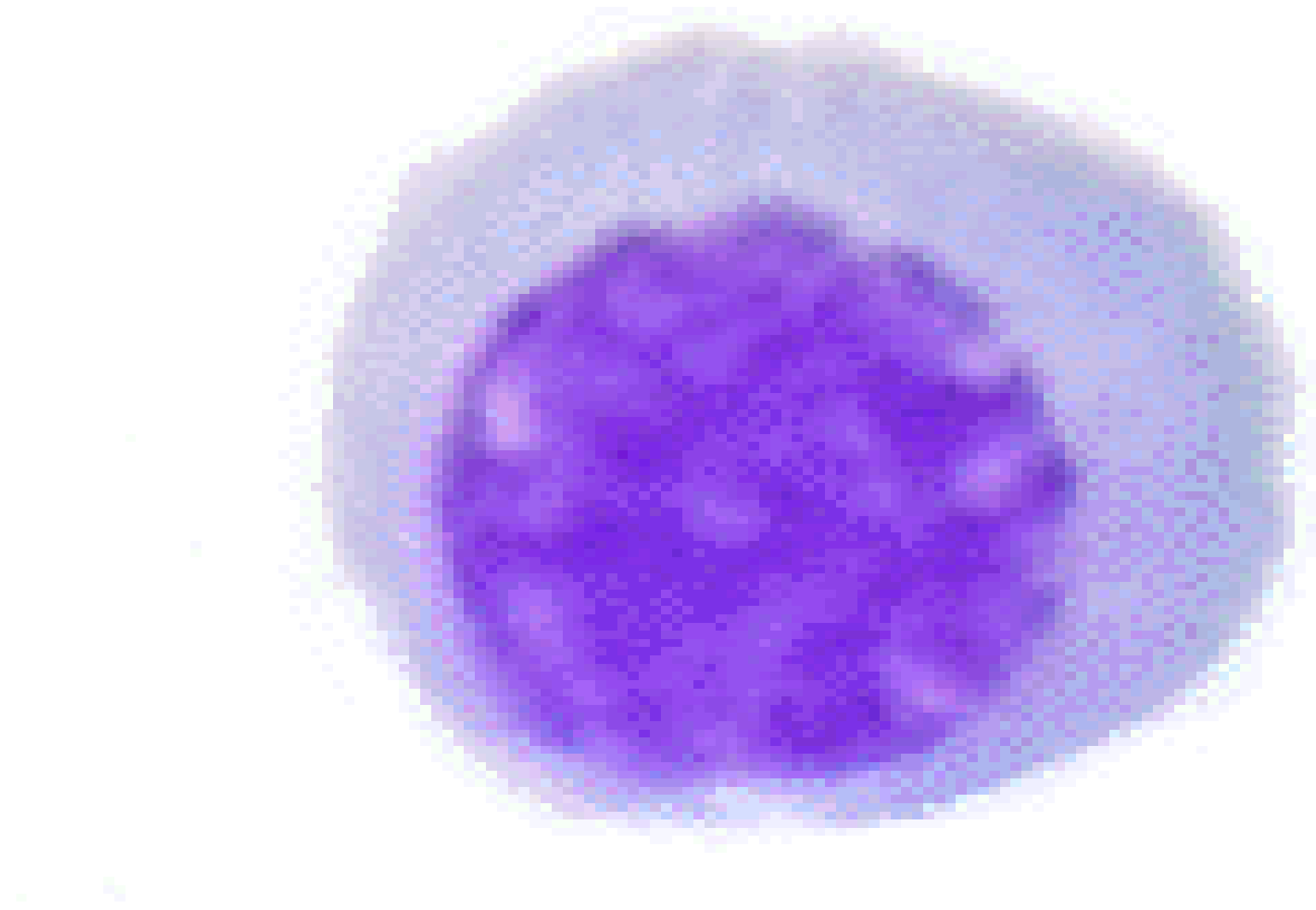


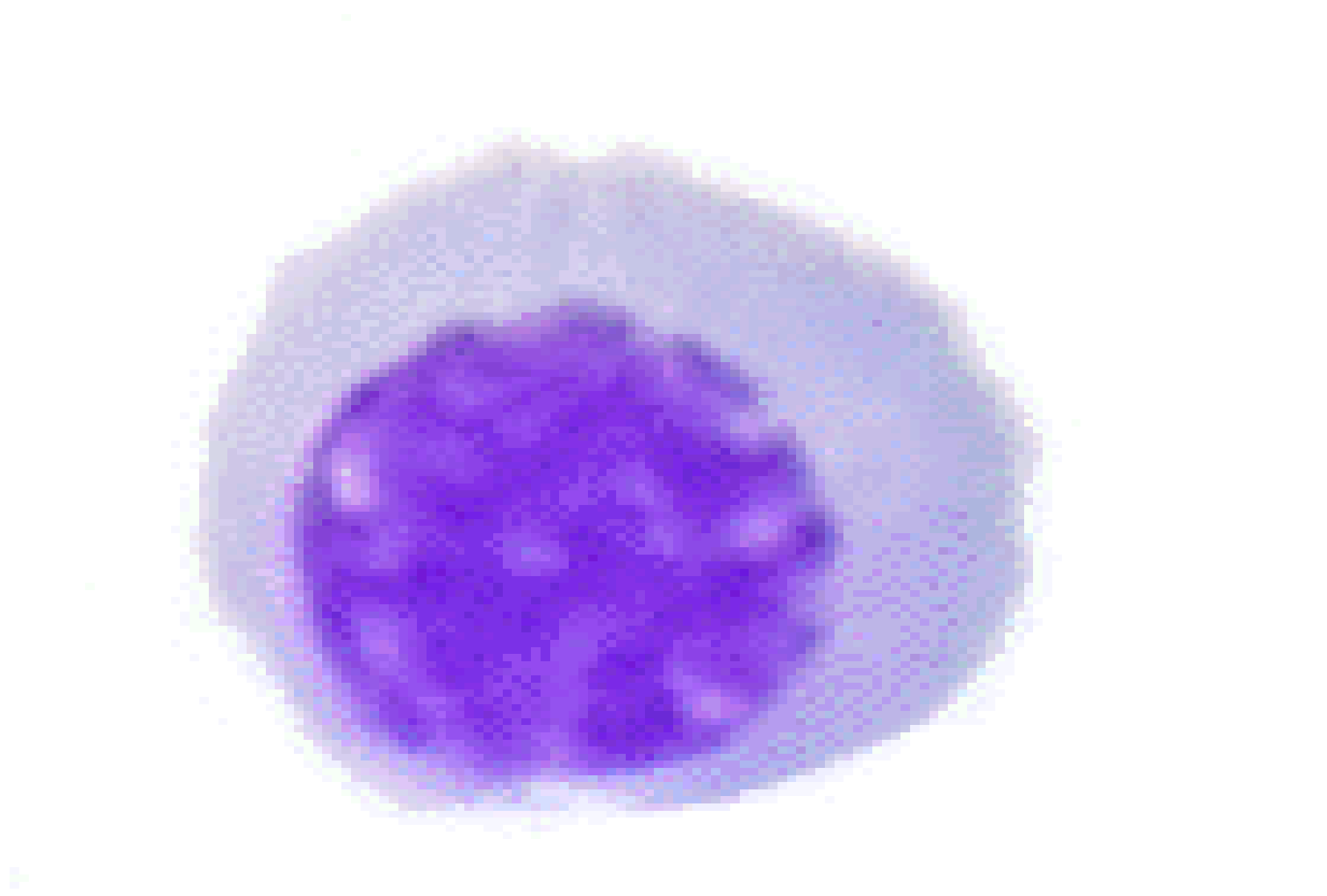


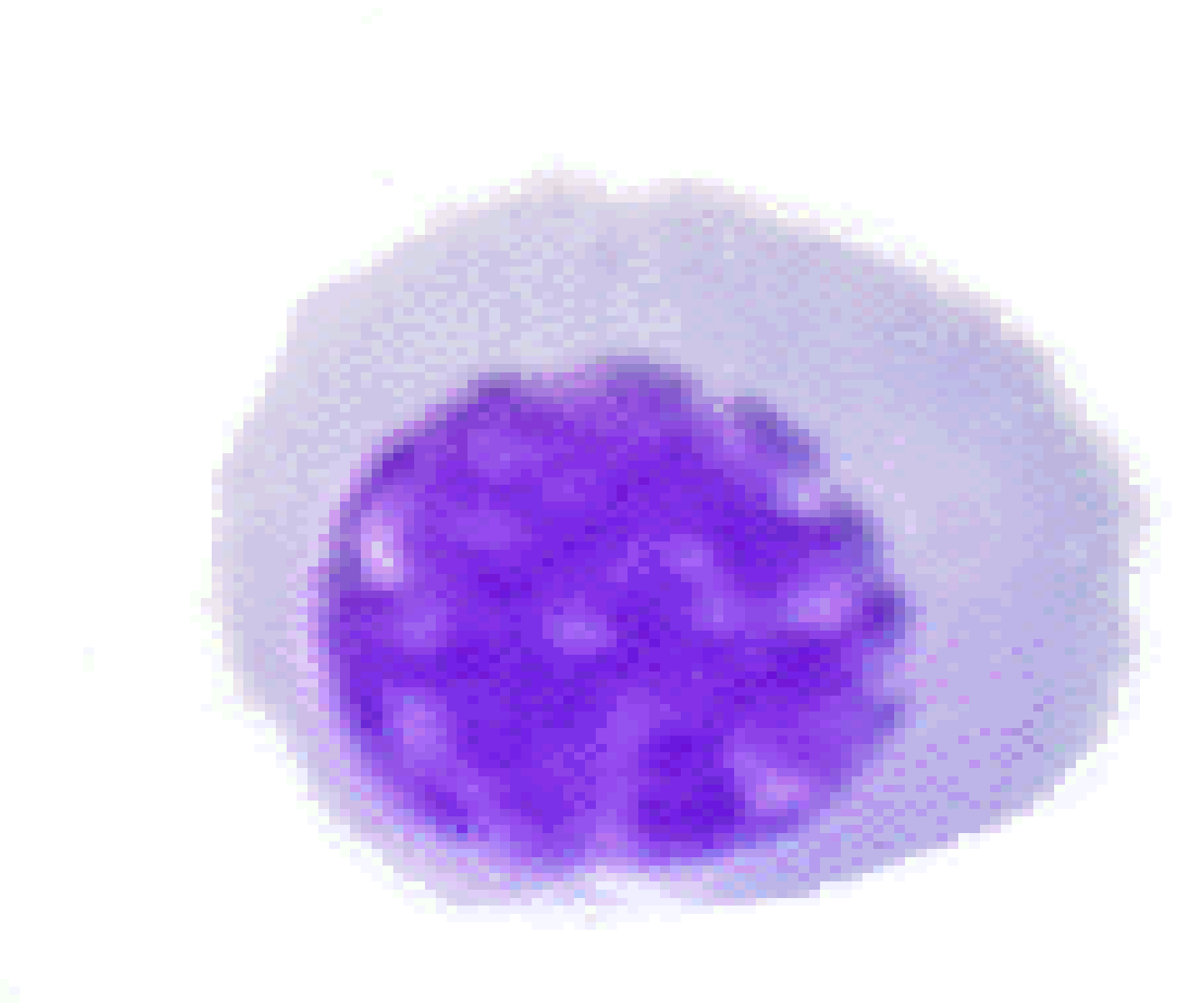


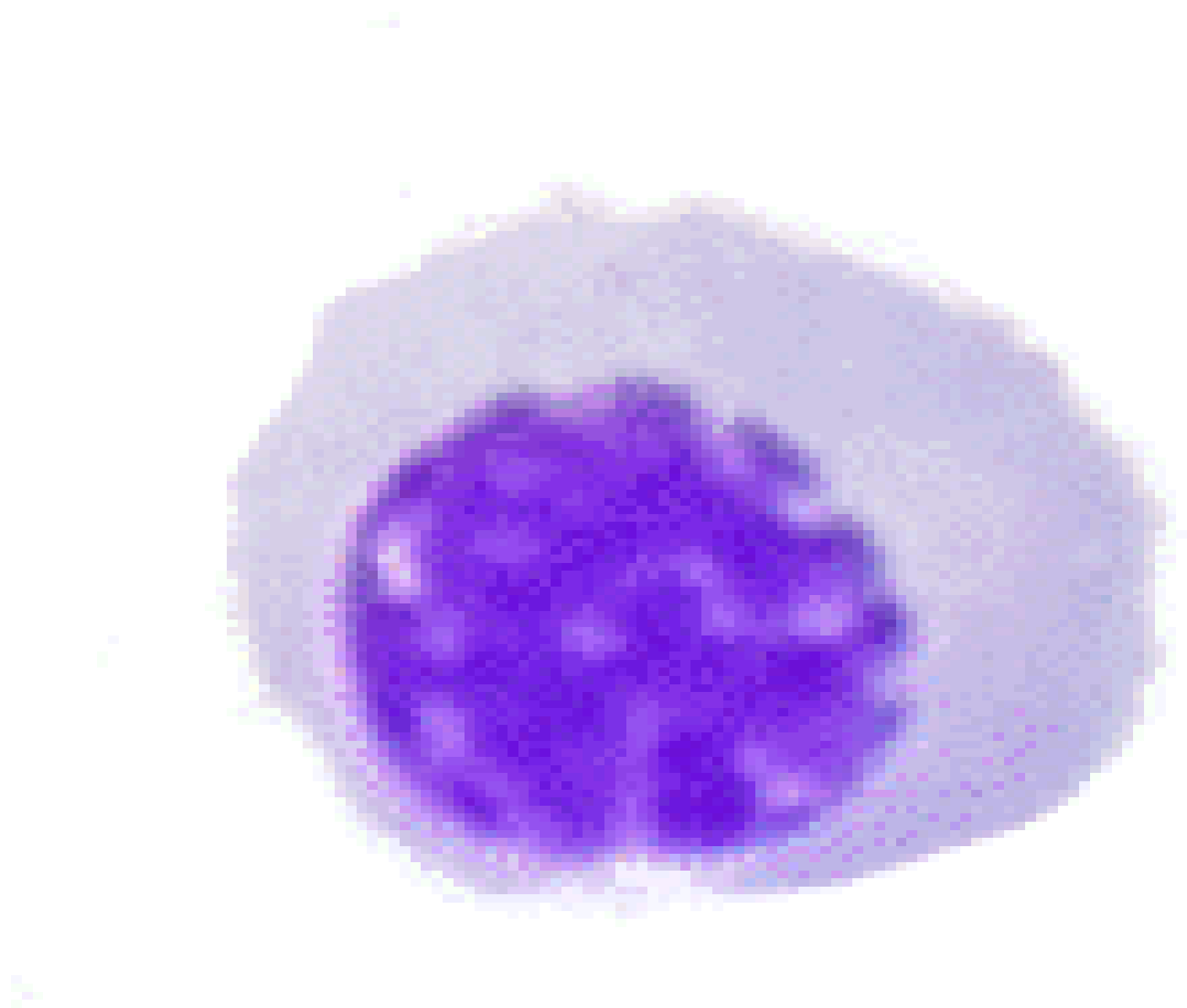


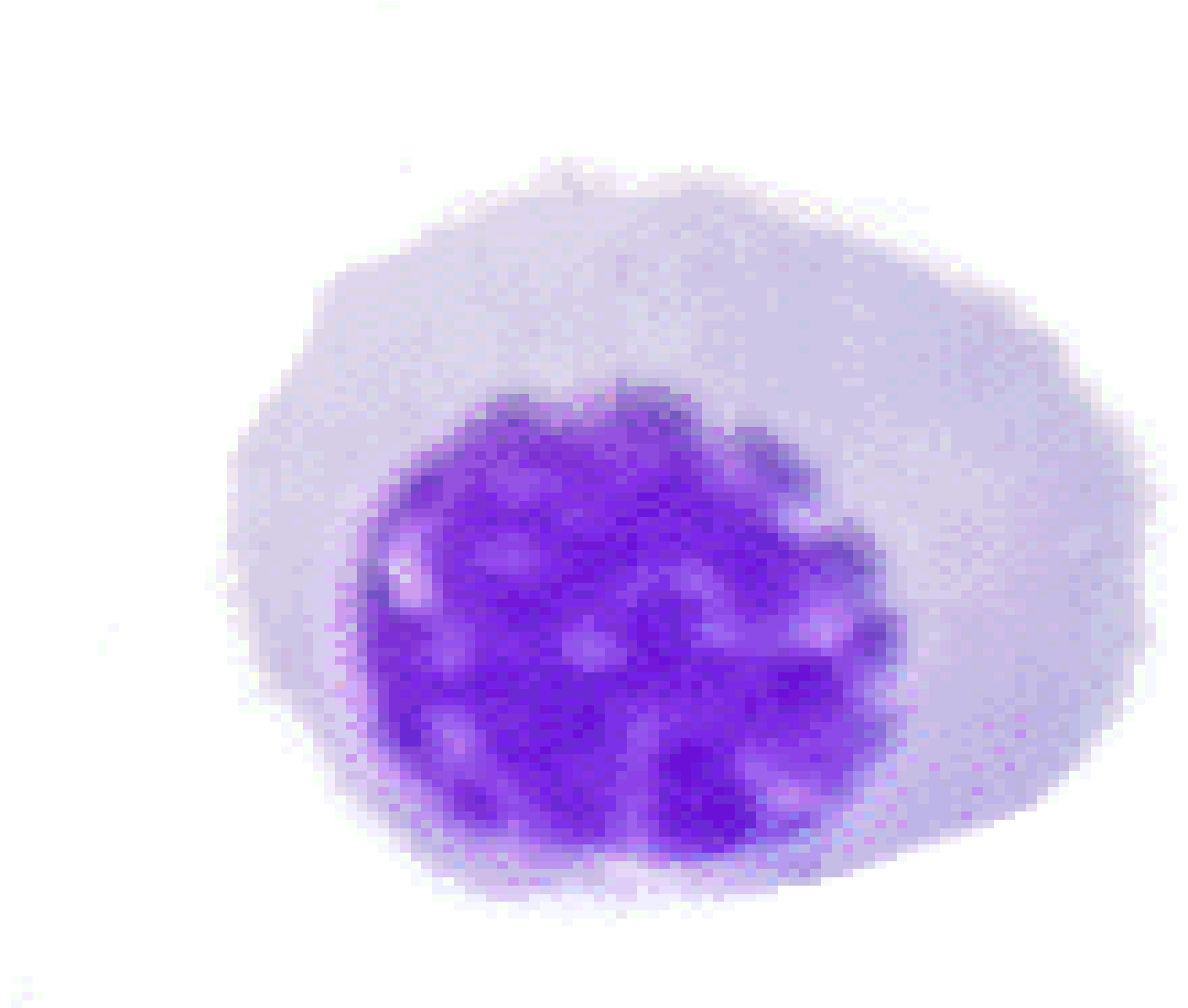


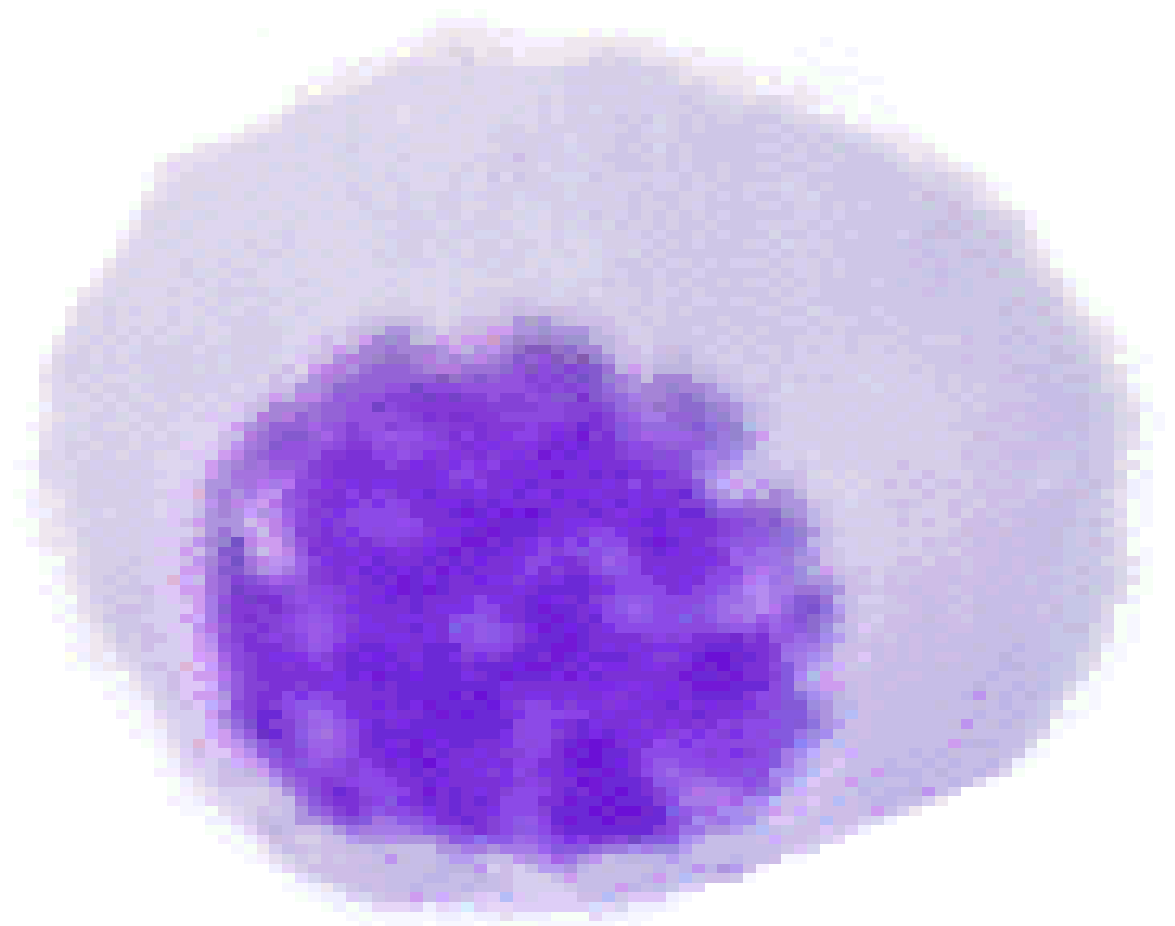


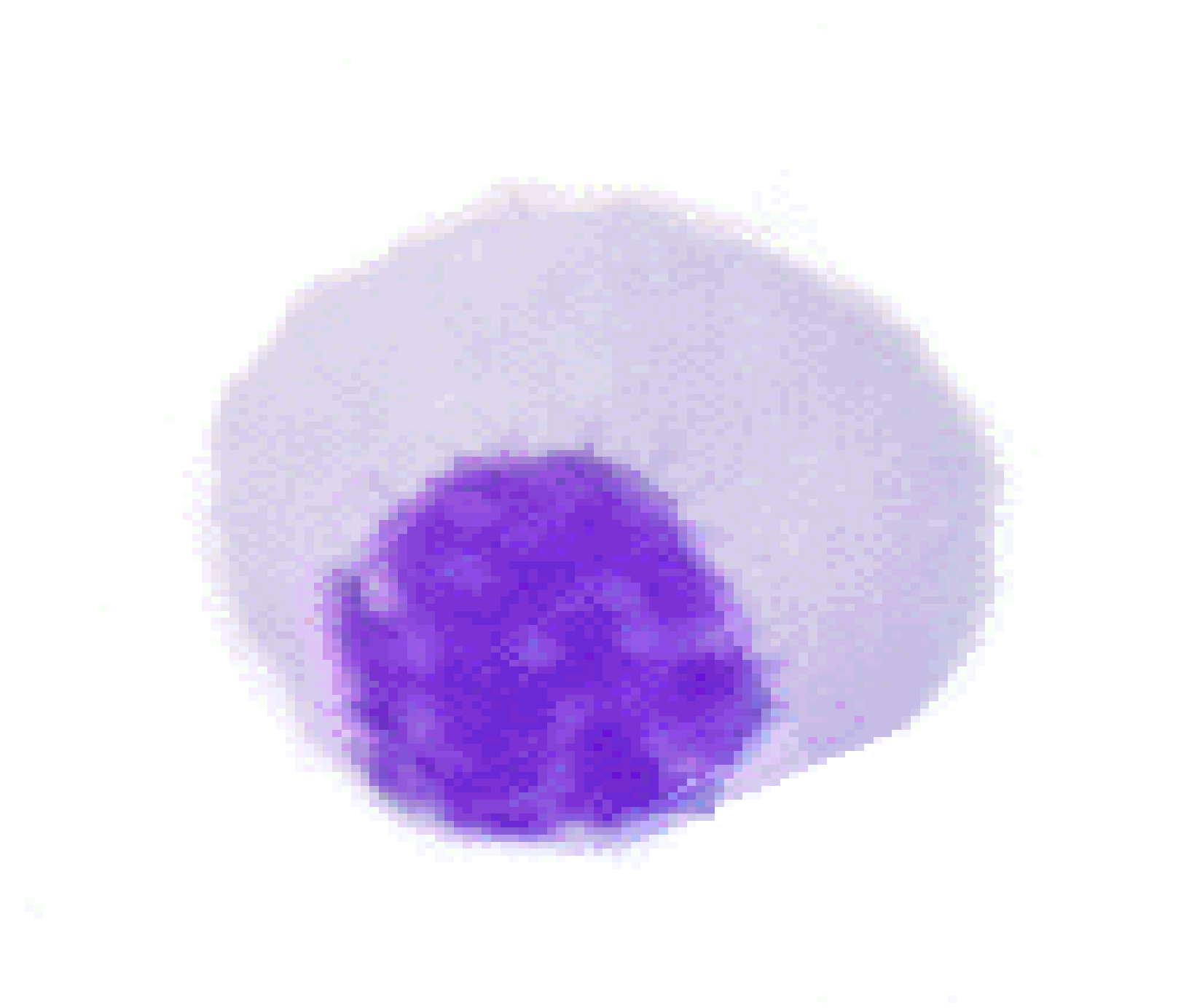


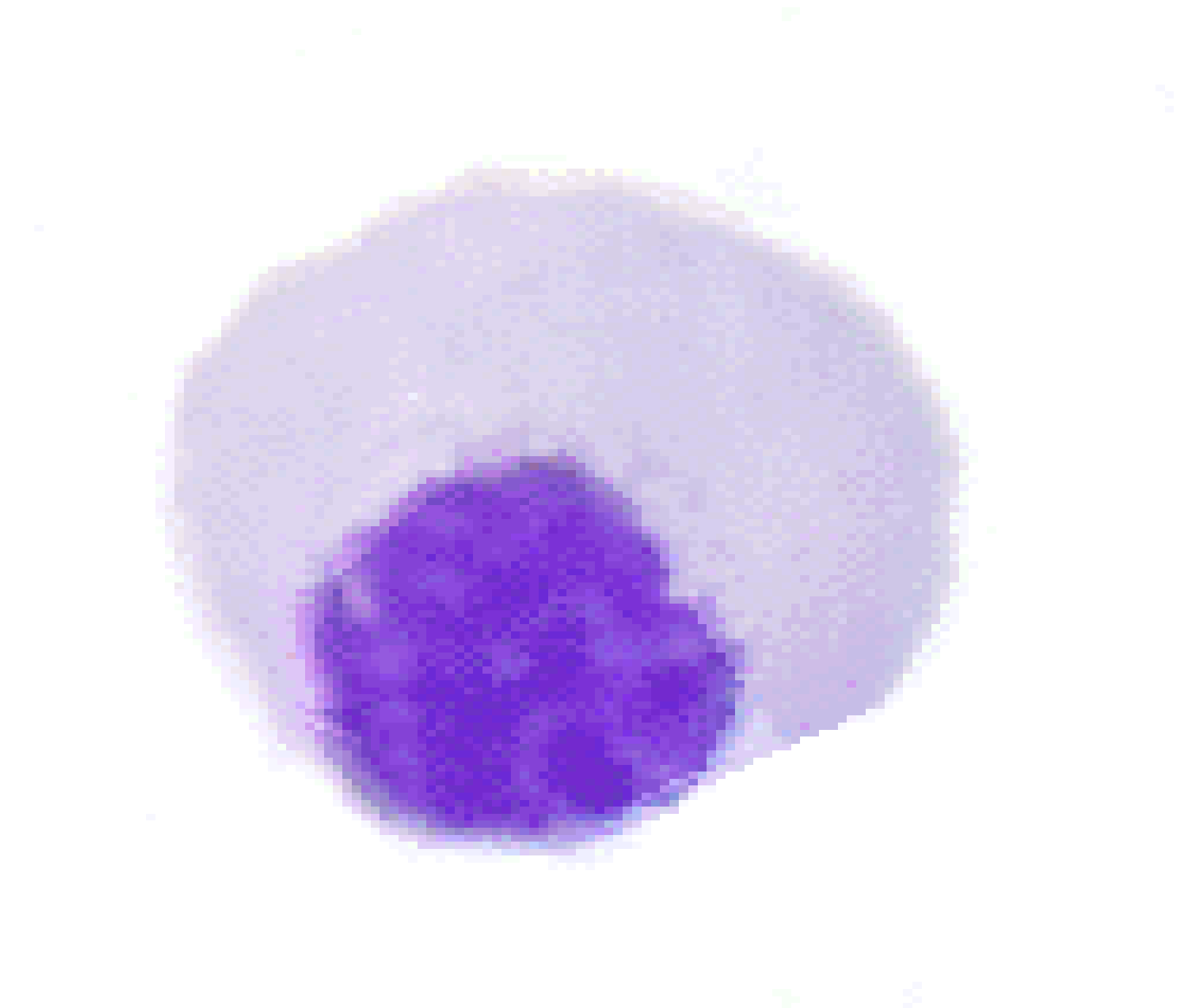


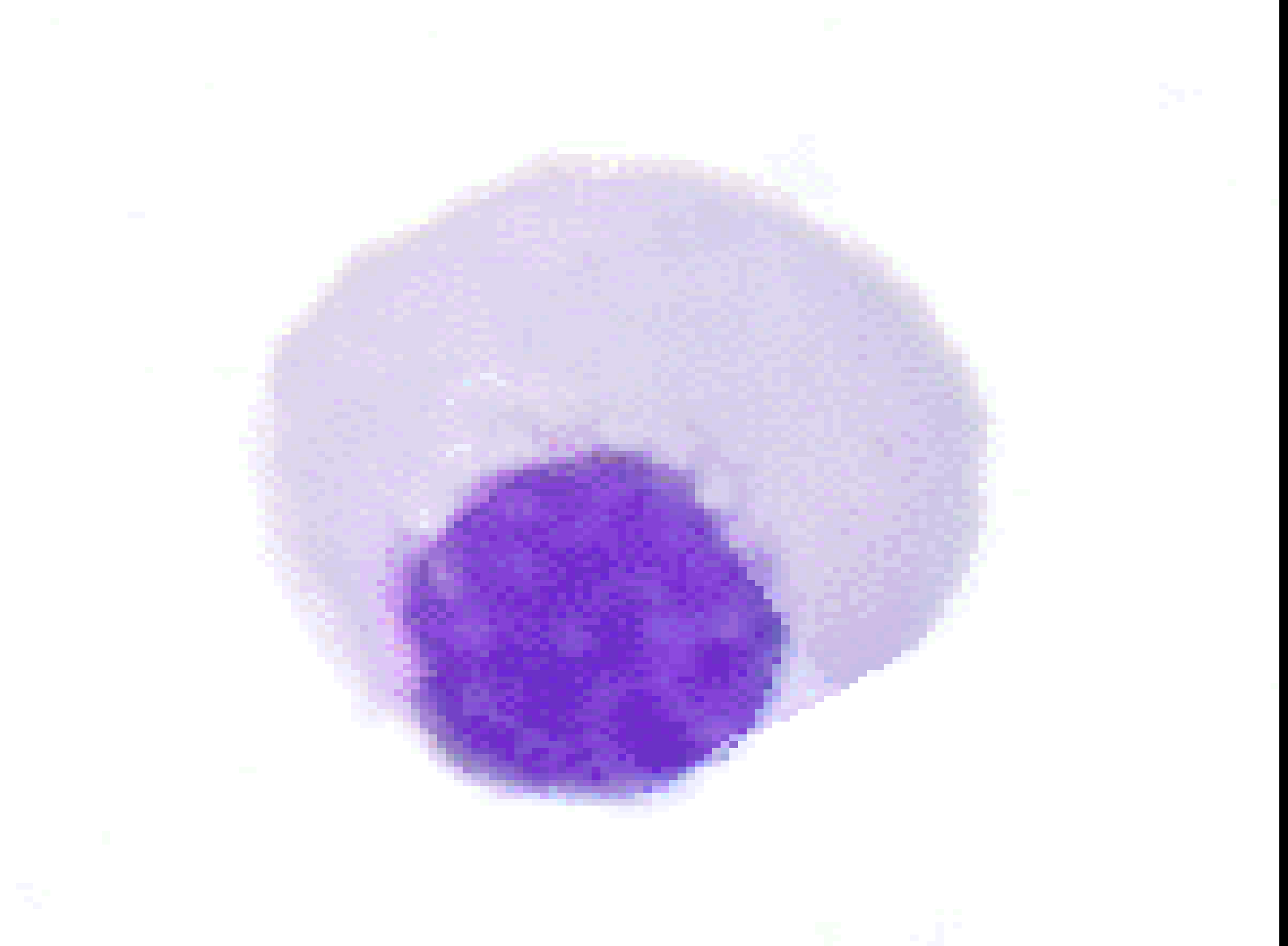


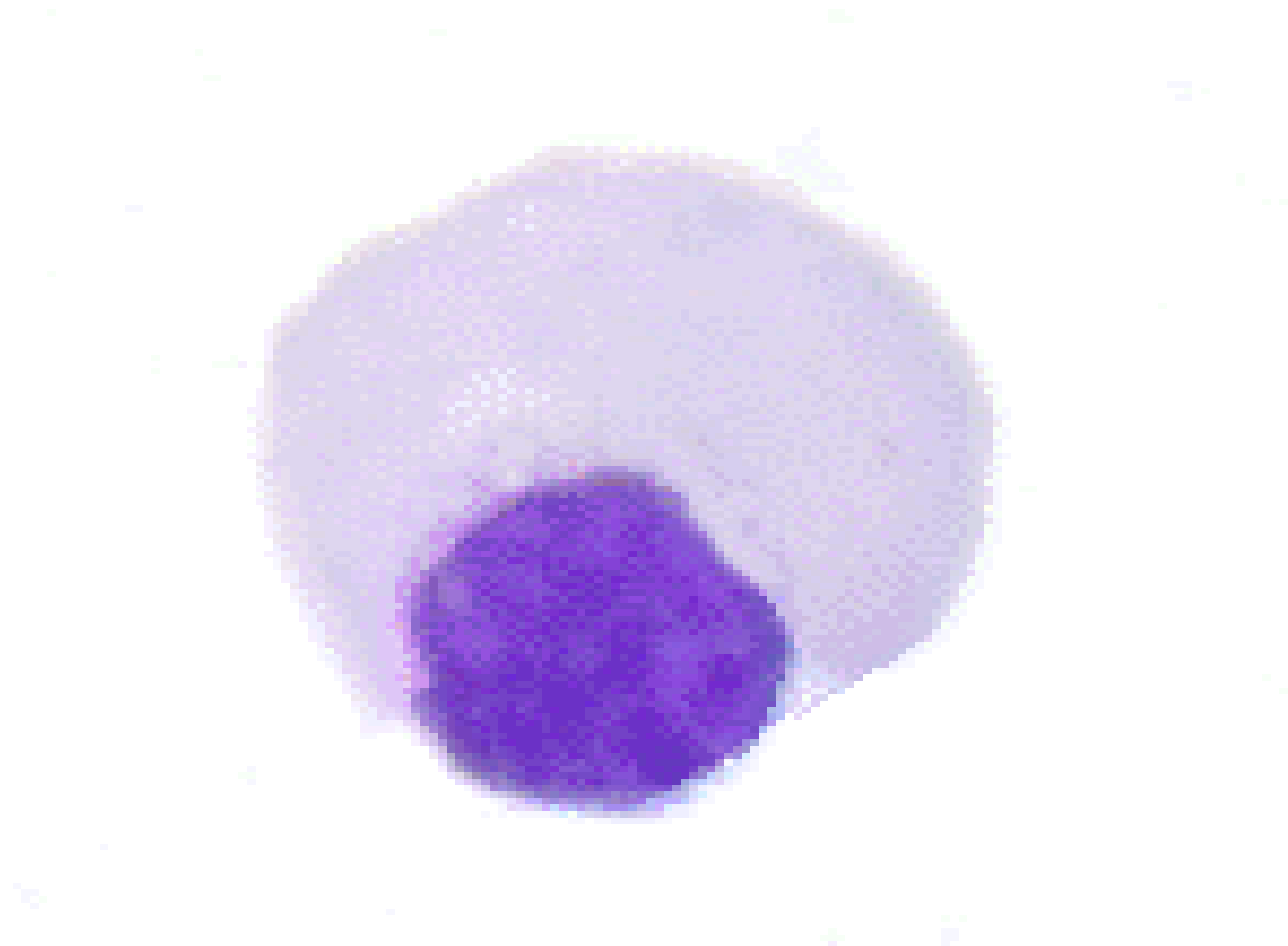


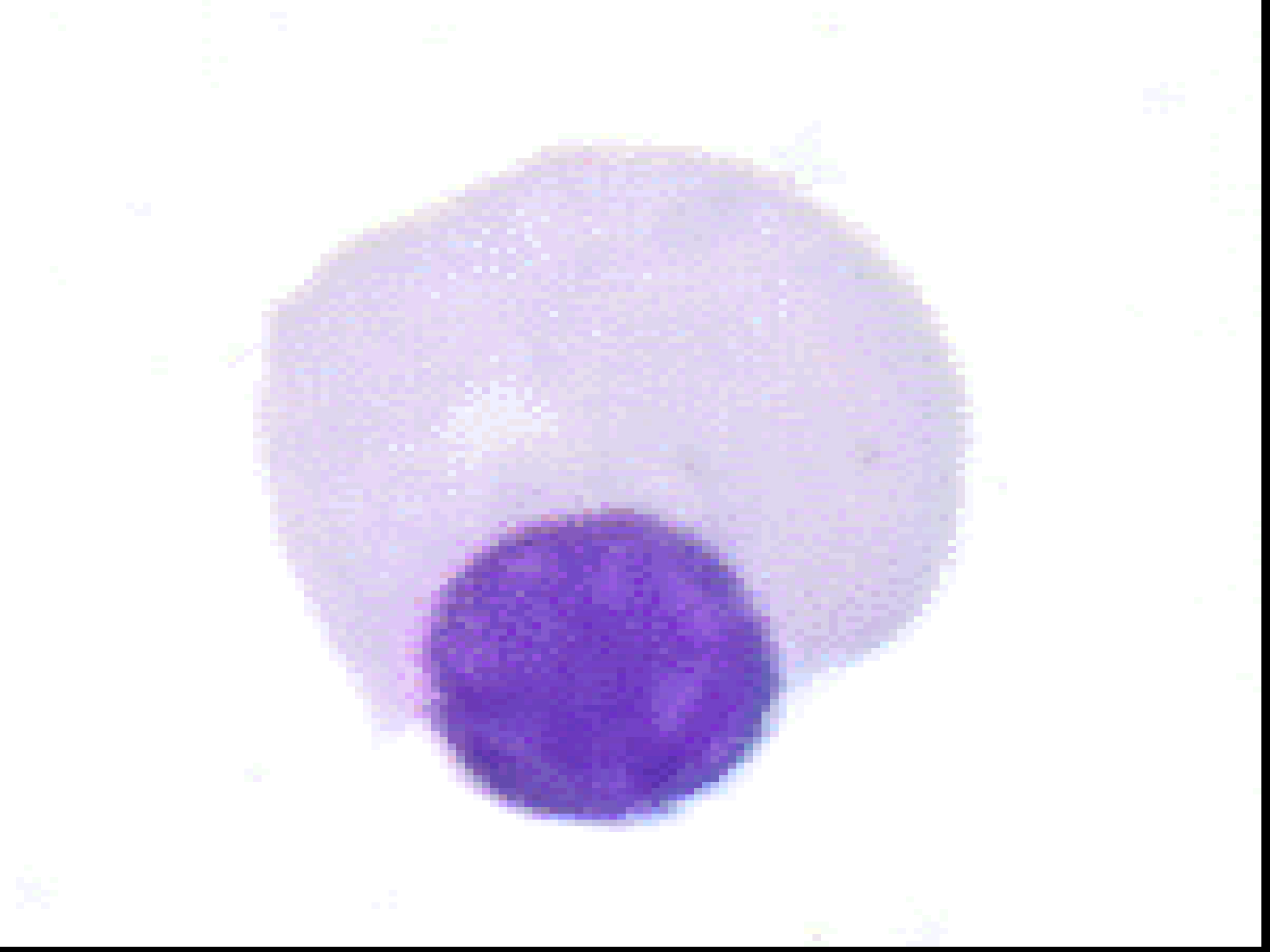


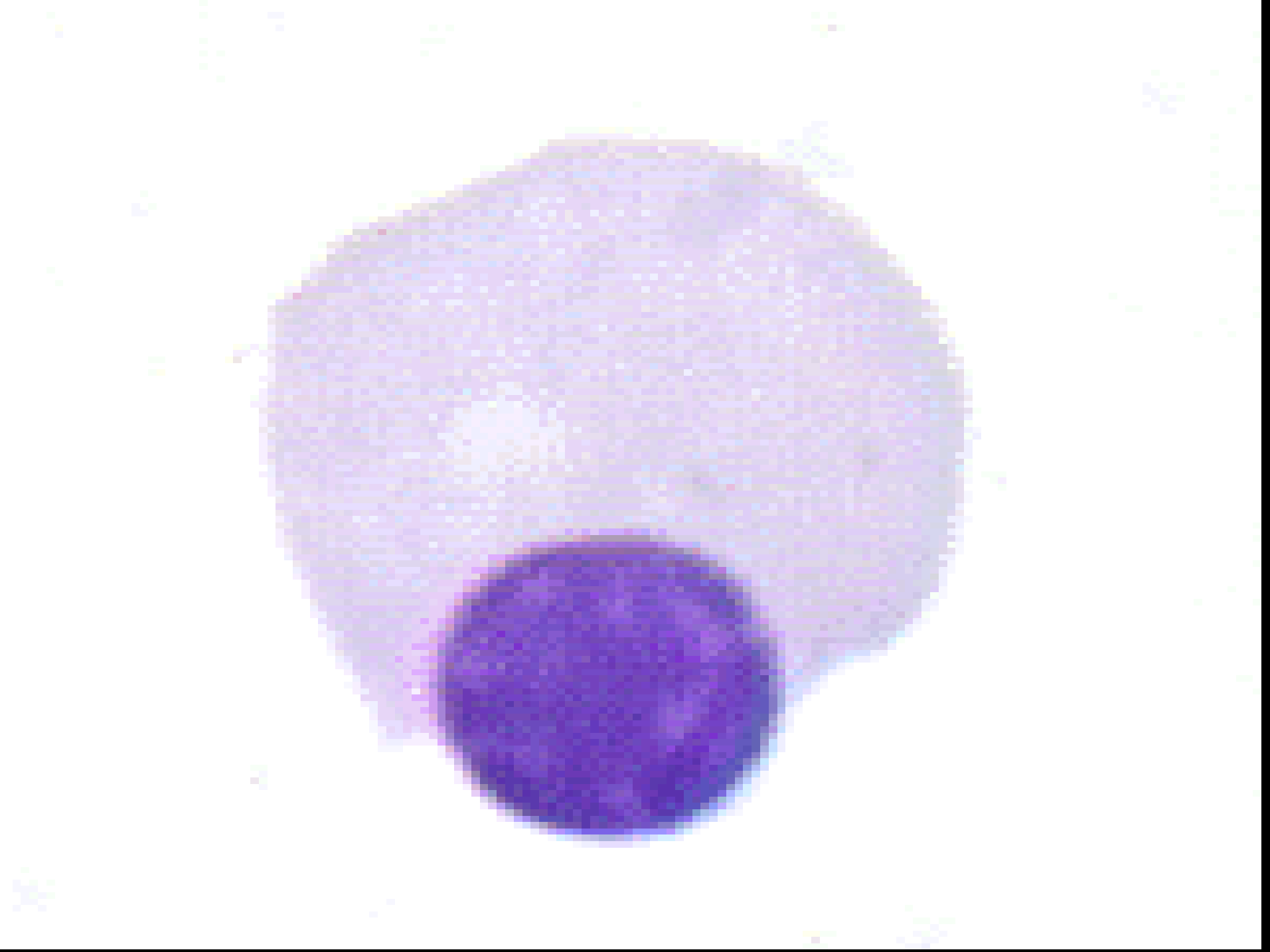


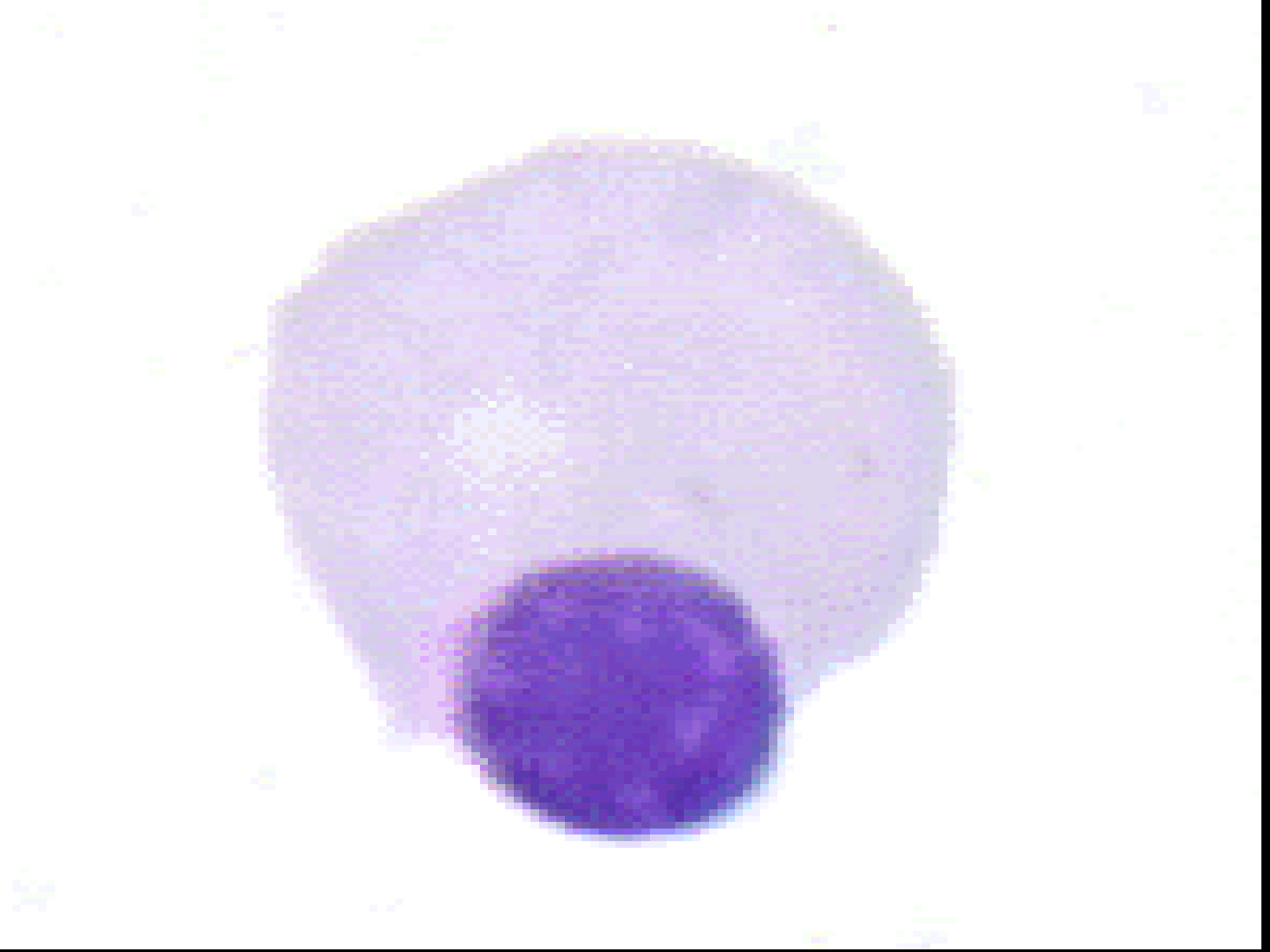


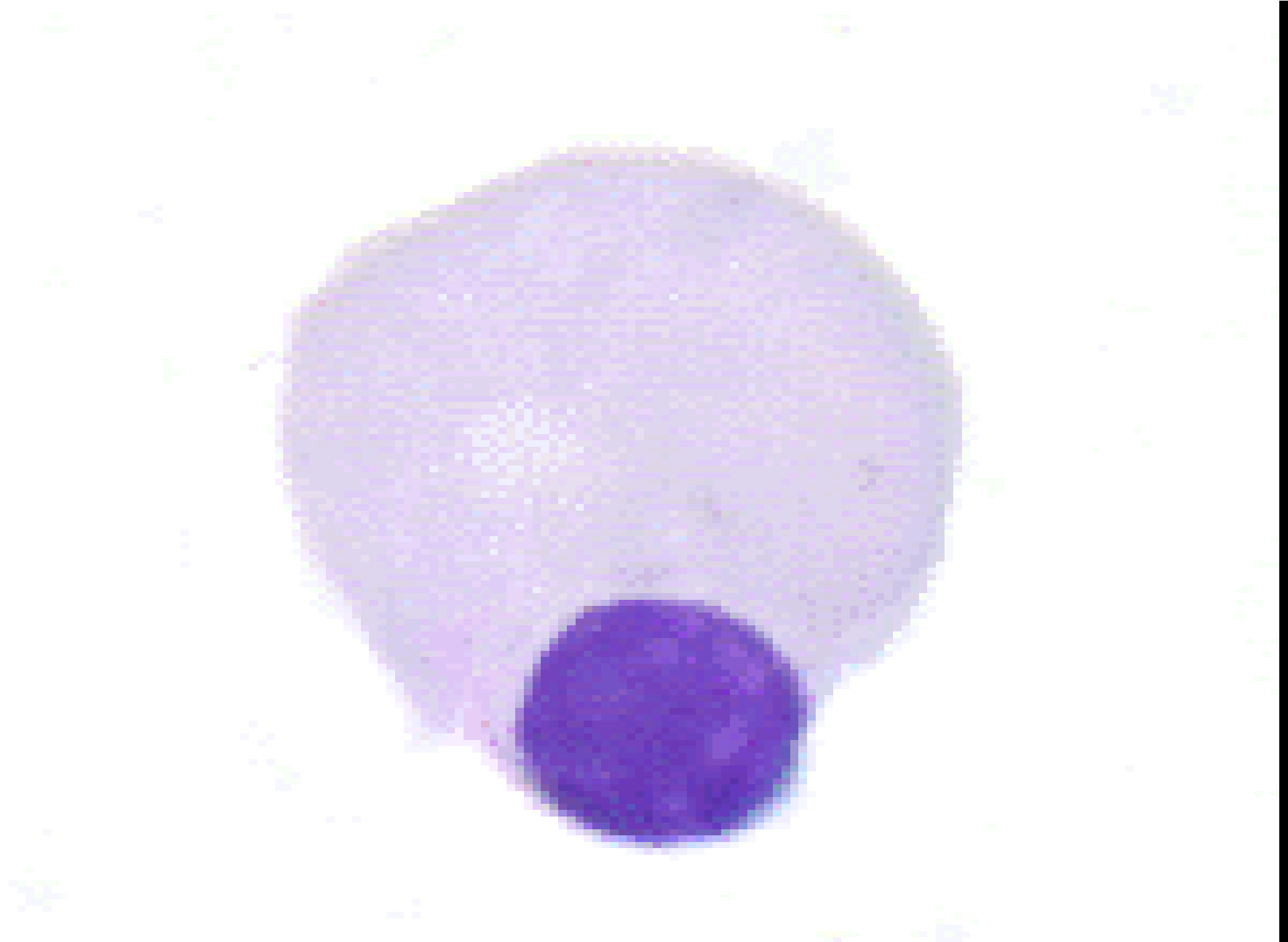




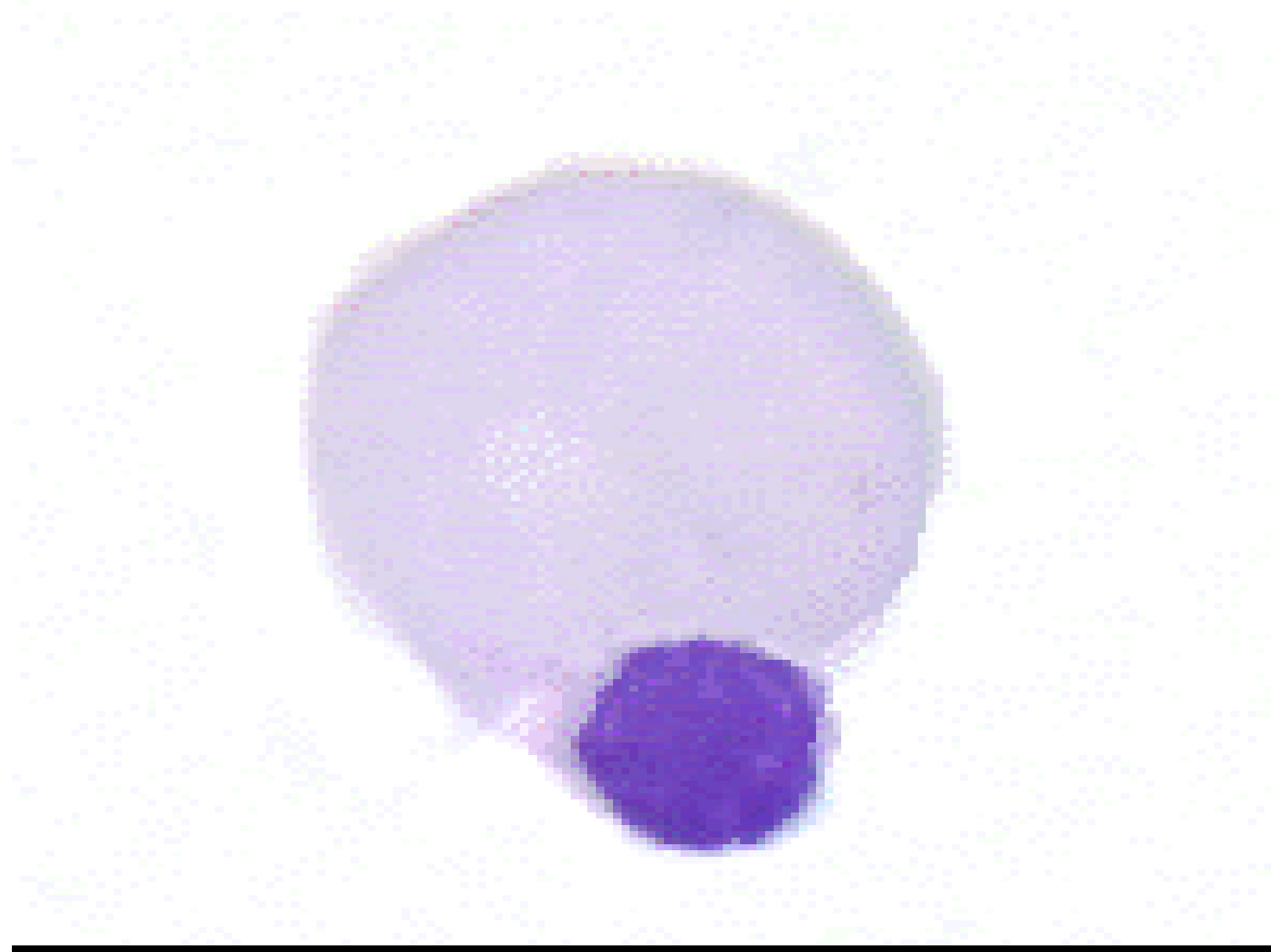












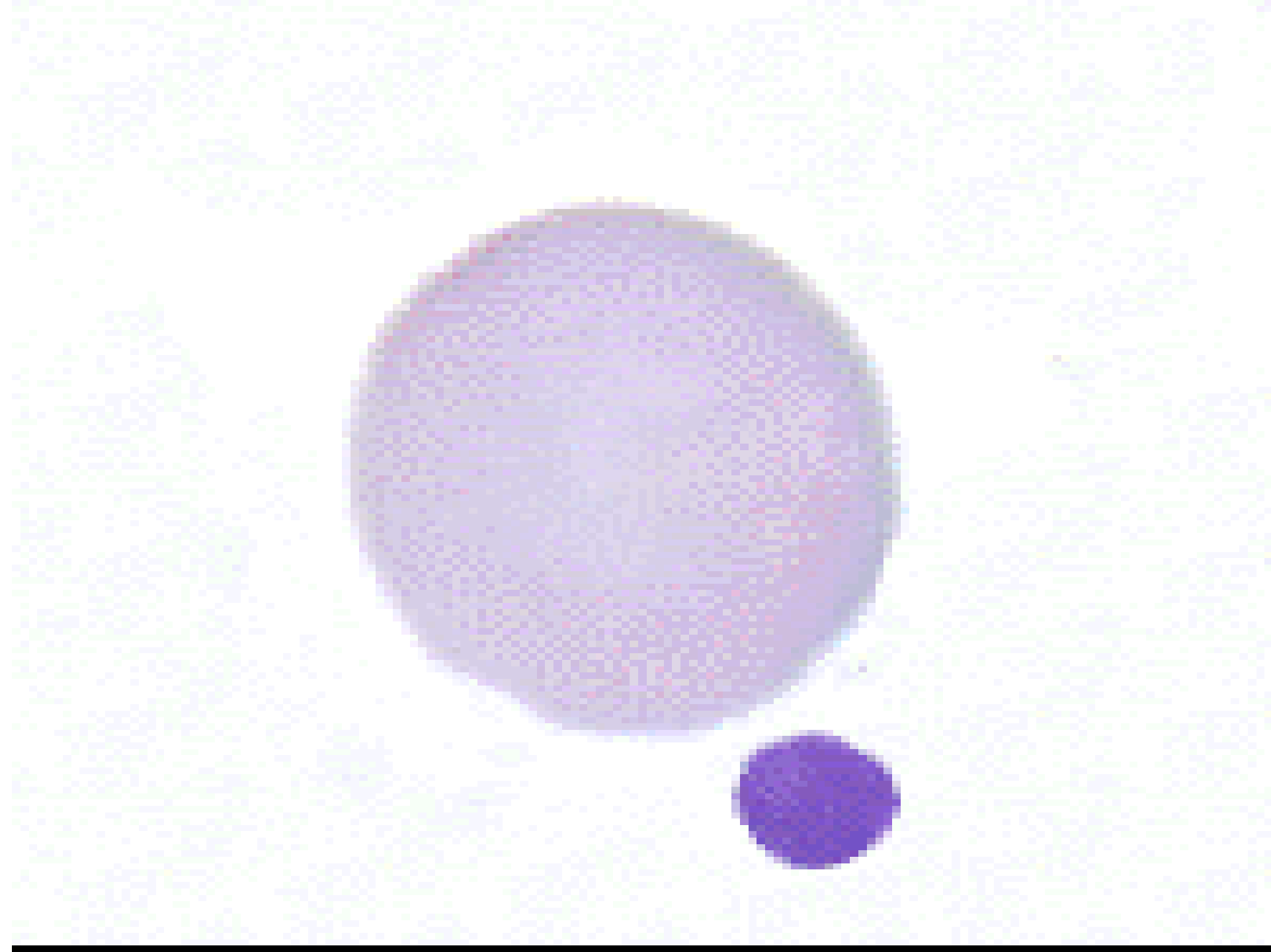




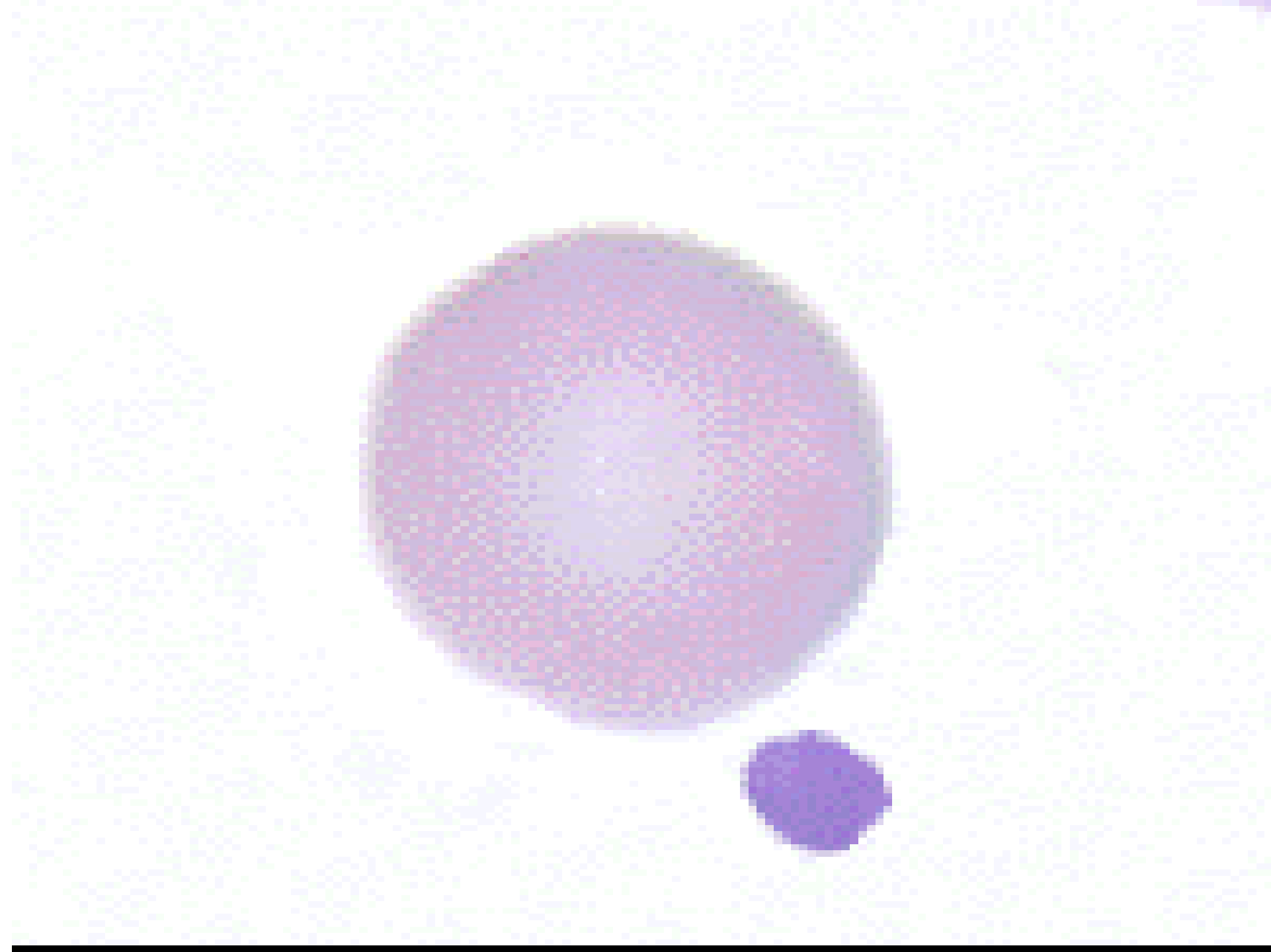


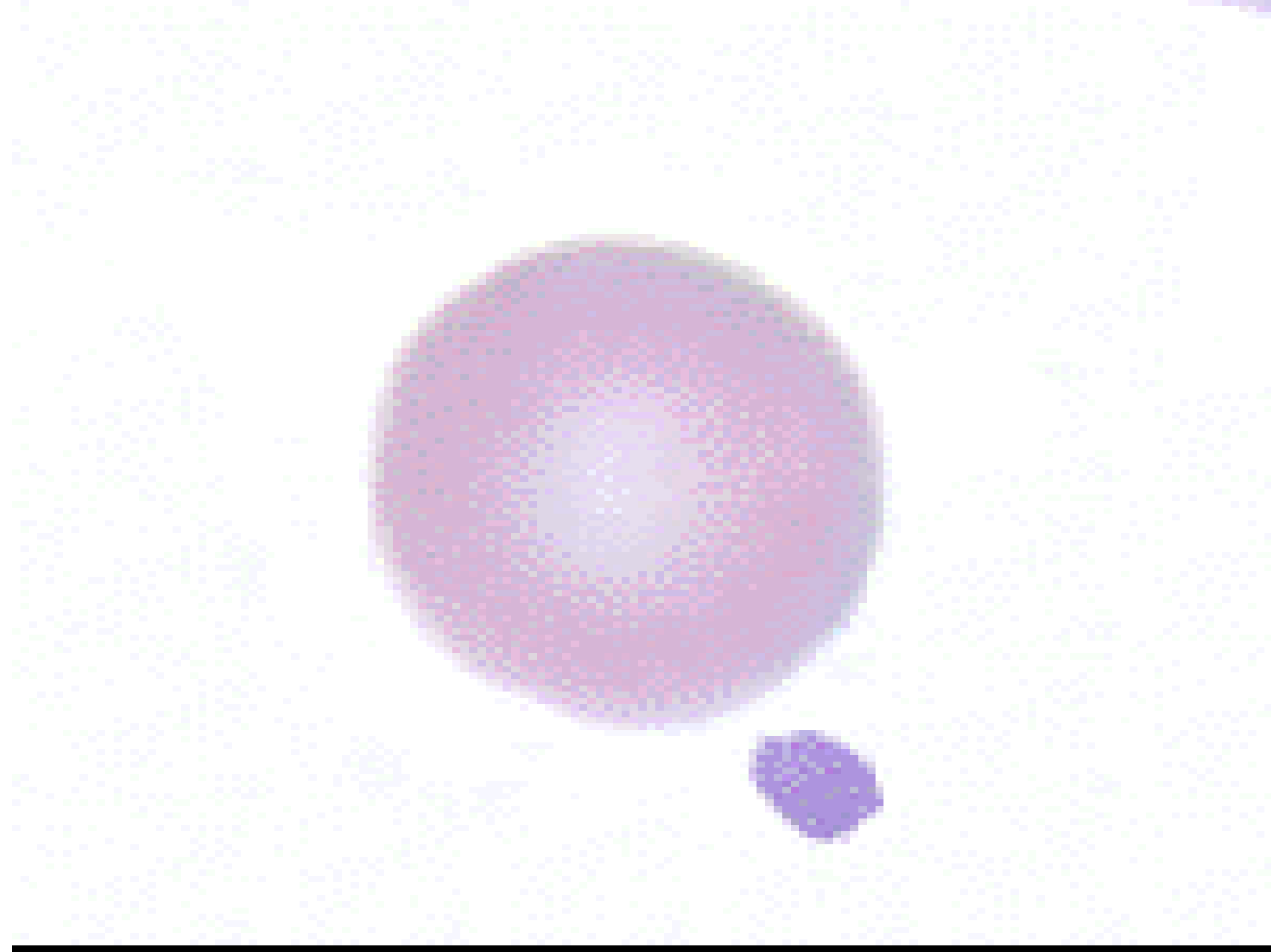


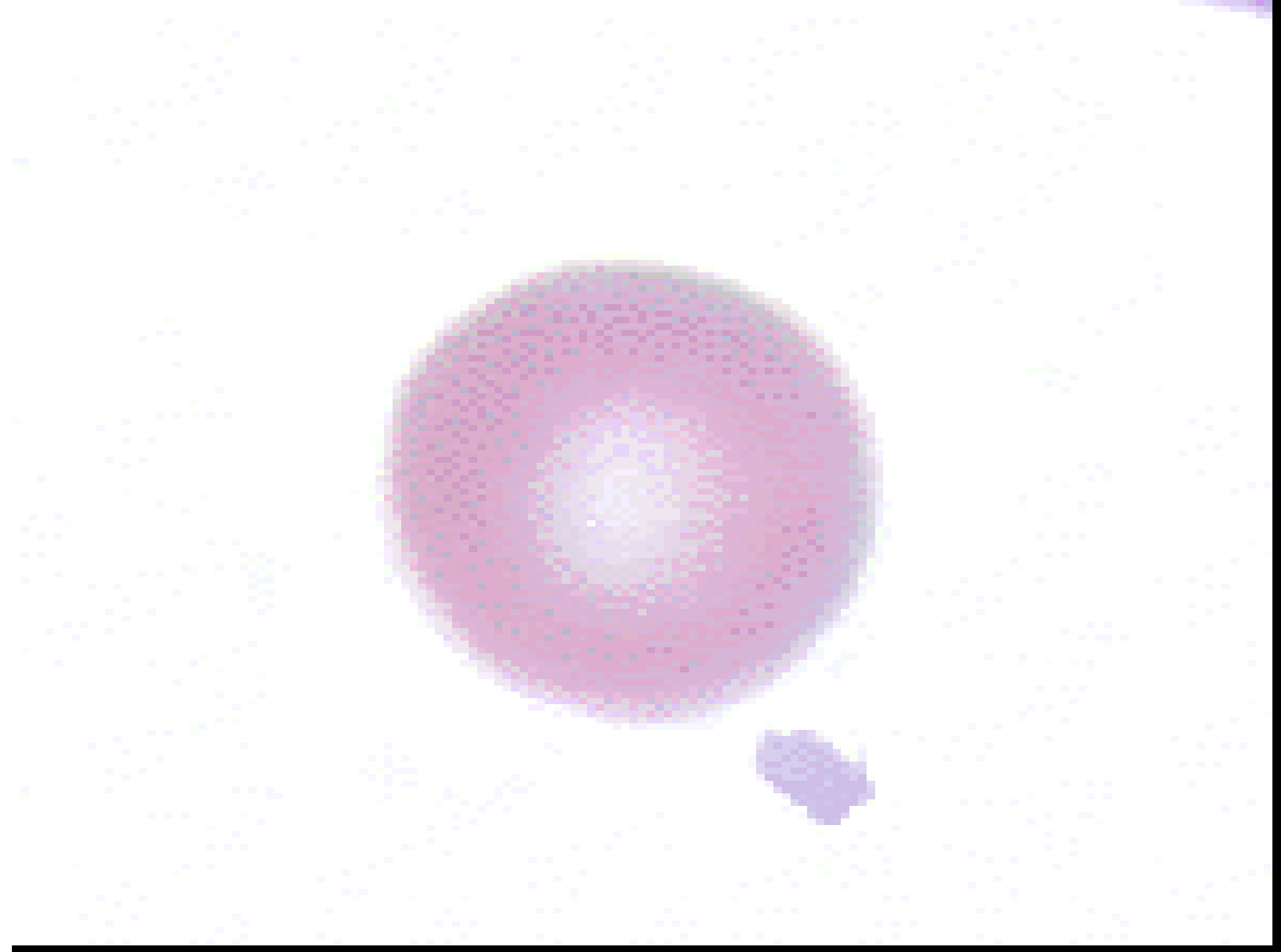


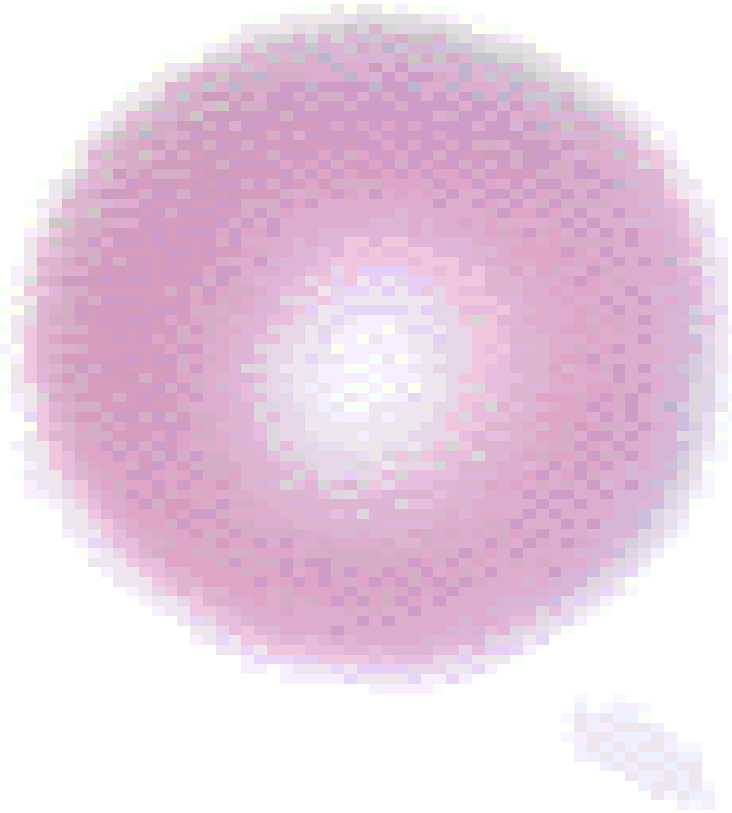


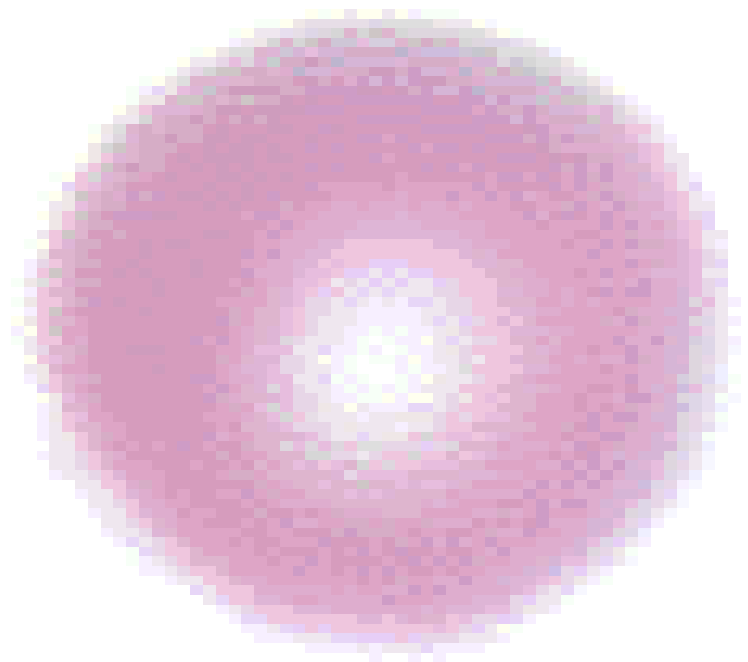


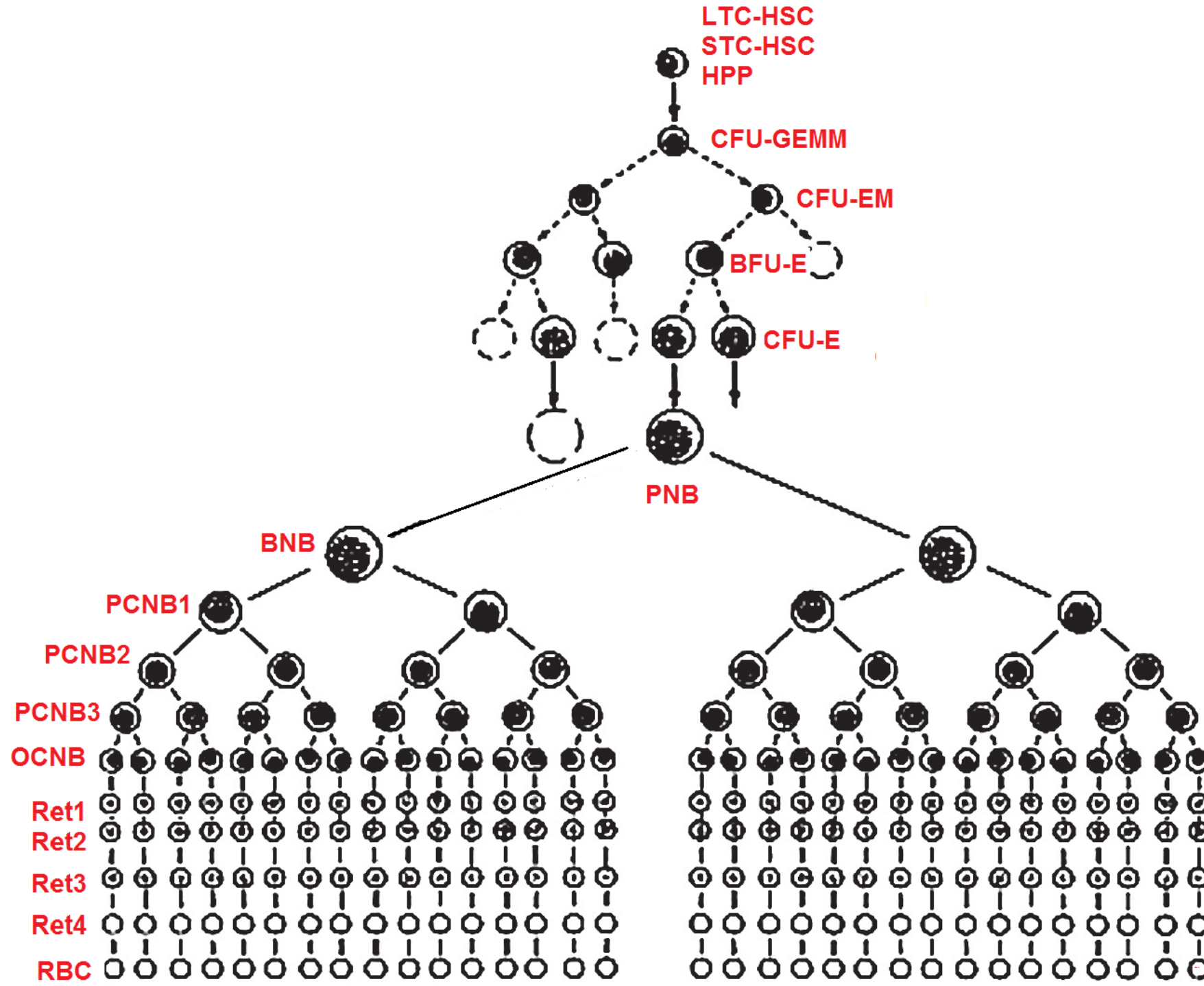


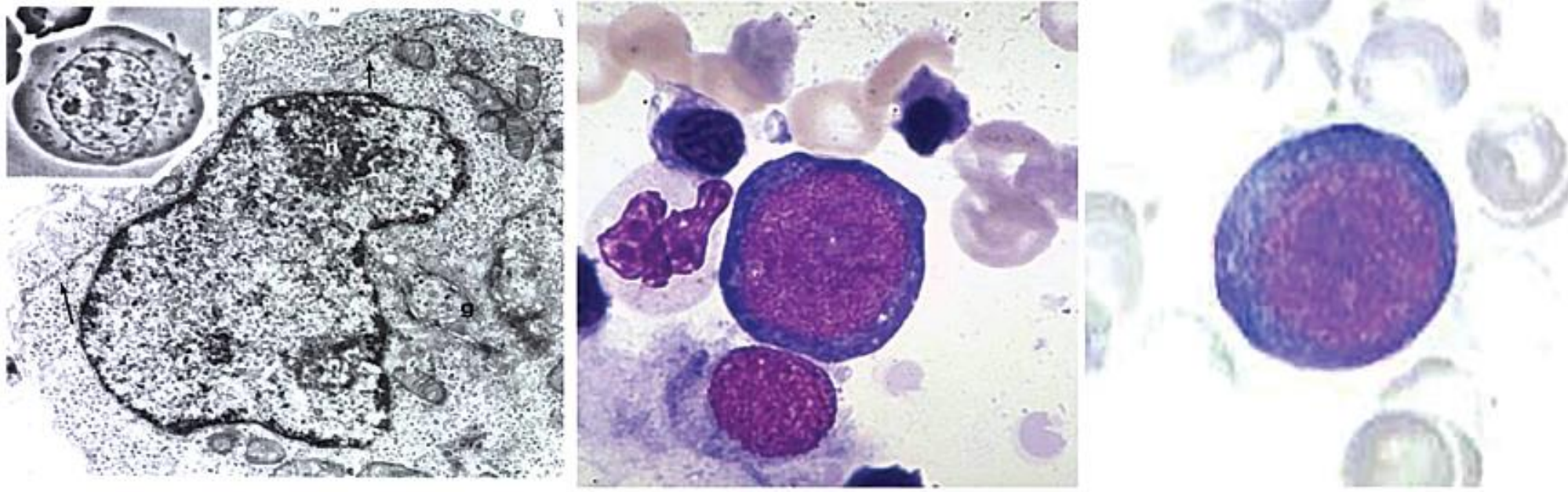




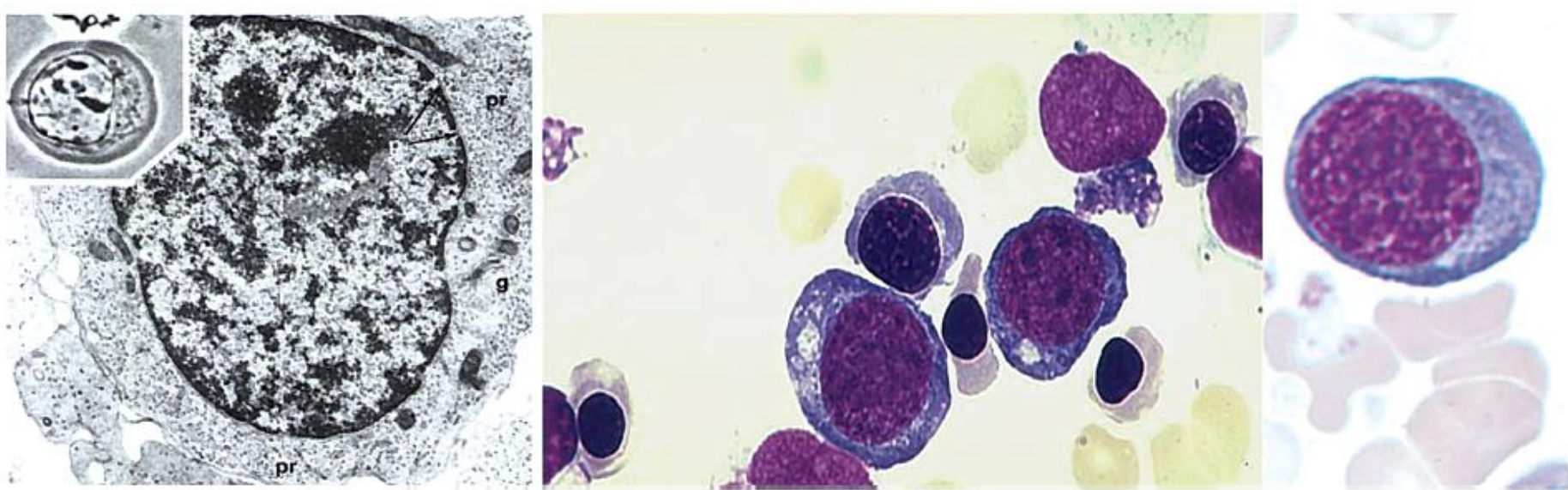




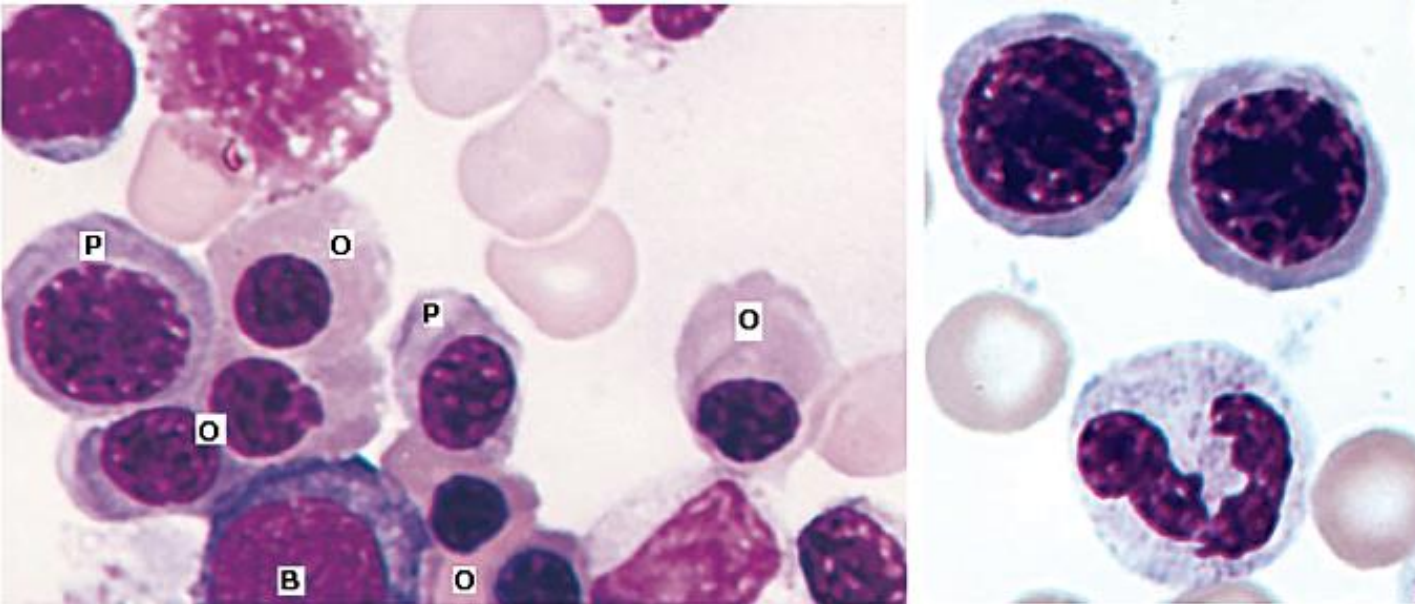




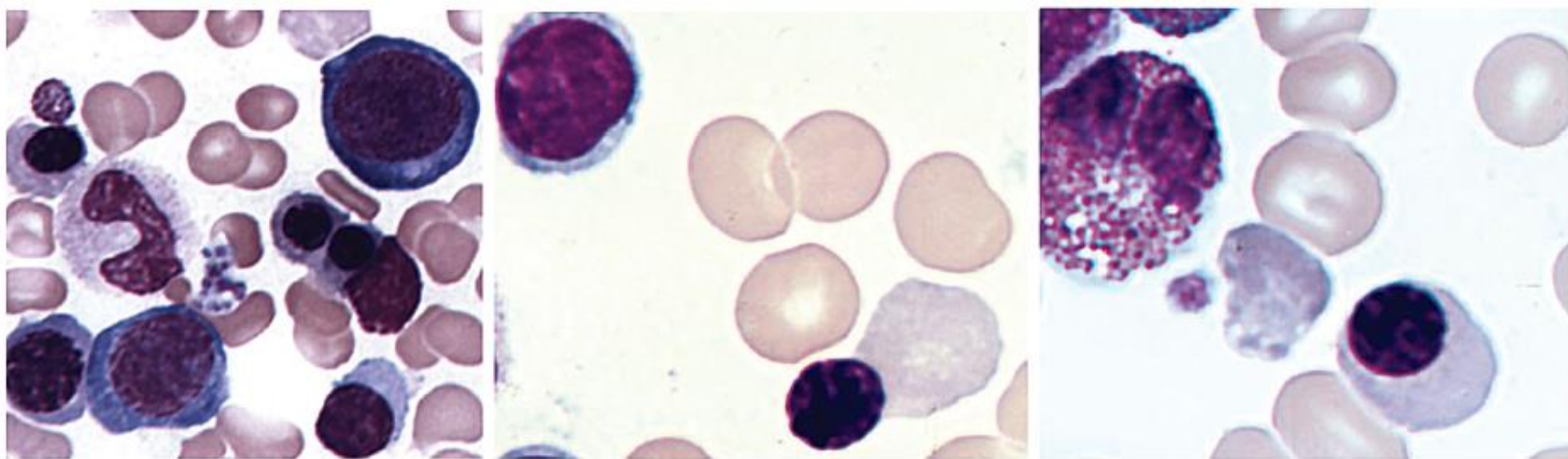
شکل ۴-۳۷: (راست و وسط) تصویر دو نورموبلاست بزرگ با کروماتین باز و ظریف، (چپ): تصویر TEM الکترونی از شبکه اندوبلاسمی وسیع (فلش) و گلزی (g) در اطراف هسته پرونورموبلاست.



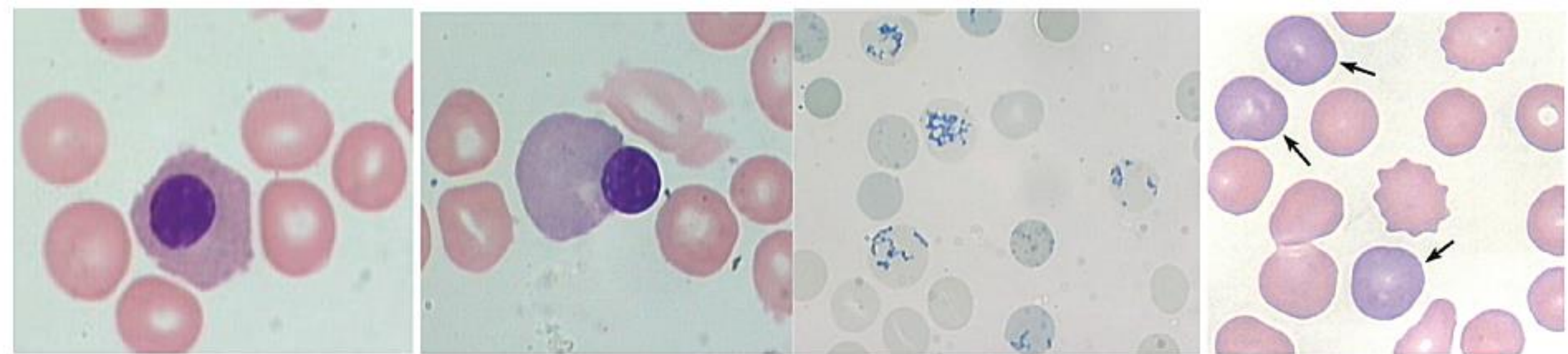
شکل ۴-۳۸: تصویر راست و وسط): تصویر سه بازویلیک نورموبلاست در کنار دو PCN و سه OCN، تصویر سمت چپ): تصویر TEM از سوراخ‌های هسته (P)، پلی‌ریبوزوم (Pr) و دستگاه گلزی (g) و کاهش شبکه اندوبلاسمی [۲۵].



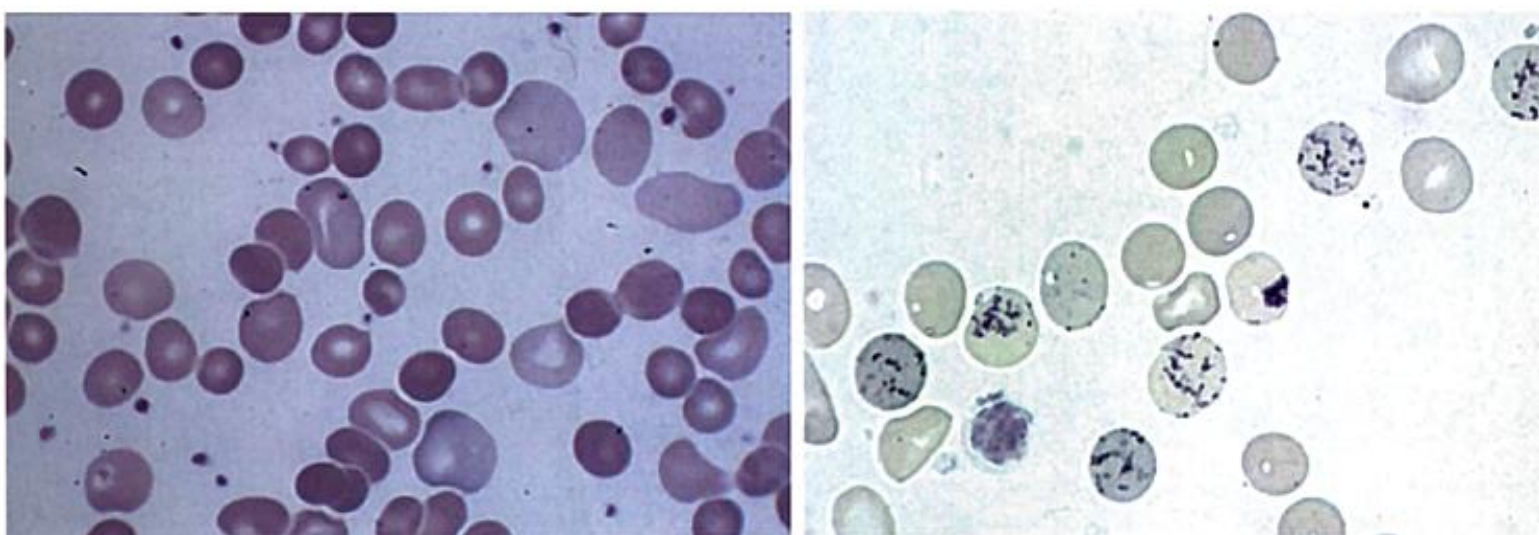
شکل ۲۷-۶: تصویر راست) دو پرونورموبلاست و یک متامیلوسیت نوتروفیلی، چپ)، یک بازوفیلیک نورموبلاست (B) و دو پلی کروماتوفیلیک نورموبلاست (P) و ۶ اورتوکروماتوفیلیک نورموبلاست.



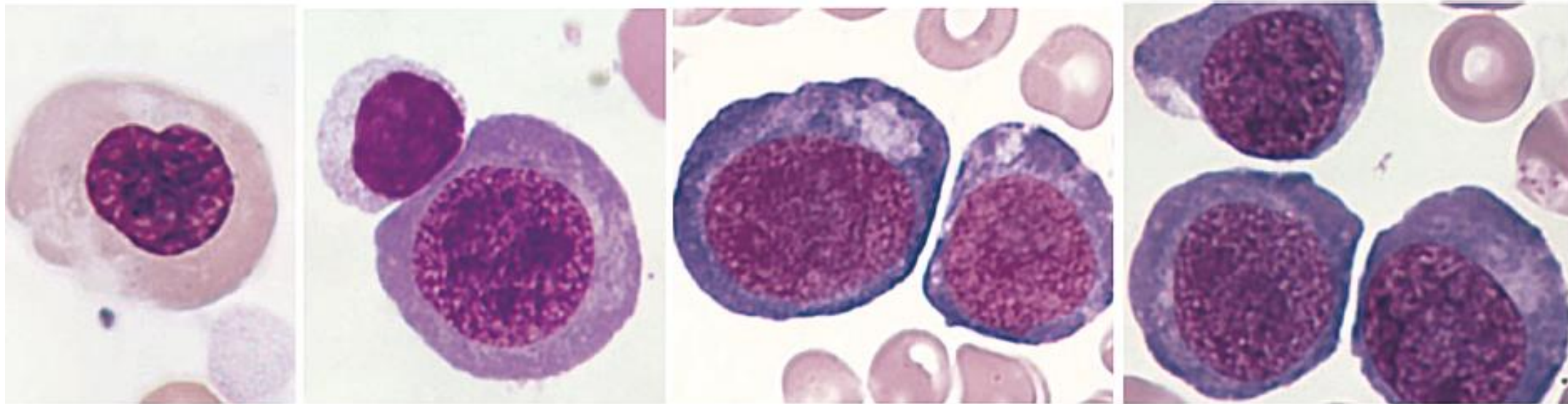
شکل ۲۷-۷: تصویر راست) یک اورتوکرومایک نورموبلاست و یک ائوزینوفیل، تصویر وسط) یک اورتوکرومایک نورموبلاست در حال خارج کردن هسته و تصویر چپ) یک پرونورموبلاست، یک بازوفیلیک نورموبلاست، یک پلی کروماتوفیلیک نورموبلاست، سه اورتوکرومایک نورموبلاست در کنار یک پلاسماسل و یک متامیلوسیت.



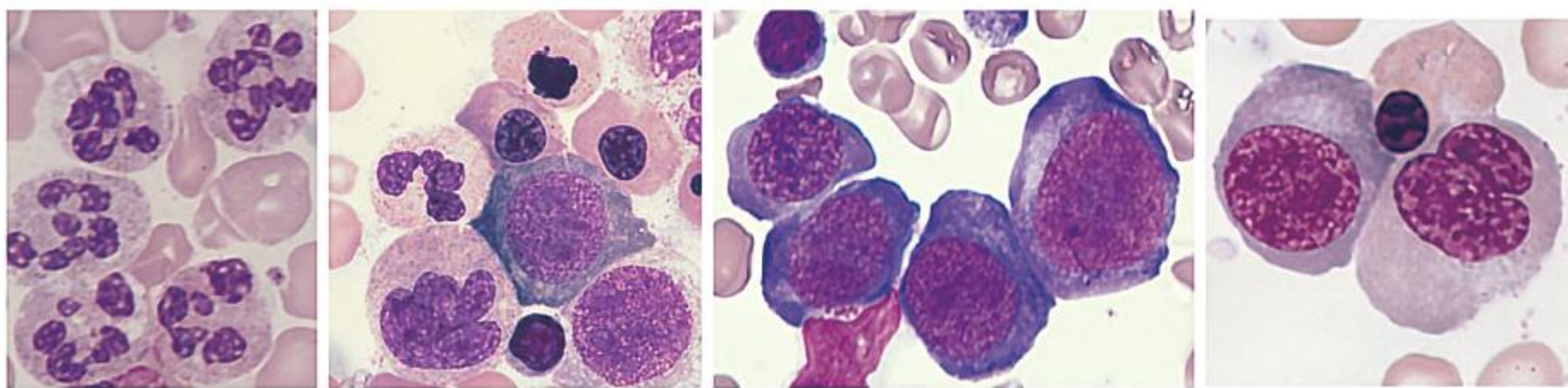
شکل ۱۱-۲۷: از راست به چپ: ۱) سلول‌های پلی کروماتوفیل (معادل رتیک در خون محیطی)، ۲) رسوب راصل سلولی رتیکولوسیت، ۳) هسته در حال خروج از OCN که به شکل گیری پیرنوسیت ختم می‌شود و ۴) یک RBC هسته‌دار یا N-RBC که معادل OCN در خون محیطی محسوب می‌شود.



شکل ۱۷-۲۷: منظره پلی کرومازی در خون محیطی رنگ شده با زنگ آمیزی رایت- گیمسا (شکل سمت چپ) و زنگ آمیزی حیاتی BCB از همان بیمار که رتیکولوسیتوز مشخصی را نشان می‌دهد (شکل سمت راست).

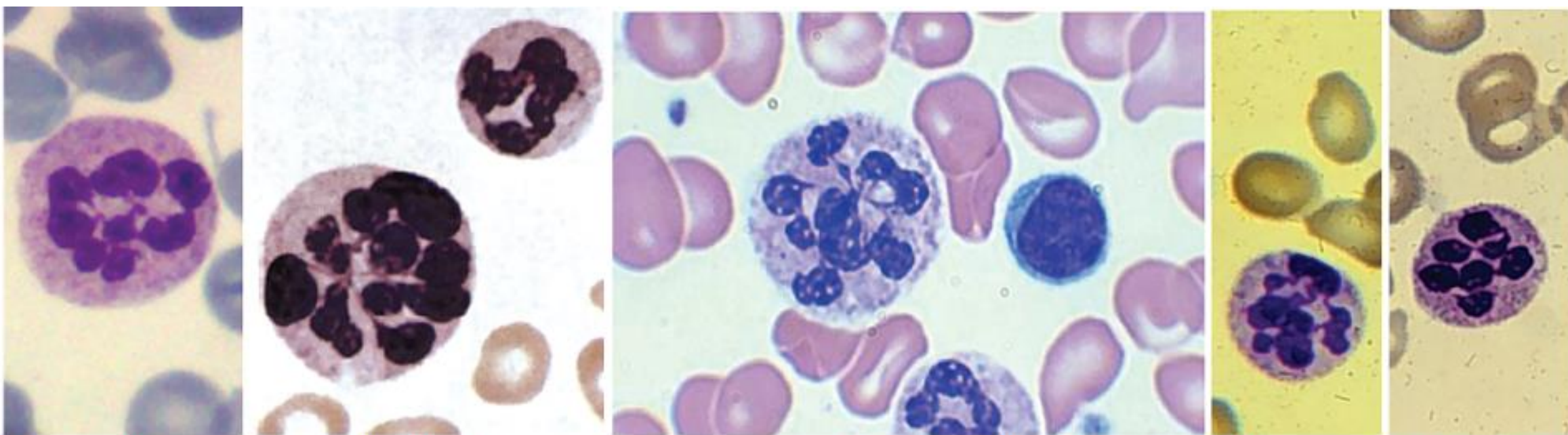


شکل ۱۵-۳۷: از راست به چپ: ۱) پرمگالوبلاست، ۲) بازو菲لیک مگالوبلاست، ۳) پلی کروماتوفیلیک مگالوبلاست و ۴) اورتوکروماتوفیلیک مگالوبلاست [۲۵]

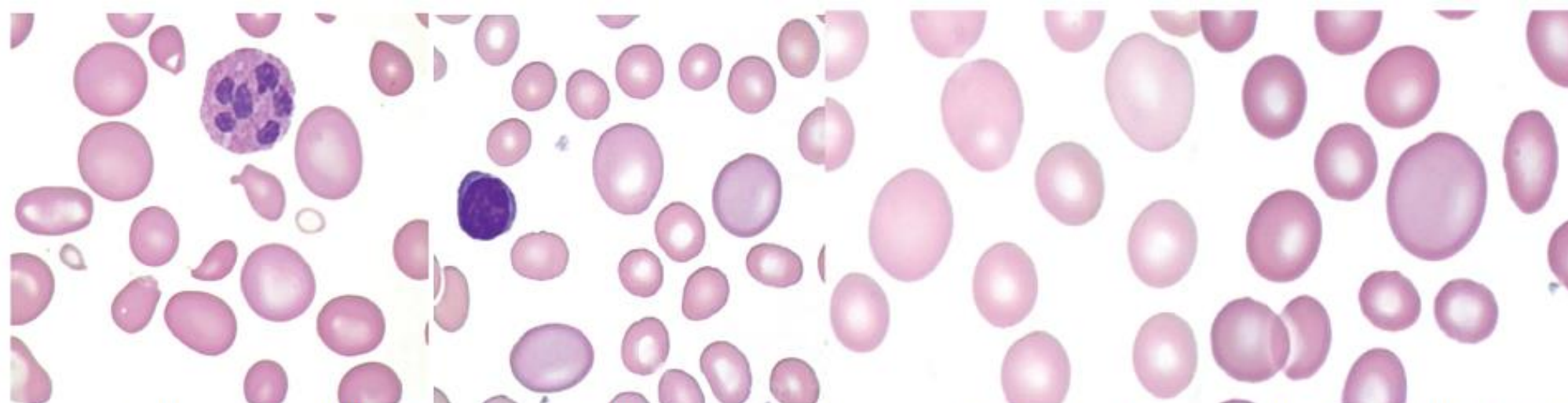


شکل ۱۶-۳۷: از راست به چپ: ۱) بازو菲لیک، پلی کروماتوفیلیک و اورتوکروماتوفیلیک مگالوبلاست در حال خروج هسته، ۲) پرمگالوبلاست، بازو菲لیک مگالوبلاست و پلی کروماتوفیلیک، ۳) جایان
باند، بازو菲لیک و چندین اورتوکروماتوفیلیک مگالوبلاست به همراه یک هسته پیکنوتیک و ۴) نوتروفیل های هایپرسگماته و یک انوزینوفیل در آنمی مگالوبلاستیک ناشی از فقر Vit-B12

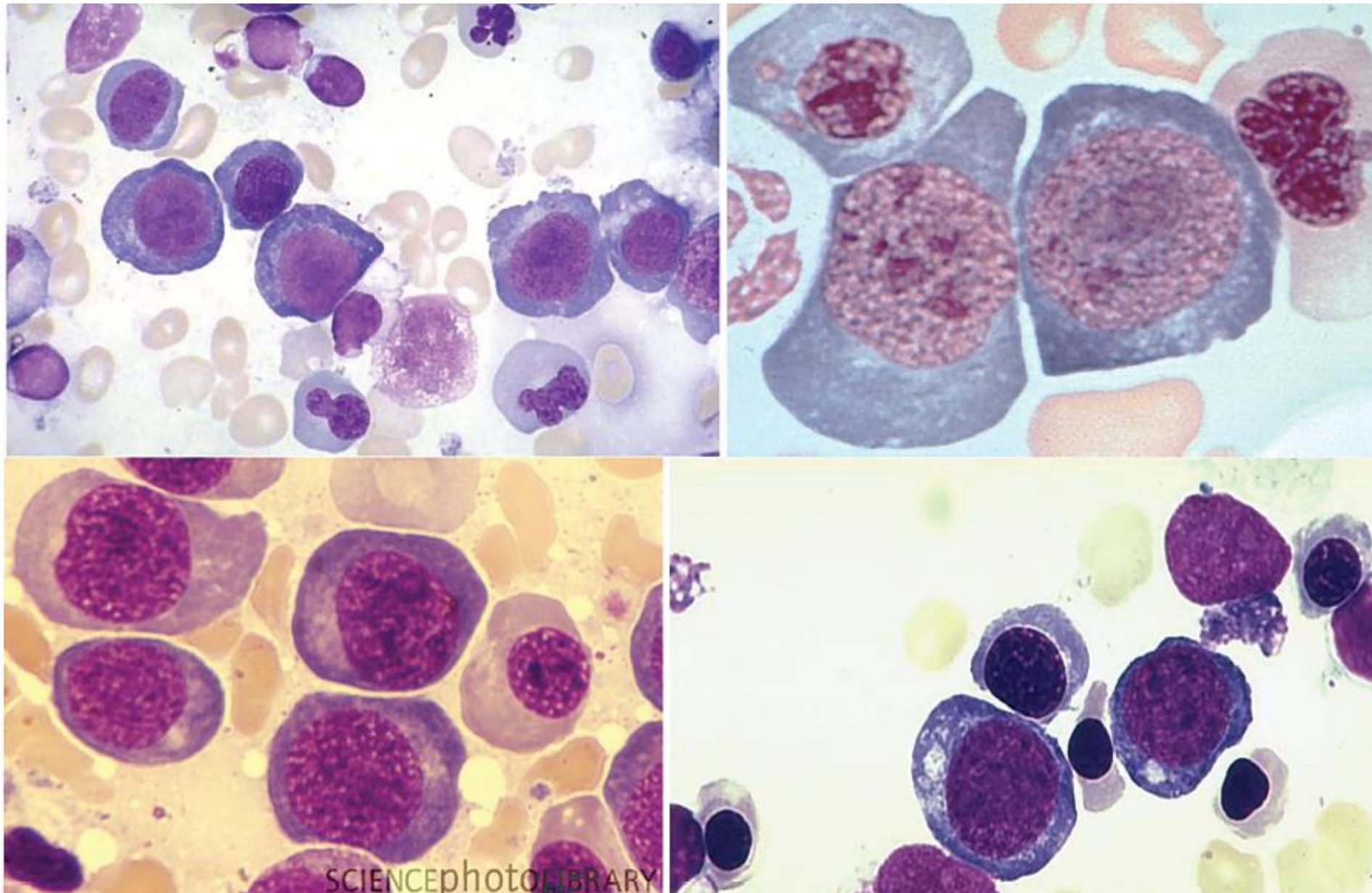
جدول ۴-۴: ترتیب ظهور علایم آزمایشگاهی در آنما مگالوبلاستیک ناشی از فقر فولات [۶]	هفته
کاهش فولات سرم	۳ هفته
افزایش نوتروفیل هیپرسگماته در BM	۵ هفته
افزایش نوتروفیل هیپرسگماته در خون، افزایش سلولهای میتوتیک، افزایش J-BNB در BM	۷ هفته
افزایش جایانت متامیلوسیت و J-PcNB در BM	۱۰ هفته
افزایش هموسیستئین و FIGLU	۱۳ هفته
کاهش فولات داخل اریتروسیت	۱۷ هفته
ظهور ماکرواووالوسیت و افزایش شدید جایانت متامیلوسیت	۱۸ هفته
مگالوئید شدن BM در تمامی ردههای سلولی	۱۹ هفته
آنما مگالوبلاستیک توأم با پان سیتوبنی و افت هموگلوبین	۲۰ هفته



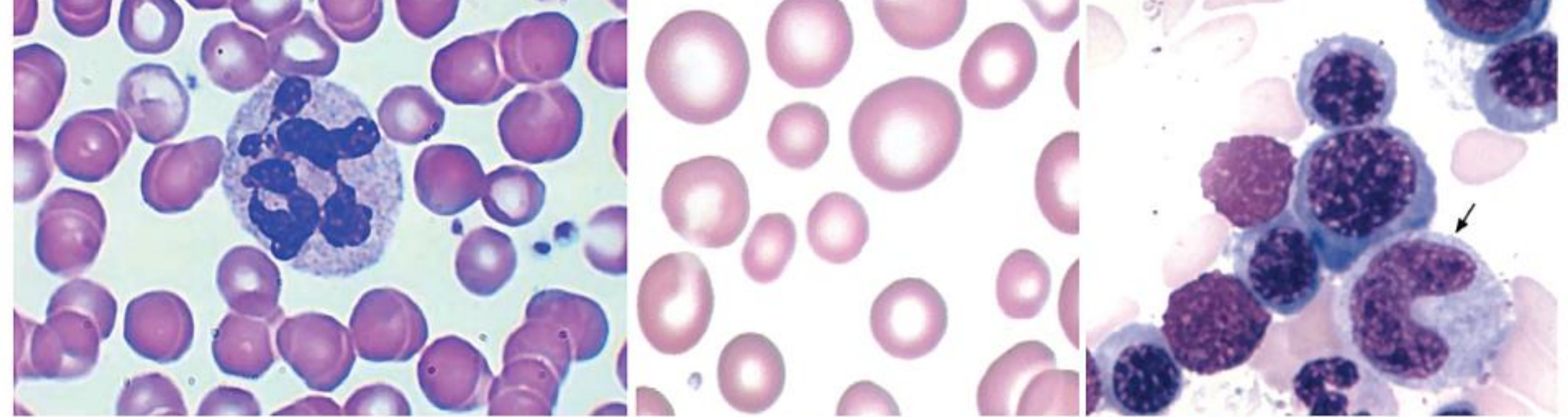
شکل ۴۱-۴۲: نوتروفیل‌های هیپرسگمانه یا ماکرویلیسیت که تعداد بالای ۵٪ نوتروفیل ۵ سگمانه یا حتی یک عدد نوتروفیل هیپرسگمانه و بروز آنی مگالوبلاستیک دارد. این منظره در آنی فقر آهن شدید و چند بیماری دیگر نیز ممکن است مشاهده شود [۲۴].



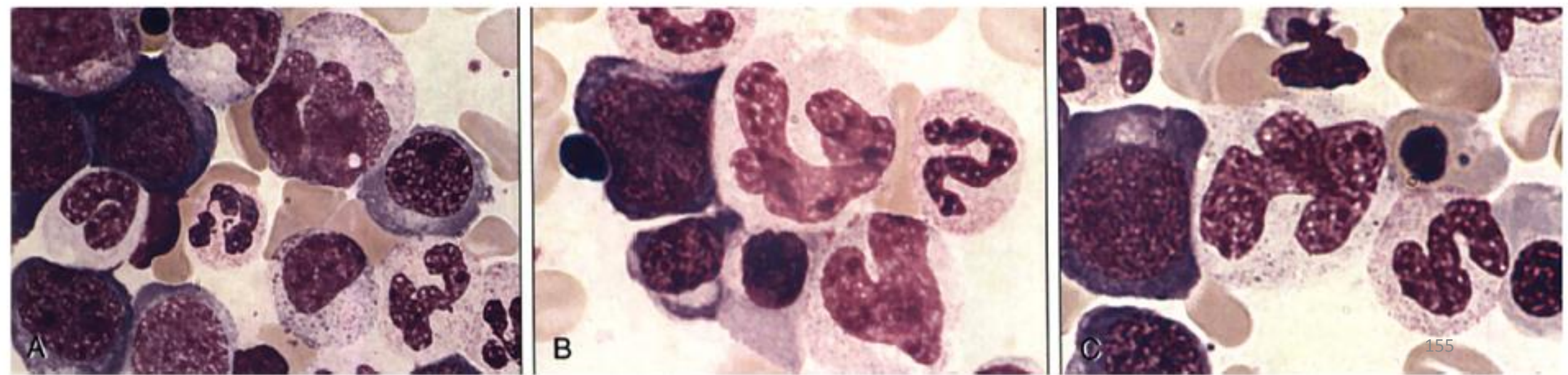
شکل ۴۳-۴۴: ماکروسیتوز محسوس اریتروسیت‌ها که با درجات متوسطی از آنیزوسیتوز، یوئیکیلوسیتوز و حضور ماکرواووالوسیت‌ها و سلول‌های داکروسیت همراه می‌باشد. برای درک ماکروسیتوز، سلول‌های نرمال را در کنار آنها مقایسه کنید. نکته جالب اینکه علی‌رغم ماکروسیتوز و افزایش MCV، تعداد قابل توجهی میکروسیت نیز رویت می‌شود.

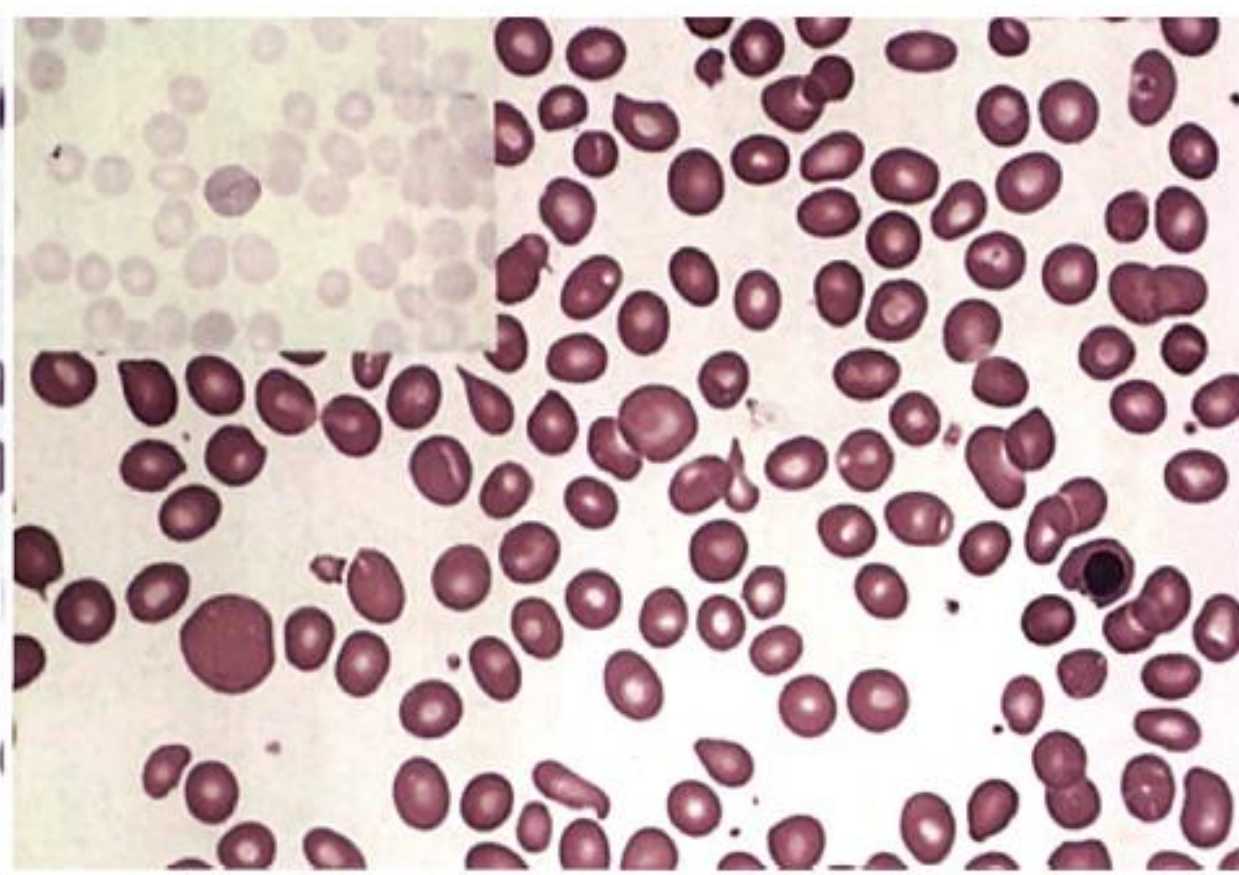
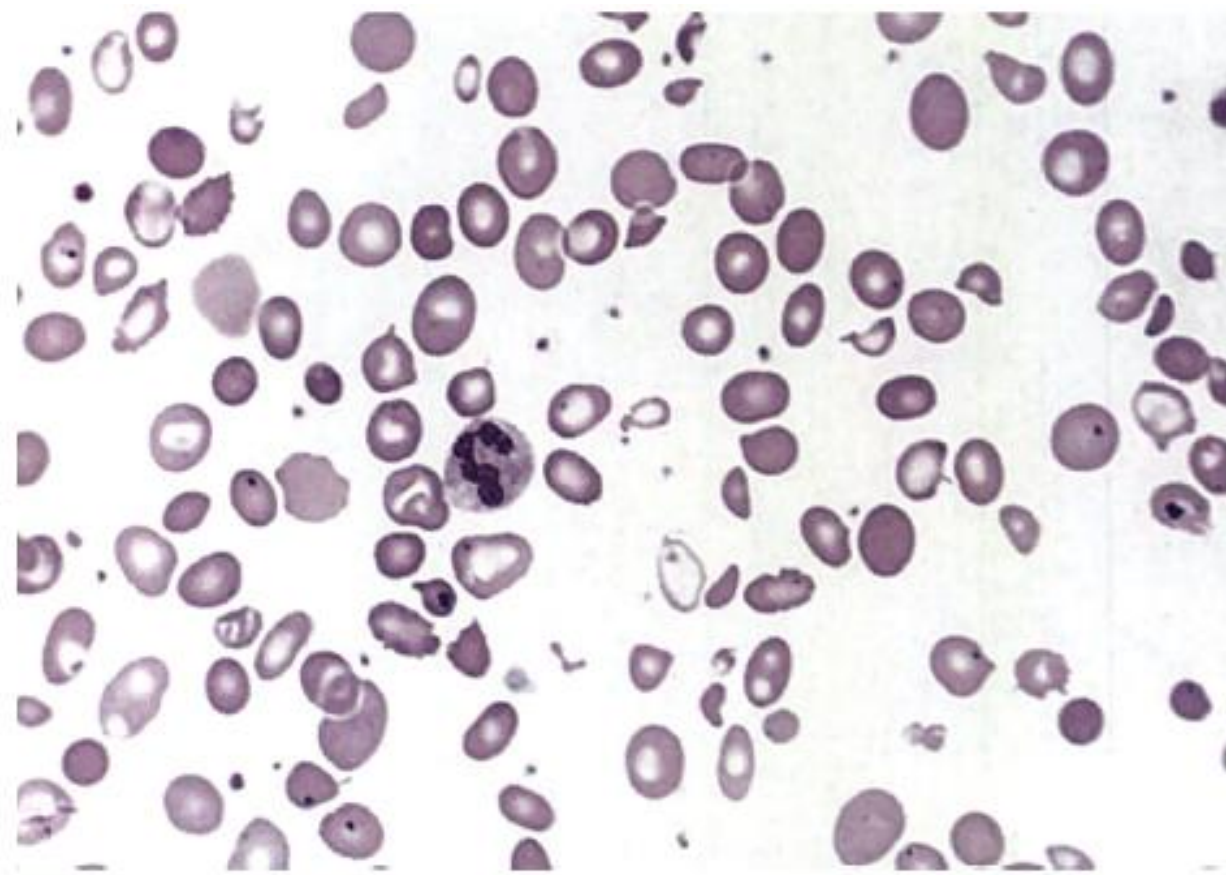


شکل ۴-۴۳: نوروموبلاست‌های بزرگ و جایانت (به ویژه J-PcNB و J-BNB) در آنمی مگالوبلاستیک که با درجات بالایی از دیسپلازی اریتروئیدی و کروماتین لانه زنبوری (حتی در OcNB) همراه می‌باشد.

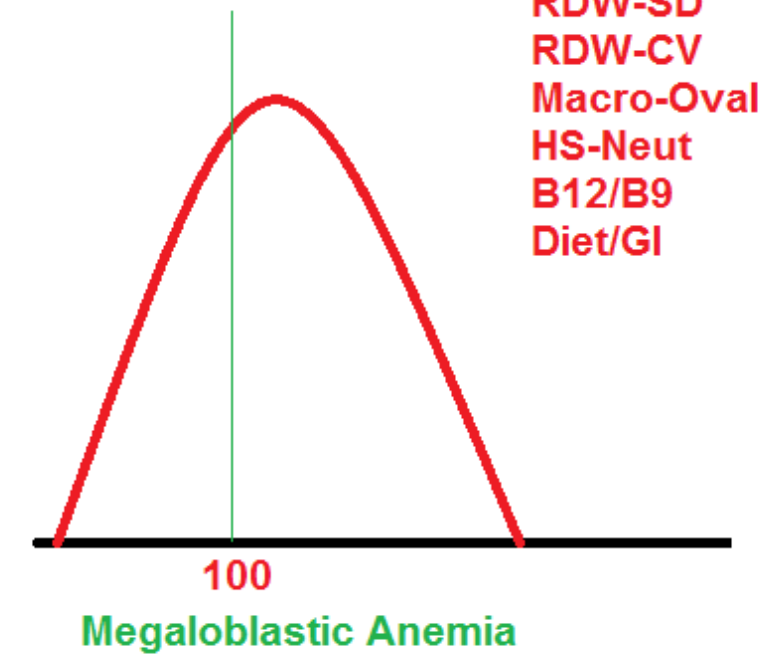
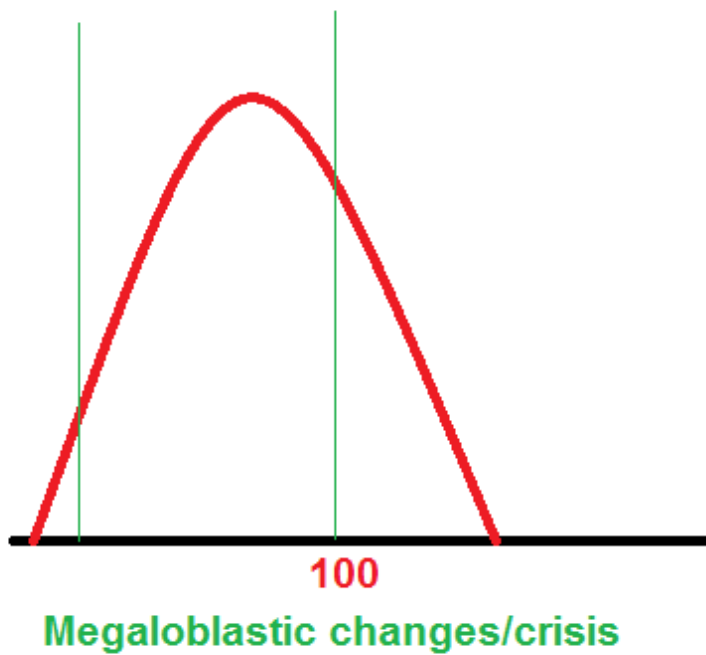
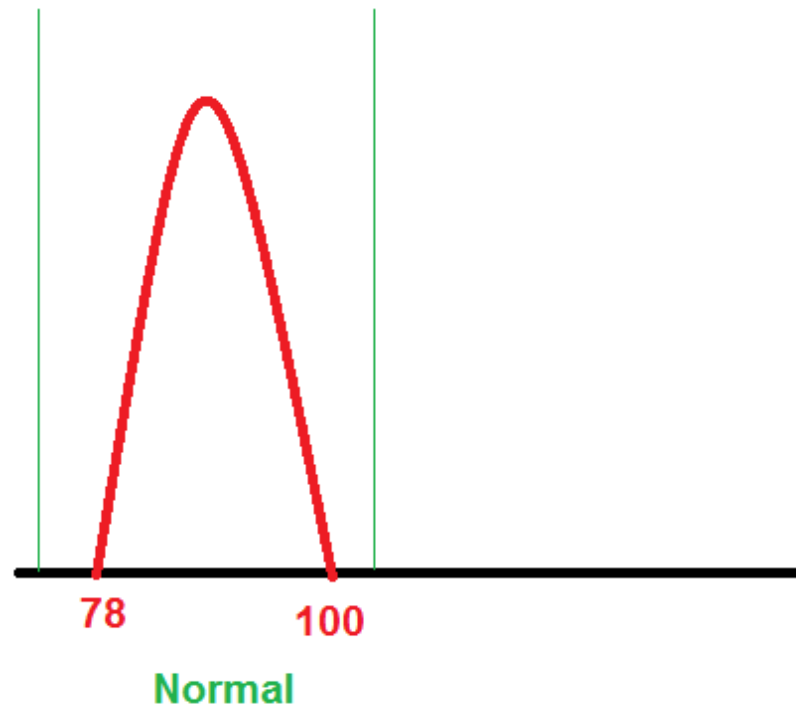


شکل ۴۶-۴۲: راست) جایانت متامیلوسیت، وسط) ماکروسیتوز و چپ) نوتروفیل هیپرسگماته در آنمی مگالوبلاستیک

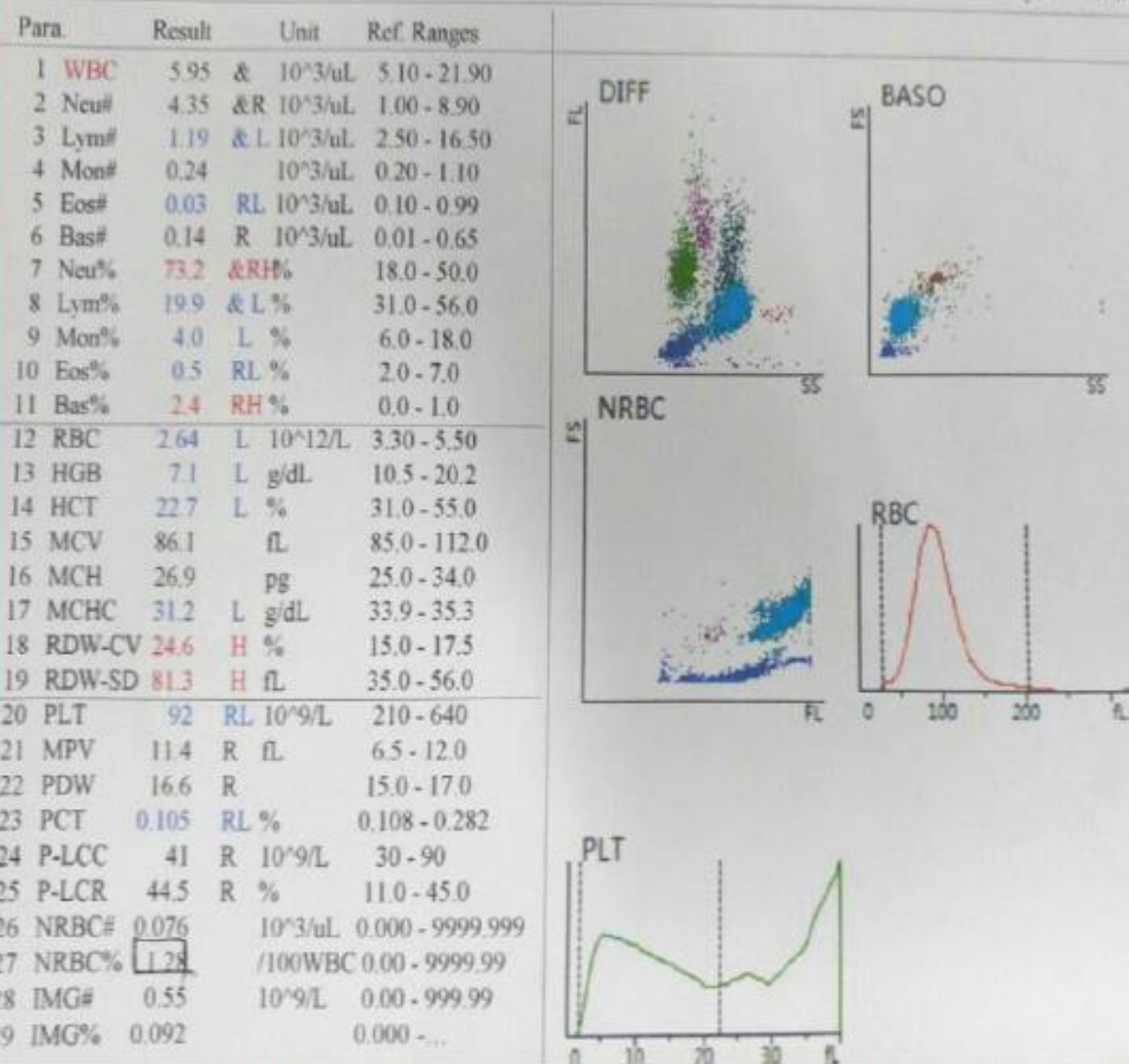




شکل ۴۲-۴۹: راست) آنیزوسیتوز متوسط به همراه کابوت رینگ (تصویر راست-بالا)، داکروسیت، میکروسیت و N-RBC. تصویر چپ) آنیزوسیتوز شدید به همراه اجسام هاول جولی در بیمار مبتلا به آنمی پرنسپیوز و آتروفی طحالی

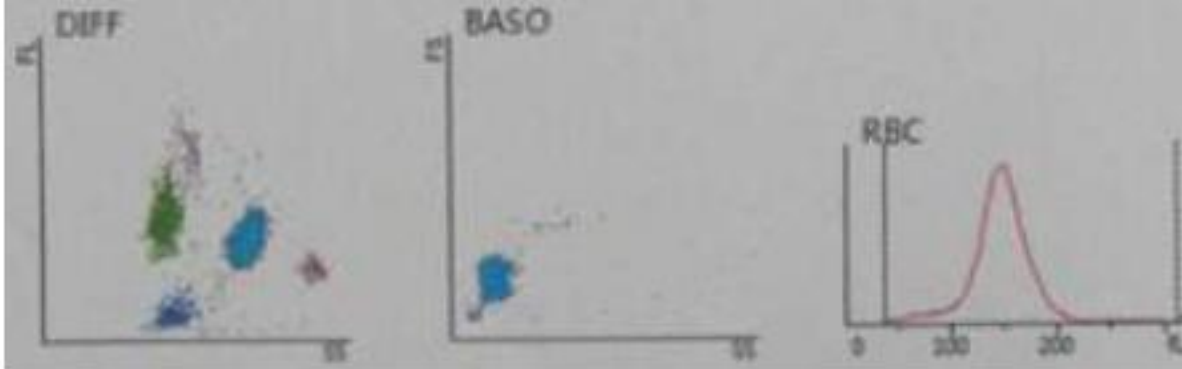


RDW-SD
RDW-CV
Macro-Oval
HS-Neut
B12/B9
Diet/GI

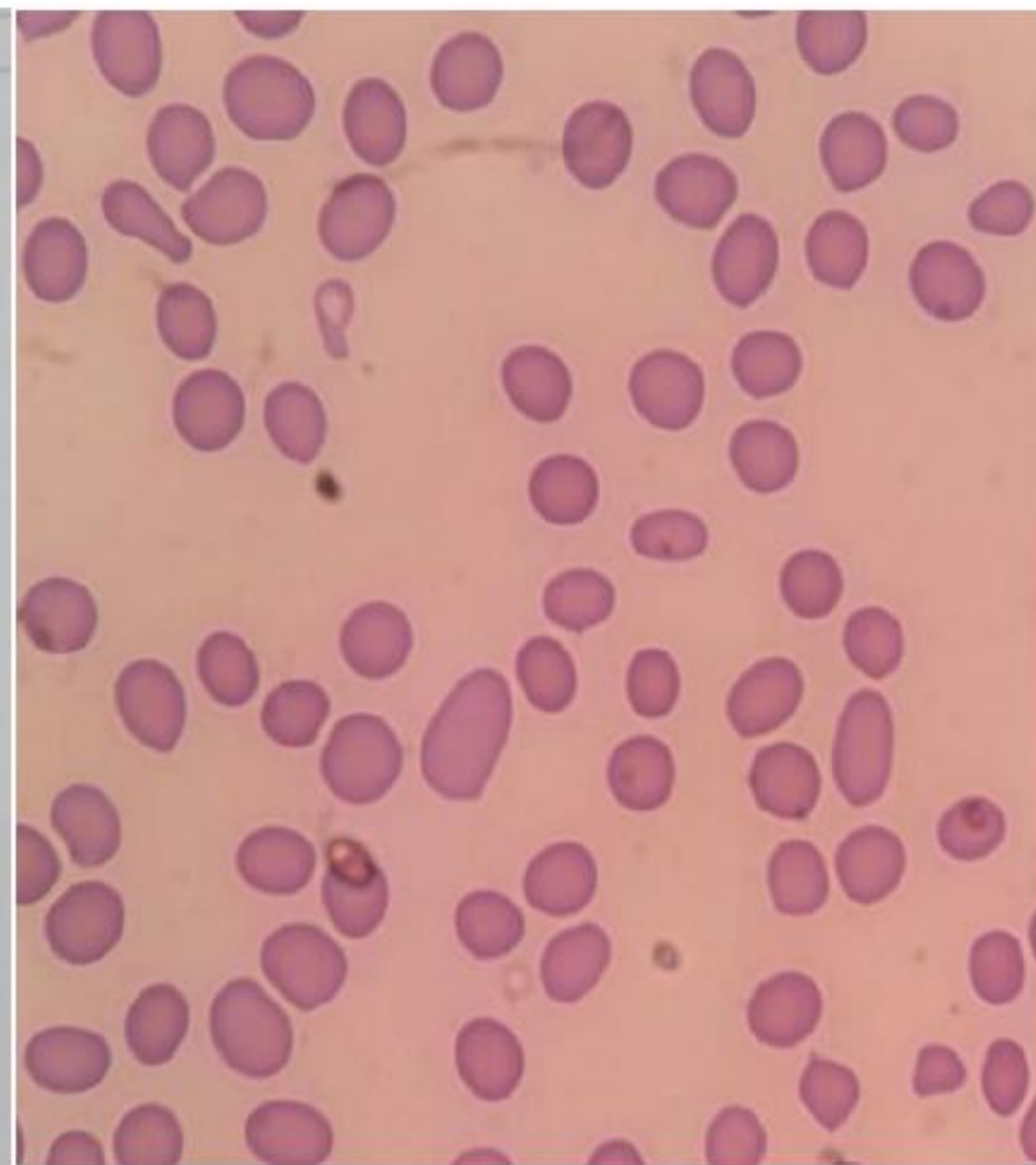


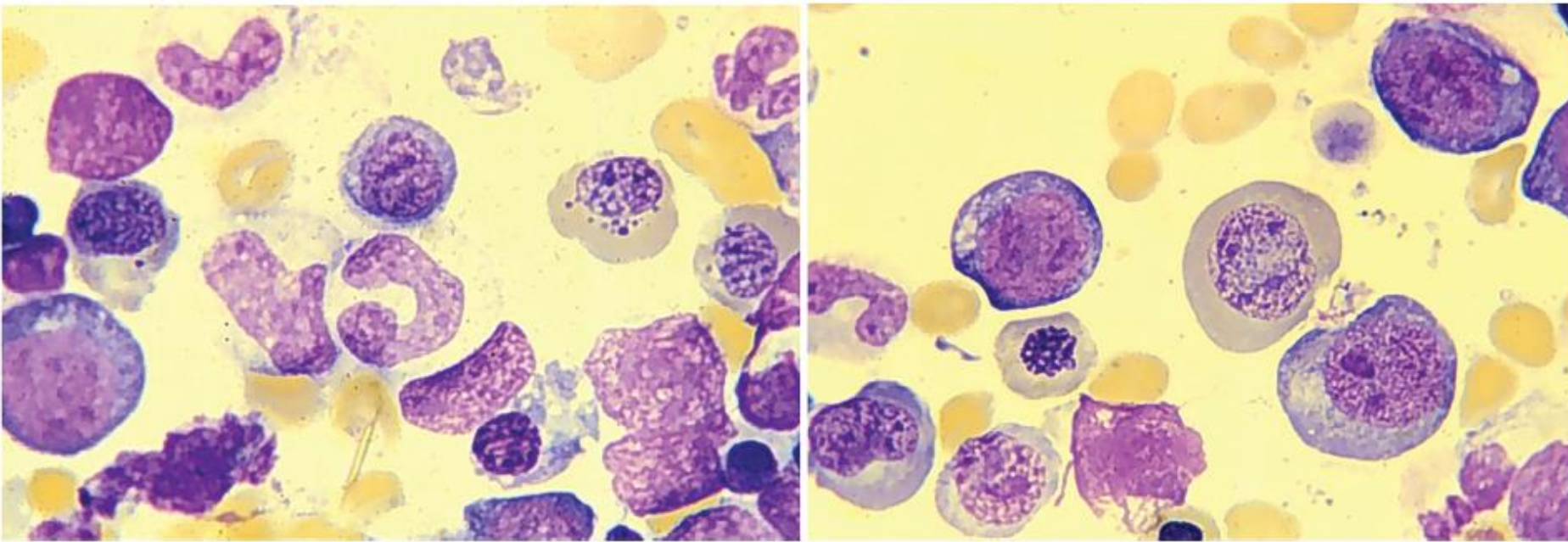
شکل ۱۰-۶۴: کریز مکالوبلاستیک در بیمار مبتلا به آنی میکروسیتیک-هیپوکروم که از یک طرف باعث مخفی شدن MCV پایین شده و از طرف دیگر باعث افزایش محسوس RDW شده است که وجود مقادیر بالای RDW در چنین مواردی حضور نوعی دی مورفیسم پنهان را آشکار می کند. در این بیمار هیستوگرام RBC دو قله ای یا Bimodal PBS نبوده ولی PCT حاکی از دو جمعیتی بودن بارز دارد. در آنی آپلاستیک شدید در جاتی از پانسیتوپنی دیده می شود که این بیمار آنی و ترموبوسیتوبنی واضحی را نشان می دهد.¹⁵⁸

Para.		Result	Unit	Ref. Ranges
1	WBC	3.58	$10^3/\mu\text{L}$	4.00 - 10.00
2	Neut%	2.43	$10^3/\mu\text{L}$	2.00 - 7.00
3	Lym%	0.94	$10^3/\mu\text{L}$	0.80 - 4.00
4	Mon%	0.09	$10^3/\mu\text{L}$	0.12 - 1.20
5	Eos%	0.11	$10^3/\mu\text{L}$	0.02 - 0.50
6	Bas%	0.01	$10^3/\mu\text{L}$	0.00 - 0.10
7	Neu%	68.0	%	50.0 - 70.0
8	Lym%	26.2	%	20.0 - 40.0
9	Mon%	2.5	%	3.0 - 12.0
10	Eos%	3.0	%	0.5 - 5.0
11	Bas%	0.3	%	0.0 - 1.0
12	RBC	1.76	$10^{12}/\text{L}$	3.50 - 5.50
13	HGB	8.0	g/dL	11.0 - 16.0
14	HCT	24.1	%	37.0 - 54.0
15	MCV	136.5	fL	80.0 - 100.0
16	MCH	45.6	pg	27.0 - 34.0
17	MCHC	33.4	g/dL	32.0 - 36.0
18	RDW-CV	13.4	%	11.0 - 16.0
19	RDW-SD	73.2	fL	35.0 - 56.0
20	PLT	137	$10^9/\text{L}$	100 - 300

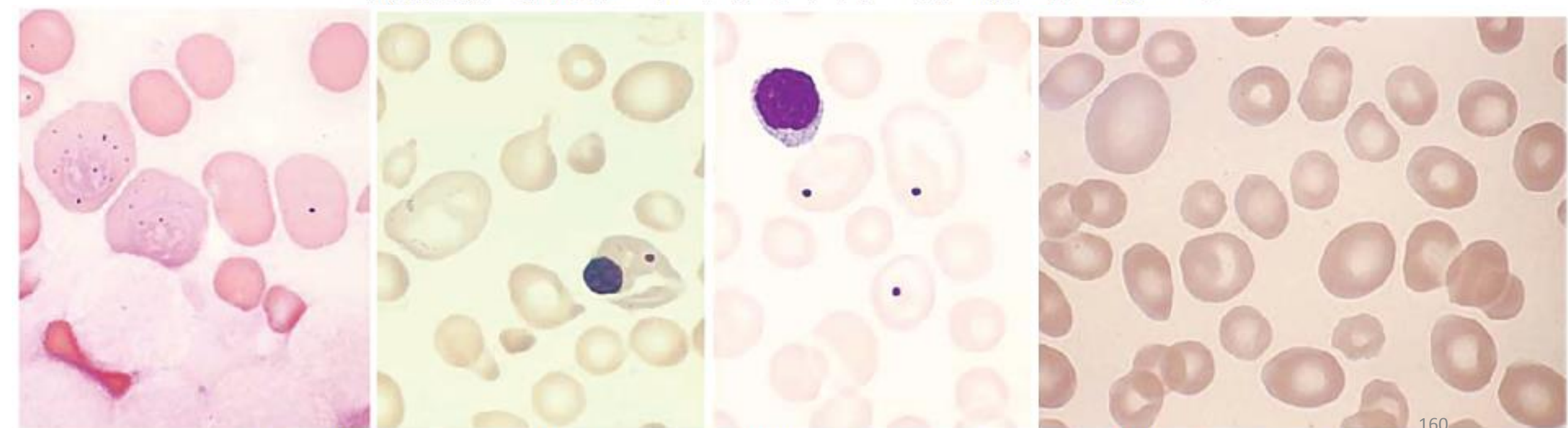


شکل ۱۳۶-۱۰: اثر ماکروسیتوز شدید در کاهش شدید و کاذب RDW-CV علی رغم افزایش محسوس و واقعی RDW-SD

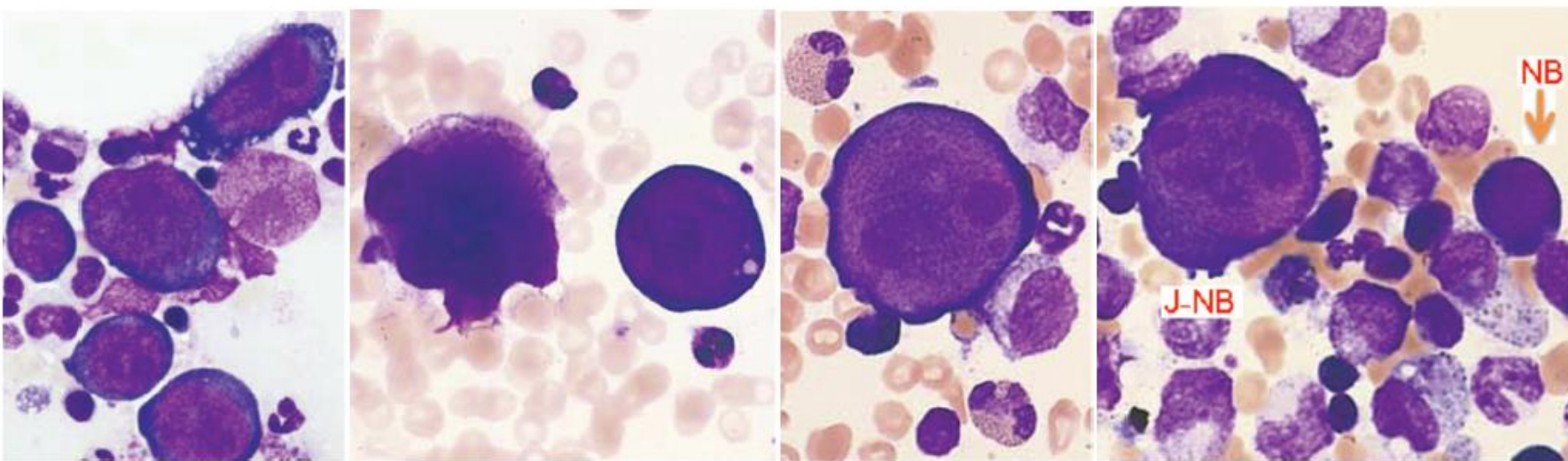




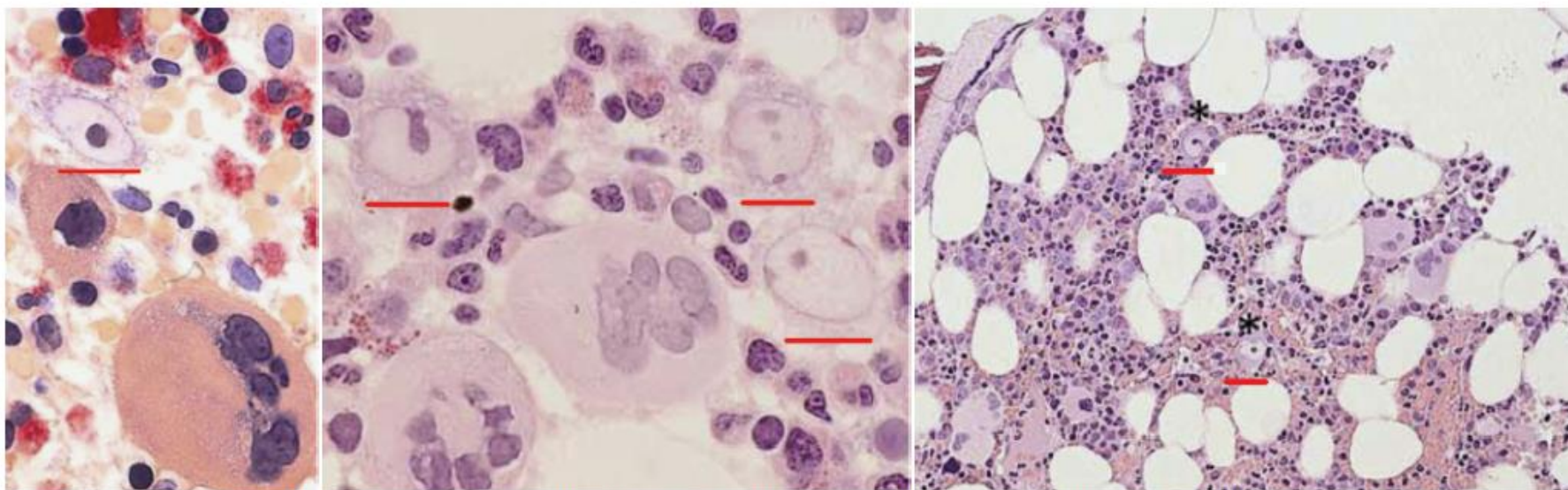
شکل ۴۲-۵۱: انواع مختلف جایانت نورموبلاست و جایانت متامیلوسیت در آنمی مگالوبلاستیک که از هسته نارس و کروماتین لانه زنبوری نیز برخوردار هستند.



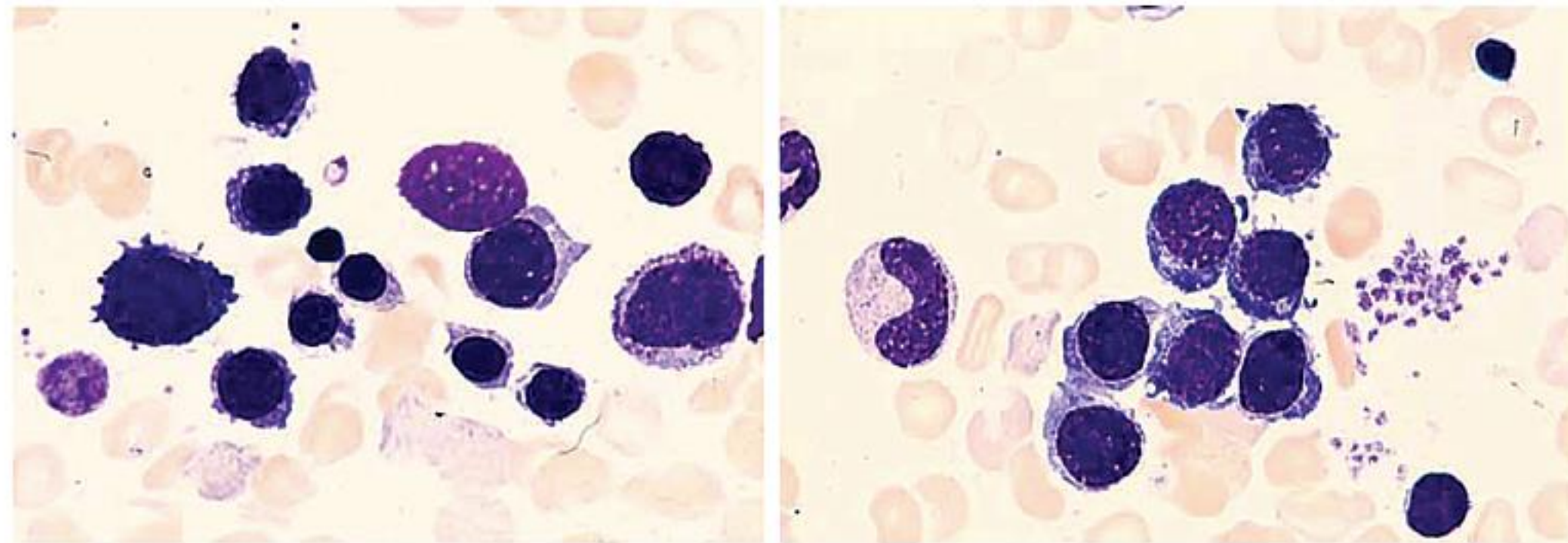
شکل ۴۲-۵۲: ۱) ماکروسیتوز، ۲) هاول جولی، ۳) ماکروسیتوز، هاول جولی و ۴) افزایش سیدروزوومها در نورموبلاست‌های جایانت (رنگ آمیزی پرل)



شکل ۲۰-۳۹: حضور جایانت نورموبلاست (J-NB) در آسپیراسیون BM بیمار مبتلا به اریتروblastوپنی ناشی از عفونت با PV-B19: به اندازه J-NB در مقایسه با NB نرمال (شکل ۱)، انوزینوفیل (شکل ۲)، مگاکاریوسیت (شکل ۳) و یک پرومیلوسیت (شکل ۴) دقت کنید [۲۹].



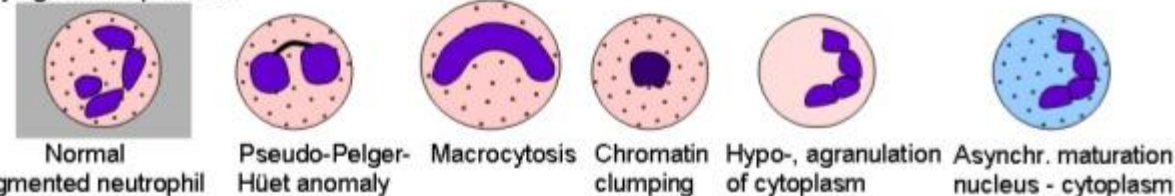
شکل ۲۰-۴۰: حضور جایانت نورموبلاست (J-NB) در بیوپسی از BM بیمار مبتلا به اریتروblastوپنی ناشی از عفونت با PV-B19 که با رنگ H&E رنگ آمیزی می-شوند، هسته سلول‌های NB-J بسیار کمرنگ، هستک آنها بسیار مشخص و سیتوپلاسم آنها نیز کمرنگ دیده می‌شود. خطوط قرمز در زیر J-NB‌ها جایگاه آنها را در بیوپسی مشخص نموده است. تصویر سوم با رنگ CAE رنگ آمیزی شده است. در هر سه تصویر مگاکاریوسیت‌های بزرگی نیز دیده می‌شوند.



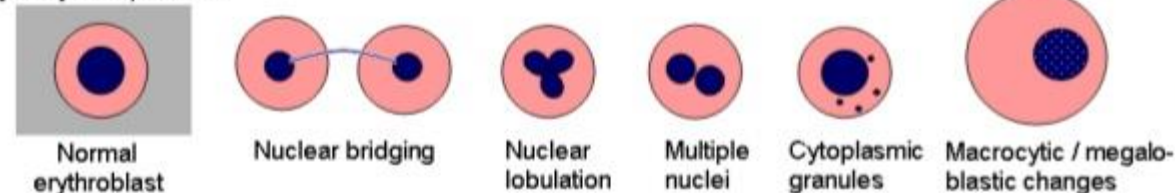
شکل ۳۷-۳۸: بازو菲لیک نورموبلاست‌های پر تعداد، کوچک، نارس با دیواره نامنظم و ریش‌ریش و اورتوکروماتوفیلیک نورموبلاست‌های غیر‌هموگلوبینه با سیتوبلاسم کوچک و هتروژن. در این نورموبلاست‌ها یک عدم هماهنگی مایبن بلوغ هسته با سیتوبلاسم دیده می‌شود. به طوری که هسته فرمی بالغ داشته ولی سیتوبلاسم نارس، کوچک و بازو菲لیک باقی می‌ماند (اریتروبیوتز میکرونورموبلاستیک). همان‌طوری که مشهود است هیچ سیدروبلاست یا سیدروسیتی در BM بیماران مشاهده نمی‌شود.

Dysplasia in Myelodysplastic Syndrome

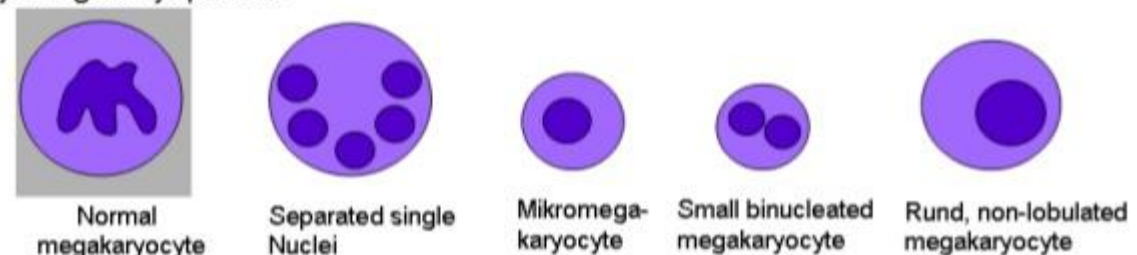
Dysgranulopoiesis



Dyserythropoiesis

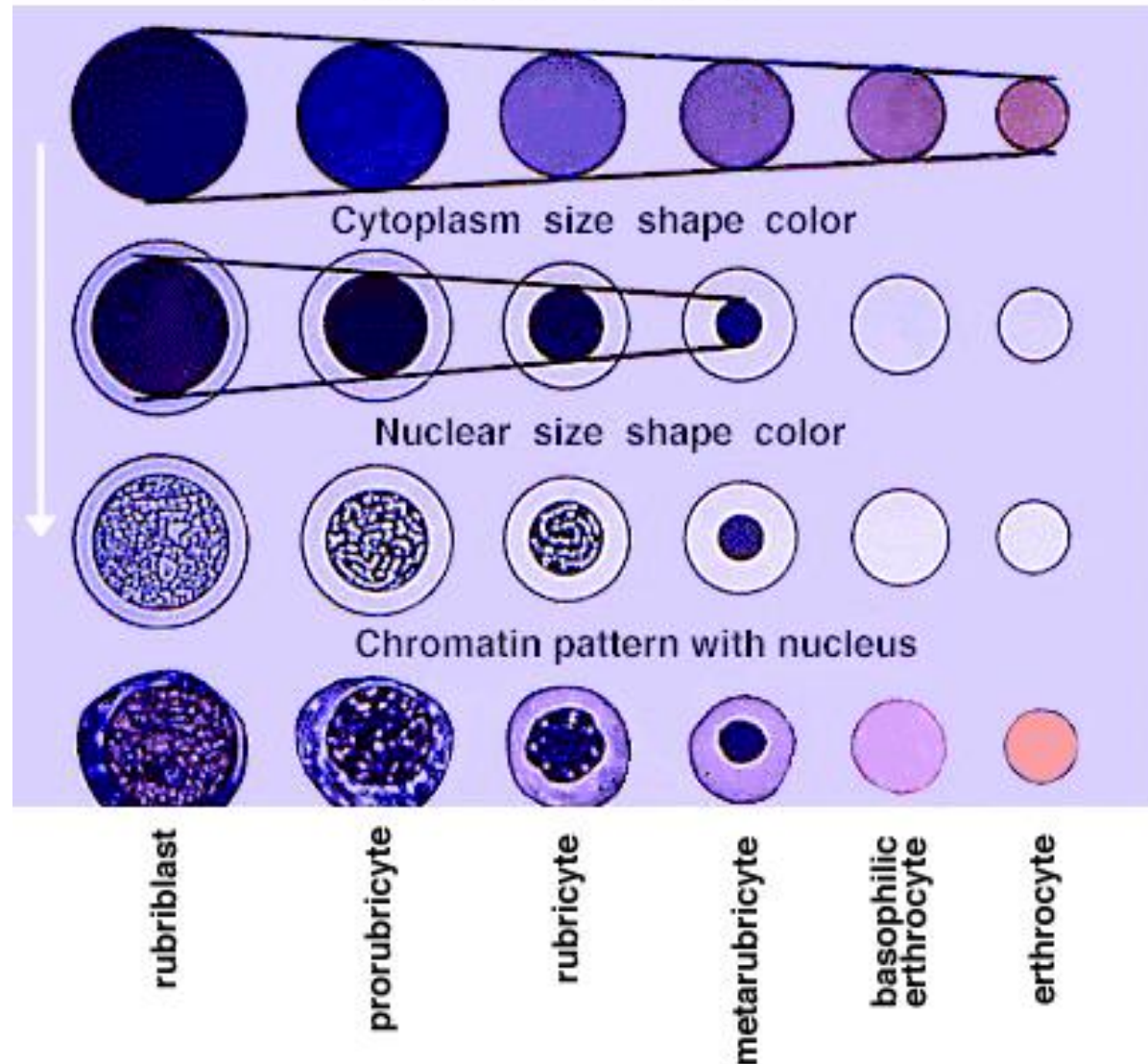


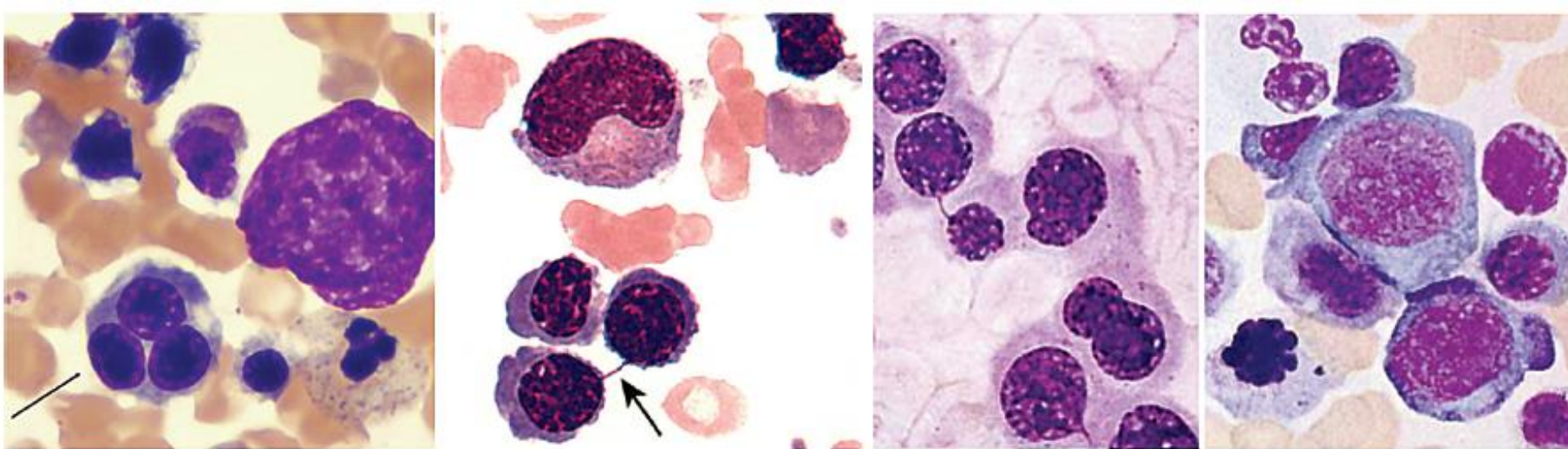
Dysmegakaryopoiesis



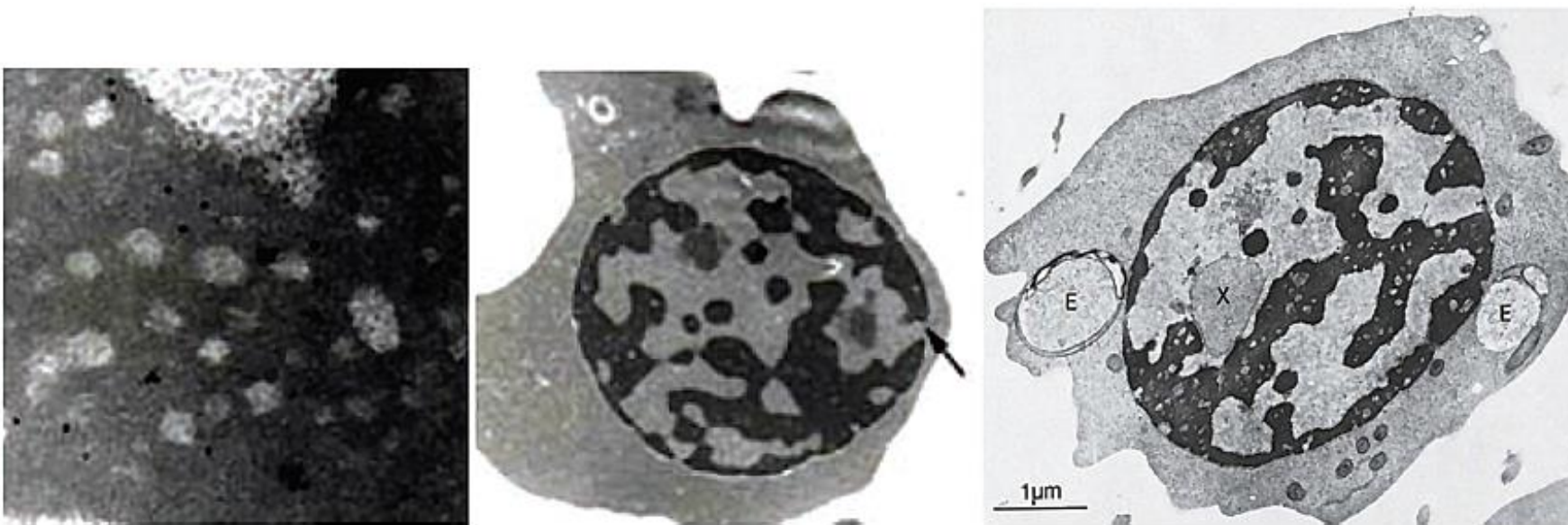
Cantù Rajnoldi et al. Ann Hematol 2005;84:429-33

RBC Maturation Series

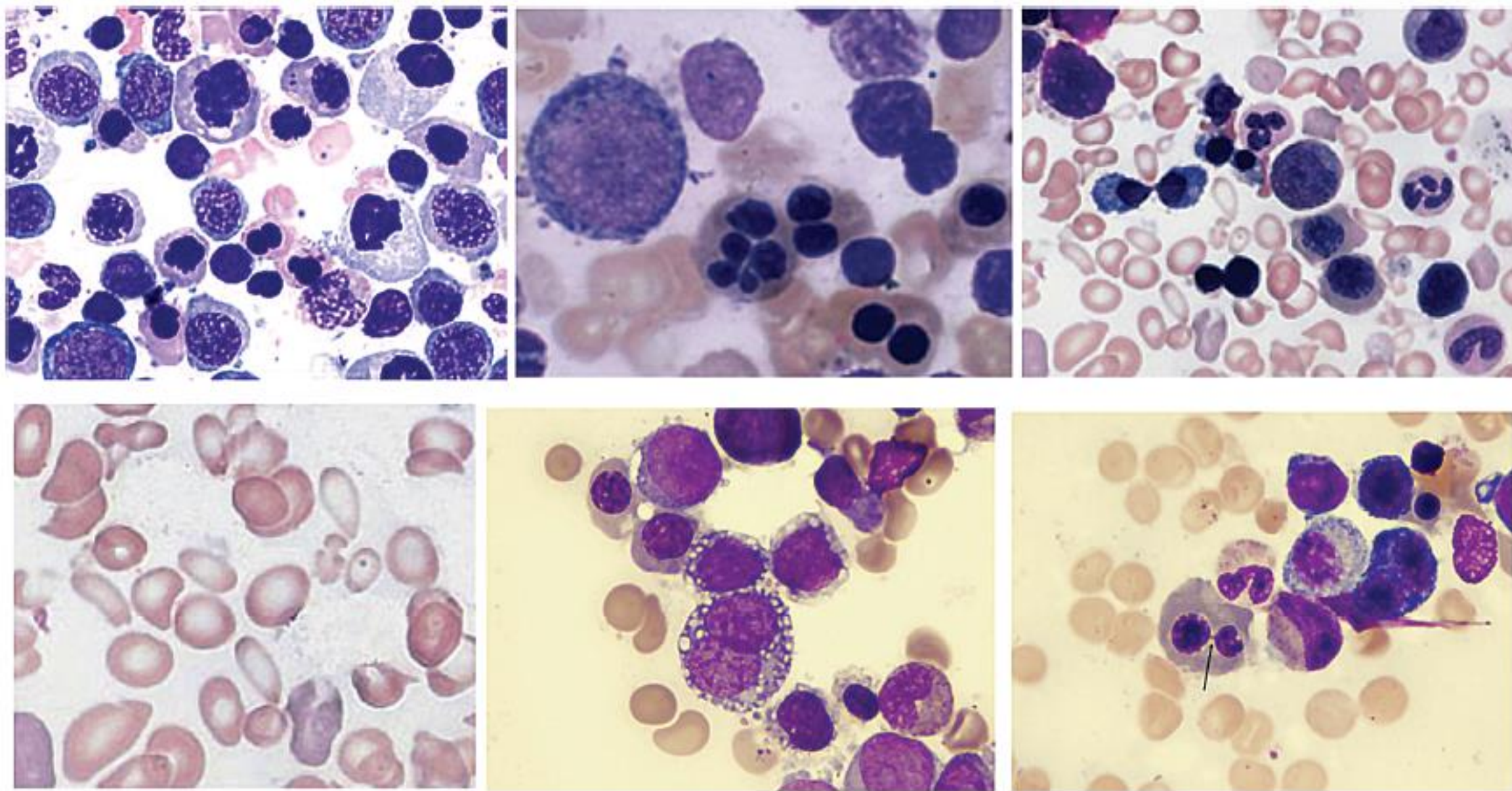




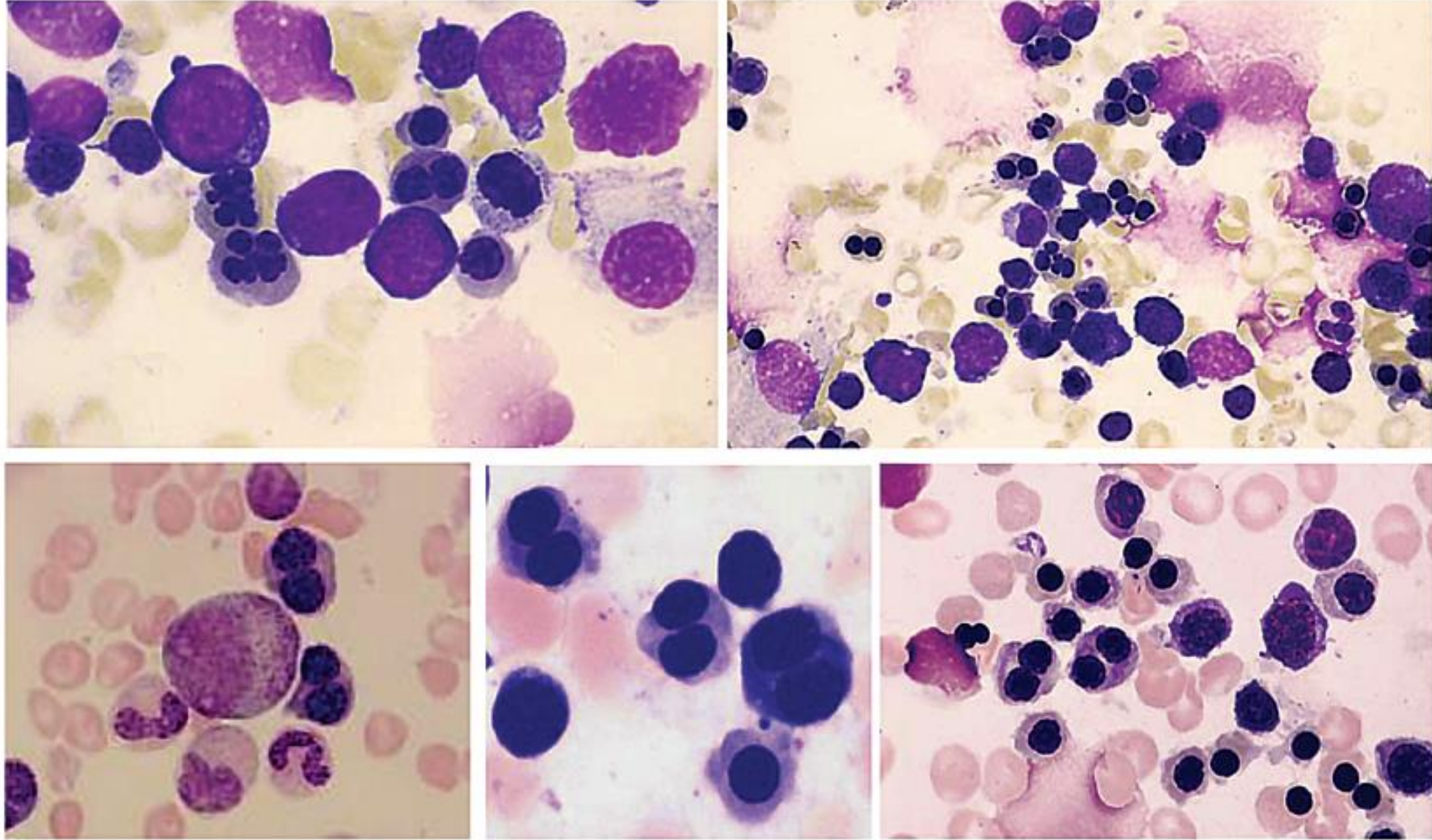
شکل ۳-۳۹: از راست به چپ: ۱) نورموبلاست مگالوئید با کروماتین اسفنجی و لانه‌زنبوری و میتوزهای غیرطبیعی در نورموبلاست‌ها، ۲) پل‌های کروماتینی بین دو هسته نورموبلاست‌ها، توی هم رفگی و فرورفتگی غشای هسته و نورموبلاست‌های دوهسته‌ای، ۳) پل کروماتینی بین دو پلی کروماتوفیلیک نورموبلاست ۴) پلی کروماتوفیلیک نورموبلاست سه‌هسته‌ای [۲۵]



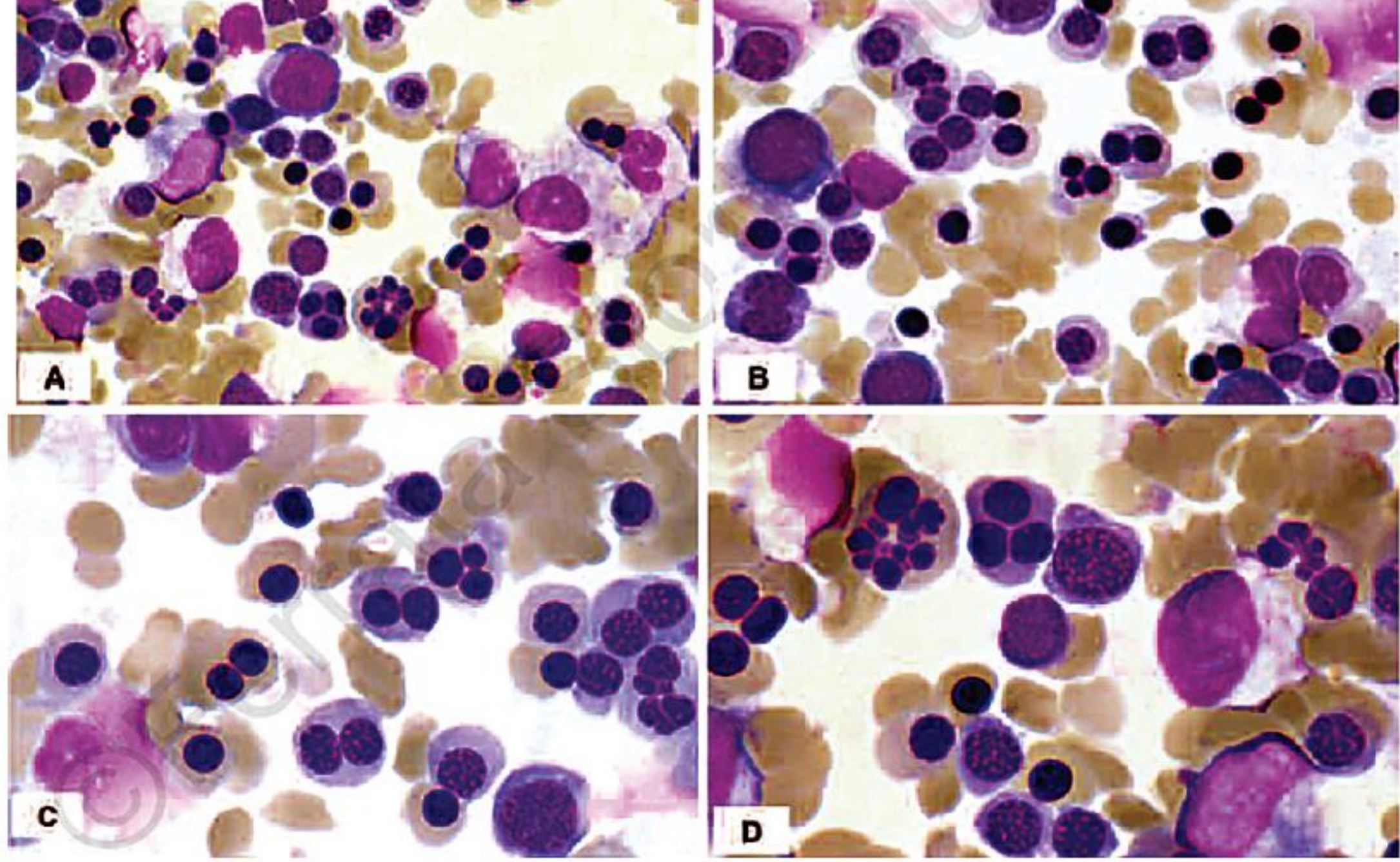
شکل ۳-۴: تصویر TEM از نورموبلاست‌های CDA-I که هتروکروماتین غیرطبیعی و اسفنجی شدن هسته (منظوره پنیر سوئیسی)، بزرگی و گشاد شدگی شدید سوراخ‌های دیواره هسته (فلشن)، اینوازینه شدن سیتوپلاسم در هسته، انتقال اندامک‌های ستوپلاسمیک به داخل هسته (X) و وجود انکلوزیون‌های سیتوپلاسمی (E) در داخل هسته نورموبلاست‌ها را نشان می‌دهد. در هسته‌های اسفنجی، لکه‌های سفیدی به صورت Punched Out نیز مشاهده می‌شود (تصویر سمت چپ) که در نورموبلاست‌های طبیعی دیده نمی‌شود.



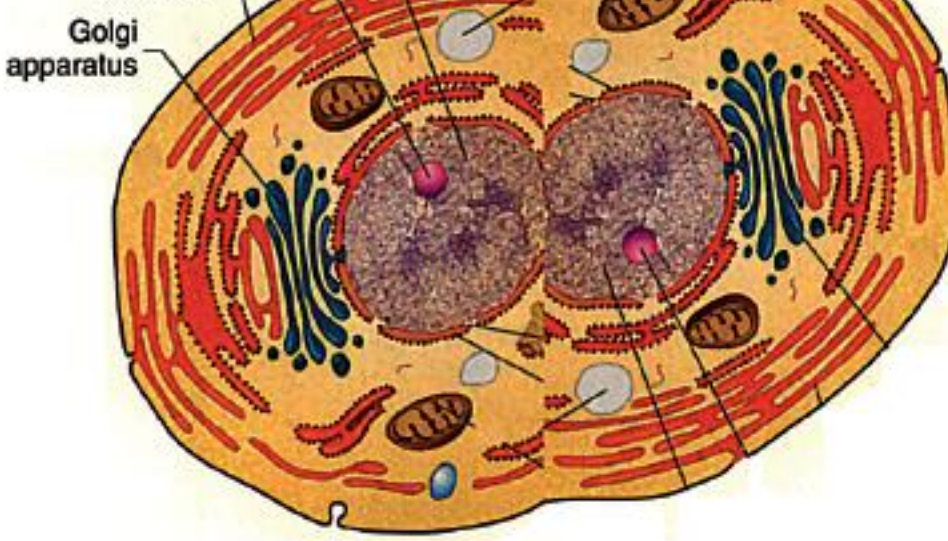
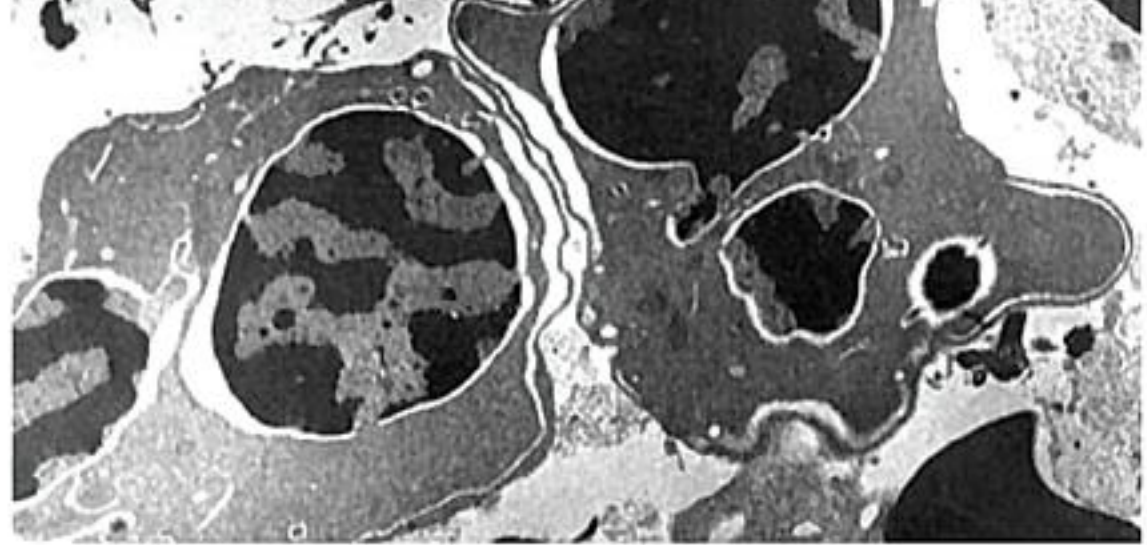
شکل ۷-۳۹: نورموبلاست‌های دو یا چند‌هسته‌ای، هسته‌های مگالوئید و اسفنجی شکل نورموبلاستی و رشت‌های کروماتین بین هسته‌ای در نورموبلاست‌های BM و همچنین، پوئیکیلوچیتوزیس، آنیزوسیتوزیس و ماکروسیتوزیس خفیف در خون محیطی بیمار مبتلا به CDA-I [۲۵].



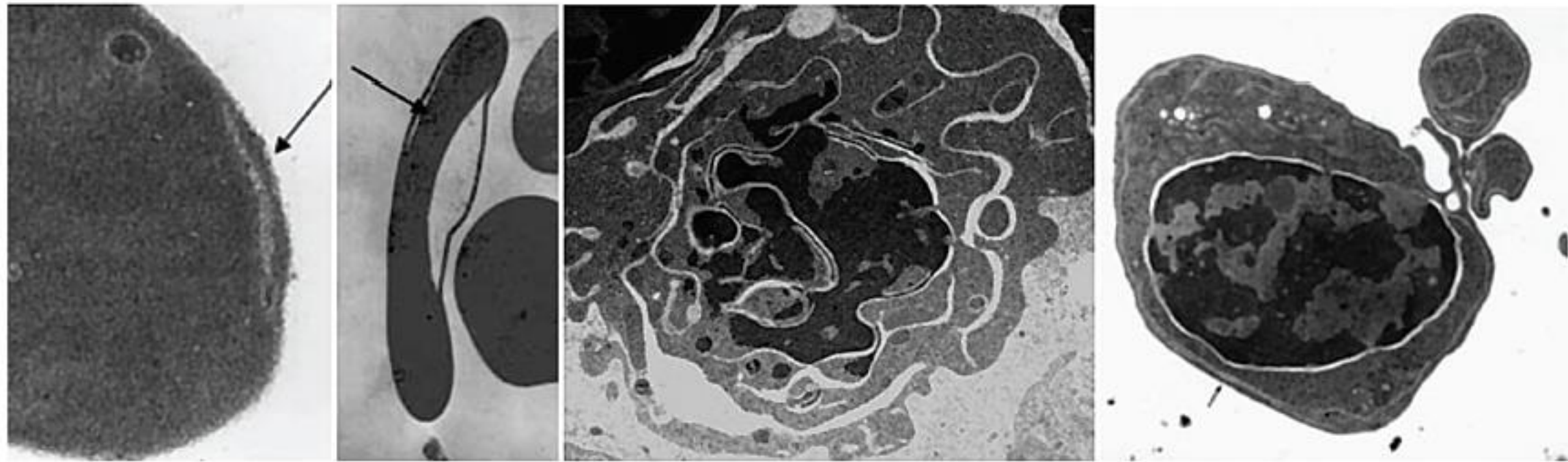
شکل ۲۲-۳۹: مورفولوژی سلول‌های CDA-II که عمدتاً از نورموبلاست‌های دو یا سه‌هسته‌ای و بدون منظره مگالوئید تشکیل شده‌اند. پل‌های کروماتینی بین هسته‌ای نیز برخلاف CDA-I بسیار نادر و کمیاب هستند. در این نوع CDA برخلاف CDA-III نورموبلاست‌های بیش از ۵ لوبول به ندرت مشاهده می‌شوند. در تمامی اسلایدها هیپرپلازی اریتروئیدی مشهود است.¹⁶⁶



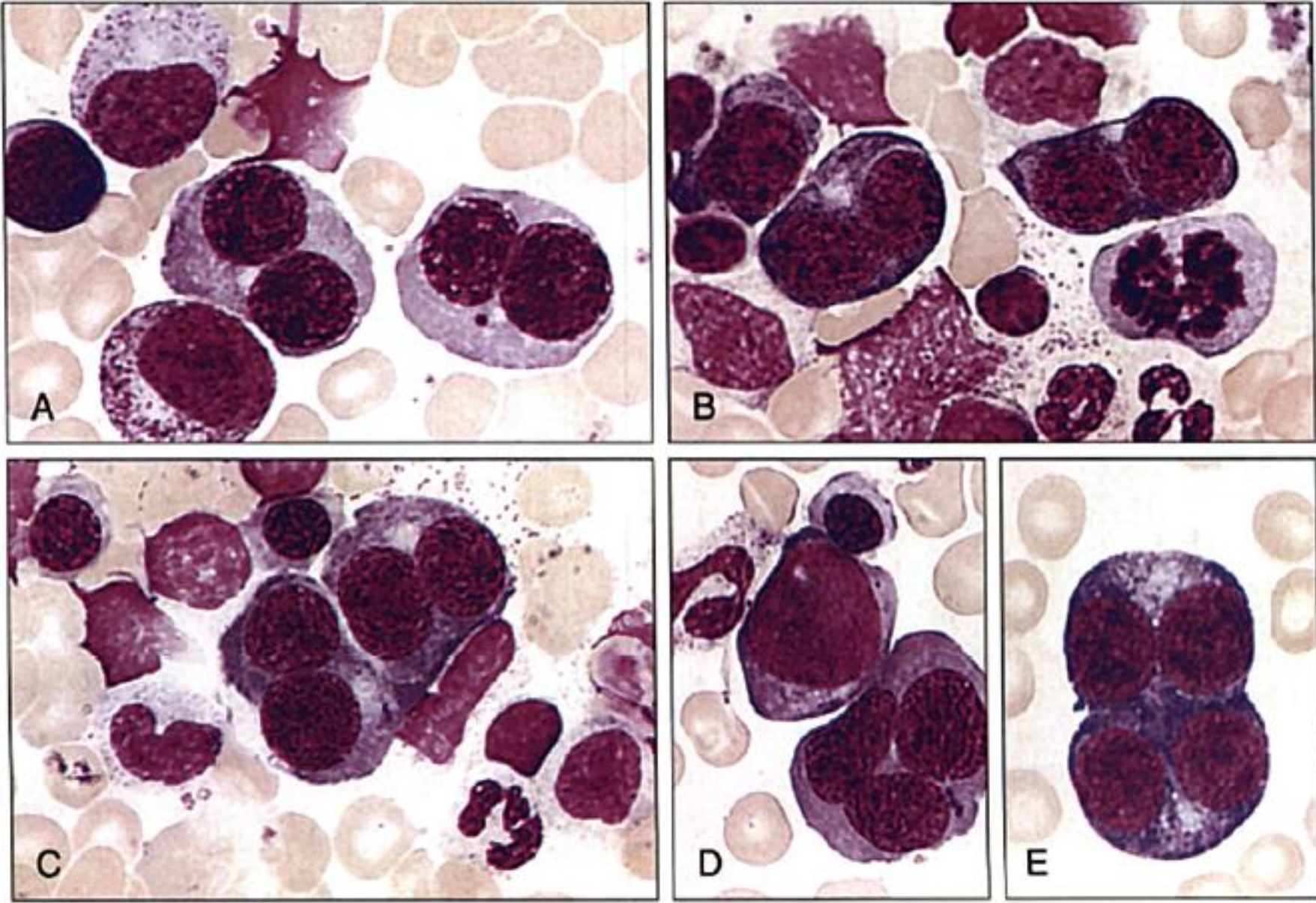
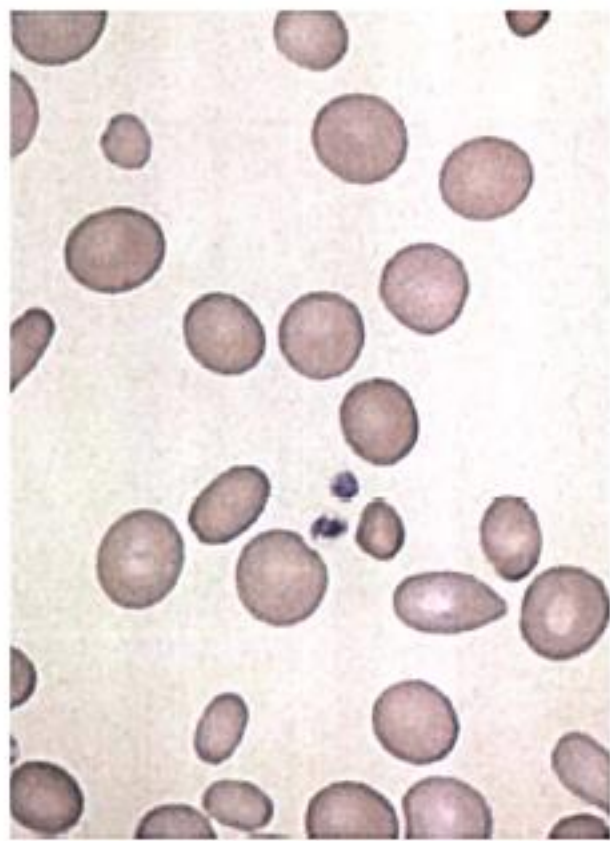
شکل ۲۳-۲۳: چند هستگی و درجاتی از کاربیورکسی در CDA-II و OcNB و PCNB (میزان دوهسته‌ای بودن نورموبلاست‌ها در CDA-II حدود ۴۰-۱۰٪ در برابر ۷-۵٪ CDA-I می-



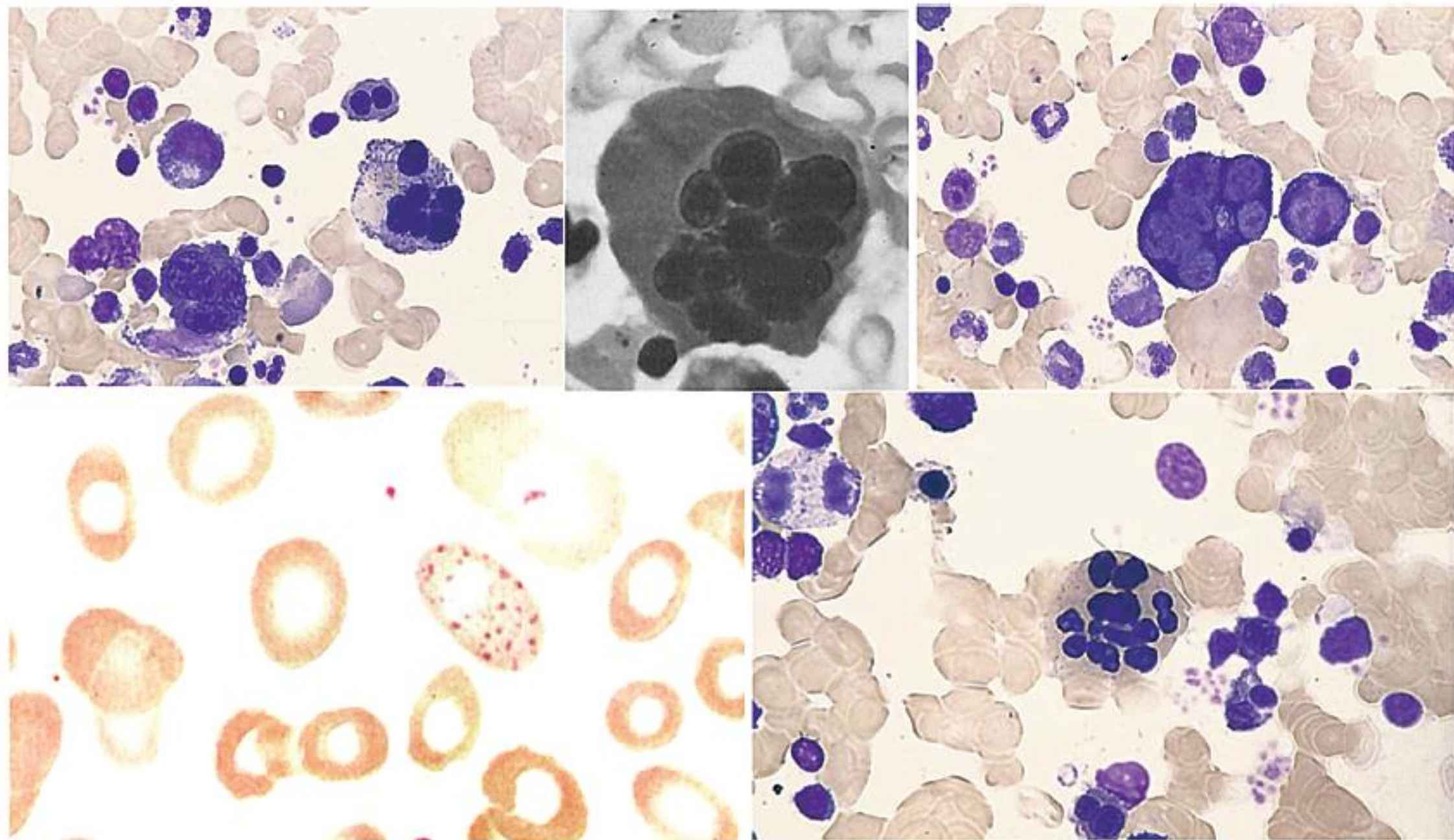
شکل ۳۹-۲۴: گسترش شبکه اندوبلاسمی صاف به زیر غشاء سیتوپلاسمی در سلول‌های رده اریتروئیدی بیماران مبتلا به CDA-II که با دو لایه شدن غشاء خارجی همراه می‌باشد.



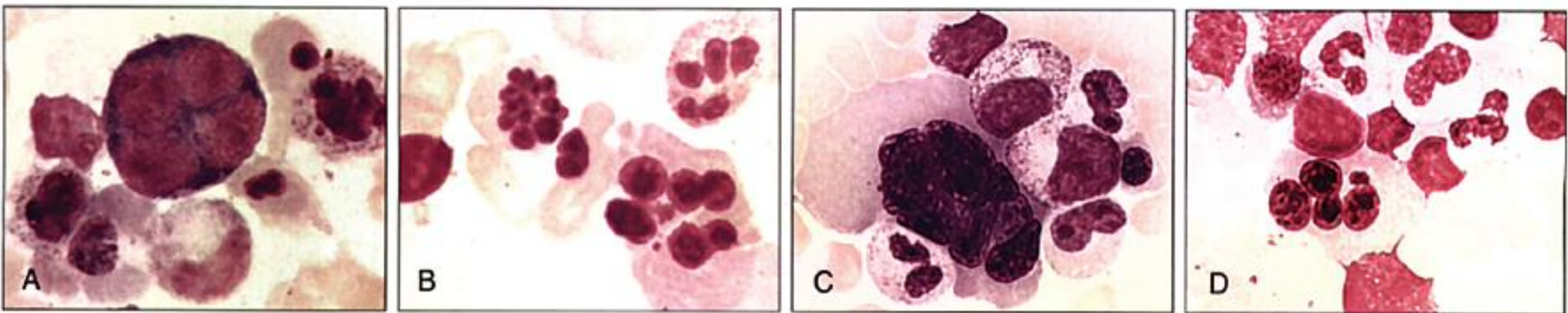
شکل ۳۹-۲۵: دولايه شدن غشاء سیتوپلاسمی (دوبل ممبران) به همراه گشادی فضای بین دولايه غشاء^۱ در اثر گسترش شبکه ER به زیر غشاء سیتوپلاسمی که هم در نورموبلاست‌های



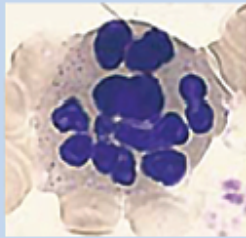
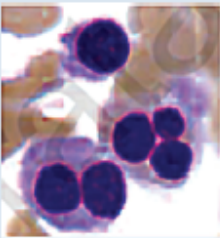
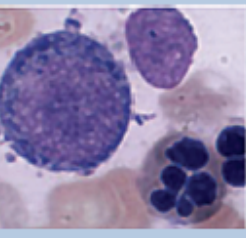
شکل ۳۹-۲۹: نورموبلاست‌های چند‌هسته‌ای در BM و همچنین آنیزوسیتوز و پوئیکیلوسیتوزیس متوسط در خون محیطی بیمار مبتلا به CDA-II



شکل ۳۹-۳۰: ژیگانتوبلاست‌های چند‌هسته‌ای بزرگ با بازوپلیک منقوط و تعداد ۱۲-۷ هسته در BM بیمار مبتلا به CDA-III. خون محیطی بیمار نیز ماکروسیتوزیس، آنیزوسیتوزیس و پوئیکیلوسیتوزیس مشخص و بارزی را نشان می‌دهد.



شکل ۳۹-۳۱: ژیگانتوبلاست‌های چندهسته‌ای بزرگ به همراه کاریورکسی افزایش یافته در بیماری CDA-III

CDA-III	HEMPAS یا CDA-II	CDA-I	خصوصیات
اتوزمال غال و همچنین مغلوب .15q21-25	اتوزمال مغلوب ۲۰q11.2 در ۹۰٪ موارد	اتوزمال مغلوب .15q15.1-15.3	- توارث
ژن CDAN3	ژن CDAN2 یا Sec23B	ژن کودانین یا CDAN1	- مکان ژنی
اختلال در تنظیم لوボلاسیون هسته نورموبلاستها	نقص در تولید و انتقال وزیکول های ترشحی گلزاری و اختلال گلیکولیزاسیون نورموسیت	نقص تشکیل هتروکروماتین و اختلال در منافذ هسته و ورود سیتوپلاسم در هسته ماکروسیتیک	- نام ژن معیوب - نوع نقص
ماکروسیت			- خصوصیات اریتروسیت - خصوصیات نورموبلاست
مگالوبلاستیک، ژیگانتوبلاست های چند هسته ای اریتروئید (تا ۱۲ هسته) چند هستگی شدید و بزرگ	نورموبلاستیک، غالیت سلول های دوهسته ای و چند هسته ای غشاء سیتوپلاسمی دواله ای و تجمع پروتئین های باند III در یک سمت غشاء	مگالوبلاستیک، بل های کروماتینی بین هسته ای نمای پنیر سوئیسی در هتروکروماتن، گشادی منافذ هسته	(الف) میکروسکوپ نوری (ب) میکروسکوپ الکترونی
منفی	ثبت	منفی	- سرولوژی
واکنش قوی / نرمال سریع شدن خفیف باند III نژاد سوئدی، آمریکایی، آرژانتین ناهنجاری رتینال چشم و نوپلاسم پلاسماسل	واکنش قوی نازک و سریع شدن باند III نژاد قفقازی، بویژه ایتالیایی دفرمیتی و زخم انگلستان	واکنش قوی / نرمال نژاد قفقازی، اسرائیلی، لبنانی، ژاپنی اختلالات صورت و اندام های فوقانی، دیس تاکتیلی	(الف) تست هامر (ب) آگلوبلیناسیون با آنتی 1 SDS-PAGE
اضافه بار آهن	اضافه بار آهن	اضافه بار آهن	- گستره جغرافیایی
موثر	غیرموثر	غیرموثر	- اختلالات ساختاری
			

در تمامی بیماران CDA درجاتی از آنیزوسیتوزیس، بازوپلیلیک منقوط، سلول های داکروسیت (قطره اشک)، N-RBC، اریتروسیت های مچاله شده، بلی کرومایرا، هموسیدرورز و چند هستگی نورموبلاست ها مشاهده می شود.

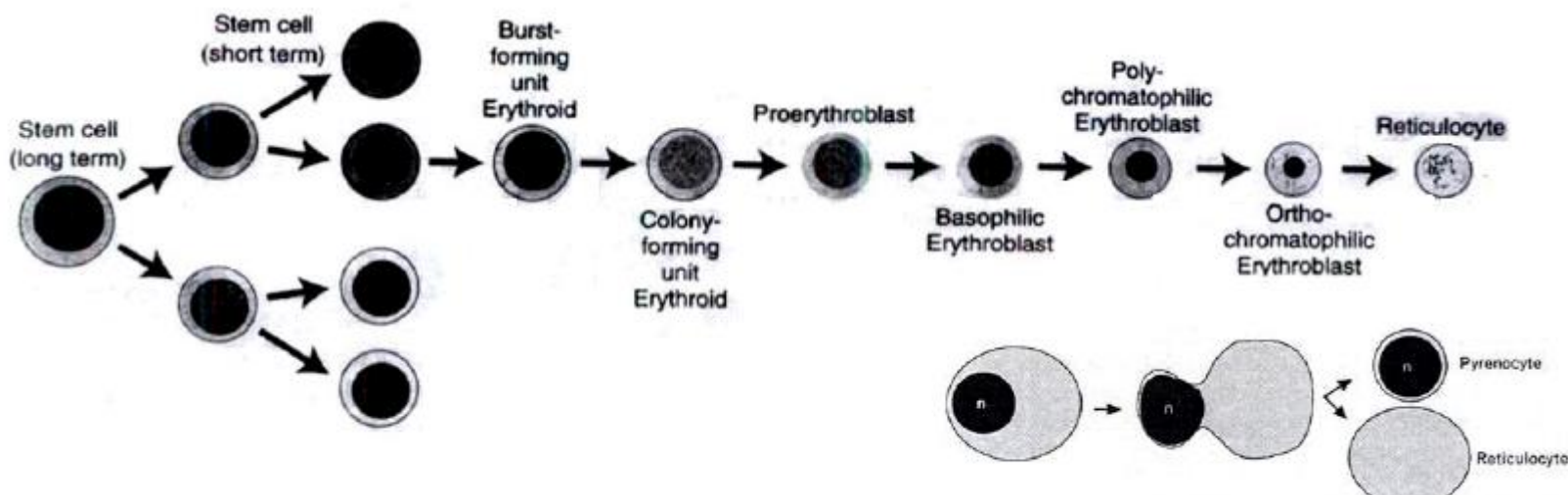
روش رنگ آمیزی (تیکولوستیت‌ها):

الف) تهیه رنگ نیومتیلن بلو این (NMB):

۱ گرم پودر رنگ NMB را در ۱۰۰ ml ۱ بافر فسفات ایزواوسموتیک با PH=6.5 یا بافر سیترات سالین حل کرده و بعد از یک ساعت انکوباسیون در دمای RT، محلول را از کاغذ واتمن شماره ۱ عبور داده تا رسوب رنگ موجود در محلول فیلتر شده و آماده مصرف گردد. بقاء این رنگ در دمای اتاق حدود یک ماه بوده و بعد از آن می‌بایست مجدداً به صورت تازه تهیه شود.
برای تهیه بافر فسفات از دو بافر ابتدایی A و B با نسبت ۶۶ به ۳۴ استفاده شده و بعد از تهیه بافر، PH آن در ۶/۵ تنظیم می‌شود.

A=NaH ₂ PO ₄ 2H ₂ O (150mmol/L)	23.4 g/l
B=Na ₂ HPO ₄ (150mmol/L)	21.3g/l
66 ml A + 34 ml B= iso osmotic phosphat buffer	

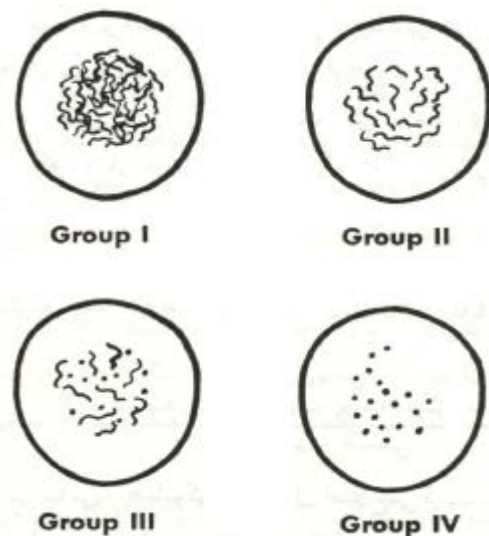
برای تهیه بافر سیترات سالین نیز یک حجم از محلول سیترات سدیم L/g ۳۰ با چهار حجم از محلول نرمال سالین (کلرور سدیم L/g ۹) مخلوط می‌شود.



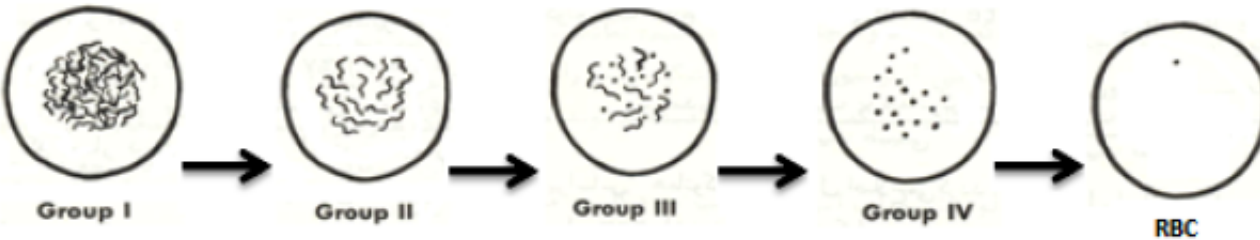
شکل ۱۲-۵: تولید سلول‌های پیرنوسیت و رتیکولوسیت از سلول اورتوکروموفیلیک نورموبلاست که با فاکسیتوز سلول پیرنوسیت و ورود رتیکولوسیت به خون محیطی همراه است.

پس از نظر مورفولوژی و شدت نارس بودن سلول، رتیکولوسیت‌ها به چهار درجه طبقه بندی

می‌شوند:



- رتیکولوسیت با فیلامنت یا رشته‌های فراوان و متراکم (رتیکولوسیت تیپ I)
- رتیکولوسیت با فیلامنت‌های فراوان ولی کمتر متراکم (رتیکولوسیت تیپ II)
- رتیکولوسیت با فیلامنت و گرانول‌های متوسط (رتیکولوسیت تیپ III)
- رتیکولوسیت با فیلامنت‌های نادر و گرانول‌های زیاد تا کم (رتیکولوسیت تیپ IV)

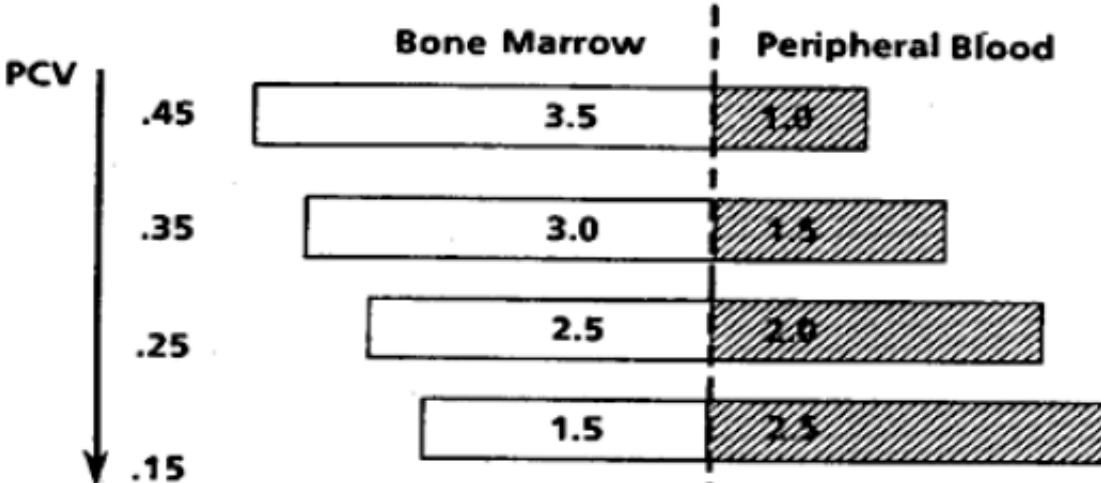


$$RPI = \frac{RET [\%]}{RET \text{ maturation time} \text{ in blood in days}} \times \frac{HCT [L/L] (\text{patient})}{0.45 \text{ (standard HCT)}}$$

Example:

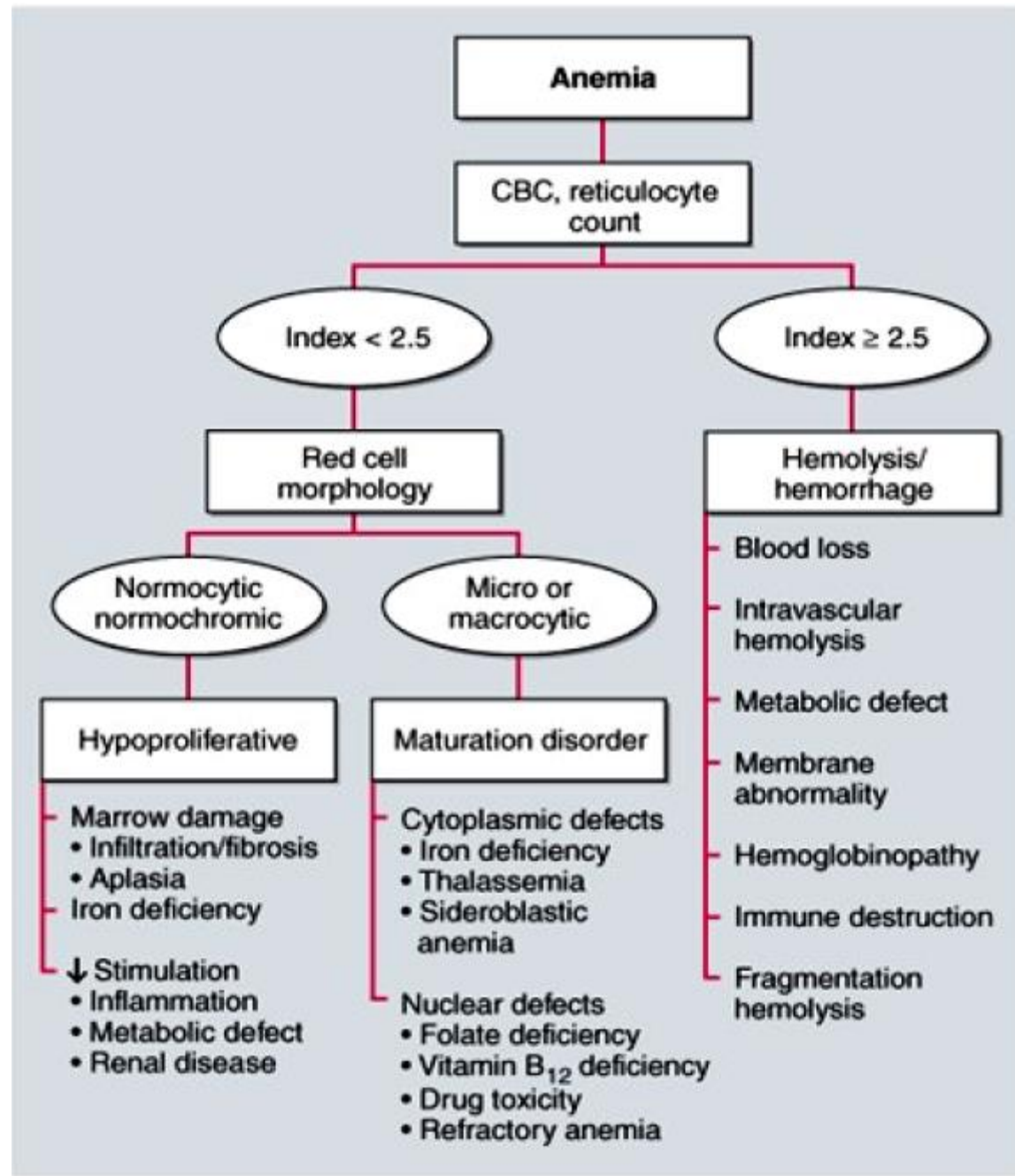
Patient values: HCT= 0.25 L/L, reticulocytes = 20

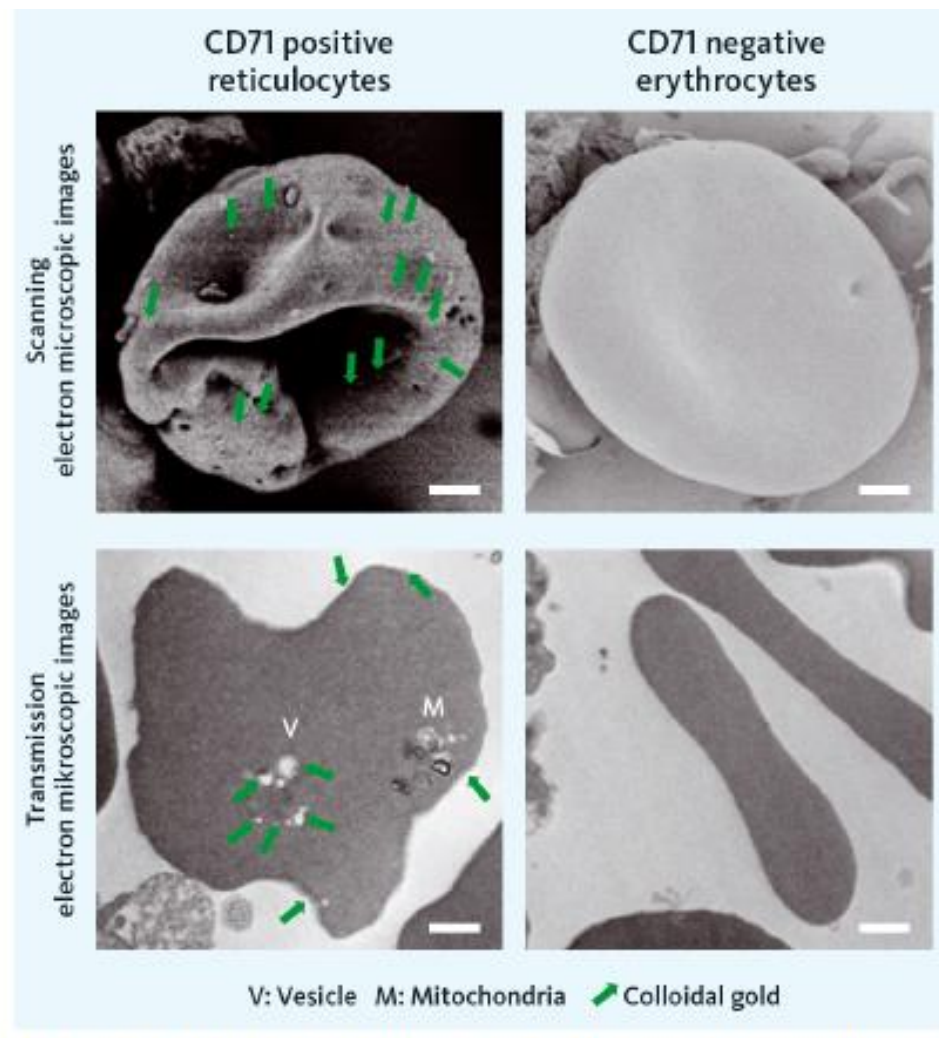
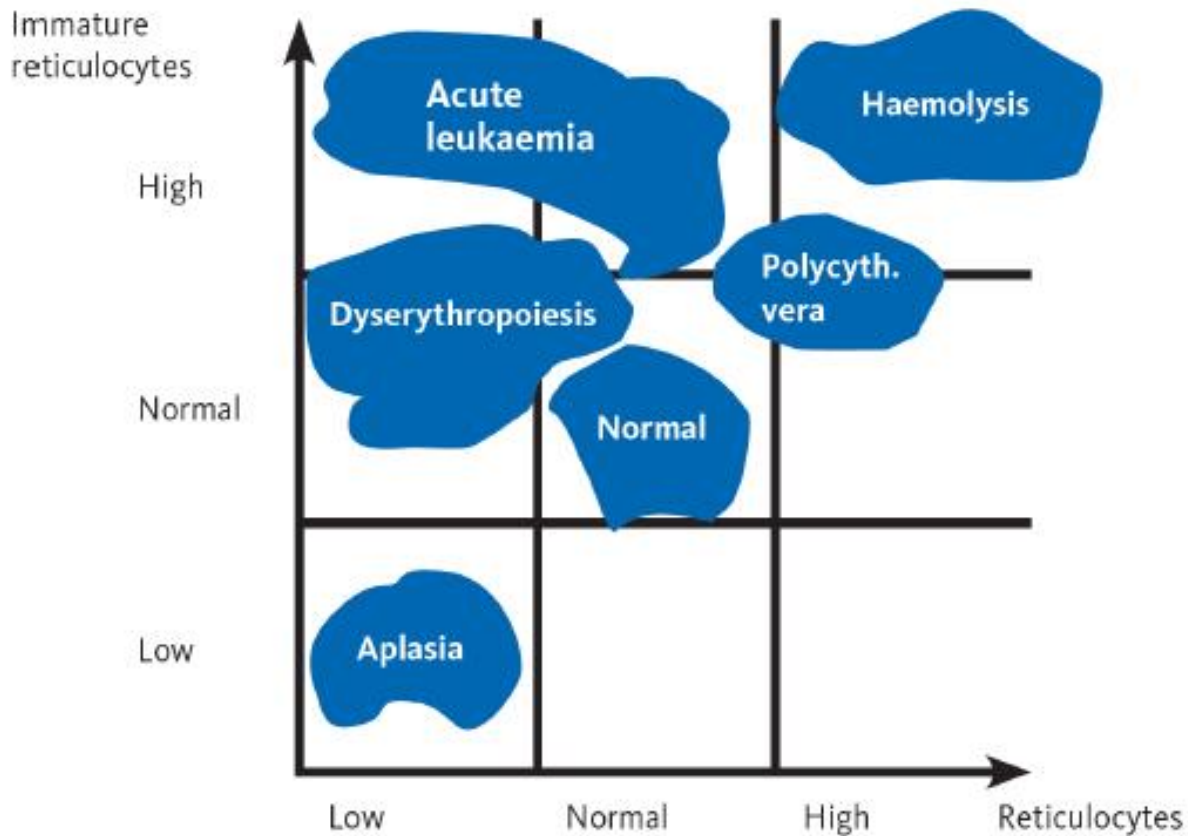
$$RPI = \frac{20 [\%]}{2} \times \frac{0.25}{0.45} = 5.5$$



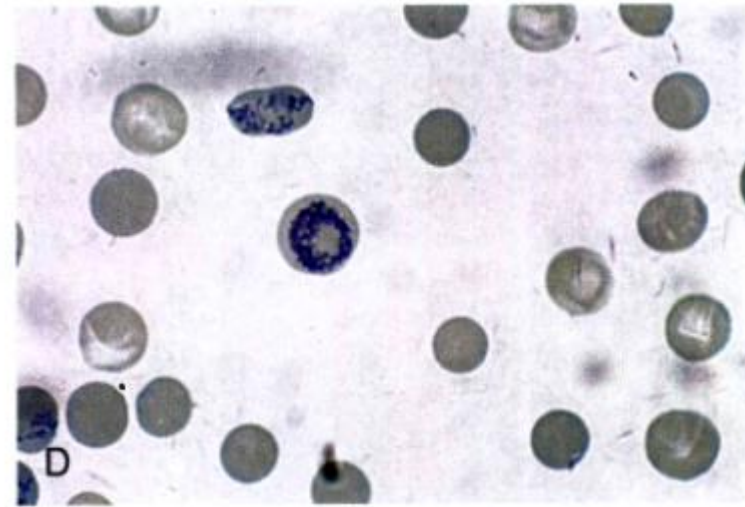
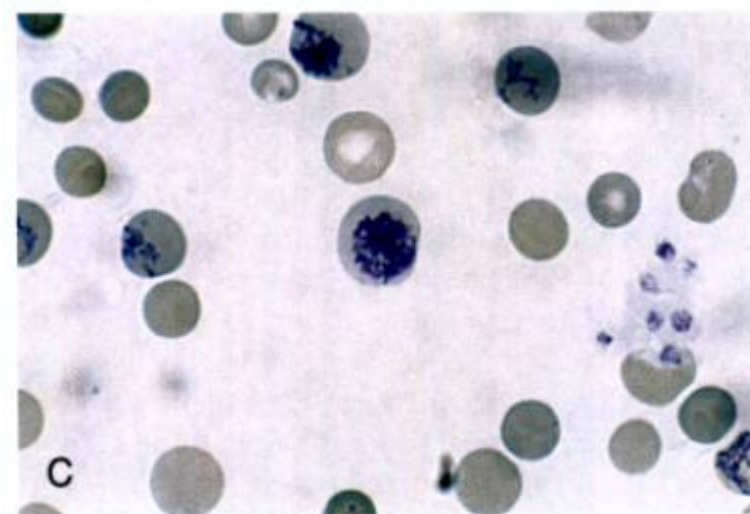
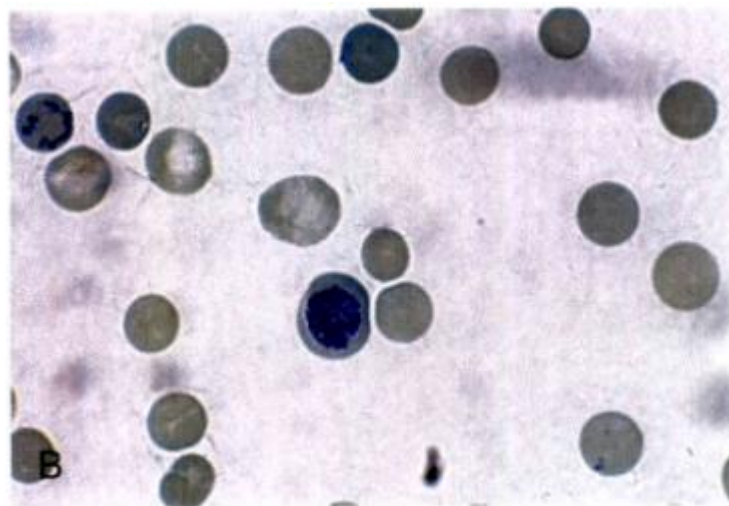
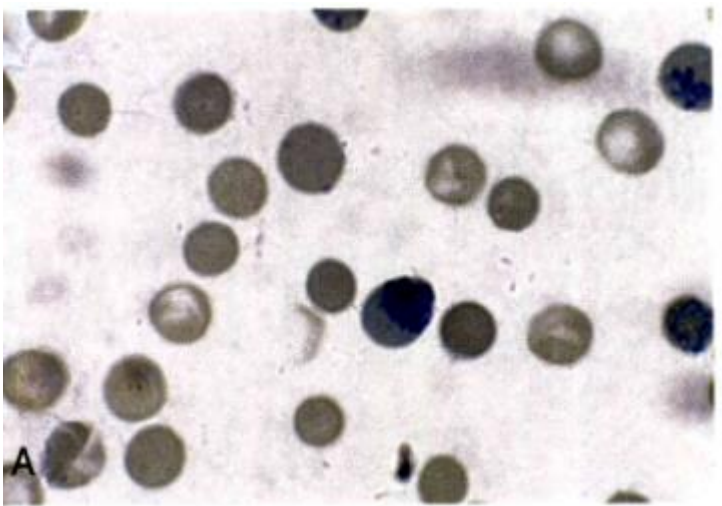
جدول ۱۹-۱: مراحل ۴ گانه پلoug ریتیکولوسیت به همراه فراوانی هر کدام از آنها بر اساس طبقه بندی هیلمایر

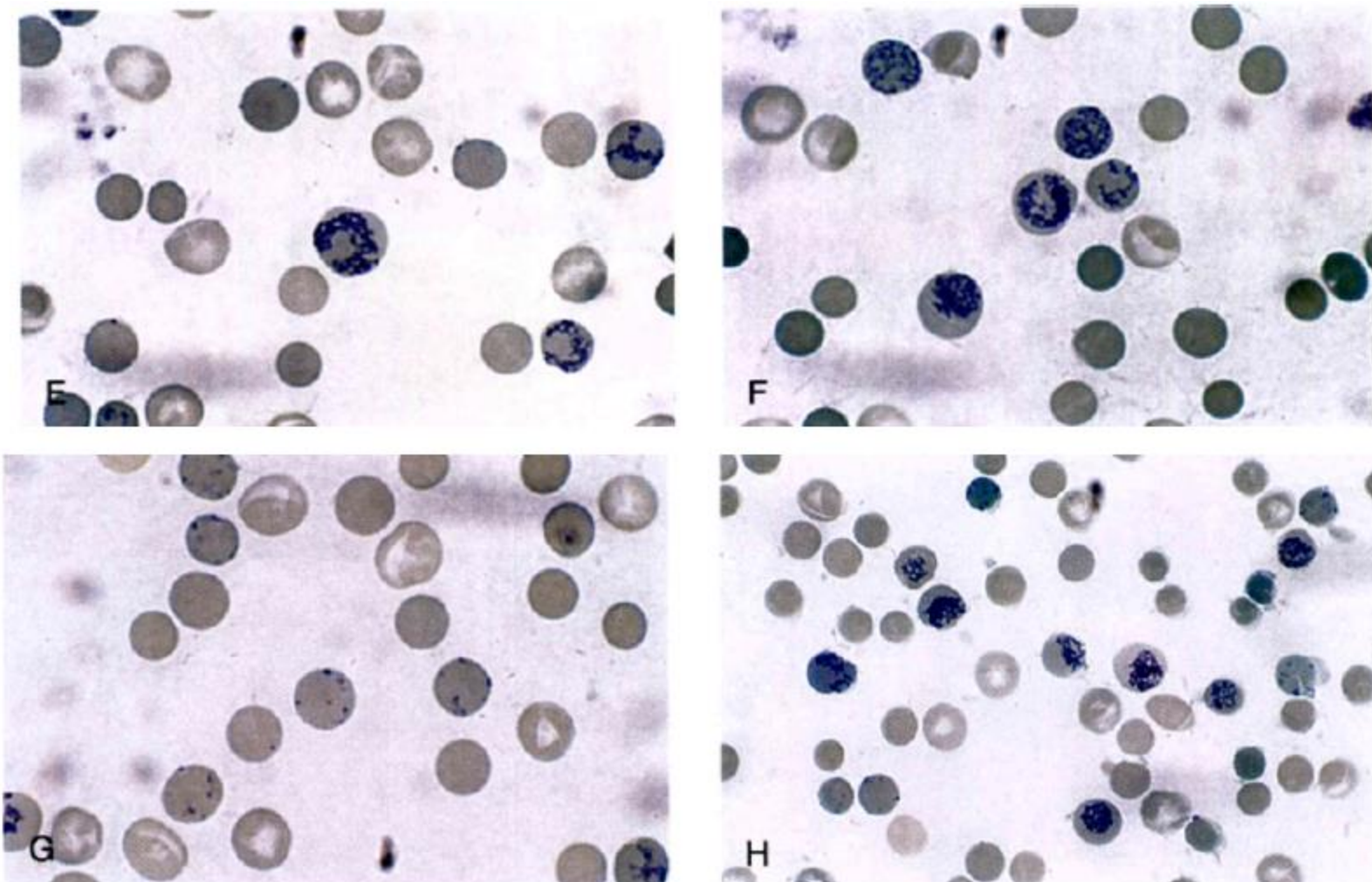
Maturation stages according to Heilmeyer	Morphological description	Quantification according to Seip (normal %)
Stage 0	Nucleus	
Stage I	Reticulum consists of dense clots	<0.1
Stage II	Loosely arranged reticulum	7.0
Stage III	Diffusely arranged reticulum	32.0
Stage IV	Some scattered granulae	61.0





شکل ۲۰-۱: هرچه همزنان با رتیکولوسیتوز، مقدار رتیک های نابالغ (مربع بالا-راست) نیز افزایش پیدا کند، احتمال بروز آنی همولیتیک نیز بالاتر می‌رود، در آنی آپلاستیک، هم مقدار رتیک و هم انواع نابالغ آن کاهش نشان می‌دهند. از طرفی دیگر در یک لوسمی، مقدار رتیک کاهش می‌یابد ولی در همین تعداد کم، اکثریت آنها نابالغ و رتیکولار می‌باشد. در خونسازی غیرموثر علی‌رغم کاهش درصد رتیکوسیت‌ها، درصد انواع نابالغ آنها در حد طبیعی می‌باشد. در پلی‌سایتمی ورا، افزایش نسبی هردودی رتیکولوسیت توتال و نابالغ دیده می‌شود.





شکل ۱۴-۲۷: درجات مختلف ریبیکولوسیتوز که گروه I نابالغ (A,B)، گروه II با بلوغ کم (C,D)، گروه III با بلوغ متوسط (E,F) و گروه IV با بلوغ بالا (G,H) را نشان می‌دهد [۲۰].

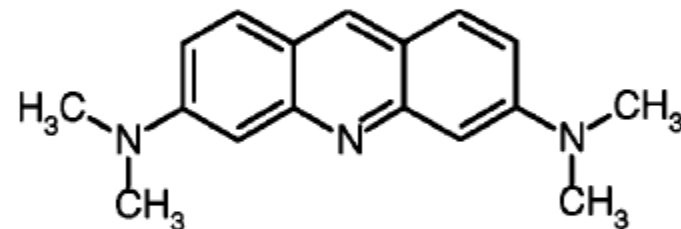
Reticulocyte count in blood (%)	Number of cells to be counted to achieve a CV of 5%
1	39,600
2	19,600
5	7,600
10	3,600
20	1,600
50	400

جدول ۴-۳۷: تعداد کلی RBC هایی که می بایست در کار با دیسک میلر و در مرتع کوچک، برای رسیدن به ضریب تغییرات مختلف (σ) مثل ۰.۲، ۰.۵ و ۰.۱٪ شمارش شوند [۲۰].

%Retic	ضریب تغییرات ۰.۲		ضریب تغییرات ۰.۵		ضریب تغییرات ۰.۱		نسبت
RBC تعداد	شمارش کل	شمارش میلر	شمارش کل	شمارش میلر	شمارش کل	شمارش میلر	-
۰.۱-۲	۳۷۸۰۰	۲۵۰۲۰۰	۴۴۰۰	۳۹۶۰۰	۱۱۰۰	۹۹۰۰	0.01-0.02
۰.۳-۵	۱۳۶۰۰	۱۲۲۴۰۰	۲۱۸۰	۱۹۶۲۰	۵۰۰	۴۹۰	0.03-0.05
۰.۶-۱۰	۰۲۸۰	۱۷۰۲۰	۸۴۰	۷۶۰۰	۲۱۰	۱۸۹۰	0.06-0.1
۰.۱۰-۲۰	۲۰۰۰	۲۲۵۰۰	۷۰۰	۳۶۰۰	۱۰۰	۹۰۰	0.1-0.2
۰.۲۰-۲۵	۸۳۰	۷۰۱۰	۱۳۰	۱۲۱۵	۳۰	۳۱۵	0.2-0.25

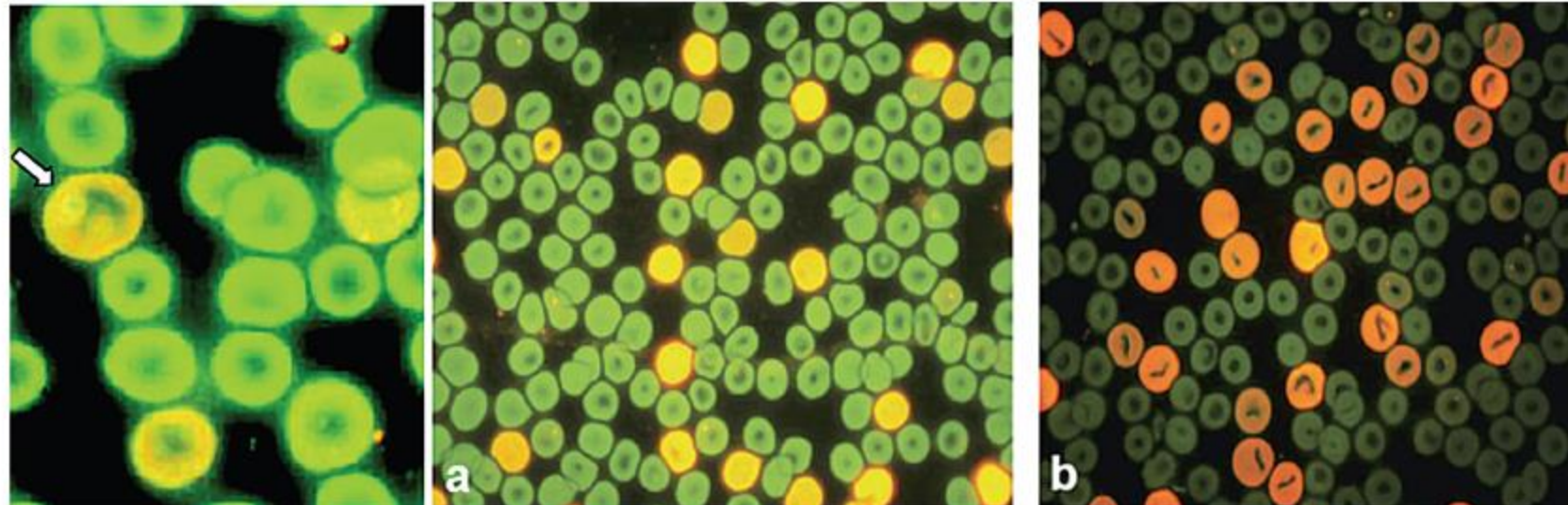
روش فلورسنت برای رنگآمیزی و شمارش دستی (رئیکولوسیت‌ها)

امروزه می‌توان از رنگ آکریدین نارنجی^۱ به صورت دستی برای شمارش درصد رئیکولوسیت استفاده کرد. AO رنگ فلورسانس کاتیونیک است که در صورت اتصال به DNA با طول موج ۵۰۲nm تهییج شده و سپس نور فلورسنت سبزی را در طول موج ۵۲۵nm از خود ساطع می‌کند ولی در صورت اتصال به RNA، با طول موج ۴۰۶nm (آبی) تهییج شده و سپس نور فلورسنت قرمز نارنجی را در طول موج ۵۶۰nm ساطع می‌کند، در نتیجه رئیکولوسیت می‌تواند از N-RBC و لوکوسیت‌ها و رسوب رتیک از اجسام هاول ژولی افتراق داده شوند. AO در صورت فاگوسیت شدن و احتباس در لیزوژوم اسیدی نیز با نور آبی تهییج شده و از خود فلورسانس نارنجی ساطع می‌کند، از این رو برای شناسایی سلول‌های آپوپتویک از نکروتیک نیز کاربرد دارد.



Acridine Orange

با این رنگ آمیزی و شمارش رئیکولوسیت‌ها را مشاهده کنید. AO به منک مسکندهای فلورسانس نداشت که به دلیل قیمت بالا، آن حدان به صورت روتین انجام نمی‌شود.



شکل ۲۶-۲۰: رنگ آمیزی رئیکولوسیت‌ها با آکریدین نارنجی (AO) که در آن RBC‌ها به رنگ سبز و رئیکولوسیت‌ها به رنگ قرمز-نارنجی در آمده و با دقت زیادی از همیدیگر افتراق داده می‌شوند.

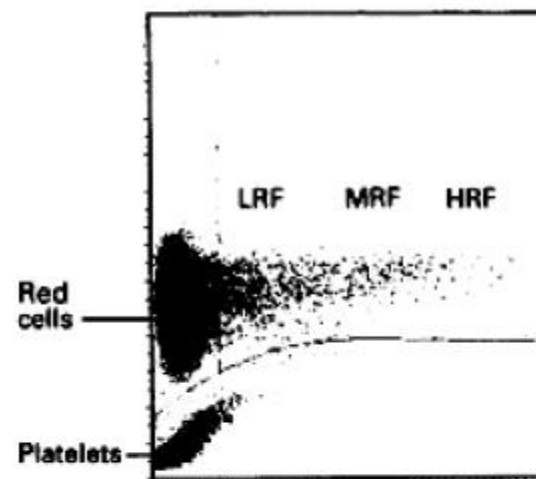
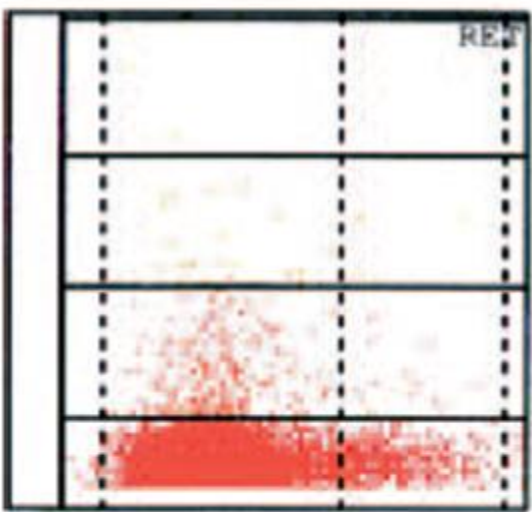
جدول ۱۰-۲۳: مقایسه سه سطح از رتیکولوسیت‌های LFR، MFR و HFR

LFR	MFR	HFR
Low-Fluorescence Reticulocytes	Medium-Fluorescence Reticulocytes	High-Fluorescence Reticulocytes
Little content of RNA	Medium content of RNA	High content of RNA
Mature reticulocytes	Semi-mature reticulocytes	Immature reticulocytes
Reference range: 86.5–98.5 %	Reference range: 1.5–11.5 %	Reference range: 0–1.4 %

The figure consists of three side-by-side flow cytometry plots. The left plot shows a single large cluster of points labeled 'RBC' (red) and 'PLT' (green) on axes 'FSC' (Forward scatter) and 'SFL' (Side scatter). The middle plot shows a multi-colored population of points (blue, orange, red) representing RBC, LFR, MFR, and HFR regions, with a horizontal bar indicating 'RET #,%'. The right plot shows a multi-colored population of points (blue, purple, green, yellow) representing RBC, LFR, MFR, and HFR regions, with a horizontal bar indicating 'fluorescence from RET Search (II)'. Arrows point from the labels 'Erythrocyte' and 'Reticulocyte' to their respective clusters in the right plot.

شکل ۱۰-۲۱۶: هرچه رتیکولوسیت‌ها نابالغ‌تر باشد، به دلیل داشتن مقداری بالای RNA رنگ فلورسنت بیشتری جذب کرده و لذا میل بالایی به سمت راست پیدا می‌کند که به رتیکولوسیت‌های نابالغ تیپ I و II عبارت HFR. به رتیکولوسیت‌های تیپ III عبارت MFR و به رتیکولوسیت‌های بالغ‌تر تیپ IV نیز عبارت LFR استفاده می‌شود. به مجموع رتیکولوسیت‌های نابالغ I تا III (مقدار ۹/۱۵) کل رتیکولوسیت‌ها) نیز فراکسیون رتیکولوسیت‌های نابالغ یا IRF گفته می‌شود که اغلب CD71+ نیز می‌باشد.

Normal Range	
RET	0.5-2
LFR	86.5-98.5
MFR	1.5-11.3
HFR	0-1.4
IRF	1.1-15.9



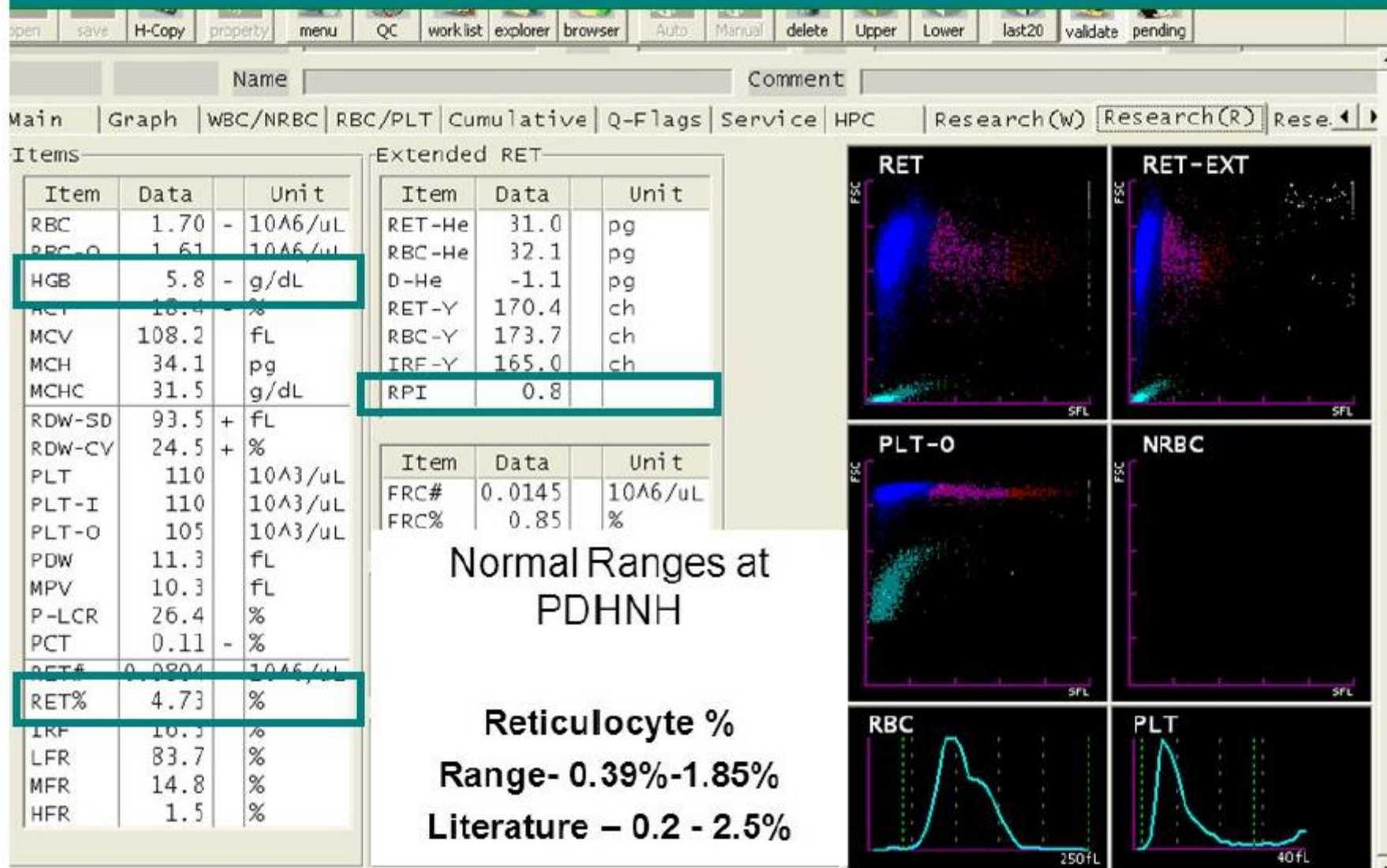
NO. 596925 15 : 46

+RET %	11.52 [%]
+RET RBC	$299.5 [\times 10^7/\mu\text{l}]$
-RBC	$2.60 [\times 10^7/\mu\text{l}]$
-LFR	66.0 [%]
+MFR	25.7 [%]
+HFR	8.3 [%]

PLT DISCRIMINATION ERROR

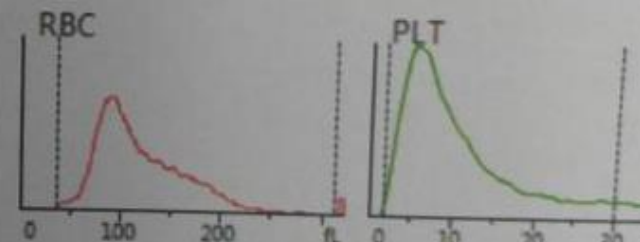
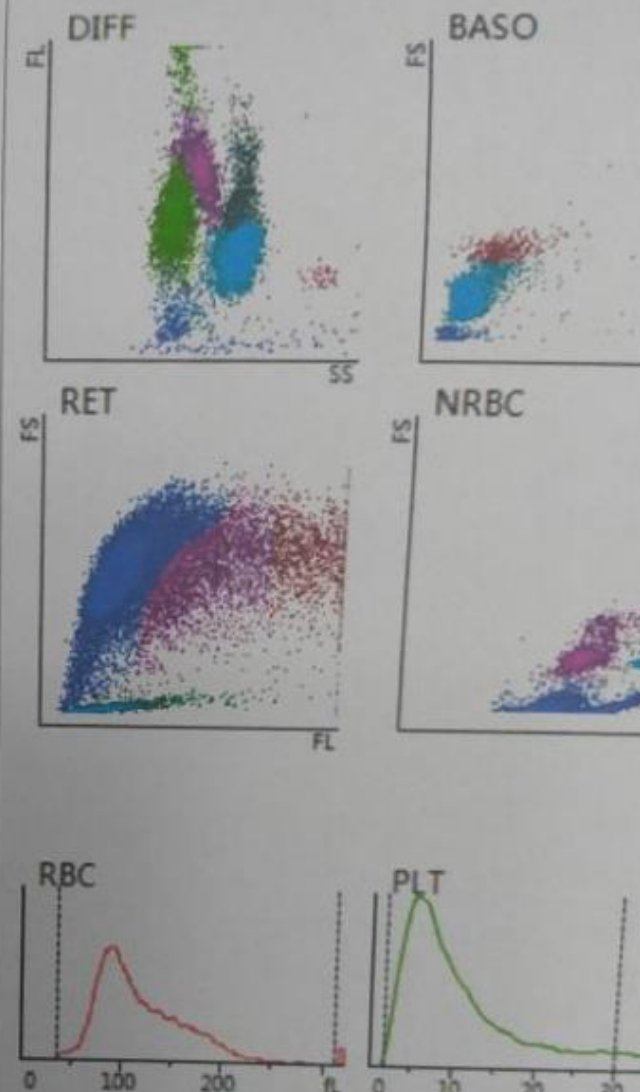
شکل ۲۱۸-۱: تصویر سمت راست: سیتوگرام رتیکولوسیت یک سیسیمکس R-3000 (تصویر بالا) که در آن رتیکولوسیت‌های بسیار نارس با میزان فلورسنت بالا (HRF)، رتیکولوسیت‌های رسیده و بالغ با میزان فلورسانس پایین (LRF) و موارد حد وسط آنها (MRF) نشان داده شده است. HRFها (سمت راست سیتوگرام) معادل رتیکولوسیت‌های تیپ I و II و LFRها معادل رتیکولوسیت‌های تیپ IV بوده و شمارش آنها می‌تواند برآورد دقیقی از مقدار RPI باشد. تصویر سمت چپ: سیتوگرام رتیکولوسیت در سل‌کانتر Pentra-120R که سه سطح HRF، MRF و LRF را نشان می‌دهد. رتیکولوسیت‌ها بسته به شدت نارس بودن خود رنگ پذیری بیشتری داشته و لذا در سمت بالاتری از سیتوگرام قرار می‌گیرند.

Hb- 5.8 , Retic – 4.73%



شکل ۲۲۳-۱۰: محاسبه اتوماتیک RPI توسط سل کانترهای سیسیمکس بر اساس HCT و RET%

Para.	Result	Unit	Ref. Ranges
1	WBC	13.50	&RH $10^3/\mu\text{L}$ 3.20 - 11.50
2	Neu#	9.85	&RH $10^3/\mu\text{L}$ 2.00 - 7.70
3	Lym#	1.67	&R $10^3/\mu\text{L}$ 1.00 - 3.00
4	Mon#	1.55	RH $10^3/\mu\text{L}$ 0.20 - 0.60
5	Eos#	0.07	R $10^3/\mu\text{L}$ 0.06 - 0.50
6	Bas#	0.36	RH $10^3/\mu\text{L}$ 0.01 - 0.30
7	Neu%	72.9	&R % 43.0 - 78.0
8	Lym%	12.4	&RL% 15.0 - 45.0
9	Mon%	11.5	RH % 4.0 - 9.0
10	Eos%	0.5	RL % 1.0 - 7.0
11	Bas%	2.7	RH % 0.0 - 1.0
12	RBC	1.32	L $10^{12}/\text{L}$ 3.40 - 5.40
13	HGB	4.4	L g/dL 10.5 - 16.6
14	HCT	14.7	RL % 31.0 - 48.0
15	MCV	111.9	RH fL 79.0 - 100.0
16	MCH	33.6	pg 27.6 - 35.0
17	MCHC	30.0	RL g/dL 31.0 - 36.0
18	RDW-CV	35.3	RH % 11.5 - 15.5
19	RDW-SD	143.2	RH fL 40.0 - 61.0
20	PLT	93	& L $10^9/\text{L}$ 145 - 440
21	MPV	****	fL 6.5 - 12.0
22	PDW	****	15.0 - 17.0
23	PCT	****	% 0.108 - 0.282
24	P-LCC	****	$10^9/\text{L}$ 30 - 90
25	P-LCR	****	% 11.0 - 45.0
26	RET#	0.2377	RH $10^{12}/\text{L}$ 0.0200 - 0.2000
27	RET%	18.03	RH % 0.30 - 3.00
28	IRF	35.9	RH % 0.0 - 25.0
29	LFR	64.1	RL % 80.0 - 100.0
30	MFR	21.6	RH % 0.0 - 20.0
31	HFR	14.3	RH % 0.0 - 5.0
32	NRBC#	1.996	R $10^3/\mu\text{L}$ 0.000 - 9999.999
33	NRBC%	14.79	R /100WBC 0.00 - 9999.99
34	IMG#	1.11	R $10^9/\text{L}$ 0.00 - ...
35	IMG%	0.082	R 0.000 - 1.000
36	IPF	5.6	% 0.9 - 10.0
37	RHE	28.5	R pg 28.0 - 37.0



Morphology Grading Table			
Cell Name	Few/1+	Mod/2+	Many/3+
Schistocytes	<1%	1–2	>2
Sickle cells	N/A	1–2	>2
Bite cells	N/A	1–2	>2
Blister cells	N/A	1–2	>2
Irregularly contracted cells	N/A	1–2	>2
Howell-Jolly bodies	N/A	2–3	>3
Pappenheimer bodies	N/A	2–3	>3
Oval macrocytes	N/A	2–5	>5
Polychromasia	N/A	5–20	>20
Acanthocytes	N/A	5–20	>20
Echinocytes	N/A	5–20	>20
Elliptocytes	N/A	5–20	>20
Ovalocytes	N/A	5–20	>20
Spherocytes	N/A	5–20	>20
Stomatocytes	N/A	5–20	>20
Target cells	N/A	5–20	>20
Teardrop cells	N/A	5–20	>20
Basophilic stippling	N/A	5–20	>20
Anisocytosis	N/A	11–20	>20
Macrocytes	N/A	11–20	>20
Microcytes	N/A	11–20	>20
Hypochromic cells	N/A	11–20	>20

Morphology Grading Table			
Cell Name	Few/1+	Mod/2+	Many/3+
WBC			
Döhle bodies	N/A	2–4	>4
Vacuolation (neutrophil)	N/A	4–8	>8
Hypogranulation (neutrophil)	N/A	4–8	>8
Hypergranulation (neutrophil)	N/A	4–8	>8
Platelets			
Giant Platelets	N/A	11–20	>20

